

DIE STRATIGRAPHIE DER BURG VON TROIA II

Dissertation
zur Erlangung des akademischen Grades
Doktor der Philosophie
der Fakultät für Kulturwissenschaften
der Eberhard-Karls-Universität Tübingen

Band II

vorgelegt von Sinan Ünlüsöy
aus Ankara (Türkei)

2010

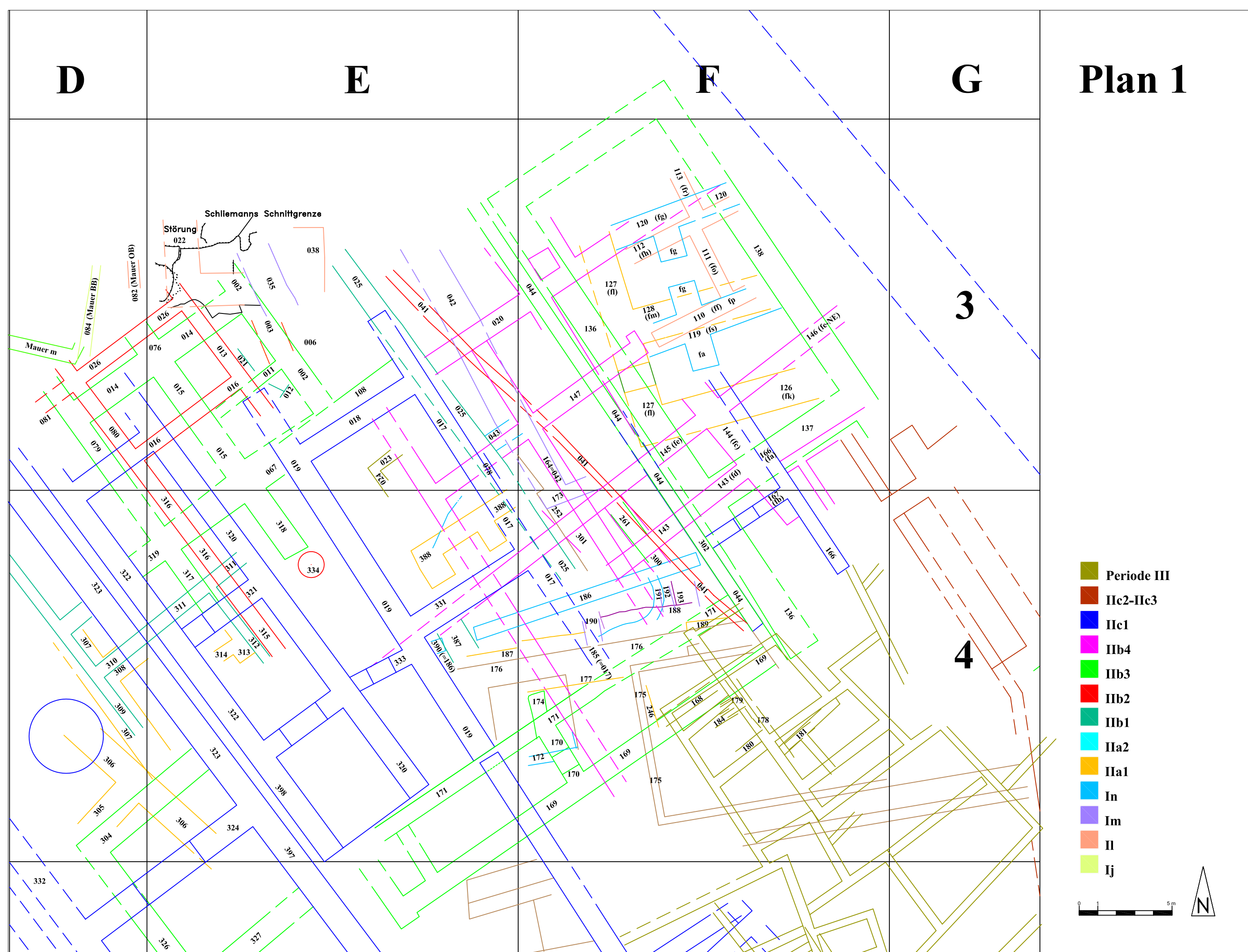
D

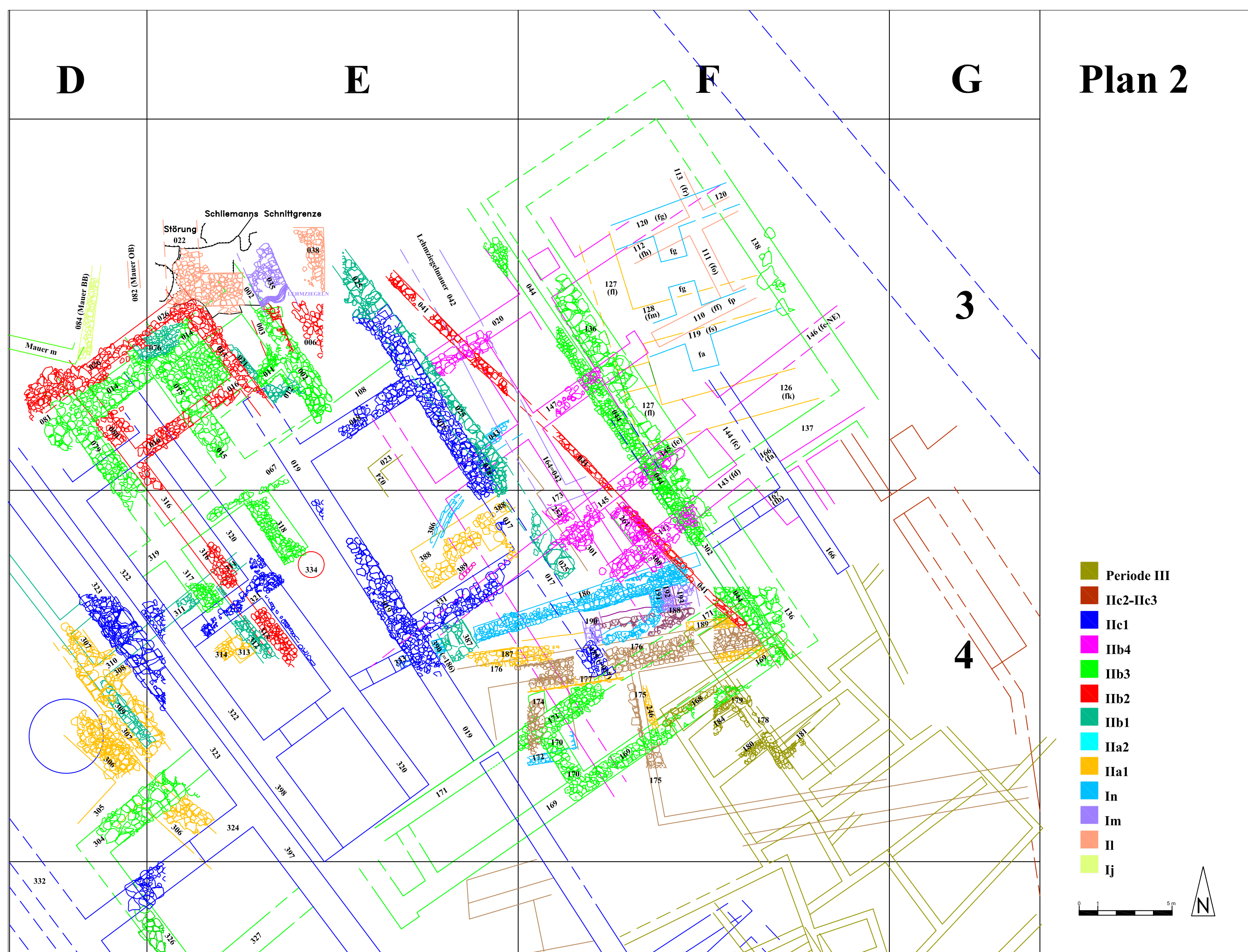
E

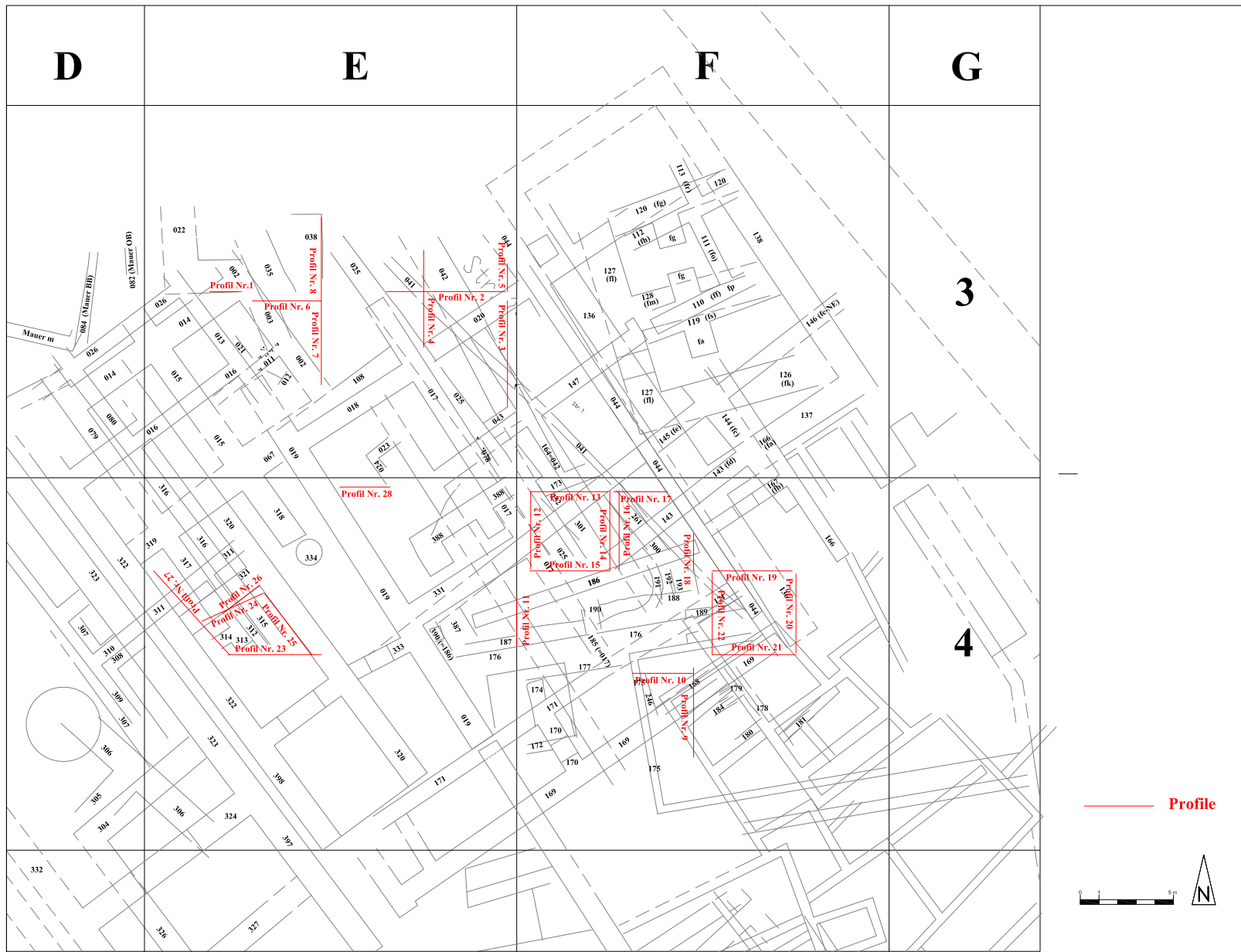
1

G

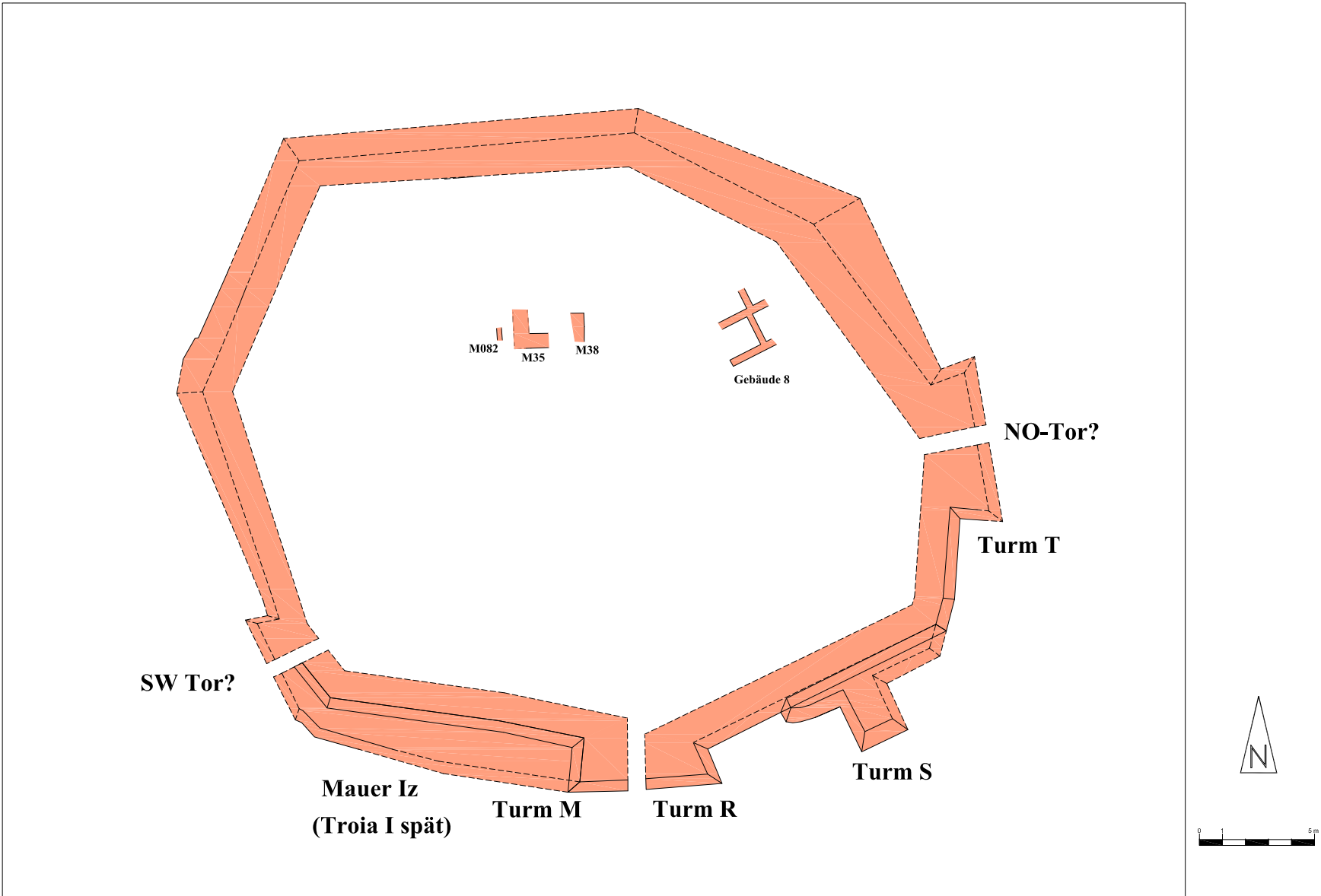
Plan 1



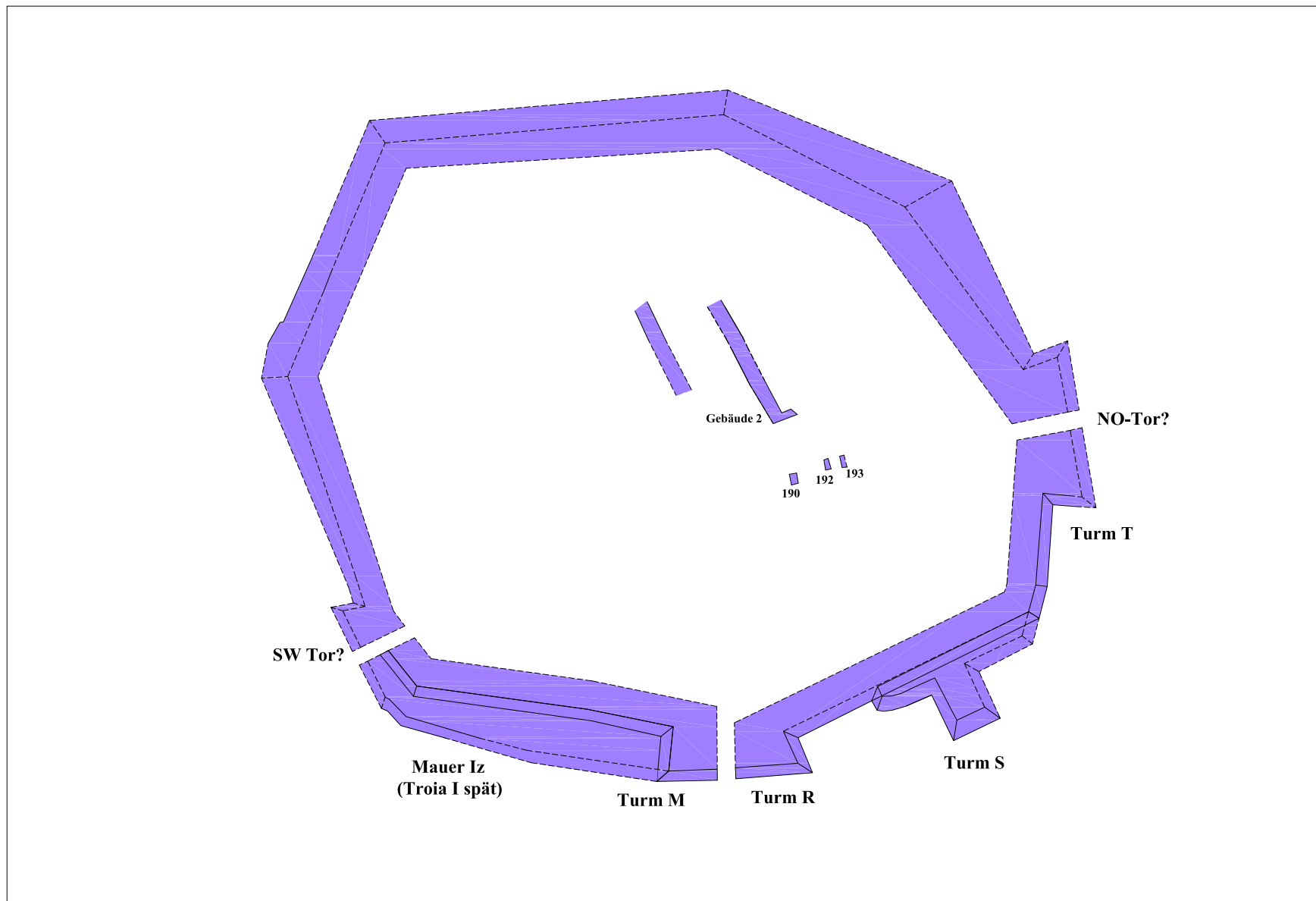
D**E****F****G****Plan 2**



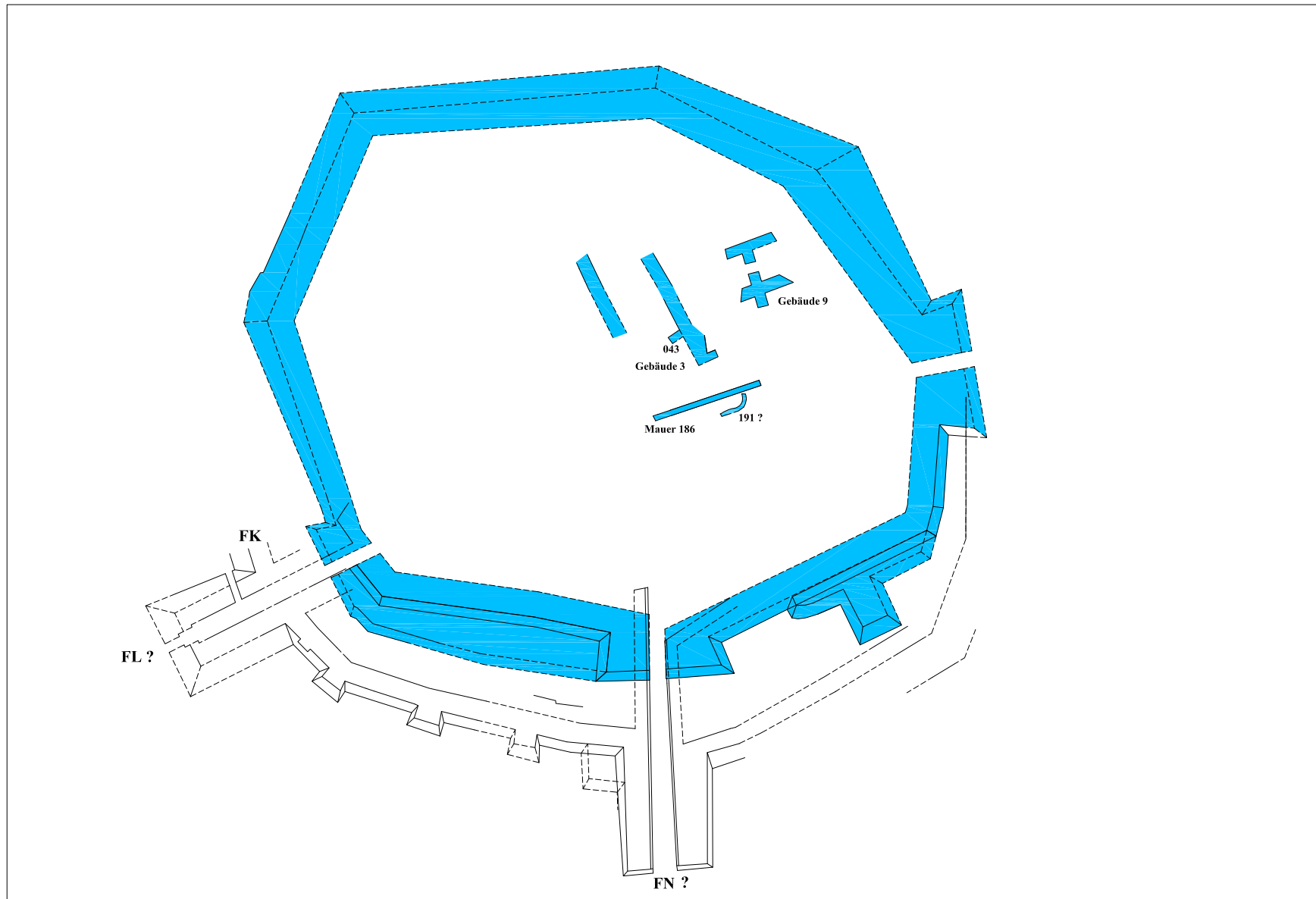
Plan 3: Lage der Profile



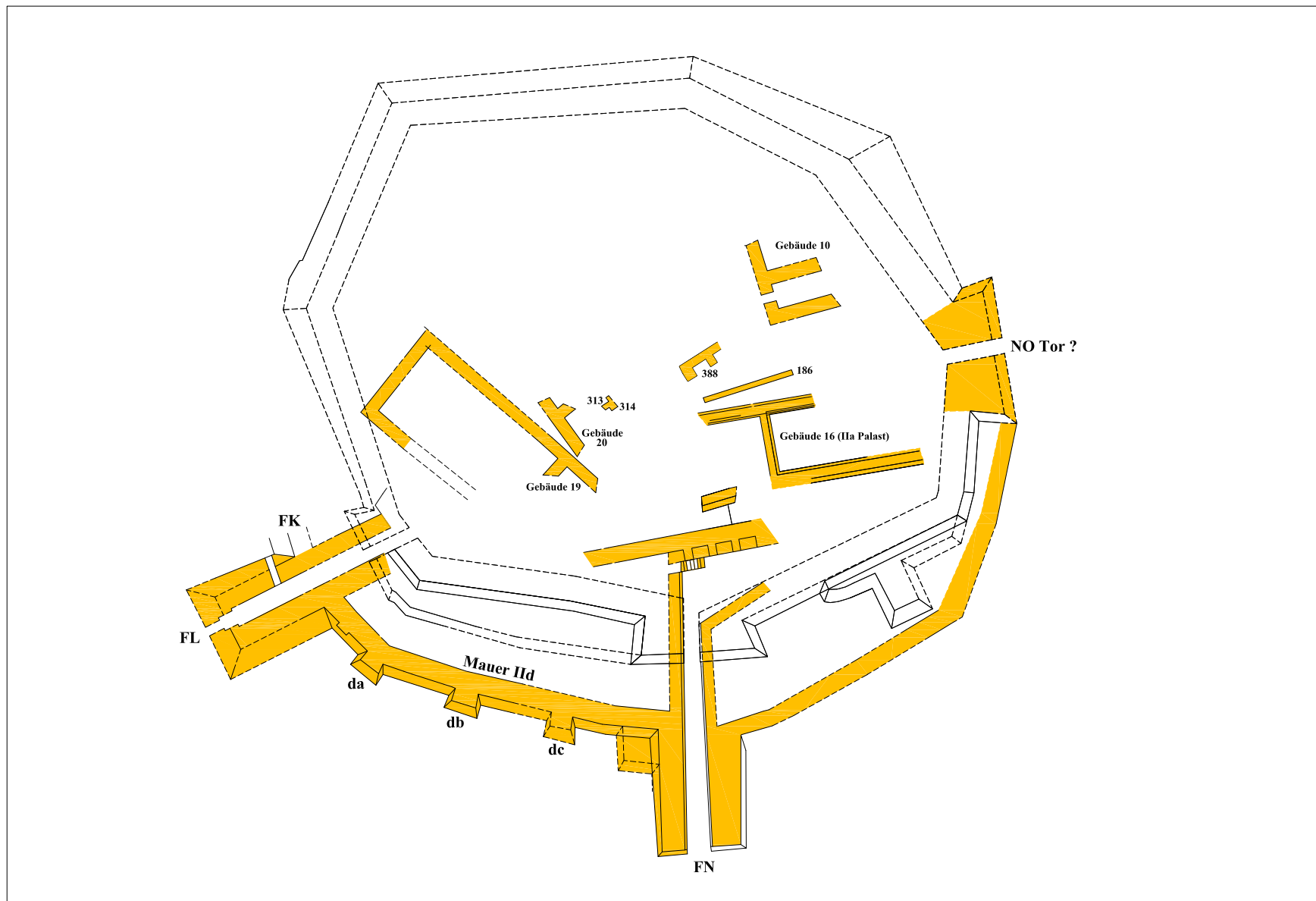
Plan 4: Phase II



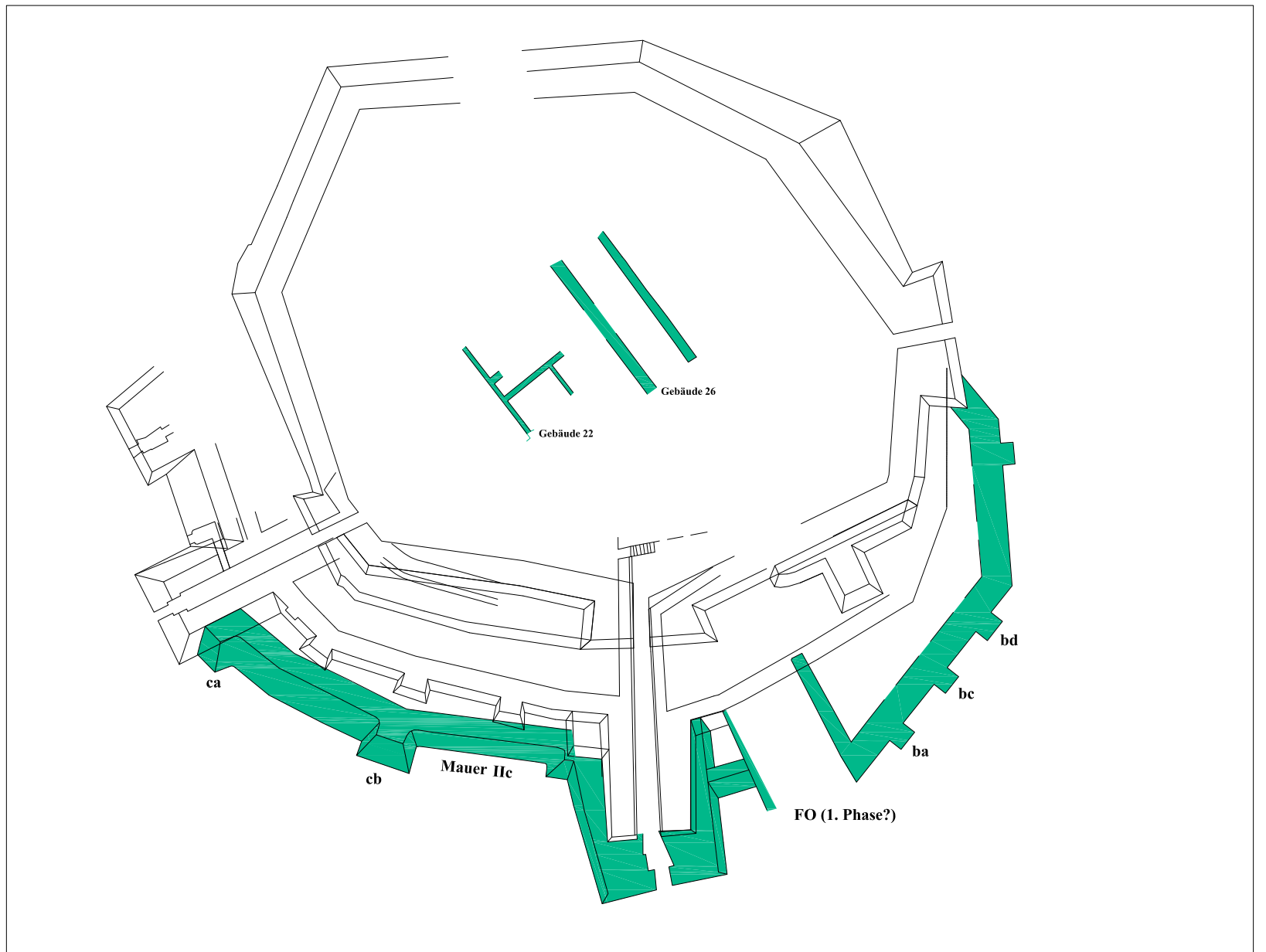
Plan 5: Phase Im



Plan 6: Phase In



Plan 7: Phasen IIa1 und IIa2



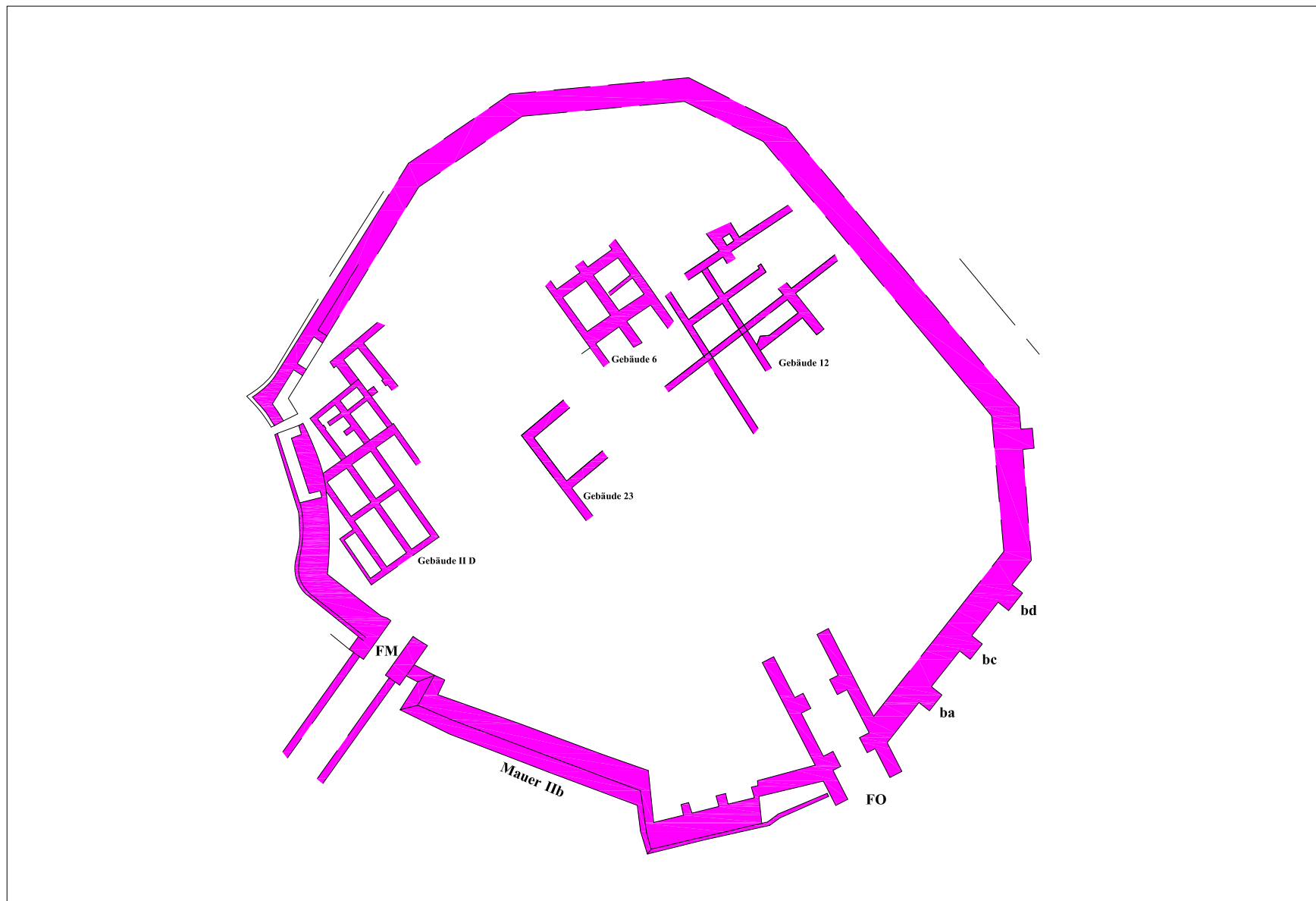
Plan 8: Phase IIb1



Plan 9: Phase IIb2



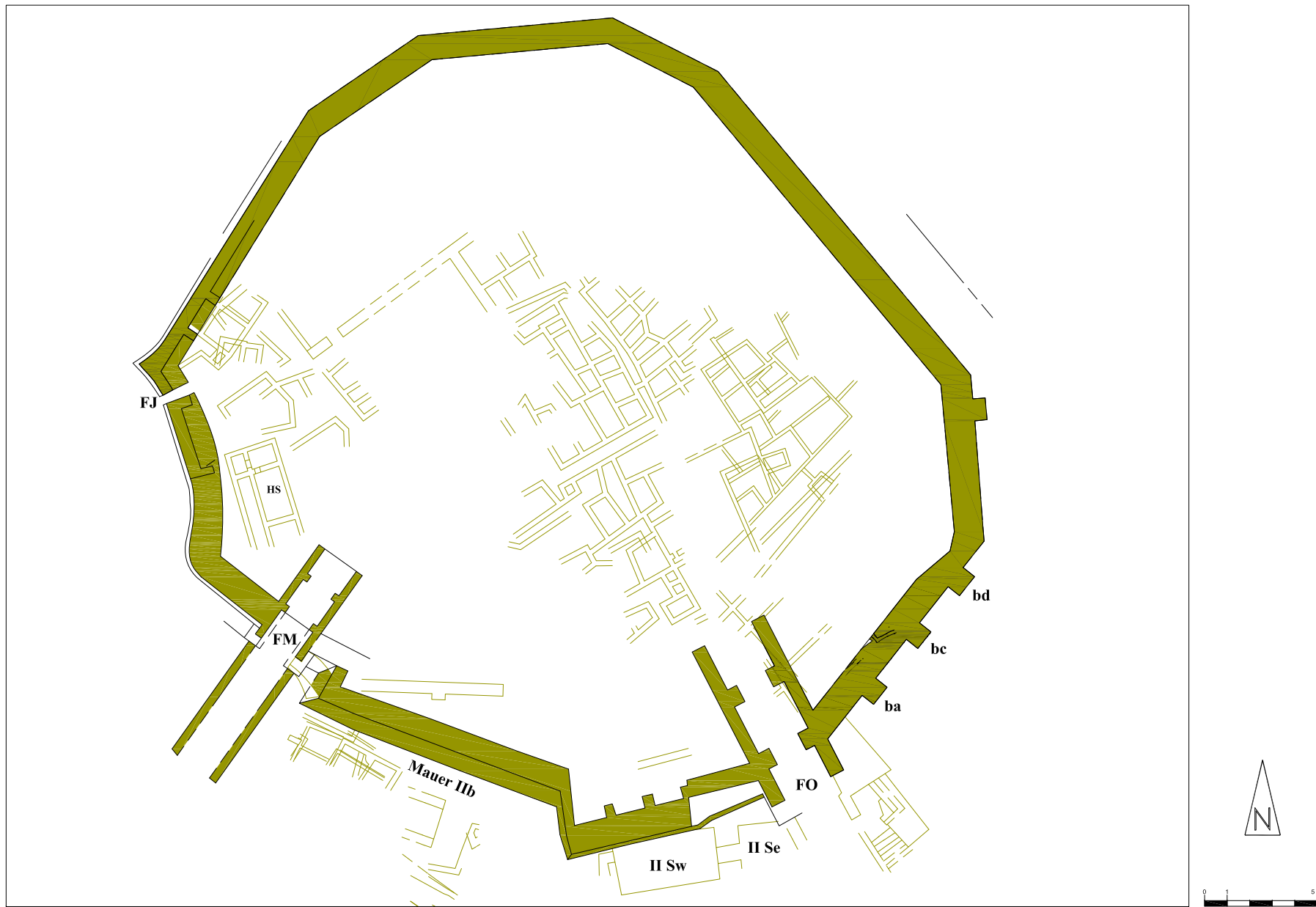
Plan 10: Phase IIb3



Plan 11: Phase IIb4

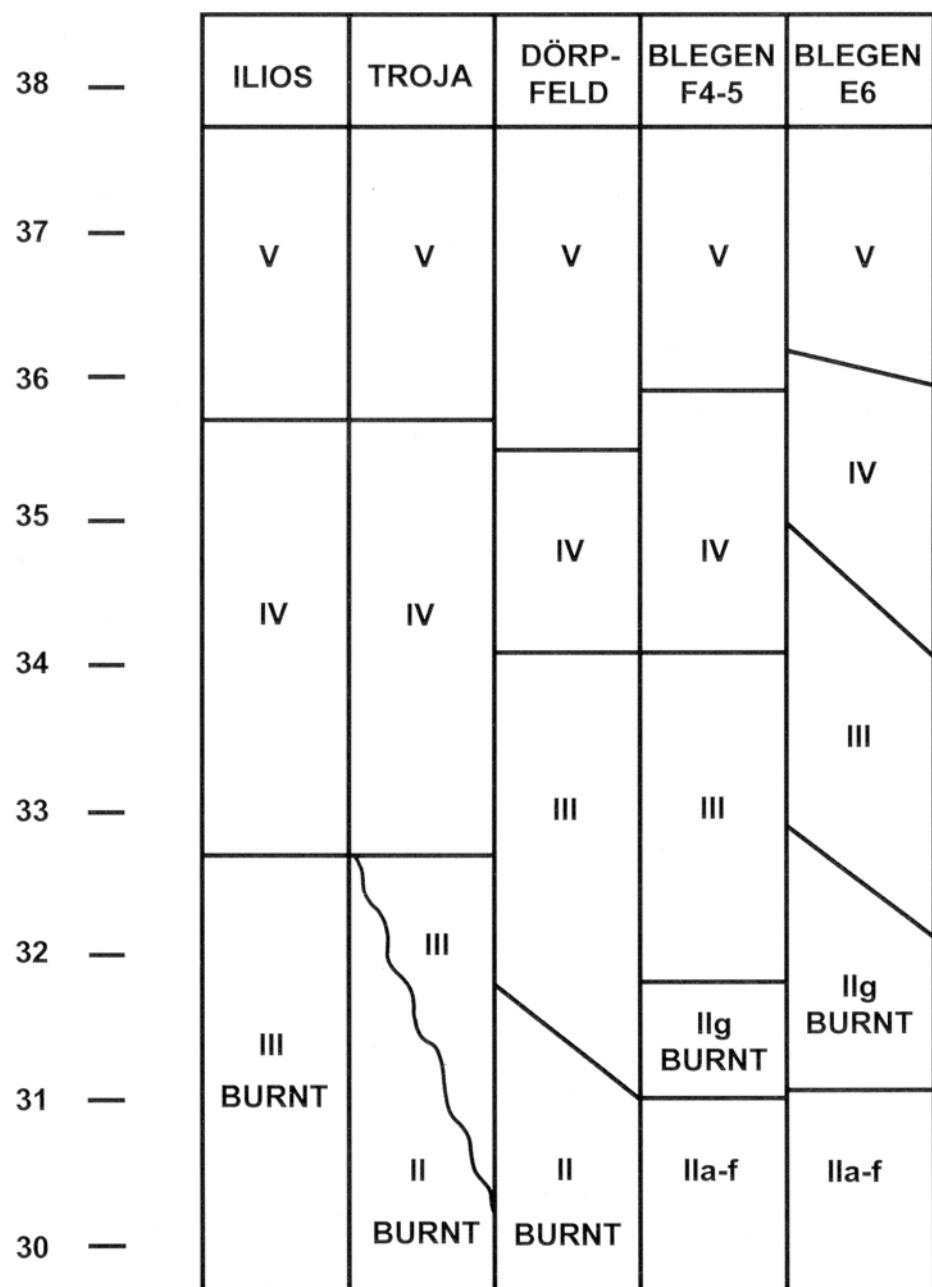


Plan 12: Phasen IIc1-IIc3



Plan 13: Periode III

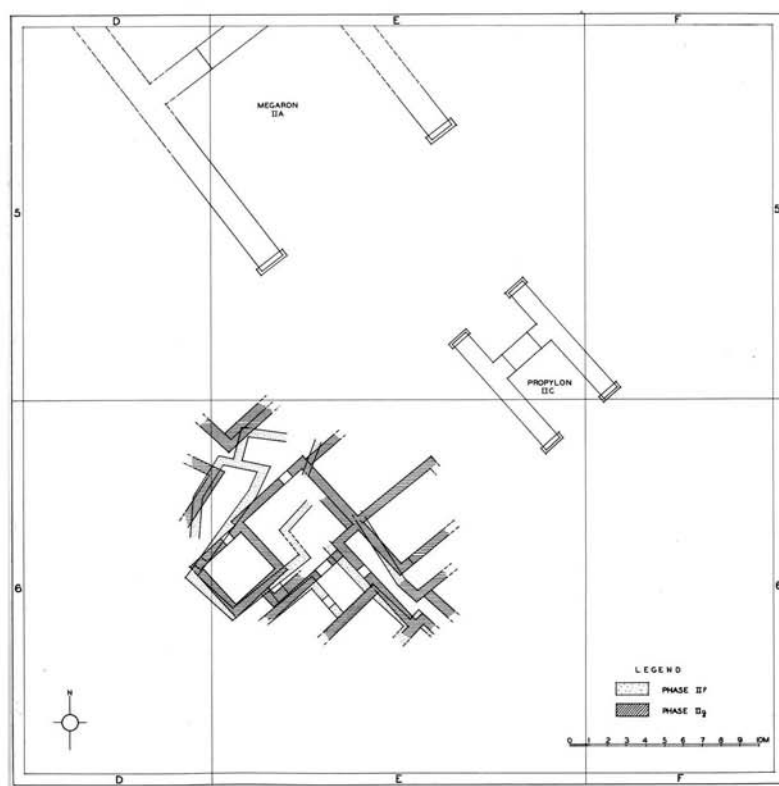
Taf. 1



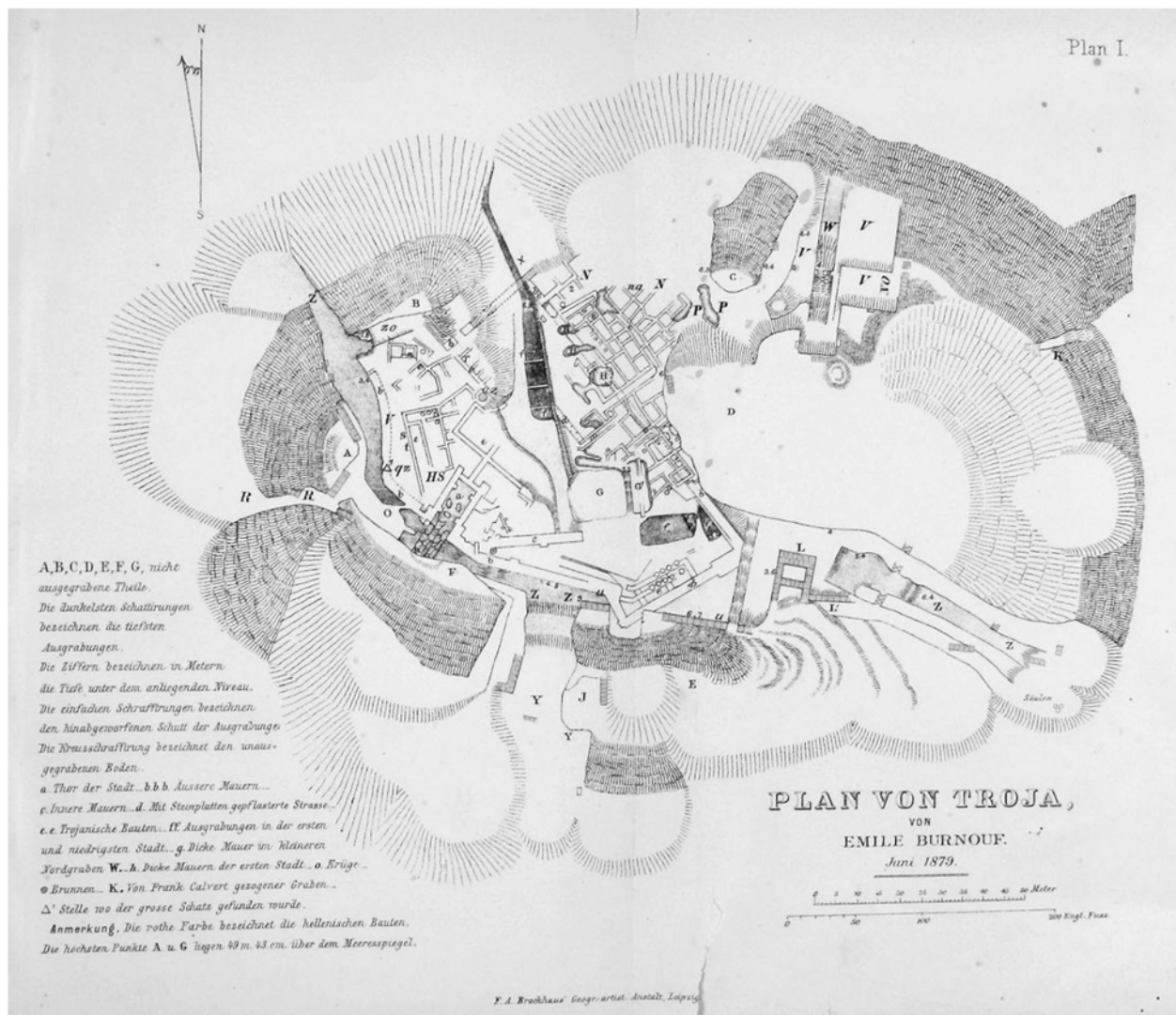
Schematische Darstellung der stratigraphischen Abfolge von Troia II-V gemäß Schliemann, Dörpfeld und Blegen (Easton 2000a: Fig. 1)

Stratigraphical Sequence of Troy I-II		
Dörpfeld	Blegen	Korfmann
		IIIh (Phase 44)
	IIg	
	IIf	
	IIe	
	IId	
II.3	IIc	Iu (Phase 39)
		It (Phase 38)
		Is (Phase 37)
		Ir (Phase 36)
		Iq (Phase 35)
II.2	IIb	Ip (Phase 34)
II.1	IIa	Io (Phase 33)
		In (Phase 32)
		Im (Phase 31)
		Il (Phase 30)
		I a-k

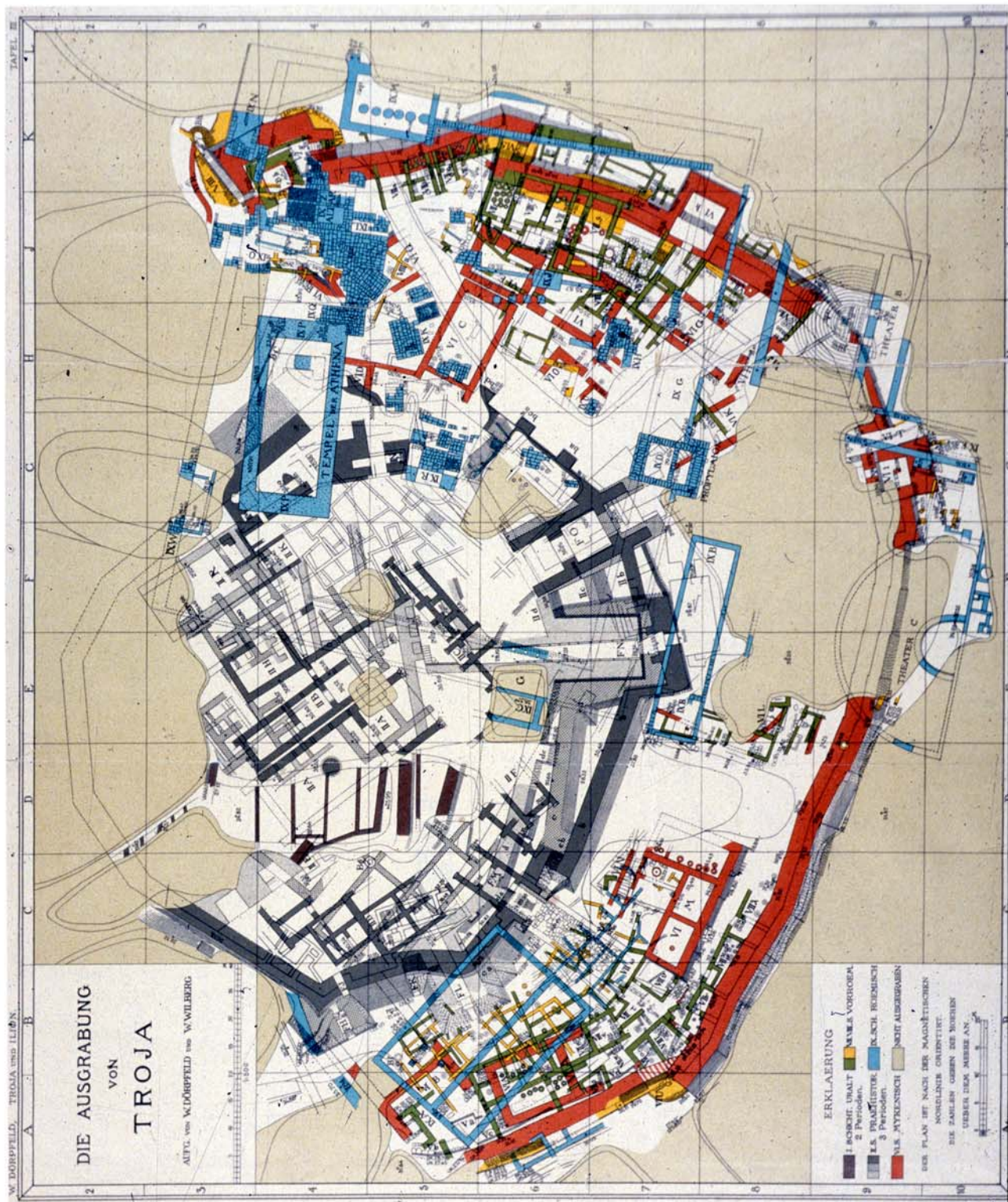
1. Stratigraphische Abfolge der Perioden I-II



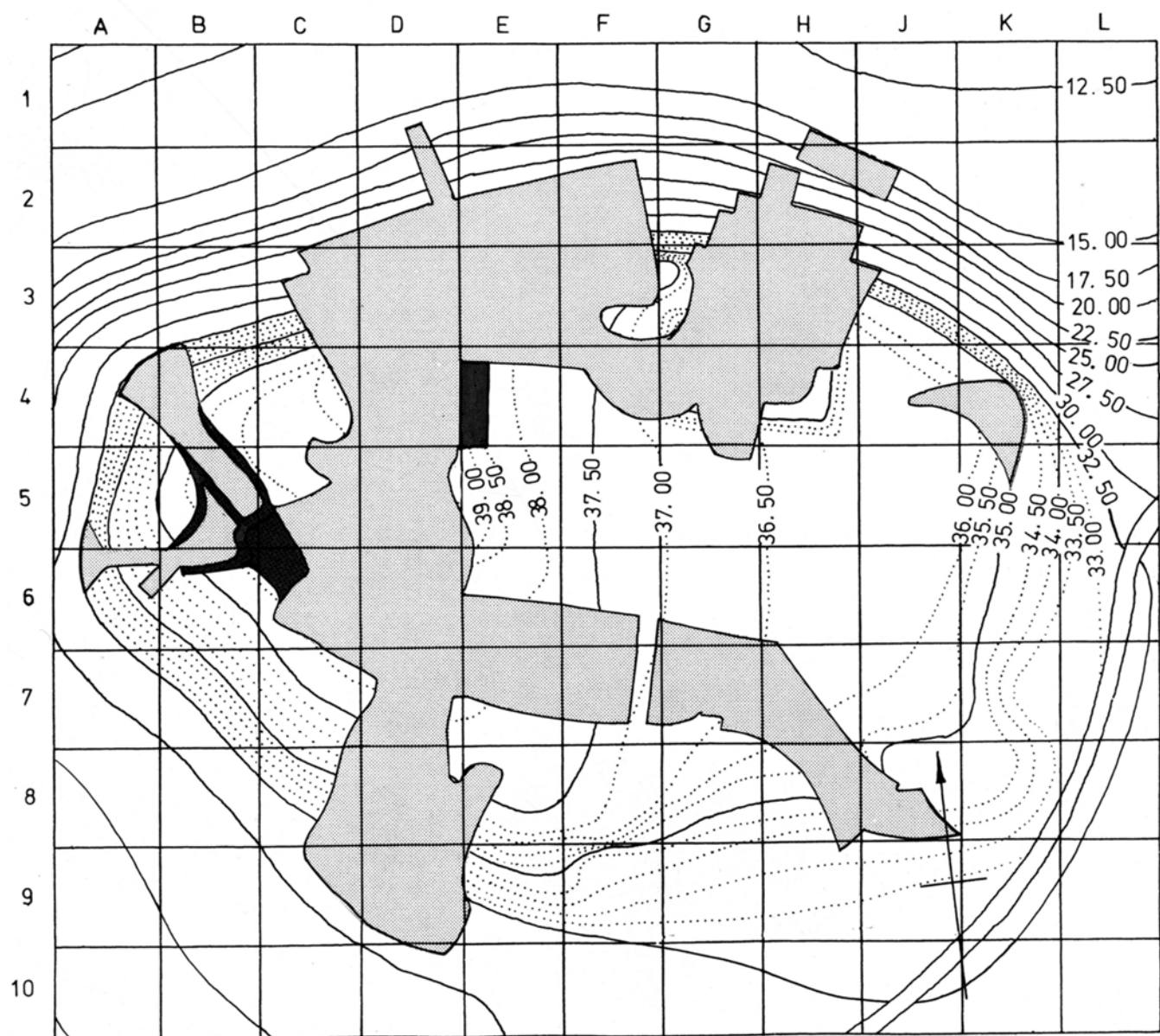
2. Quadrate DEF5/6, Bebauung der Phasen IIf und IIg gemäß Blegen (Blegen et al. 1950: Fig. 458)



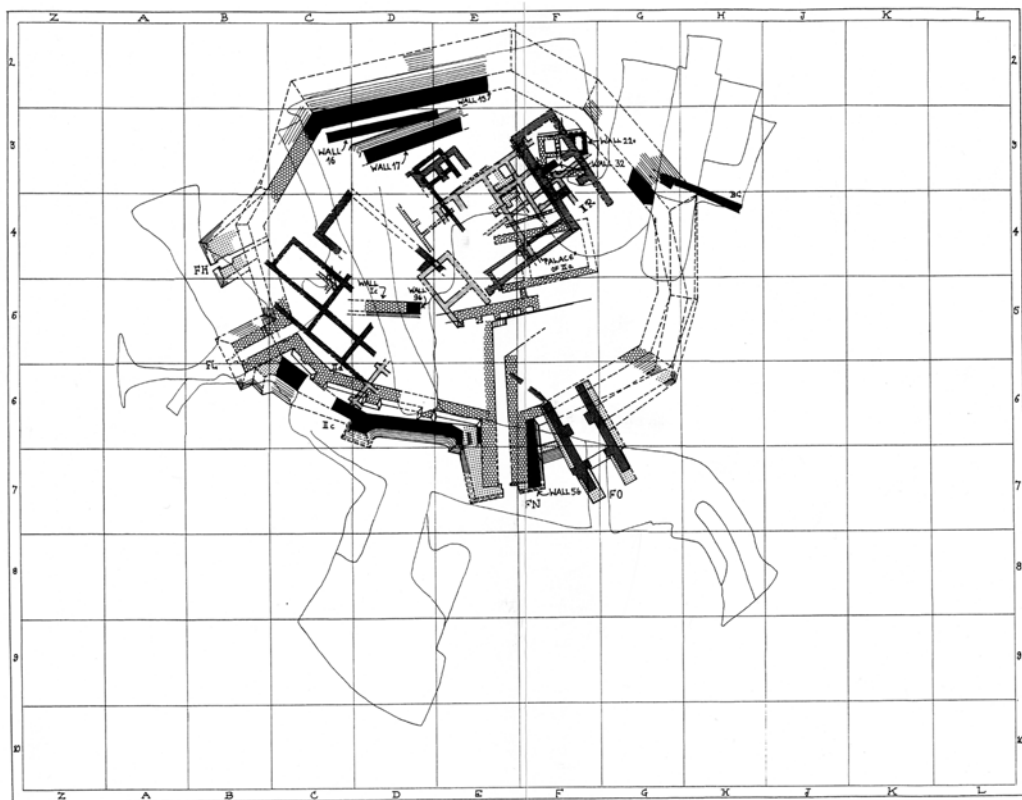
**Troia III-zeitliche Bebauung im Bereich der Zitadelle gemäß Schliemann
(Schliemann 1881: Plan 1)**



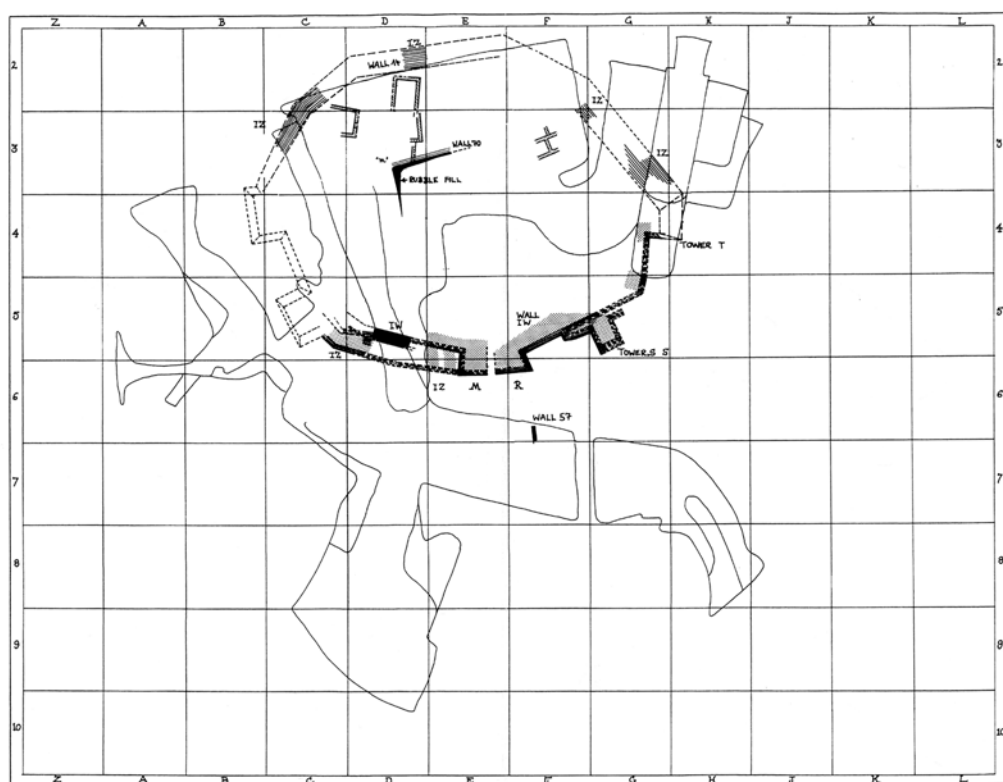
Architektonische Bestand zur Zeit von Dörpfeld (Dörpfeld 1902: Taf. III)



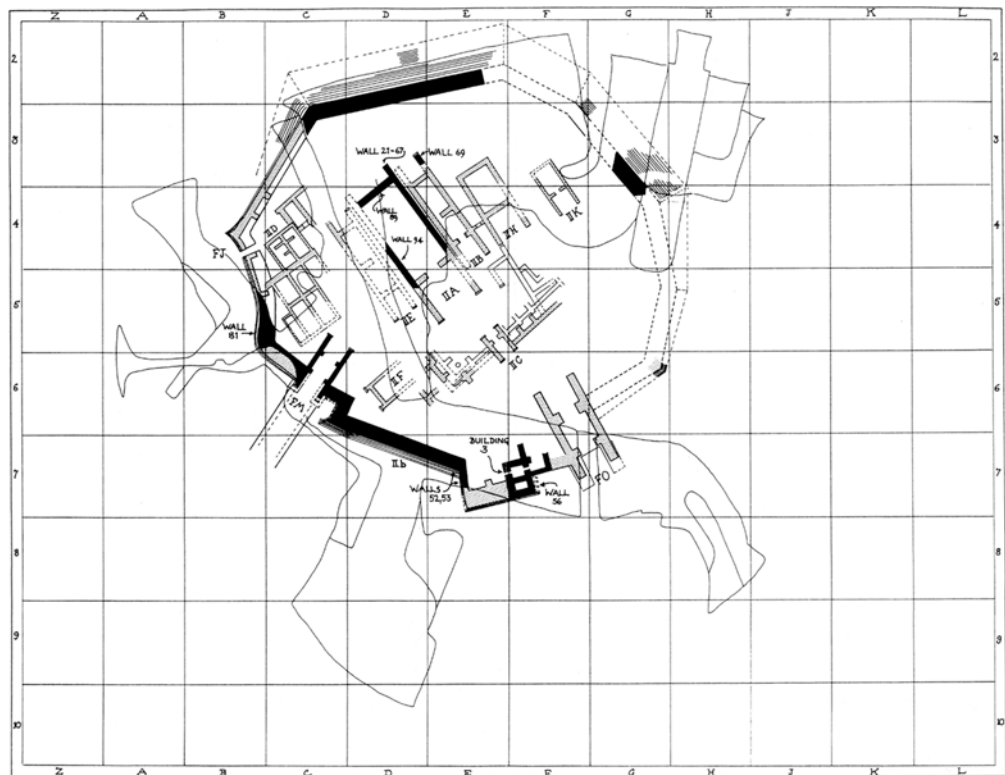
**Rekonstruktion der Lage der von Schliemann angelegten Grabungsareale gemäß Easton
(Easton 2002: Fig. 31)**



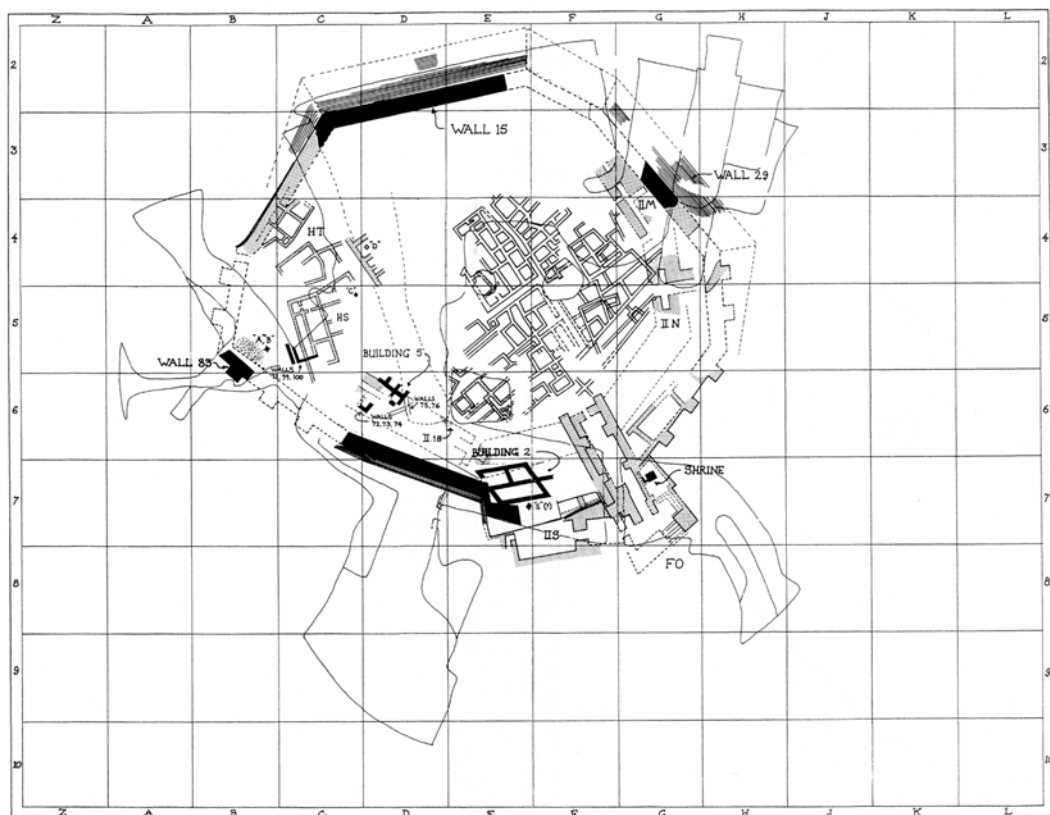
1. Baubefunde der Phase Troia II früh zur Zeit Schliemanns
(Easton 2002: Fig. 196)



2. Architektonische Elemente der Phase Troia I spät zur Zeit Schliemanns
(Easton 2002: Fig. 195)



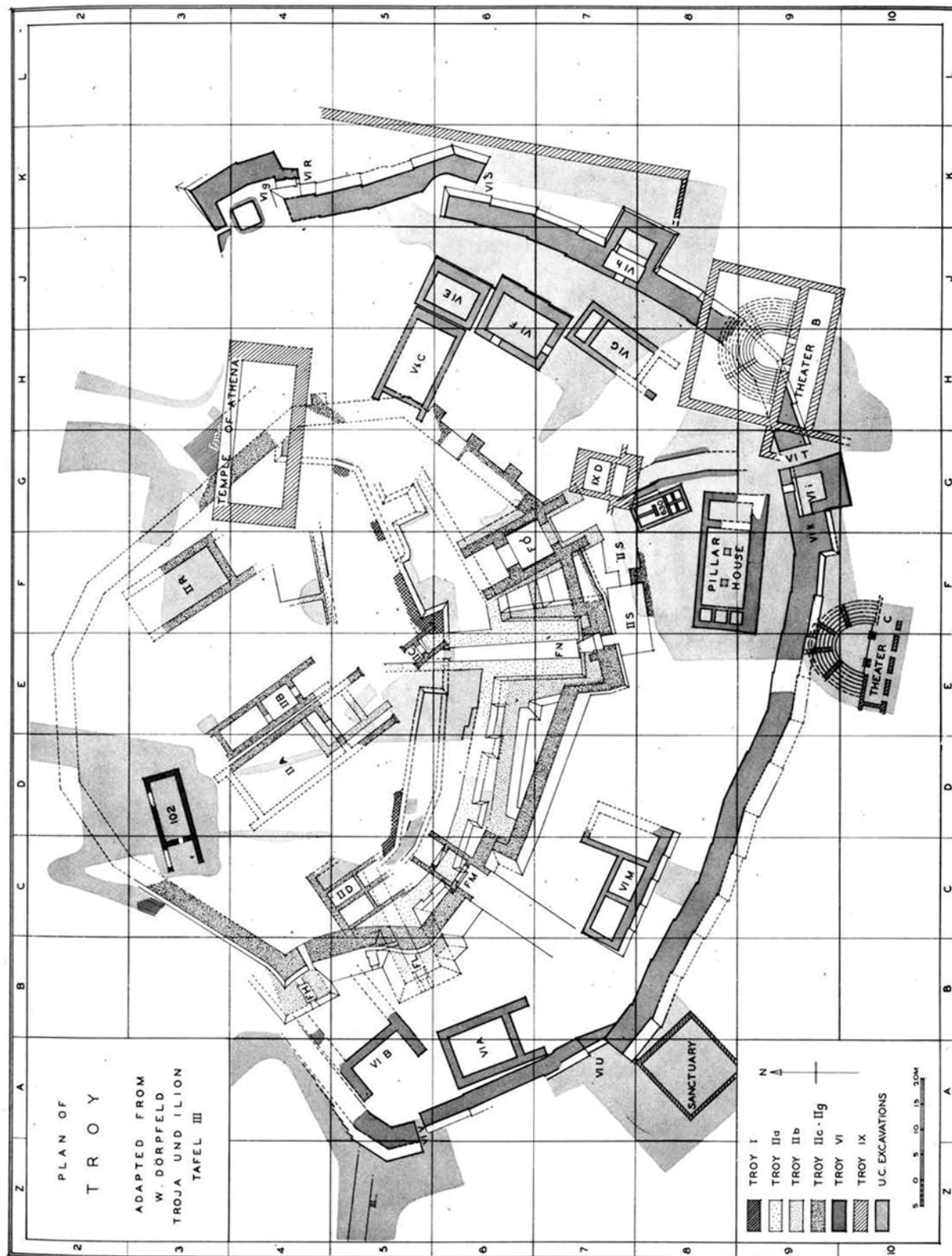
**1. Bebauung der Phase Troia II Mitte zur Zeit Schliemanns
(Easton 2002: Fig. 197)**



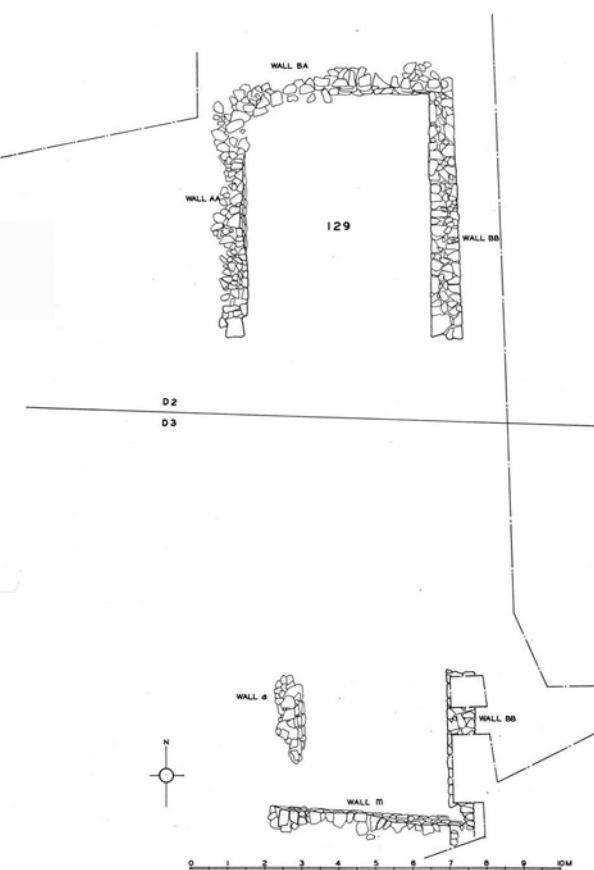
**2. Architektonische Substanz der Phase Troia II spät zur Zeit Schliemanns
(Easton 2002: Fig. 198)**



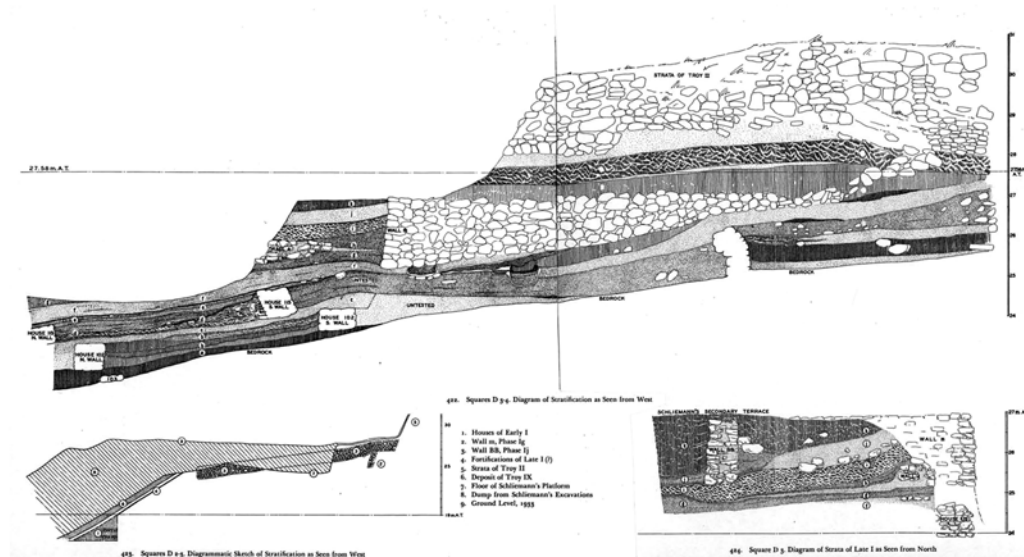
Baubefunde der Periode Troia III zur Zeit Schliemanns
(Easton 2002: Fig. 199)



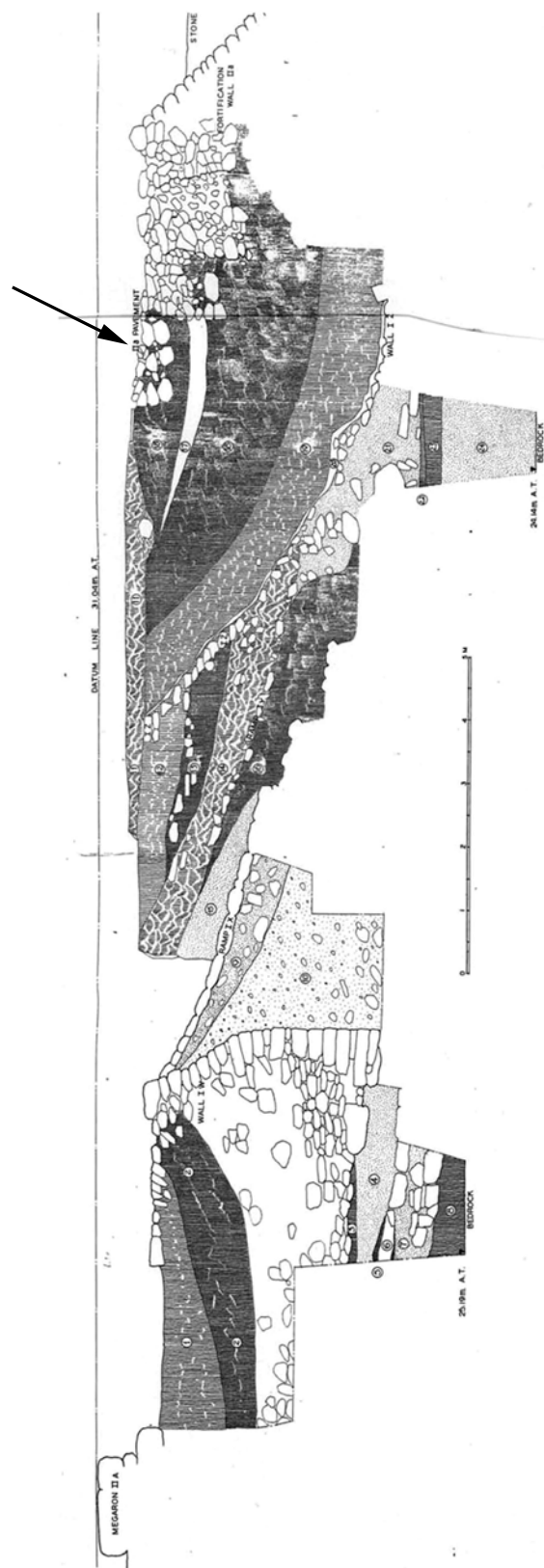
Lage der von Blegen zwischen 1932-1938 untersuchten Areale
(Blegen et al. 1950: Fig. 417)



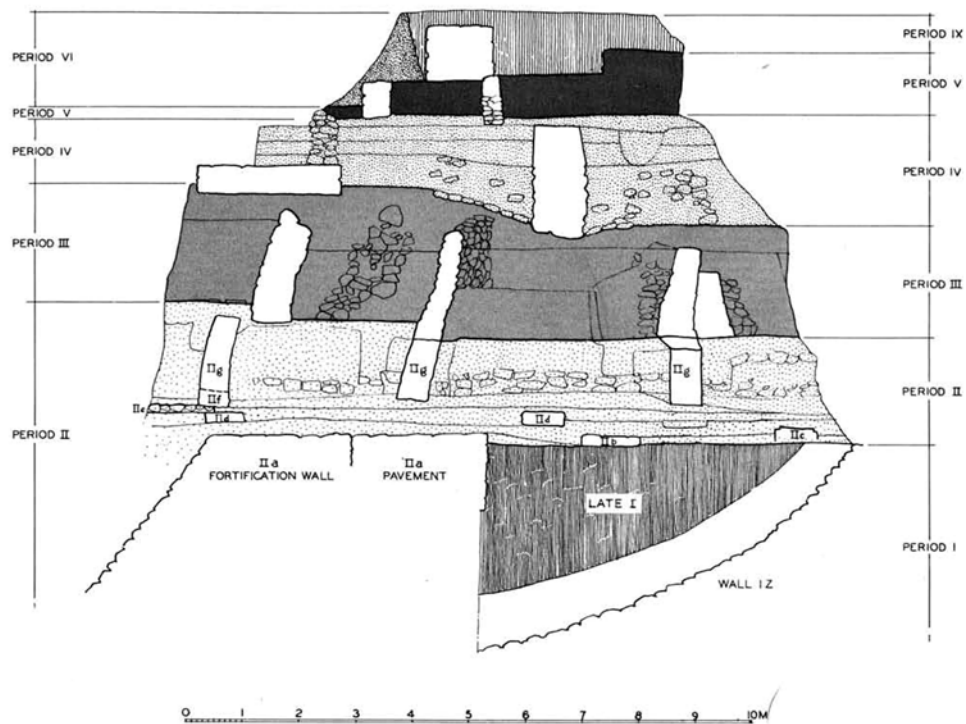
1. Quadrat D2/3, Mauern BB und m (Blegen et al. 1950: Fig. 421)



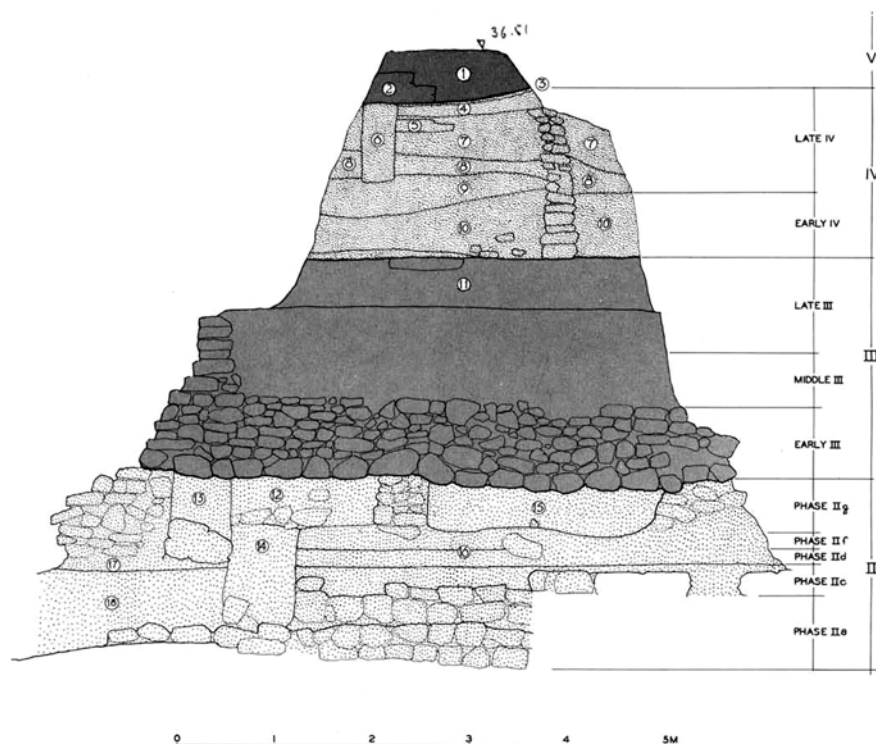
2. Stratigraphische Abfolge der Perioden I-II der Quadrate D2/4
(Blegen et al. 1950: Fig. 422-424)



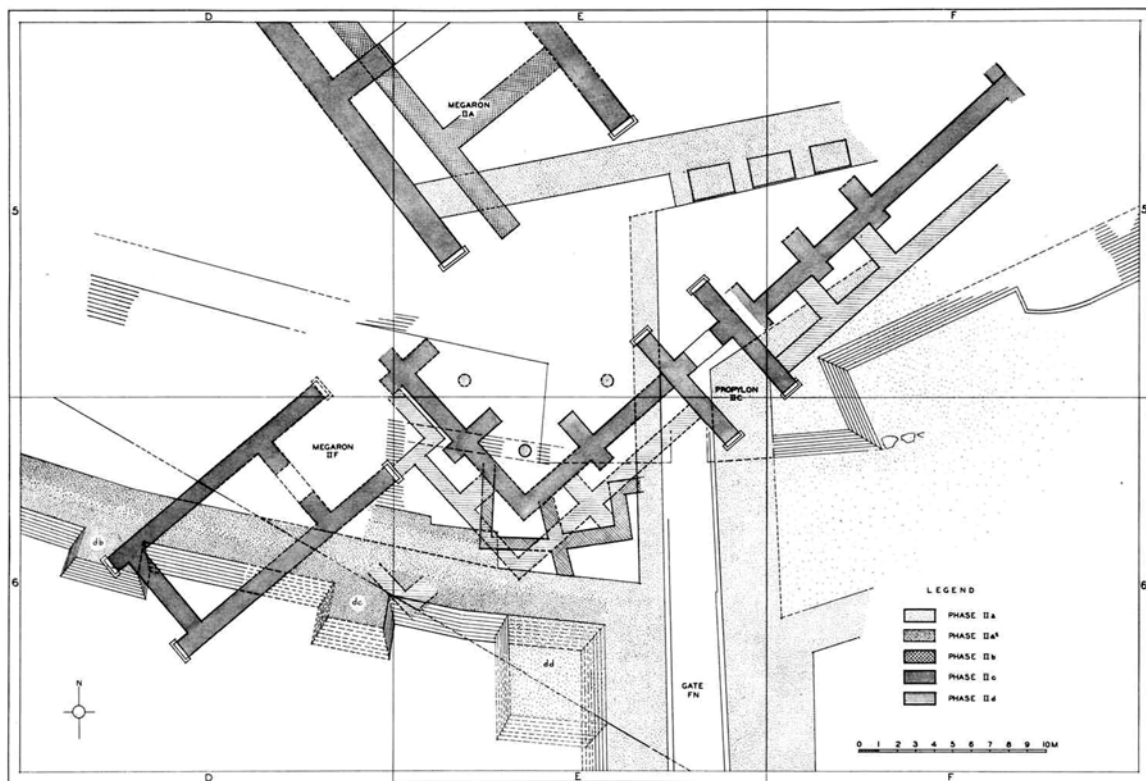
Quadrat E5/7, stratigraphische Abfolge der Perioden Troia I-II
(Blegen et al. 1950: Fig. 437)



1. Quadrat E6, stratigraphische Abfolge (Blegen et al. 1950: Fig. 450)



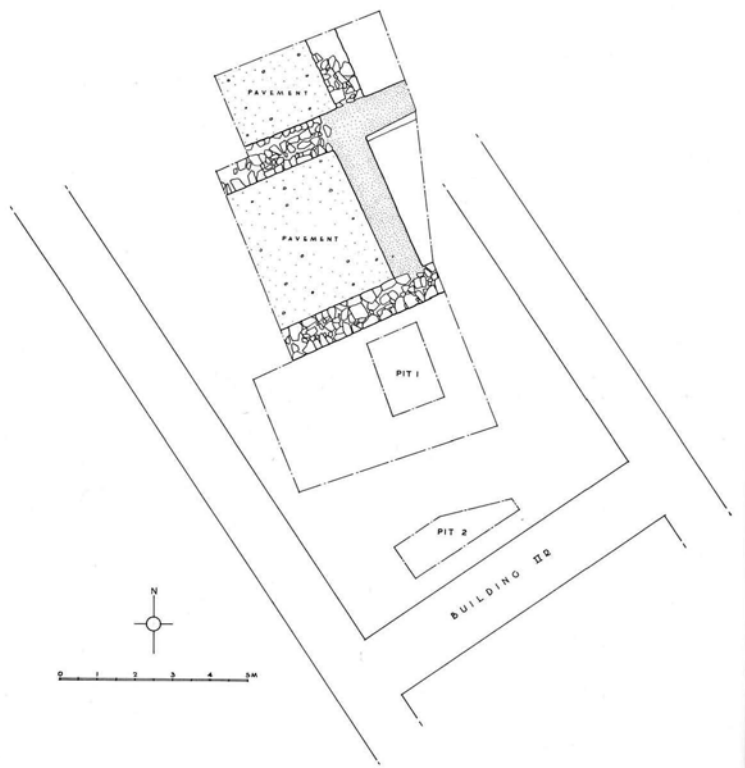
2. Quadrate F4/5, Schichten Abfolge der Perioden Troia II-V
(Blegen et al. 1950: Fig. 465)



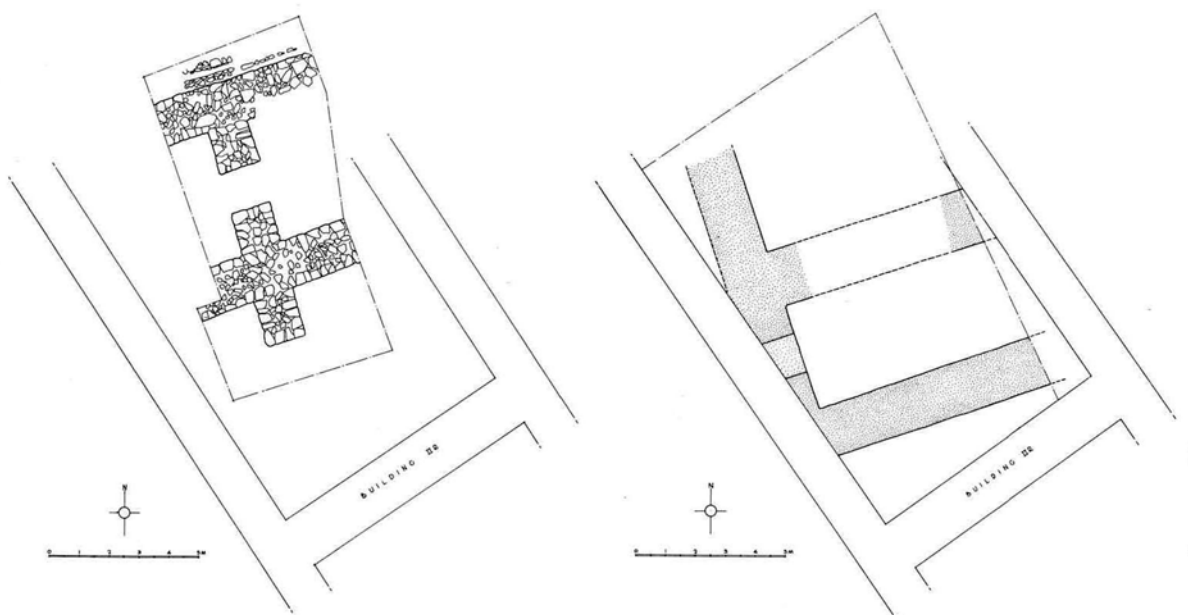
1. Quadrate DEF5/6, Schematische Darstellung der TroiaIIa-IIe-zeitlichen Baubefunde
(Blegen et al. 1950: Fig. 451)



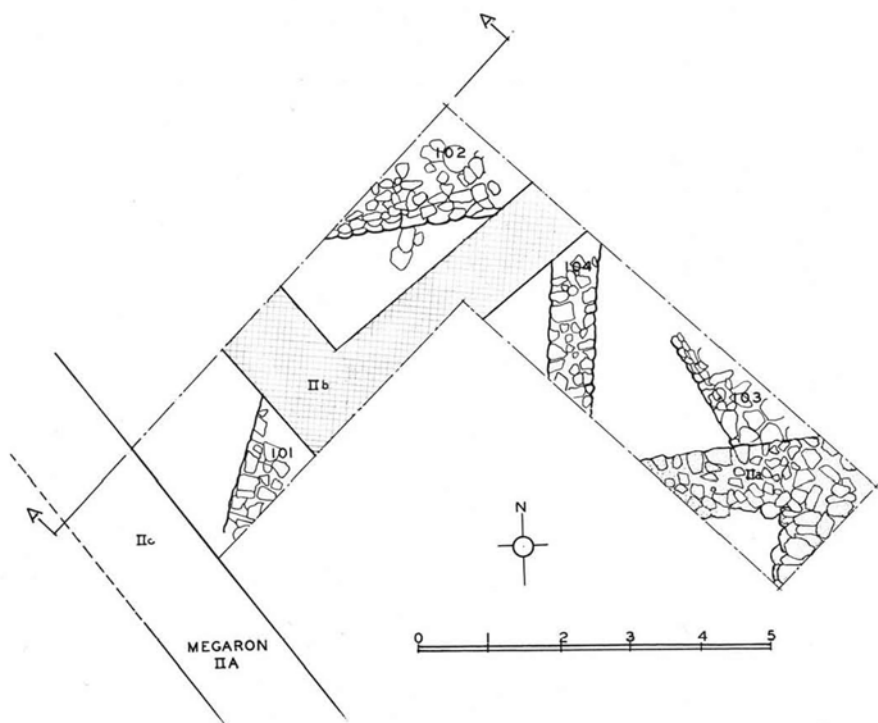
2. Quadrate F3/4, architektonische Elemente der Perioden Troia I und Troia II
(Blegen et al. 1950: Fig. 432)



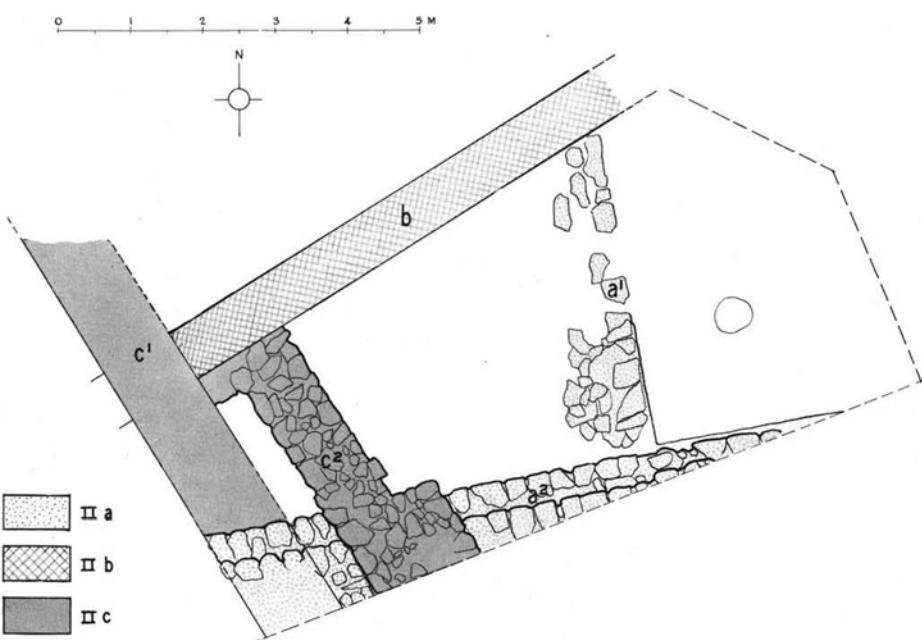
1. Quadrat F3, Baubefunde der Phase Troia I spät (Blegen et al. 1950: Fig. 433)



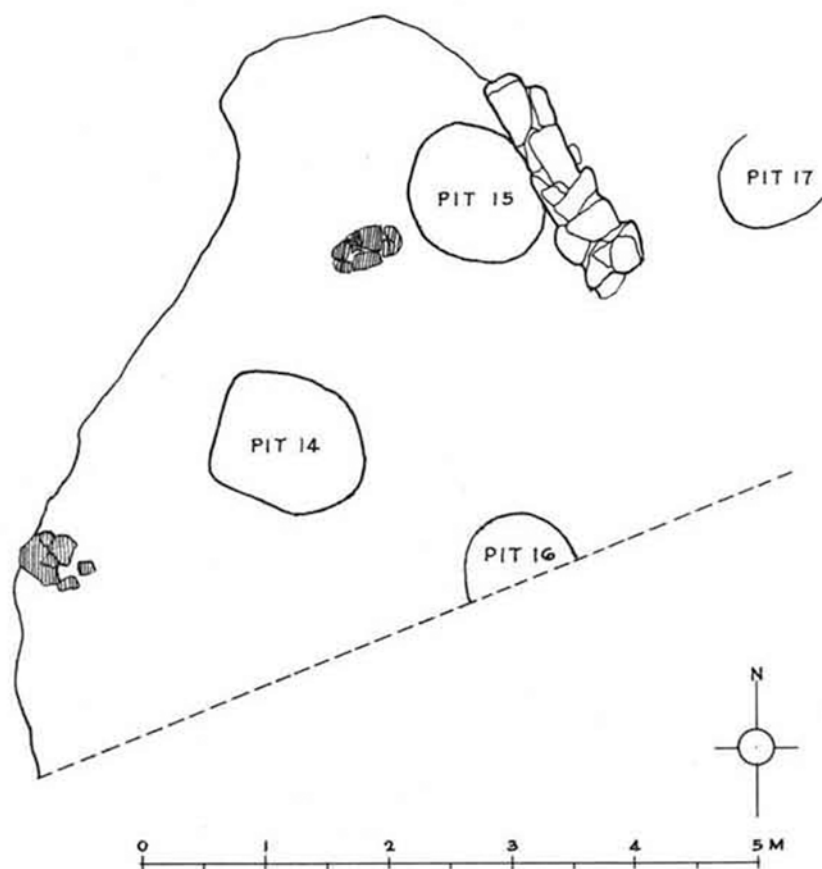
2. Quadrate F3, Bebauung der Phasen Troia IIa (Links) und Troia IIb (Rechts)
(Blegen et al. 1950: Fig. 434, 435)



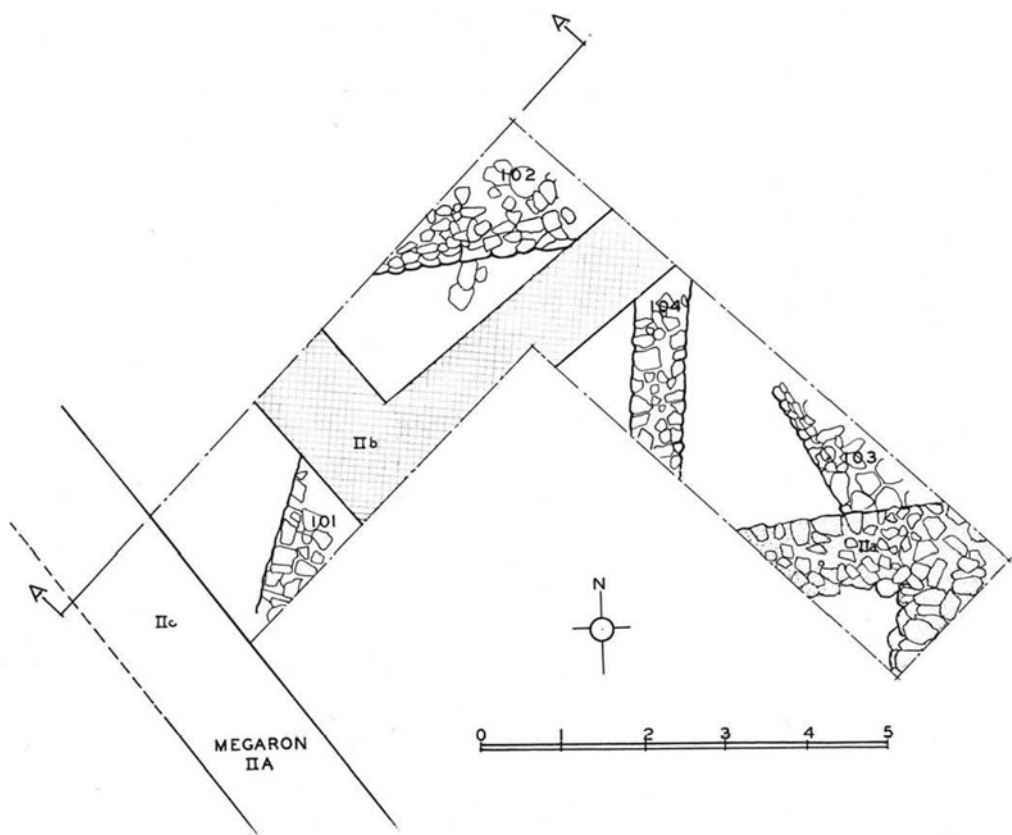
**1. Quadrat E5, Mauern der Perioden Troia I und Troia II
(Blegen et al. 1950: Fig. 447)**



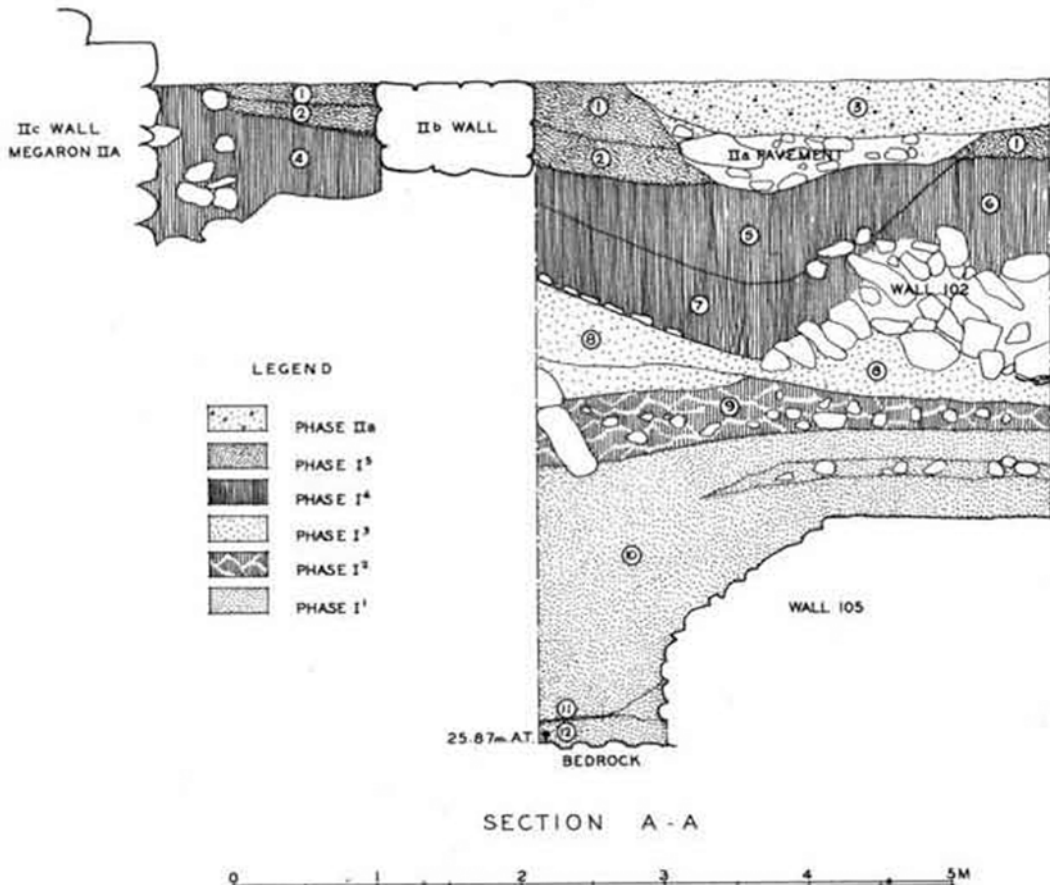
**2. Quadrate F4/5, stratigraphische Abfolge der Periode Troia II
(Blegen et al. 1950: Fig. 466)**



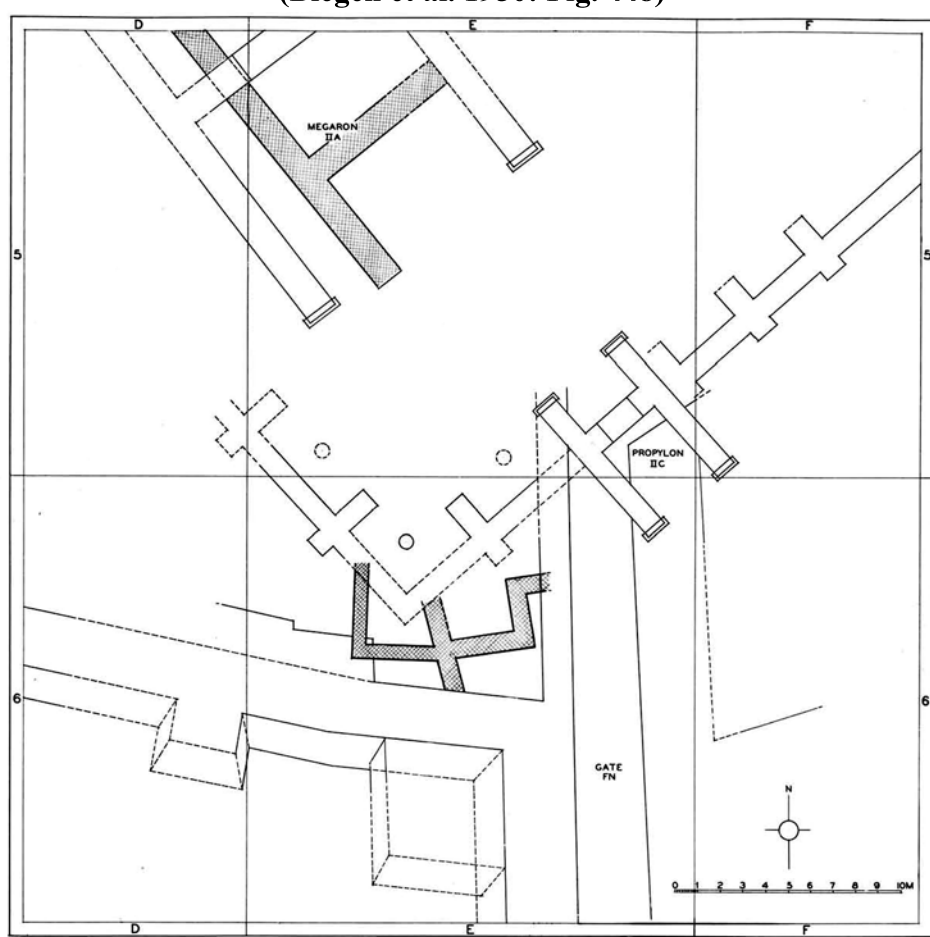
1. Quadrate F4/5, Mauern und Gruben der Phase Troia IIId
 (Blegen et al. 1950: Fig. 467)



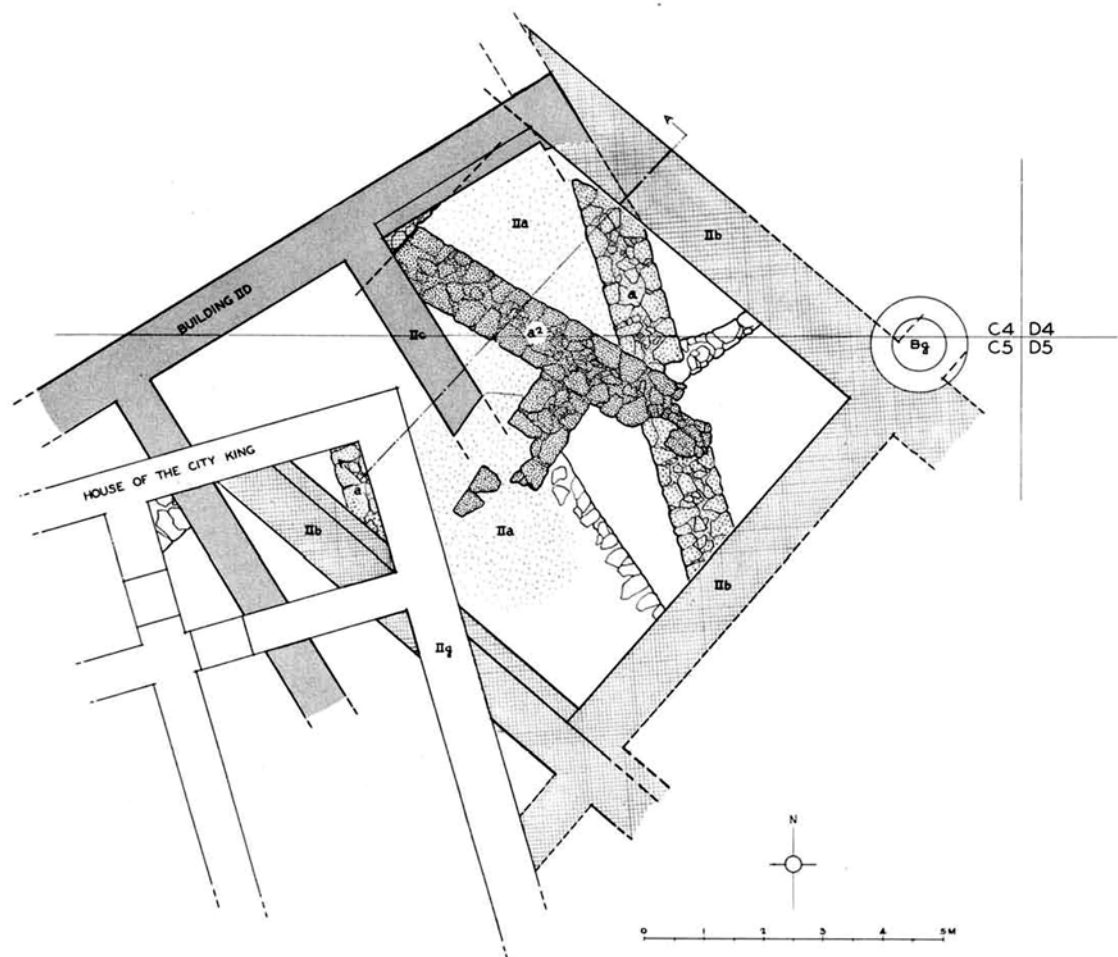
2. Quadrat E5, Mauern der Perioden Troia I und Troia II
 (Blegen et al. 1950: Fig. 447)



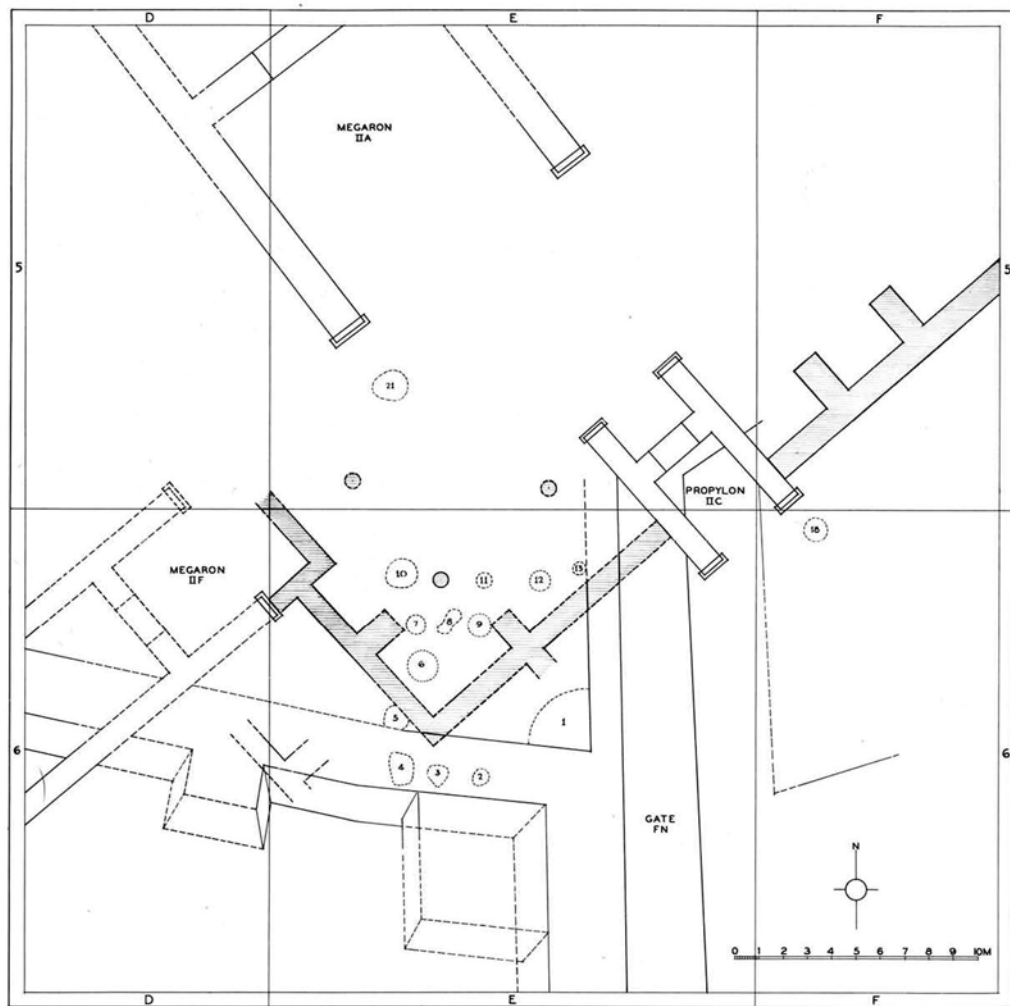
1. Quadrat E5, Schichten der Periode Troia I-IIa
(Blegen et al. 1950: Fig. 448)



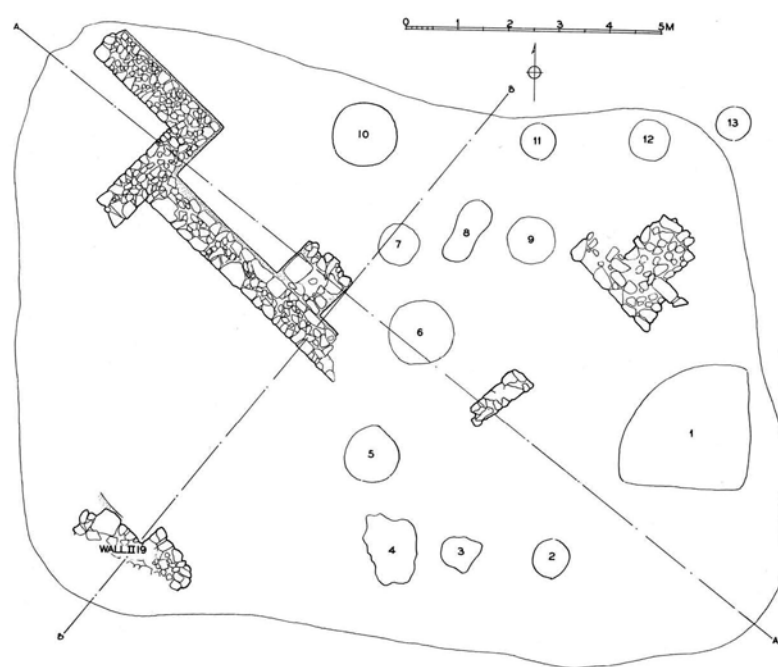
2. Quadrate DEF5/6, schematische Darstellung der Mauern von Phase Troia IIb
(Blegen et al. 1950: Fig. 454)



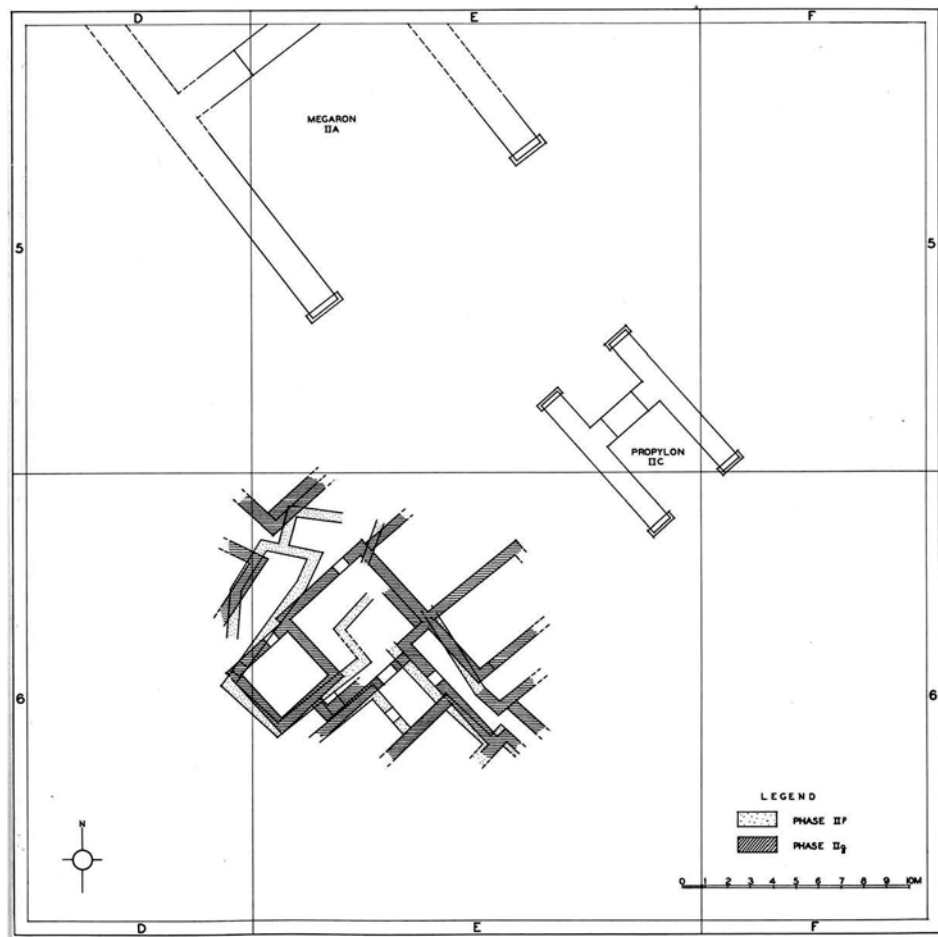
Quadrat C4/5, Bebauung der Periode Troia II
(Blegen et al. 1950: Fig. 463)



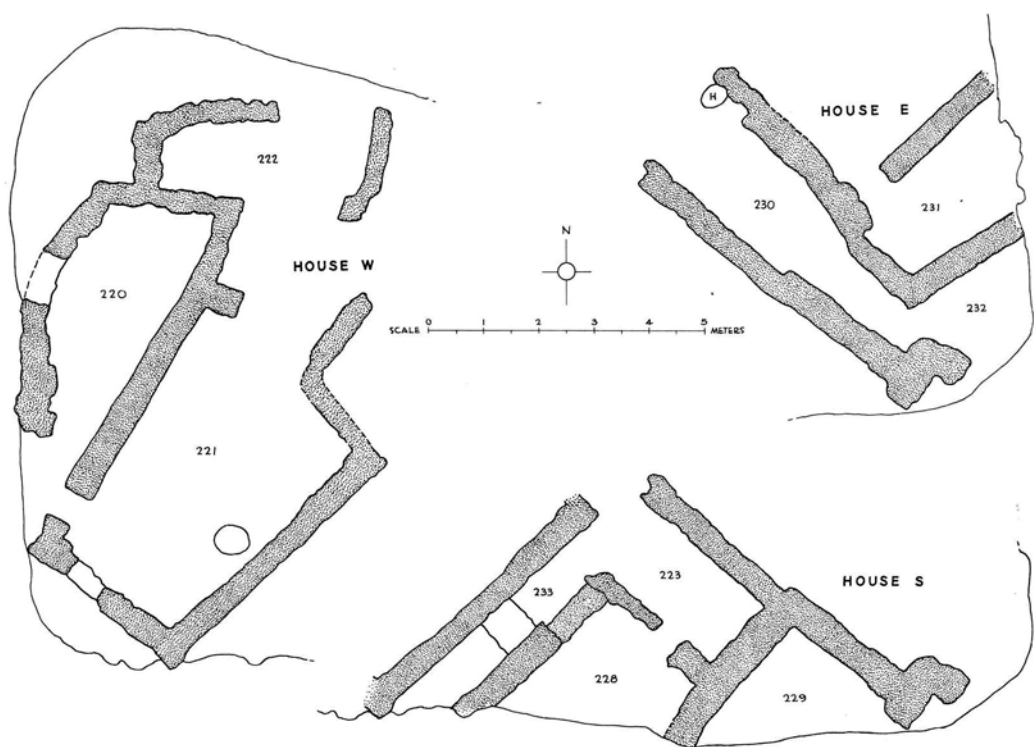
1. Quadrate DEF5/6, Lage der Mauern und Gruben der Phase Troia IIId
(Blegen et al. 1950: Fig. 457)



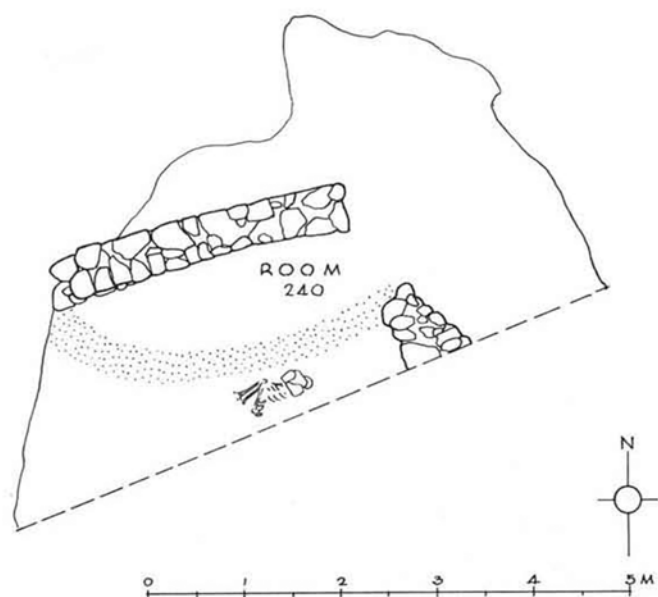
2. Quadrat E6, Mauern und Gruben der Phase Troia IIId
(Blegen et al. 1950: Fig. 456)



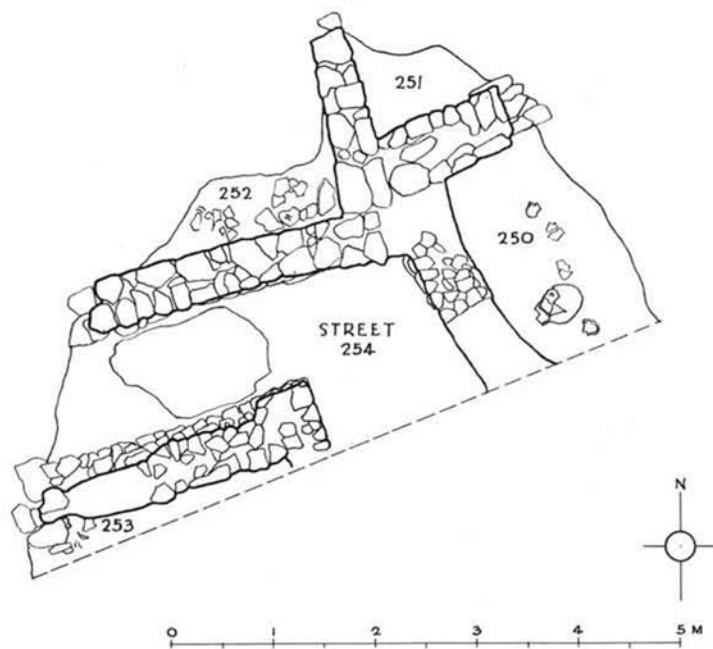
1. Quadrate DEF5/6, Mauern der Phasen IIIf und IIg
(Blegen et al. 1950: Fig. 458)



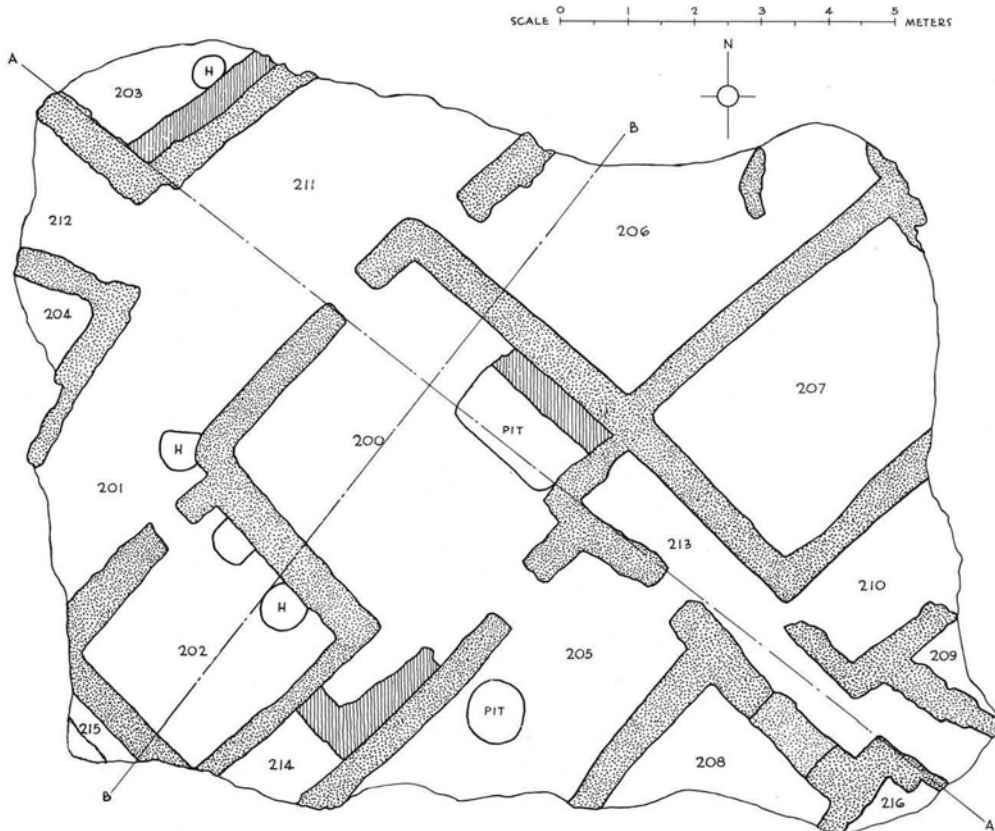
2. Quadrat E6, schematische Darstellung des Gebäudekomplexes der Phase Troia IIIf
(Blegen et al. 1950: Fig. 460)



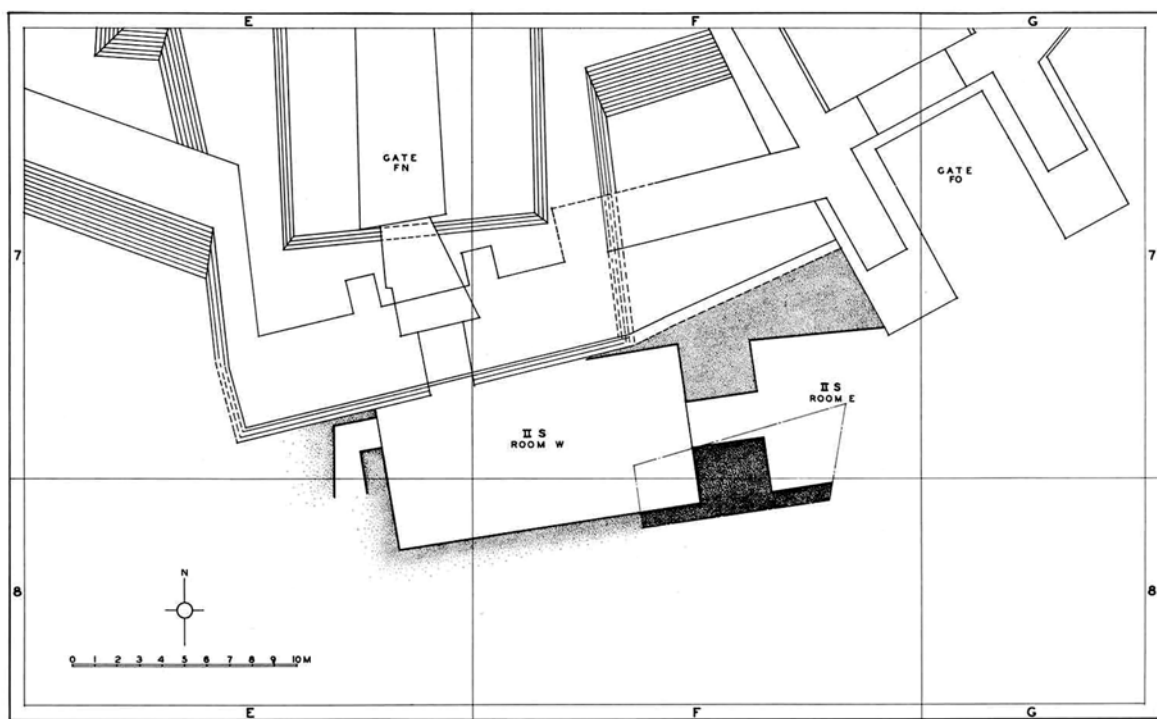
1. Quadrate F4/5, Mauern der Phase IIf (Blegen et al. 1950: Fig. 468)



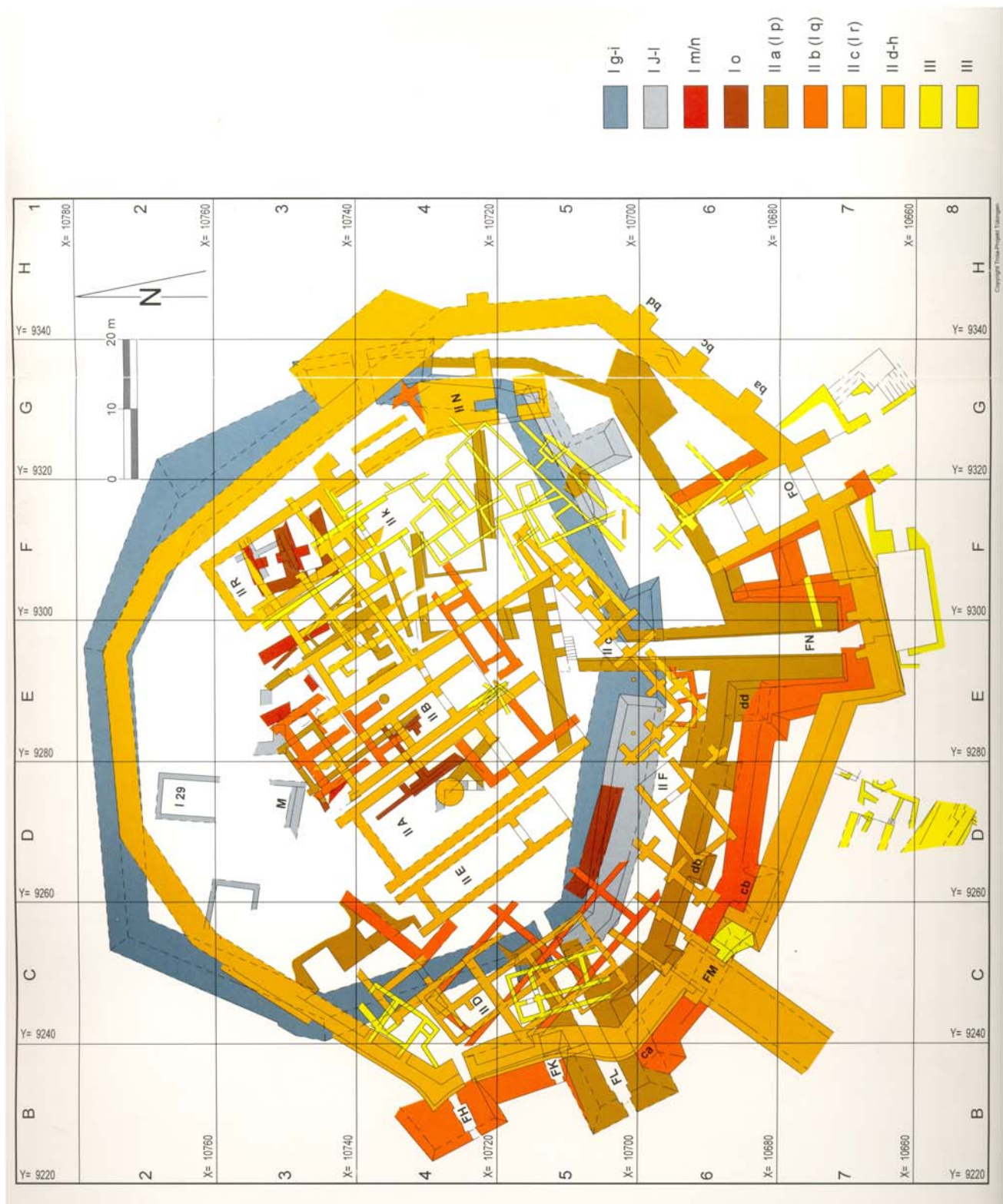
2. Quadrate F4/5, Troia IIg-zeitliche Bebauung
(Blegen et al. 1950: 469)



1. Quadrat E6, schematische Darstellung der Bebauung der Phase Troia IIg
(Blegen et al. 1950: Fig. 462)



2. Quadrate EF6/7/8, Gebäude II S (Blegen et al. 1950: Fig. 471)

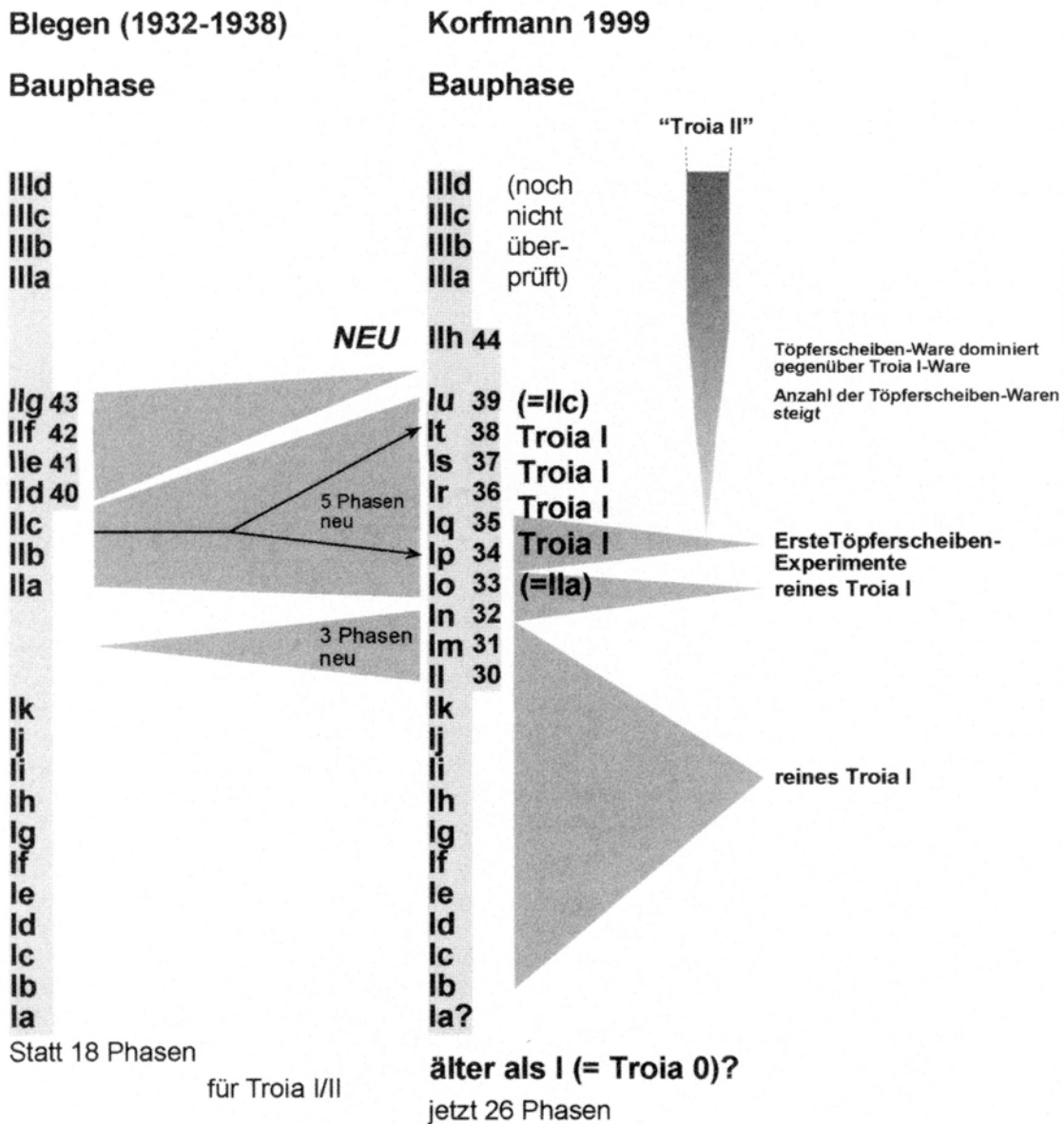


Architektonische Elemente der Perioden Troia I-III gemäß Korfmann
(Korfmann 1996: Abb. 18)

Maritime Troia-Kultur

(Troia I-III)

Phasenabfolge Stand 1999

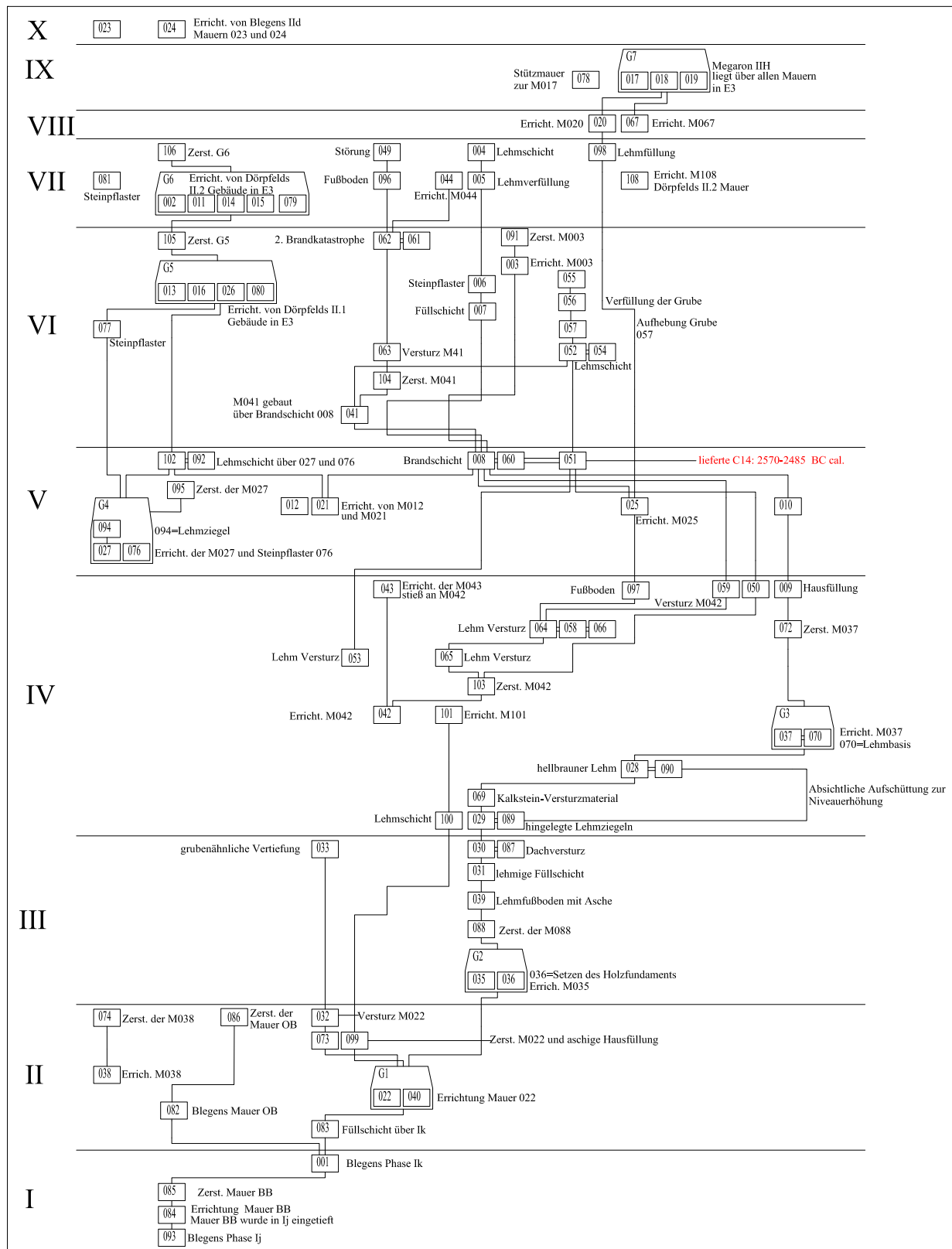


Perioden Troia I-III, Phasenabfolge gemäß Korfmann
(Korfmann 2001b: Abb. 1)

Taf. 25

Bauschicht Pinnacle	Vorbereitung	Ausführung	Veränderung	Ende	Bauschicht Troia
c b 12 a	Aufschüttung	Neubau	Brand		c b V/1a
e d c b 11 a	Abgrabung	Neubau	Umbau 2 Umbau 1	Brand	e d c b IV/5a
c b 10 a	Abräumung	Neubau		Brand	c b IV/4a
c b 9 a	Fundament+Schüttung	Neubau		Brand	c b IV/3a
c b 8 a	Aufschüttung	(Neubau)		Brand	c b IV/2a
e d c b 7 a	Planierung	Neubau	Ausbau Umbau	Erdbeben	e d c b IV/1a
d c b 6 a	Aufschüttung	Neubau		Verfall Brand	d c b III/4a
c b 5 a	Aufschüttung	Neubau		Zerstörung?	c b III/3a
d c b 4 a	Aufschüttung	(Neubau)	(Umbau)	?	d c b III/2a
e d c b 3 a	Aufschüttung	Neubau	Reparatur 2 Reparatur 1	Erdbeben	e d c b III/1a
d c b 2 a	Planierung	Neubau	Umbau	Brand	d c b II/(^z)a
f e d c b 1 a	Fundament+Schüttung	Neubau B Neubau A	Reparatur 2 Reparatur 1	Brand / Erdbeben	f e d c b II/(^y)a

Korrelation der Bauschichten des Pinnacle in Areal E4/5 mit der Schichtenabfolge Blegens
(Mansfeld 2001: Abb. 12:4)



Taf. 26: Stratigraphische Abfolge in DE3



1



2



1



2



1



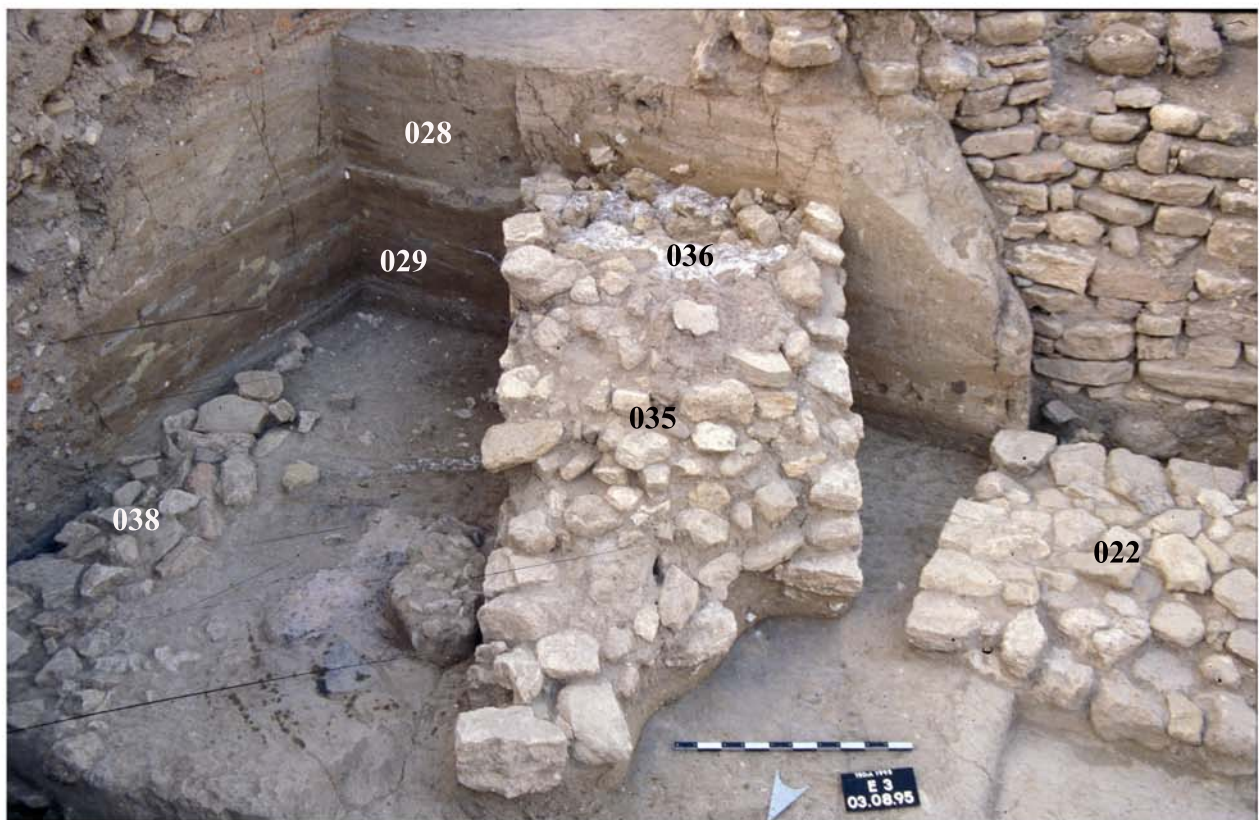
2



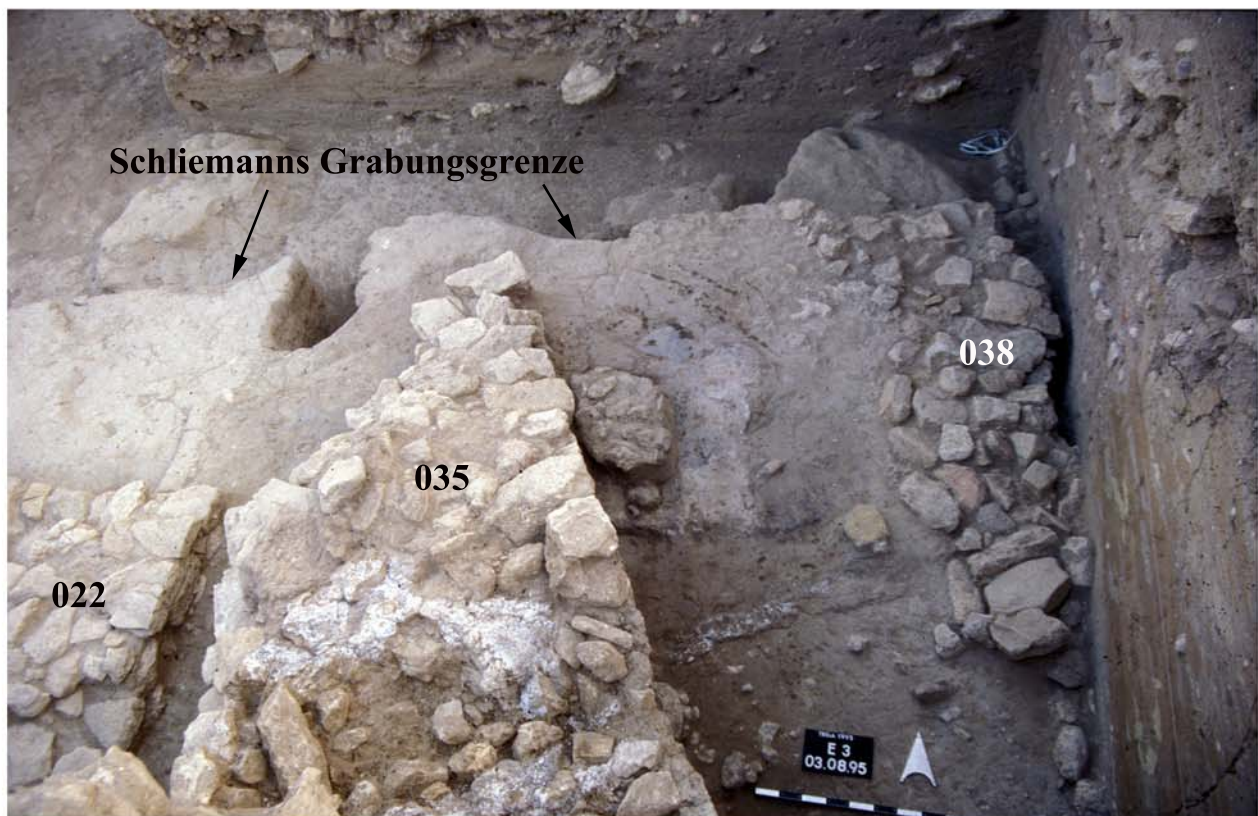
Taf. 30



1



2

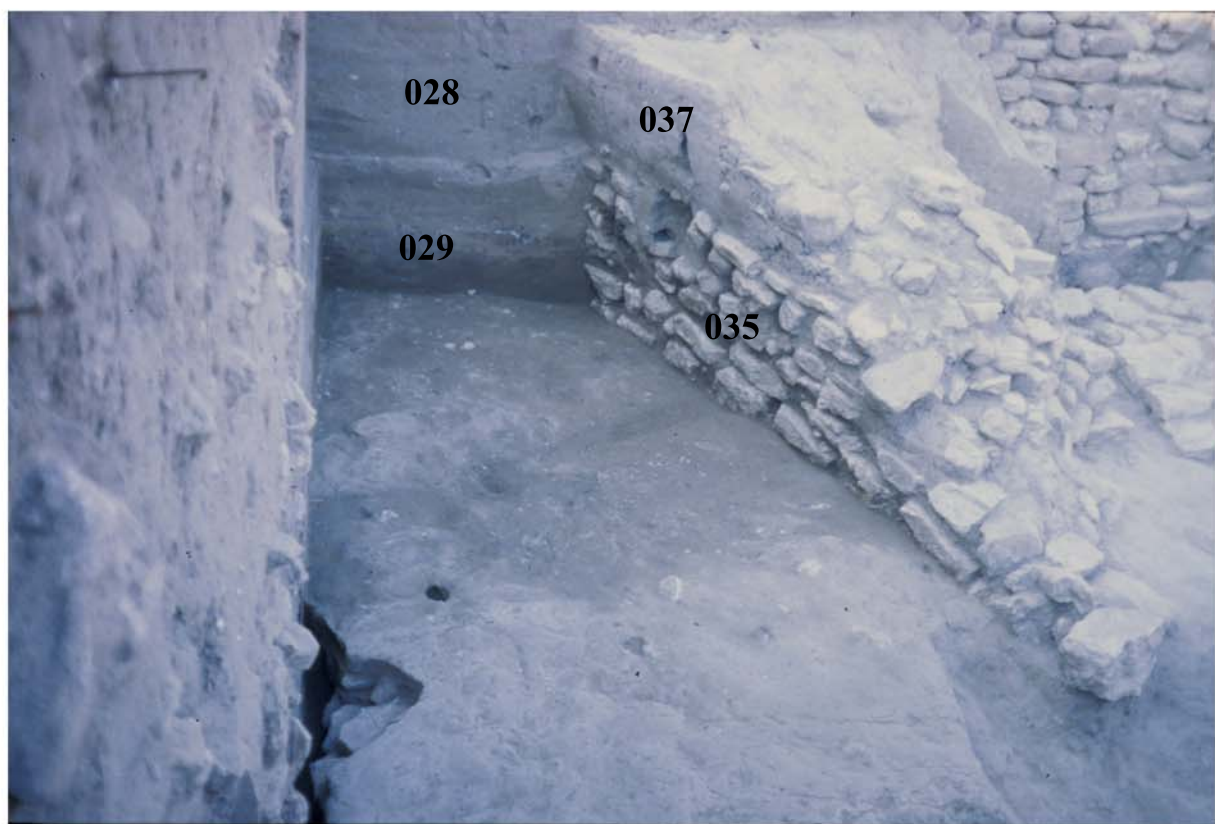


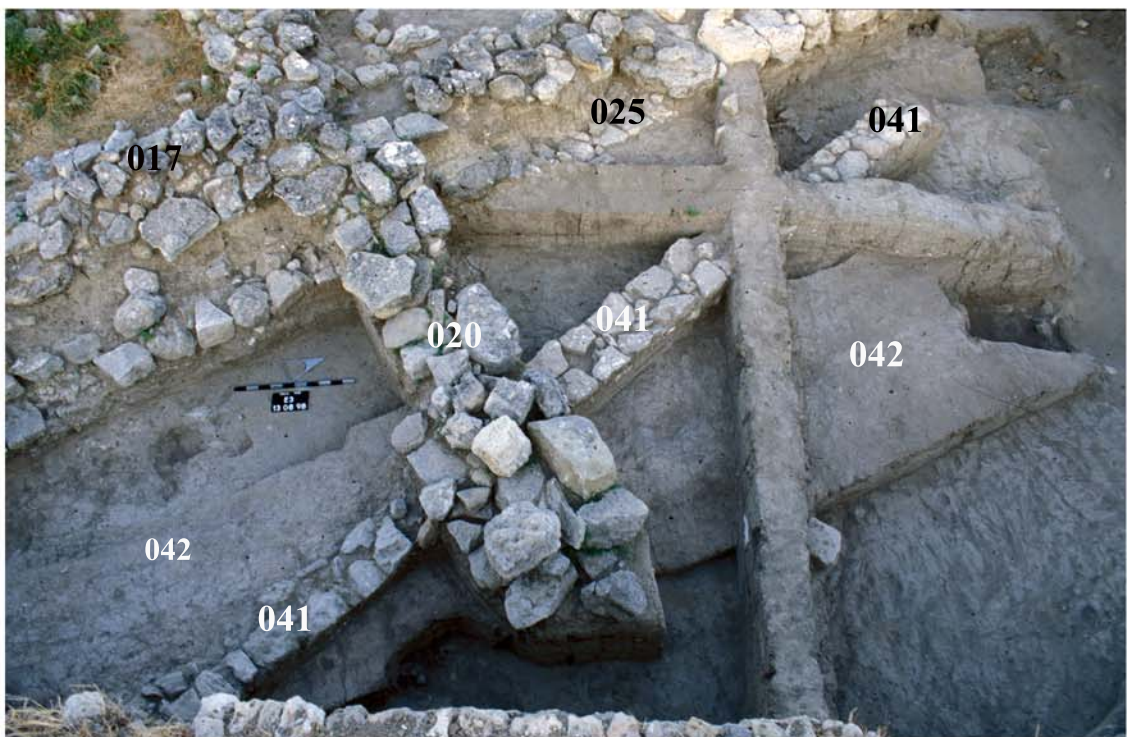


1

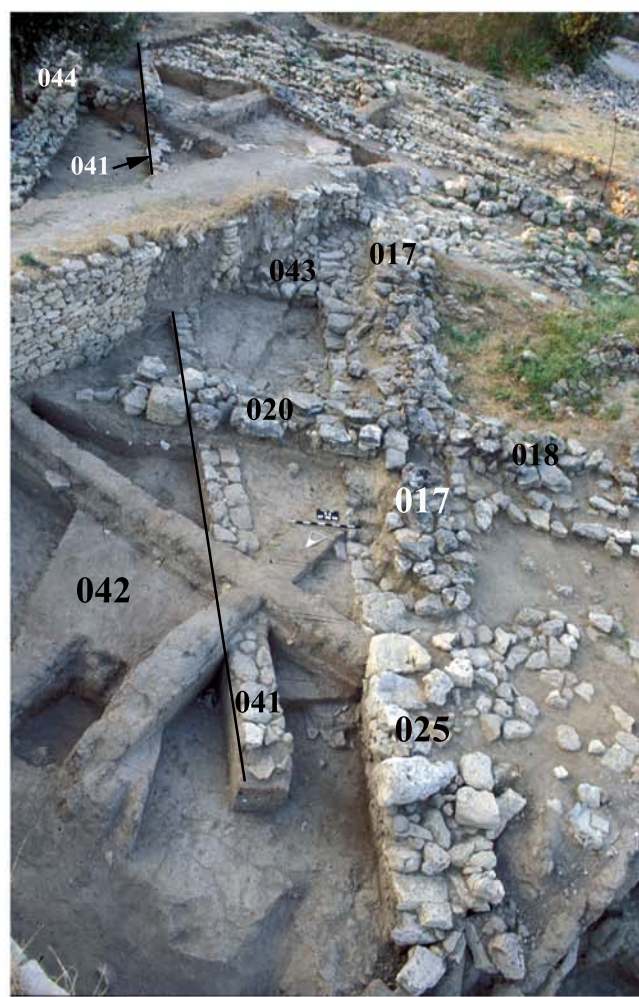


2

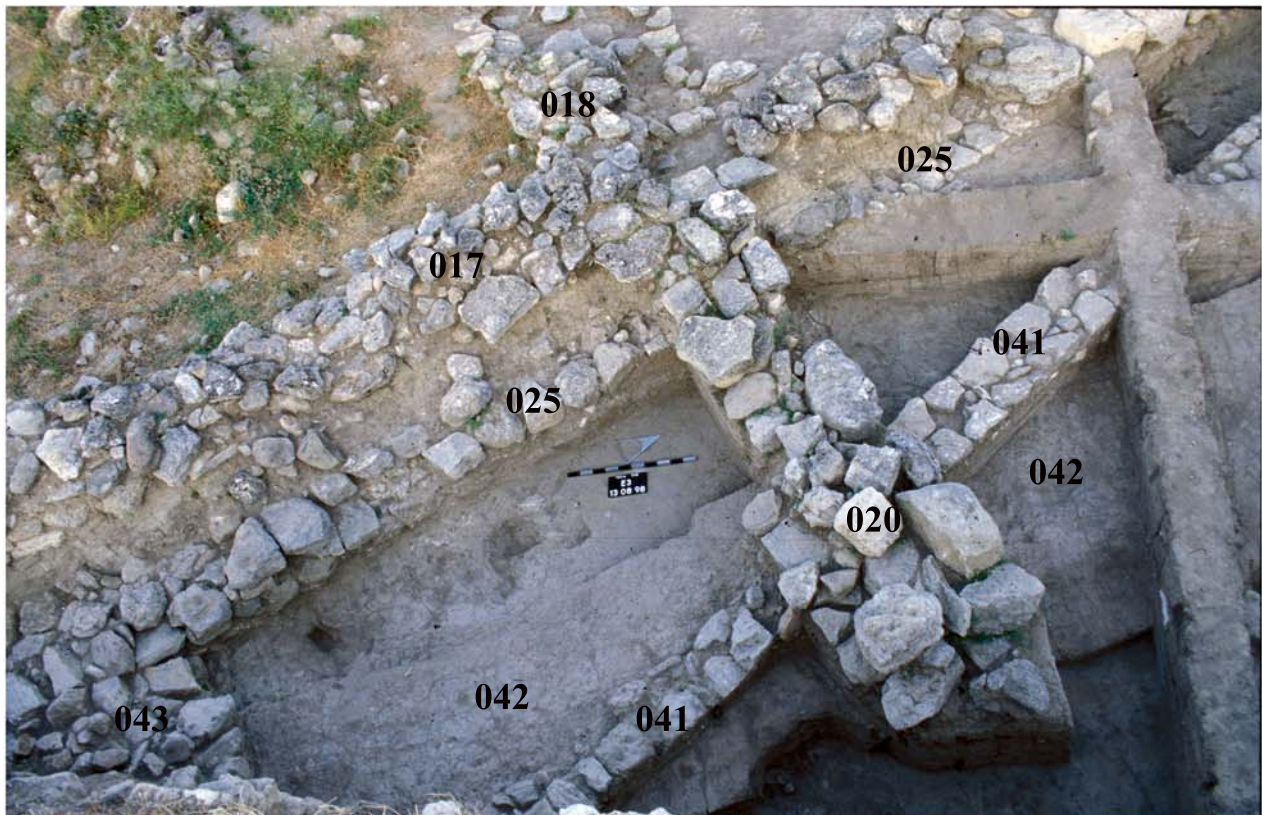




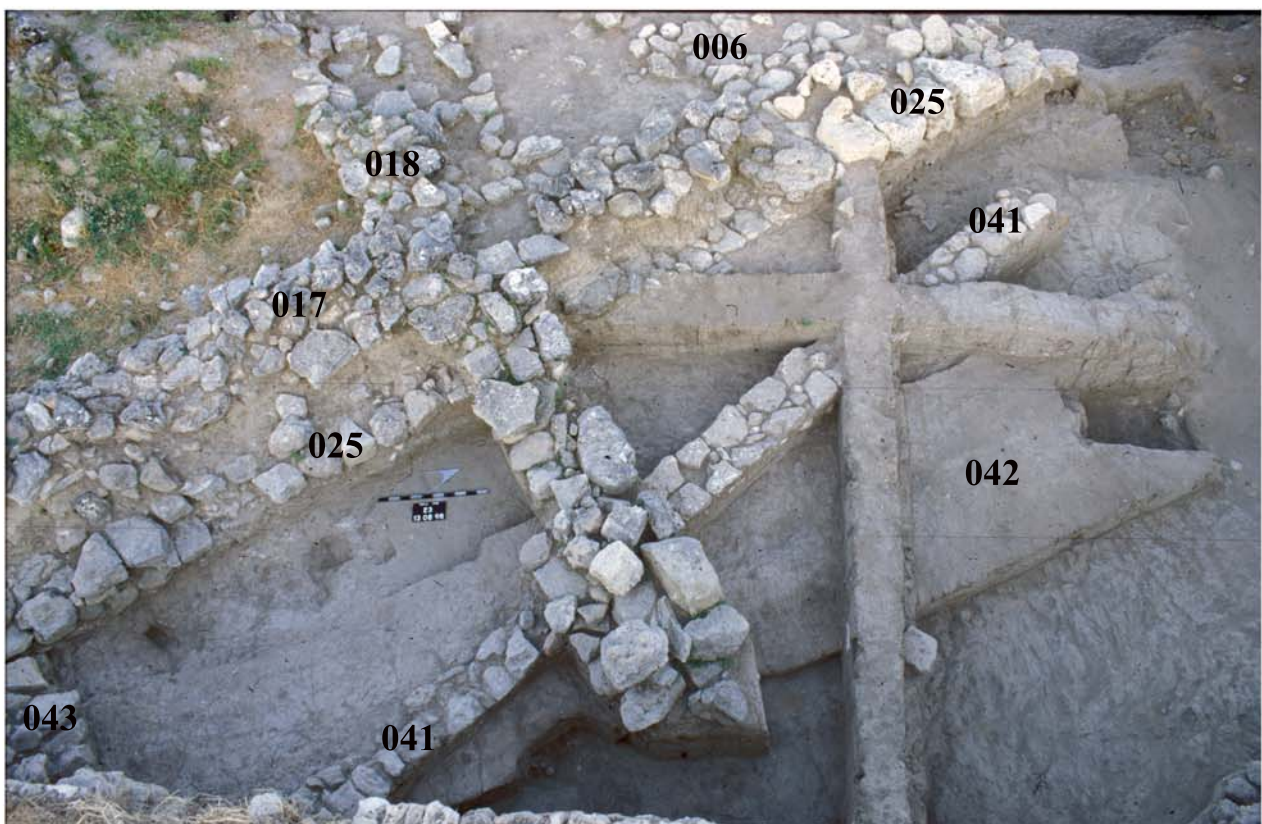
1



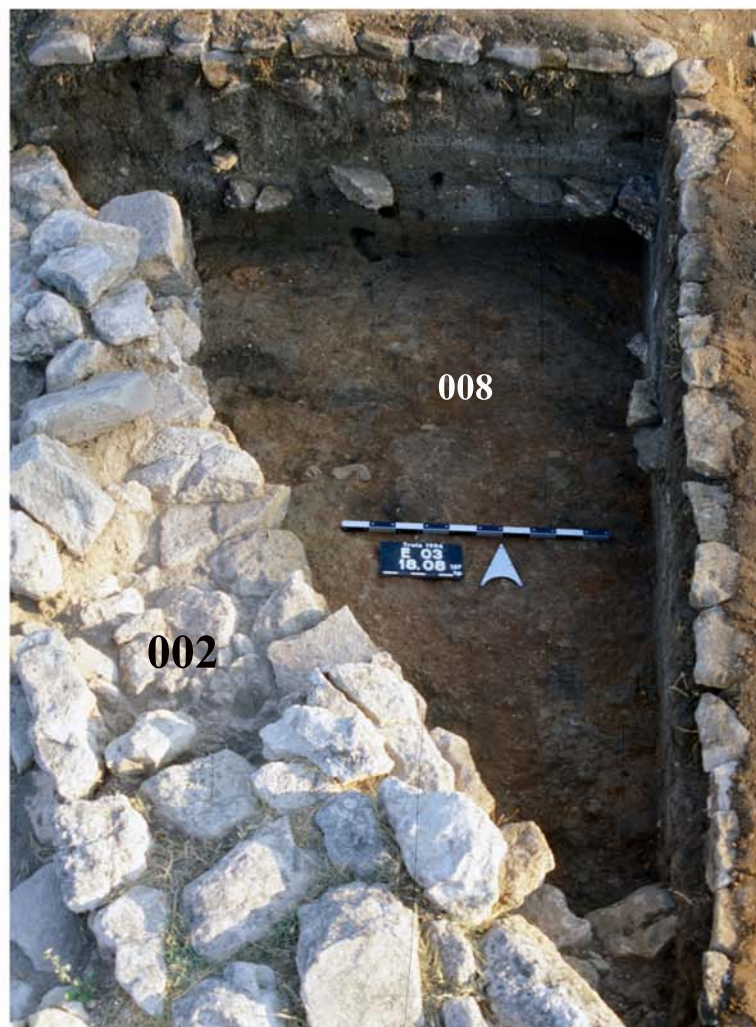
2



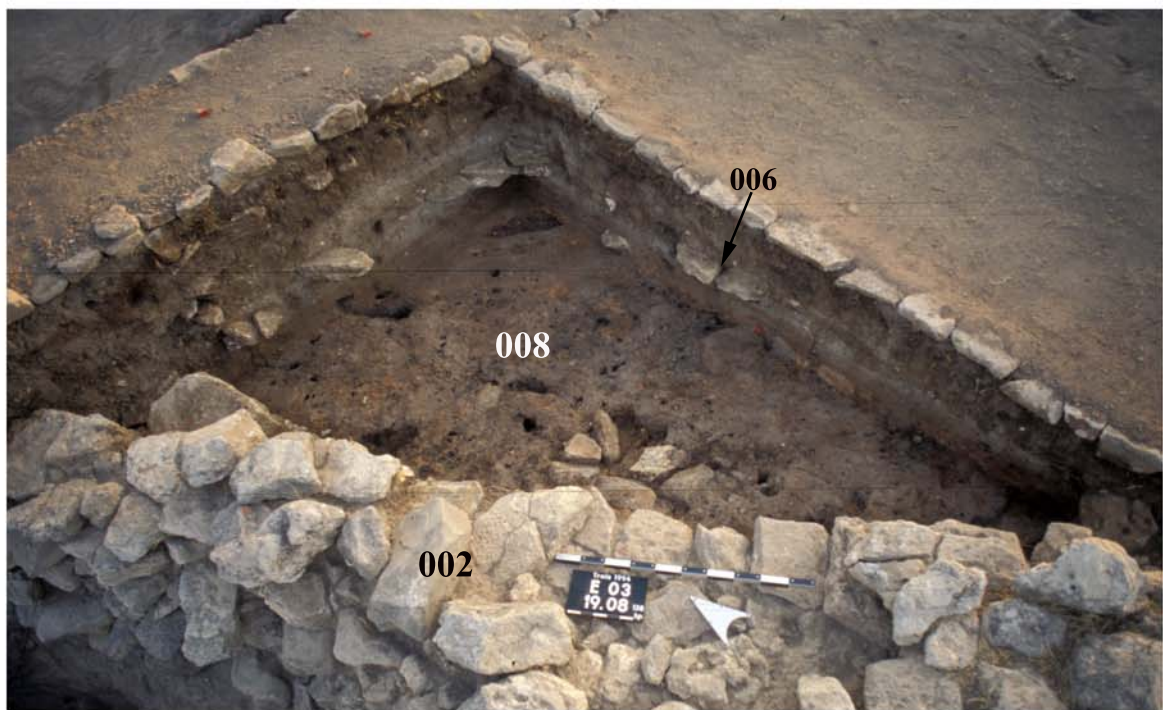
1



2



1

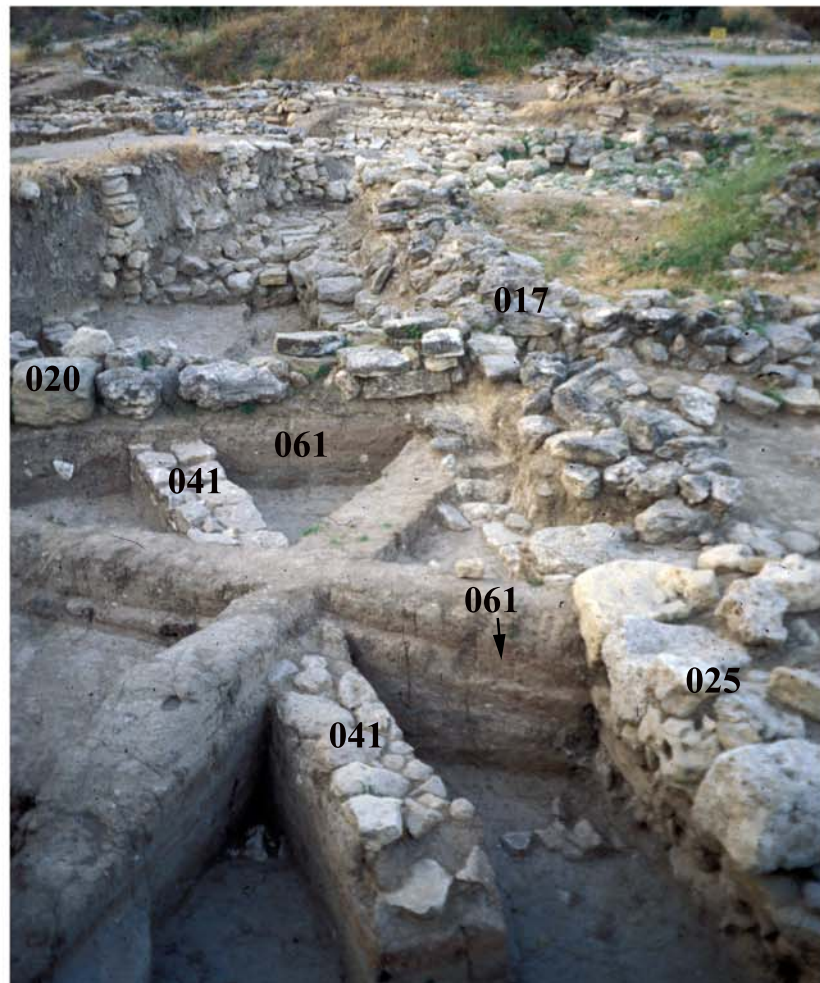


2

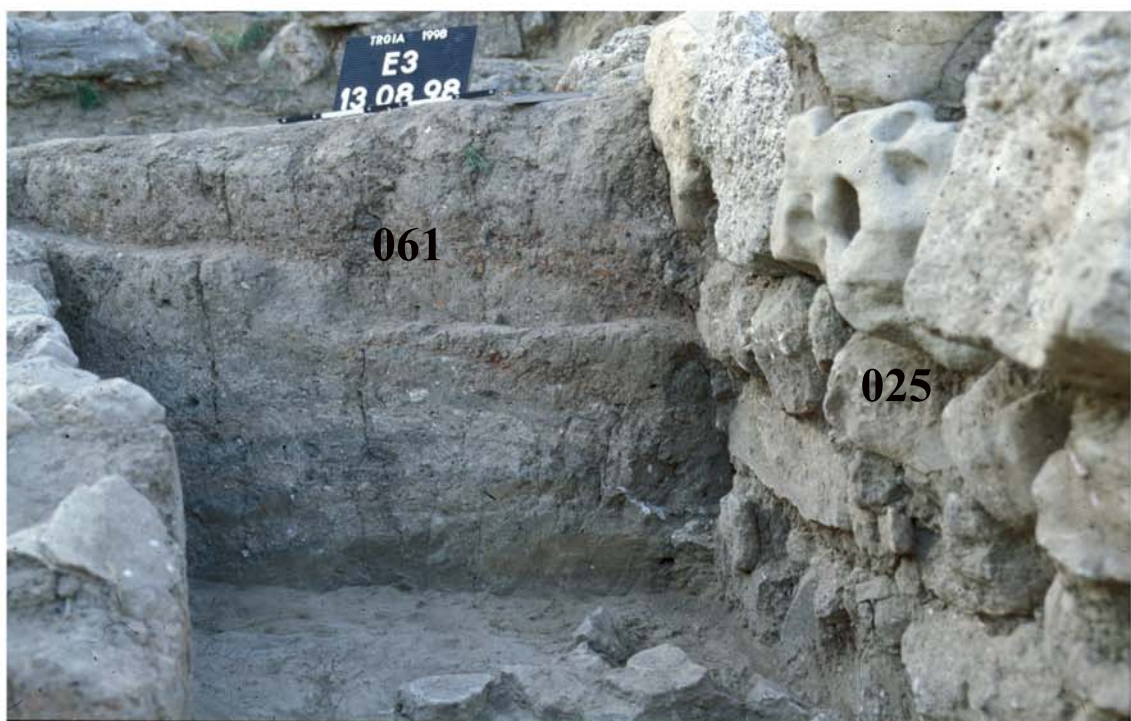


Taf. 38





1



2

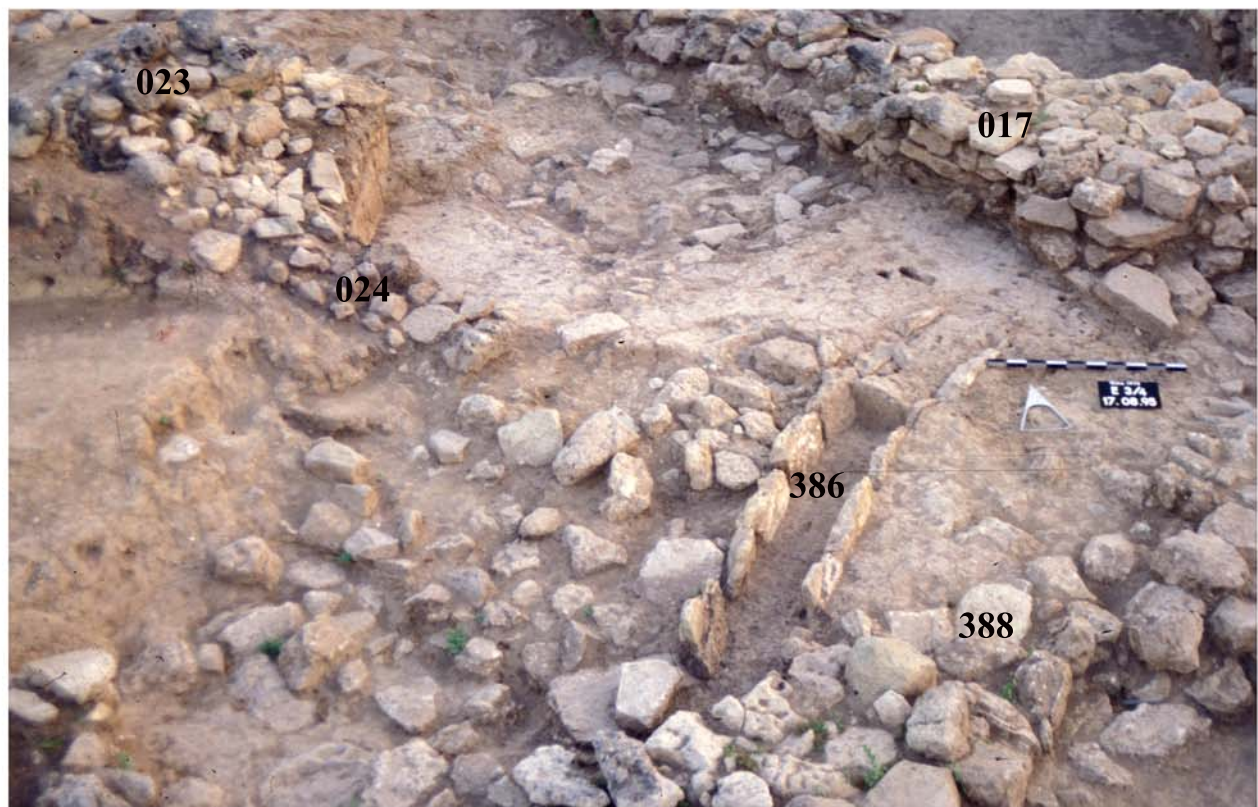


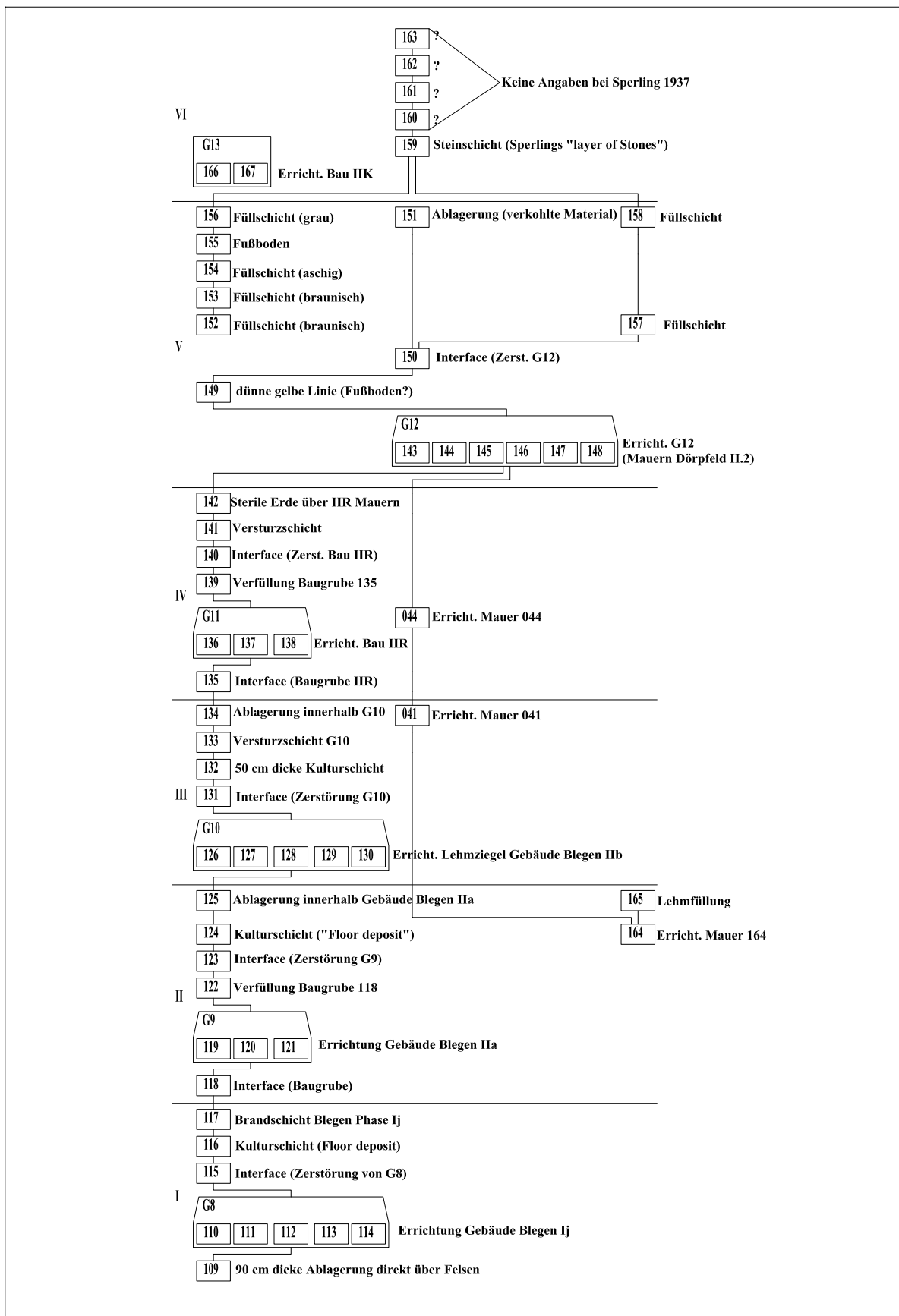
1



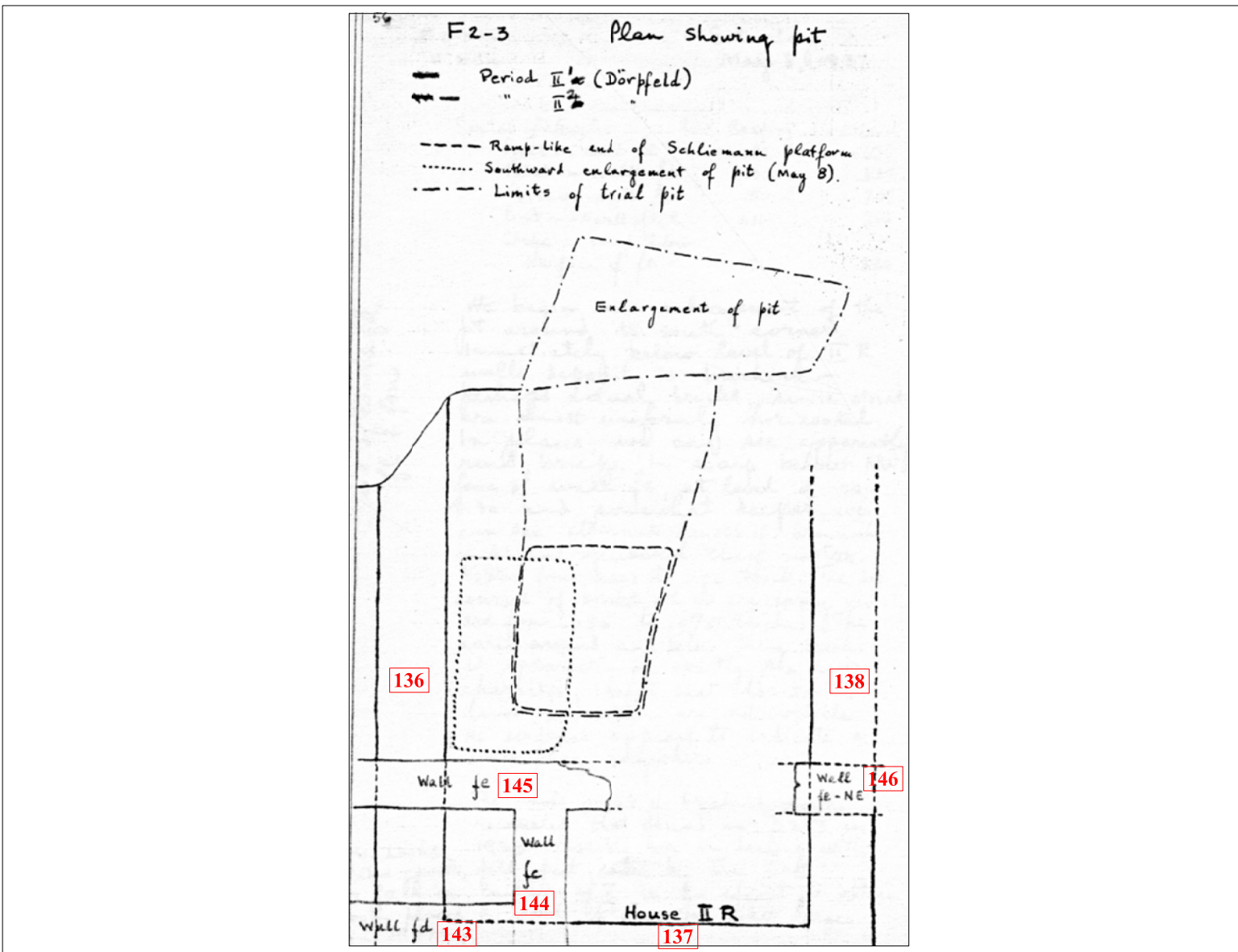
2



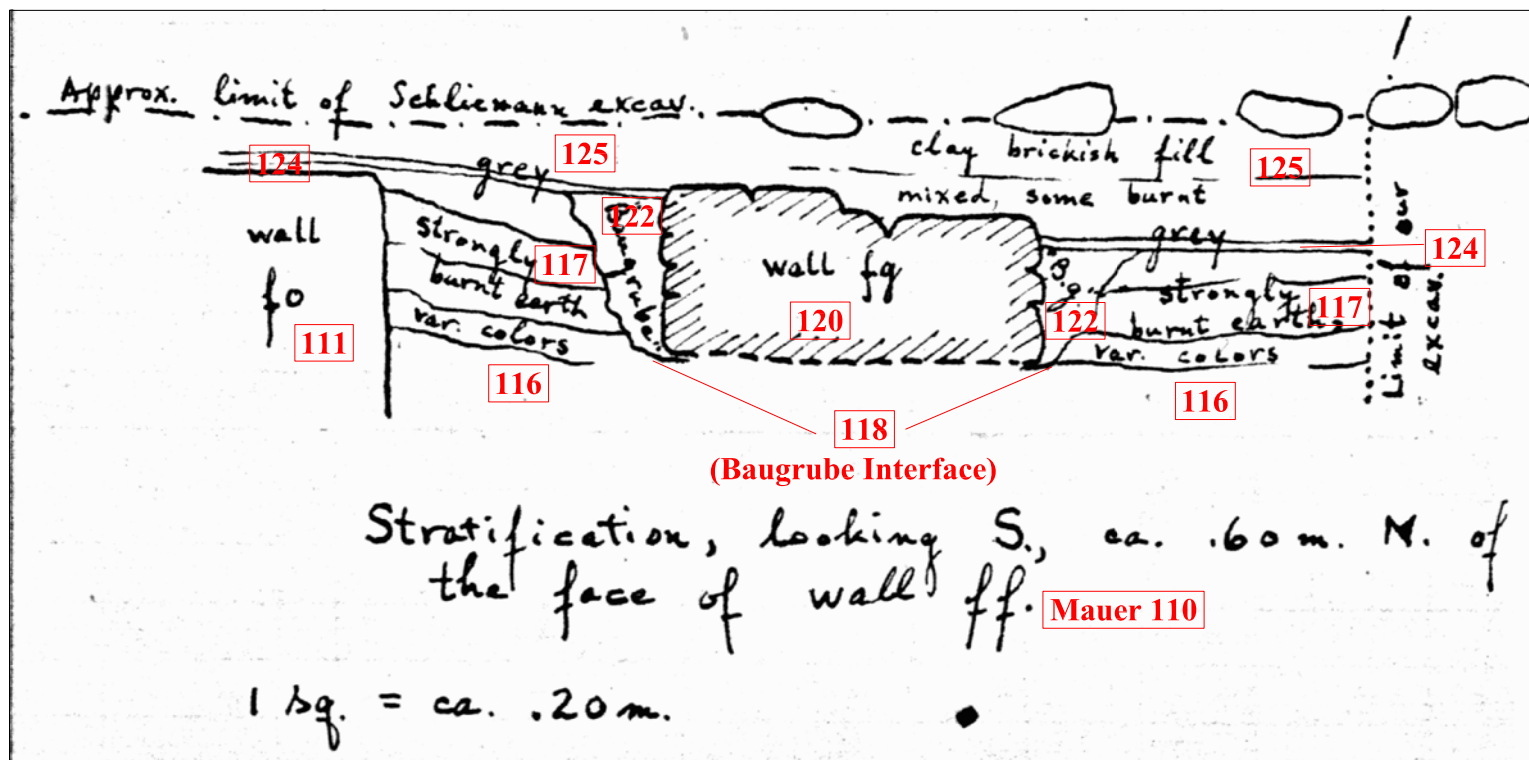


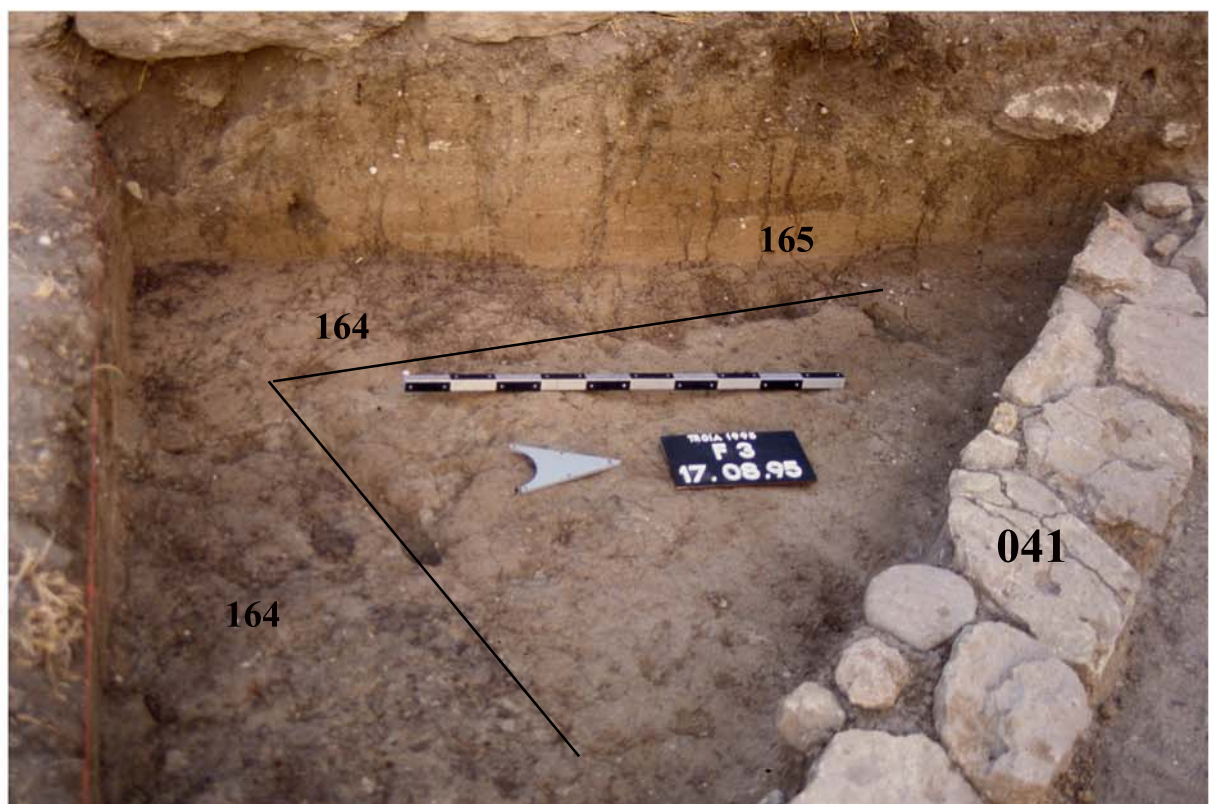


Taf. 44: Stratigraphische Abfolge in F3

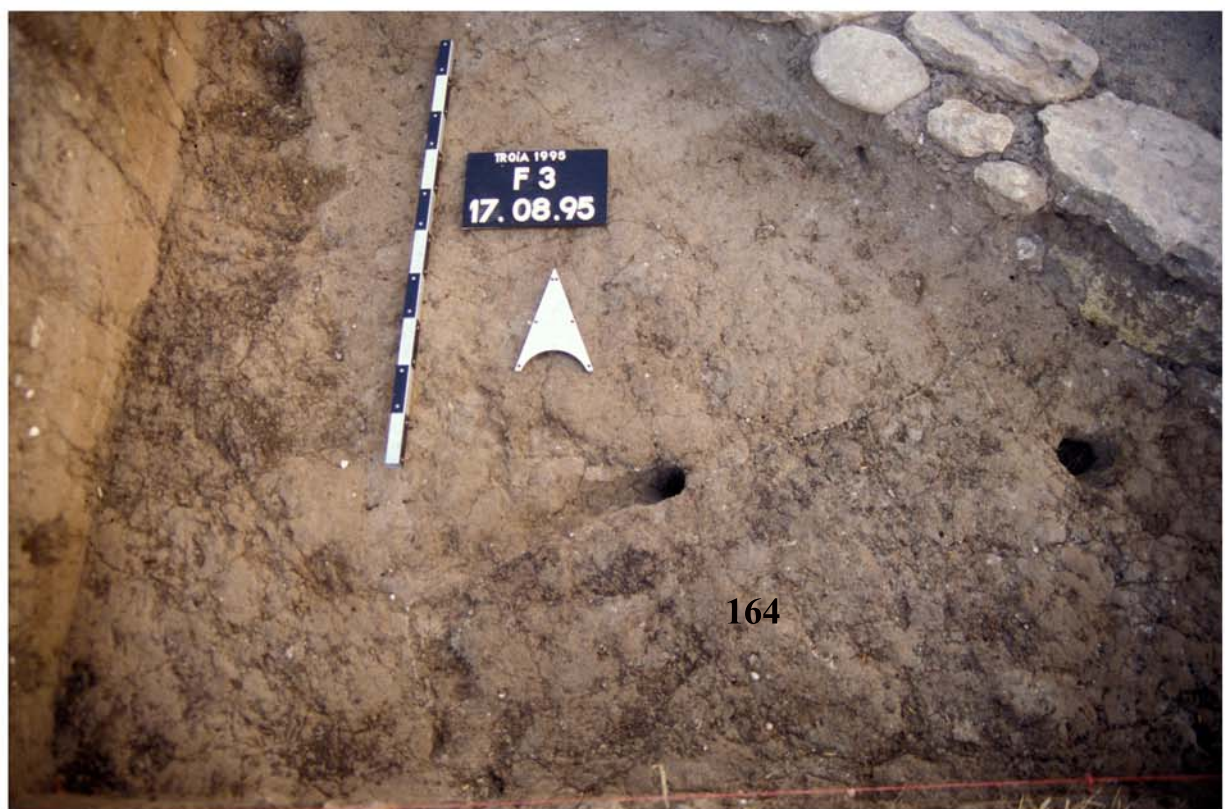


Taf. 45



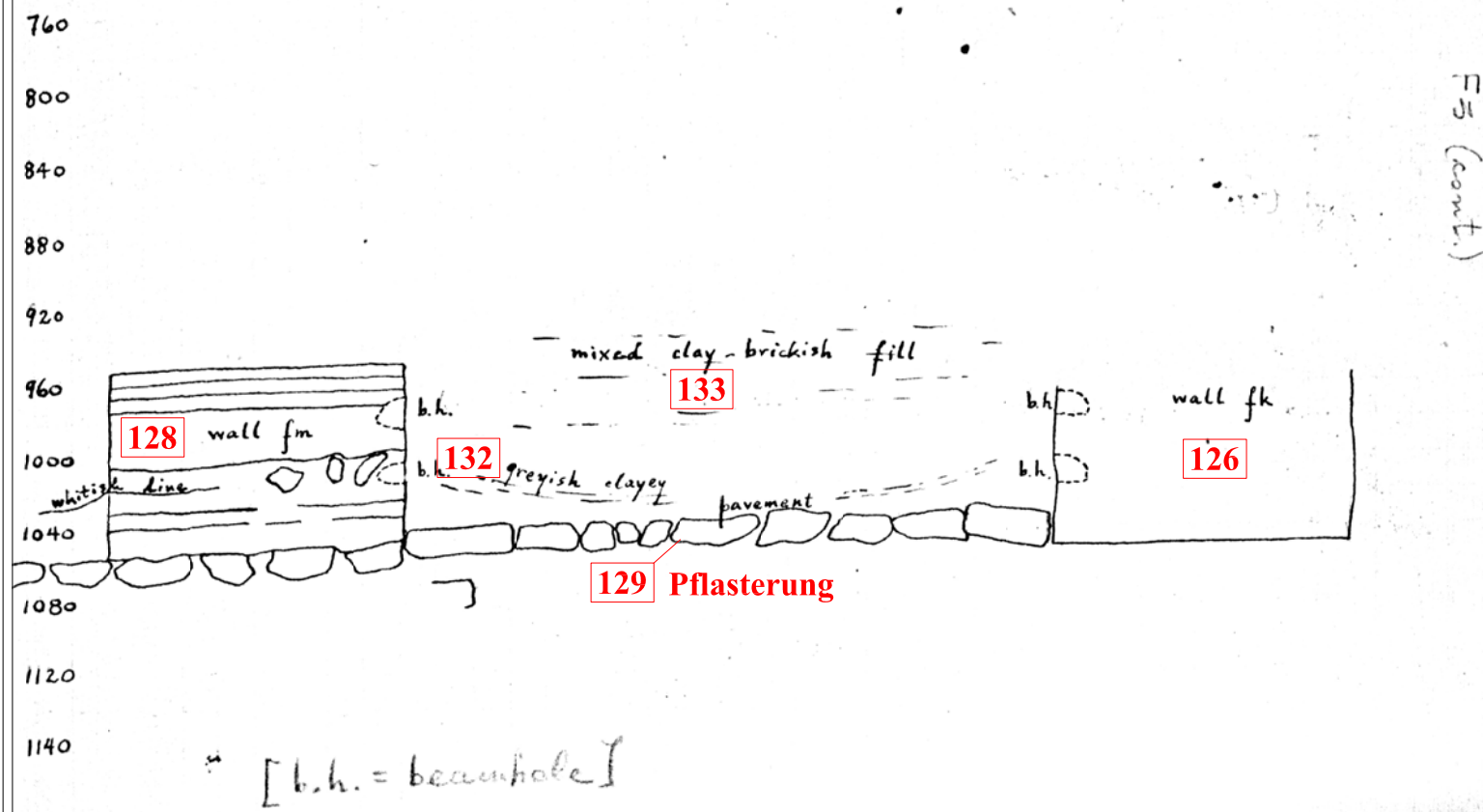


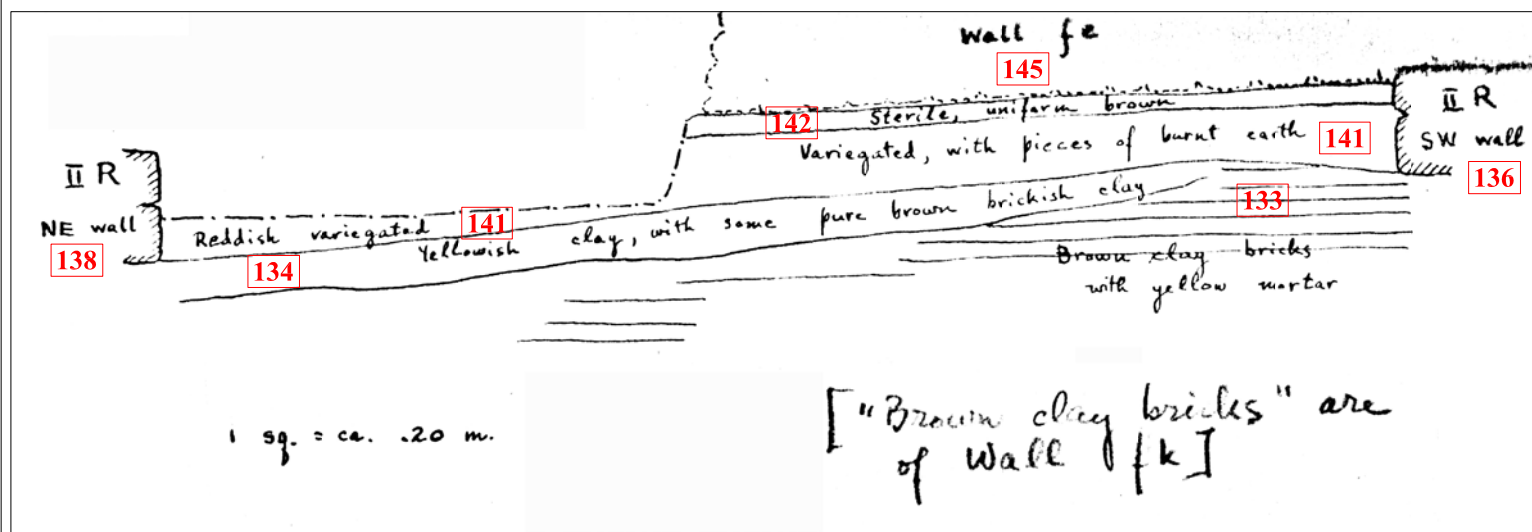
1



2

77
JI
(cont.)

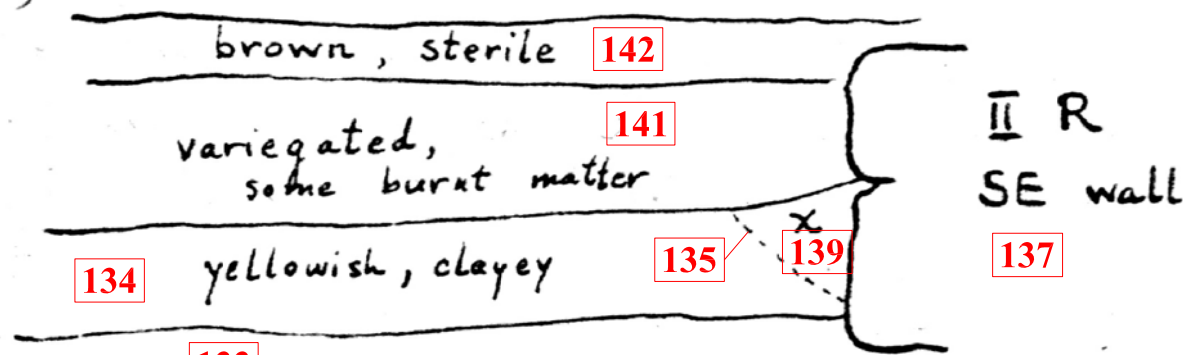




F 3

10 men
(18 cars)

Monday,
May 17, 1937.



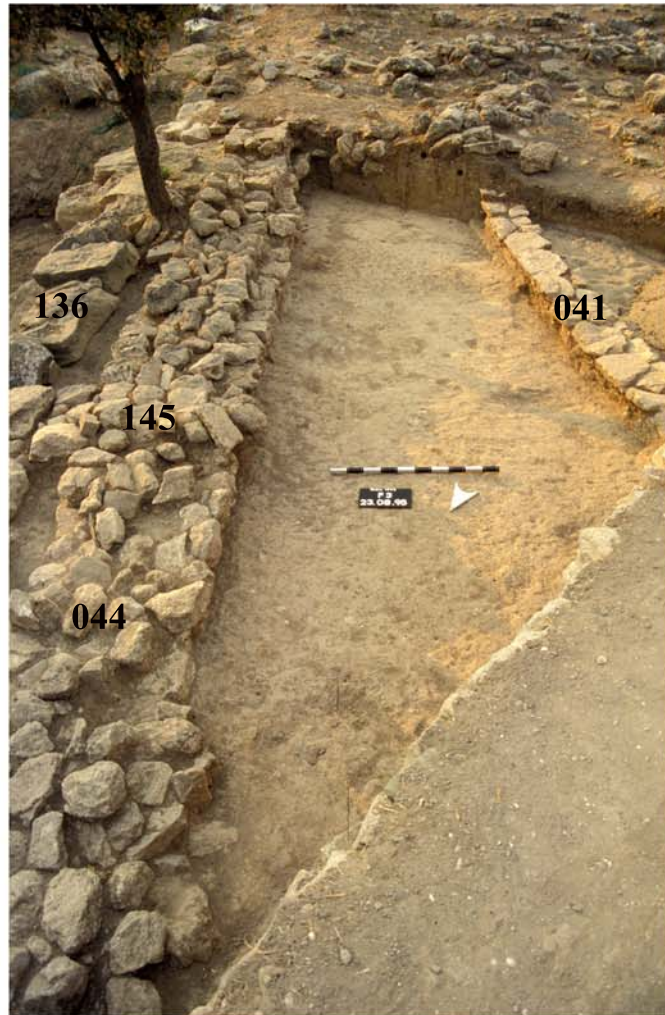
1 sq. = ca. .10 m. deposit with clay brick walls

X is possible "Baugrube"

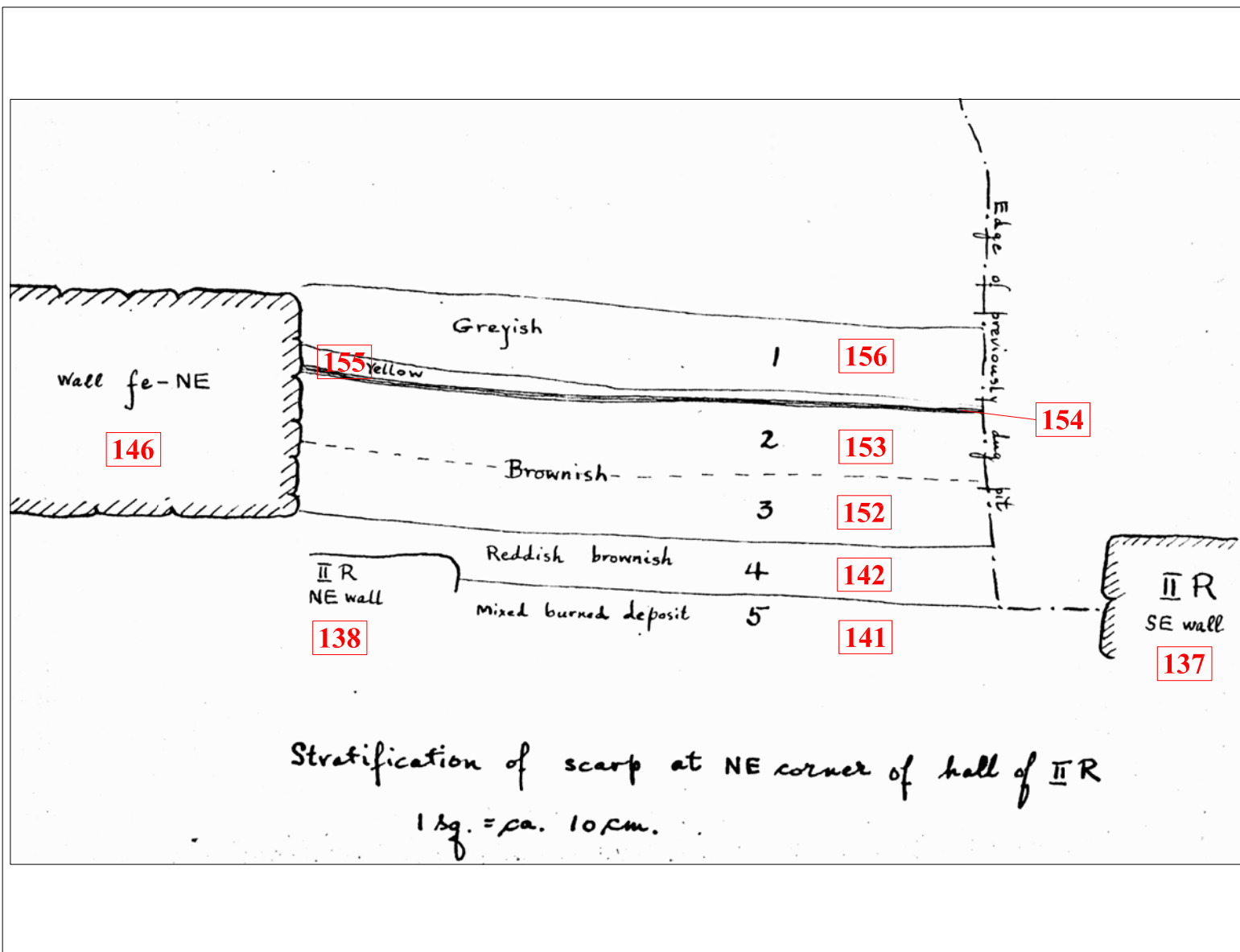
Stratification in trial trench,
S[E] area of II R.



1

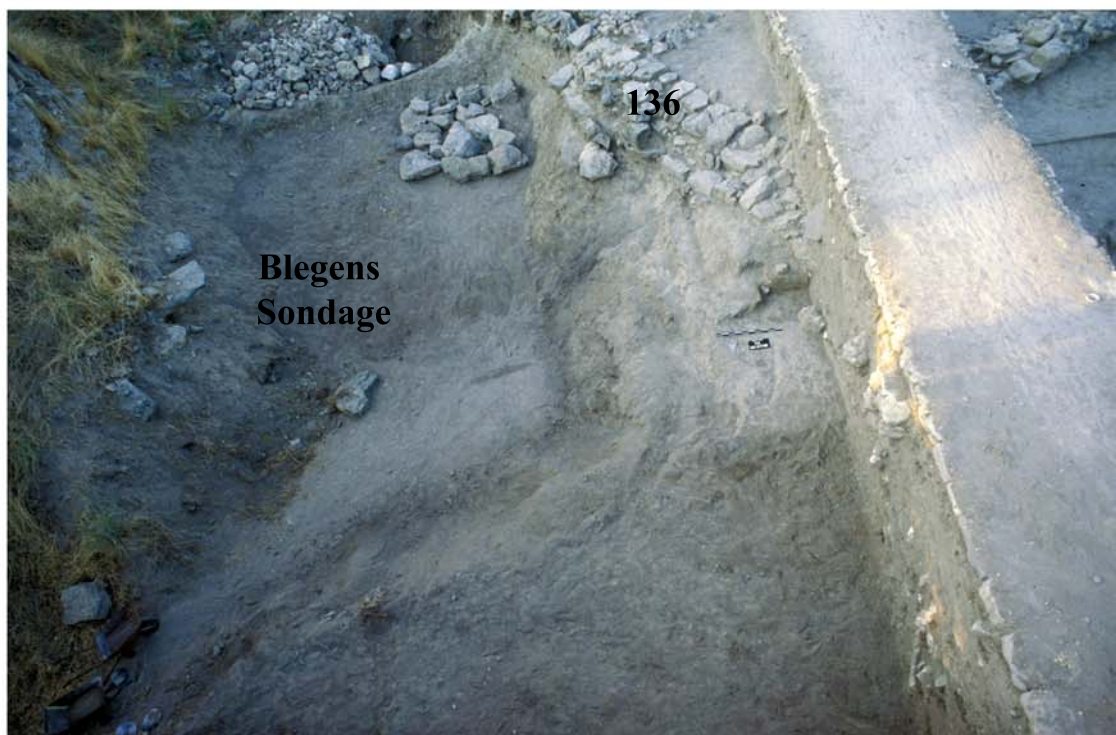


2

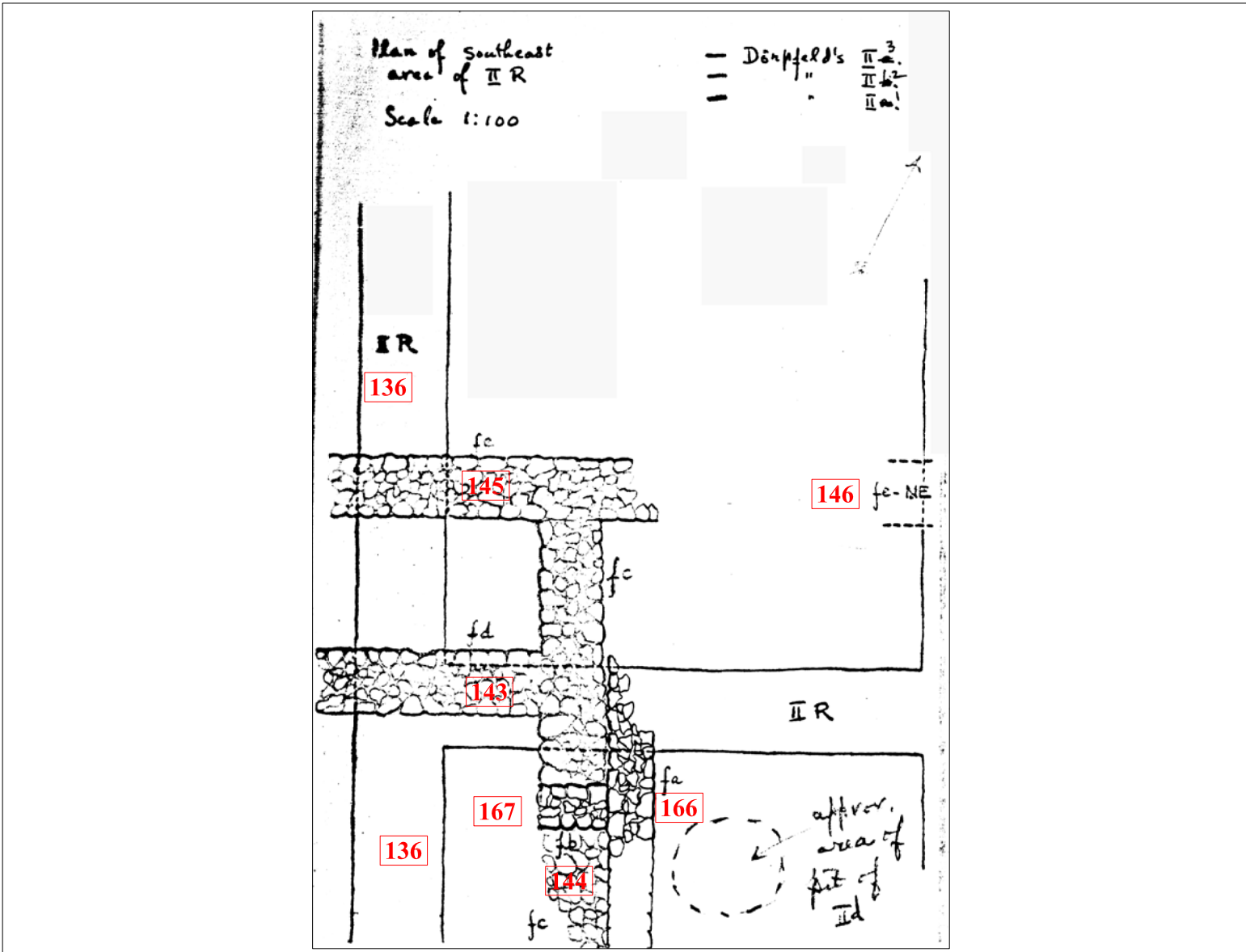




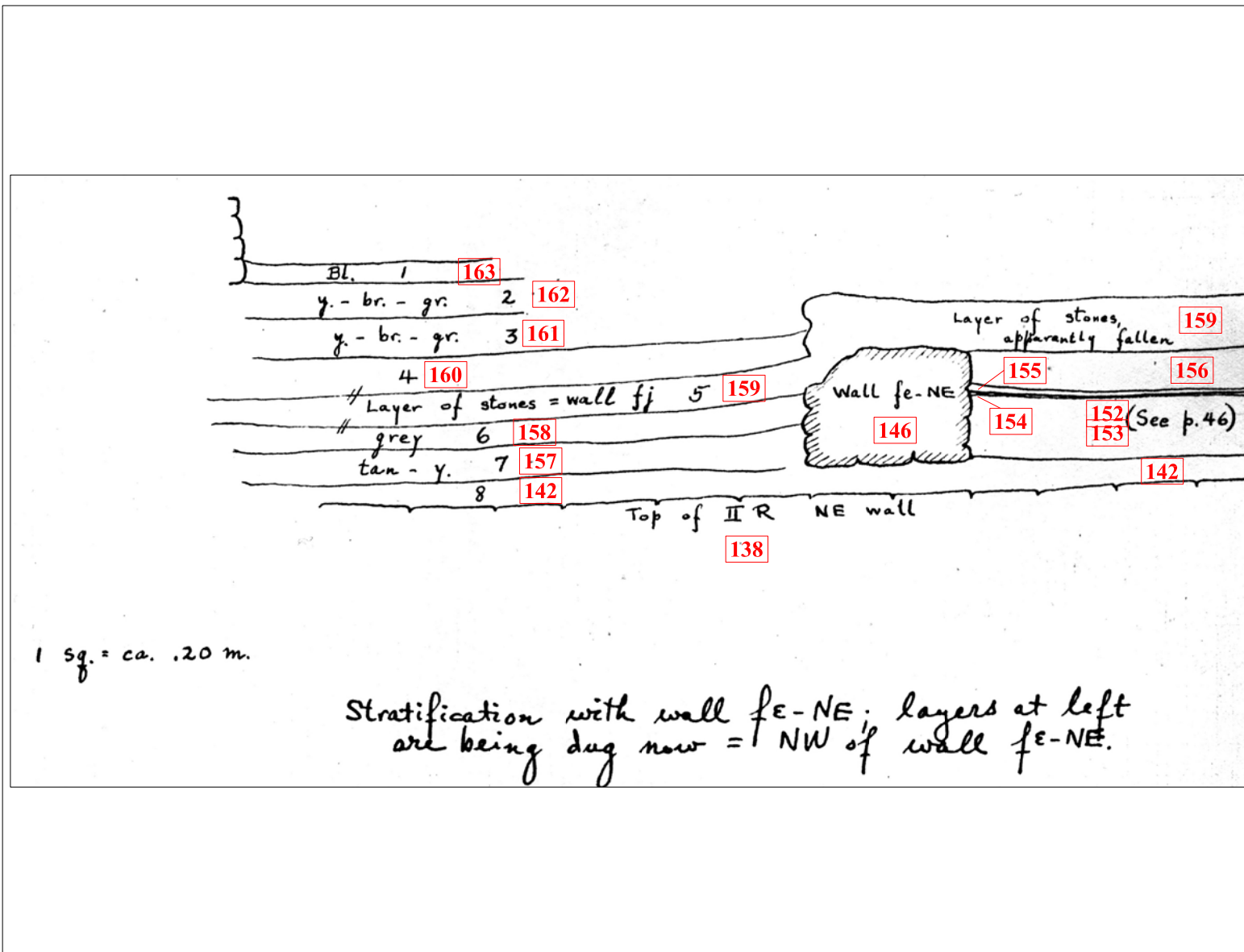
1



2



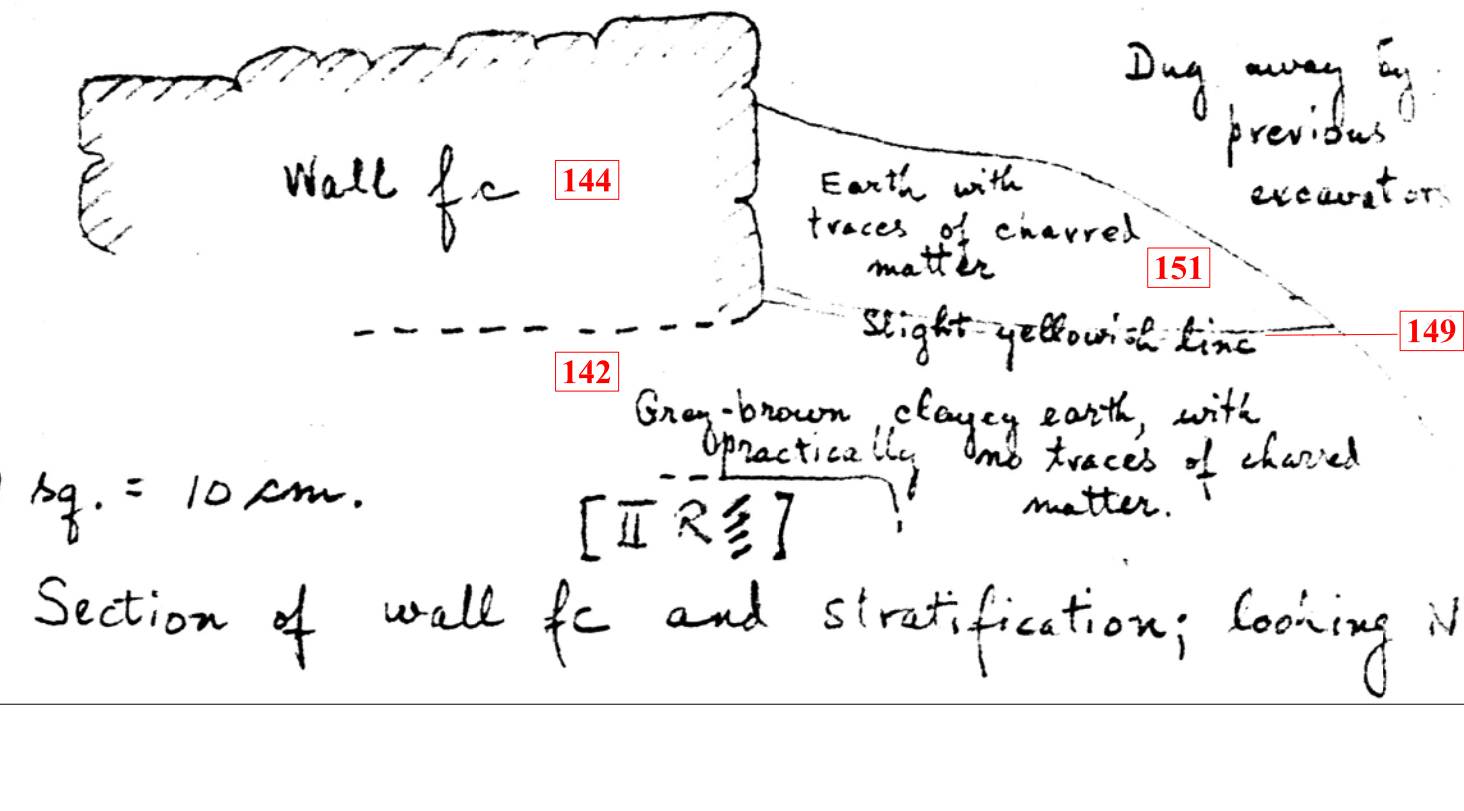
Taf. 54

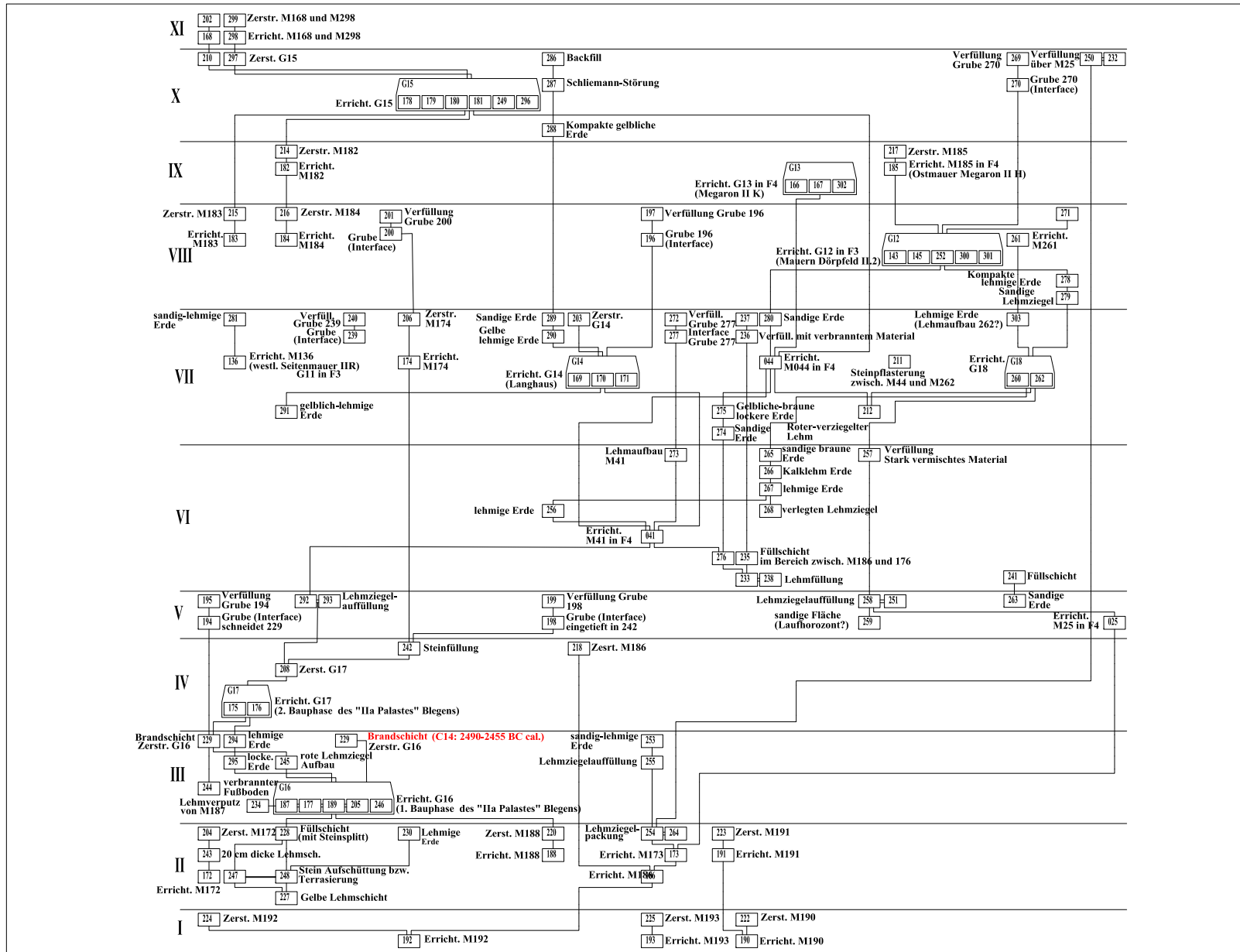


F 2-3

10 men to 8.³²; 11 men later.
(25 cars)

Wednesday,
April 28, 1937.



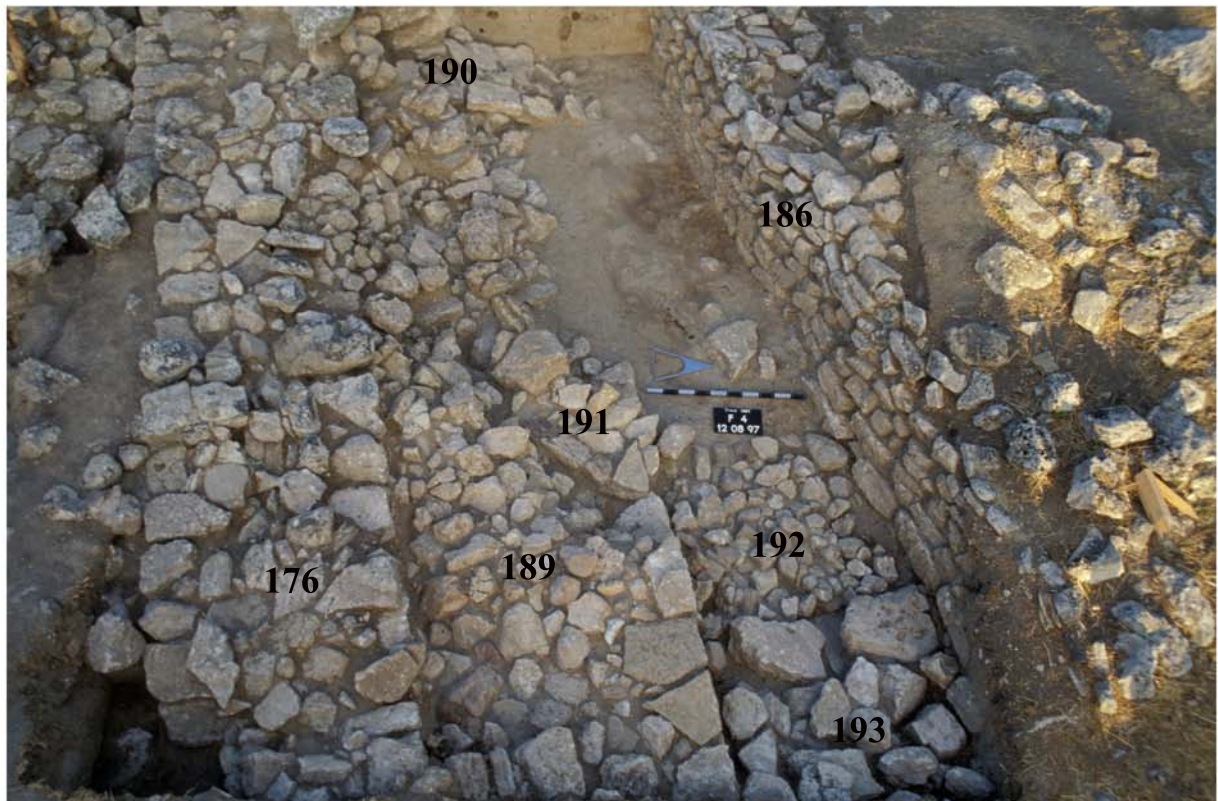


Taf. 57: Stratigraphische Abfolge in F4.



Taf. 58

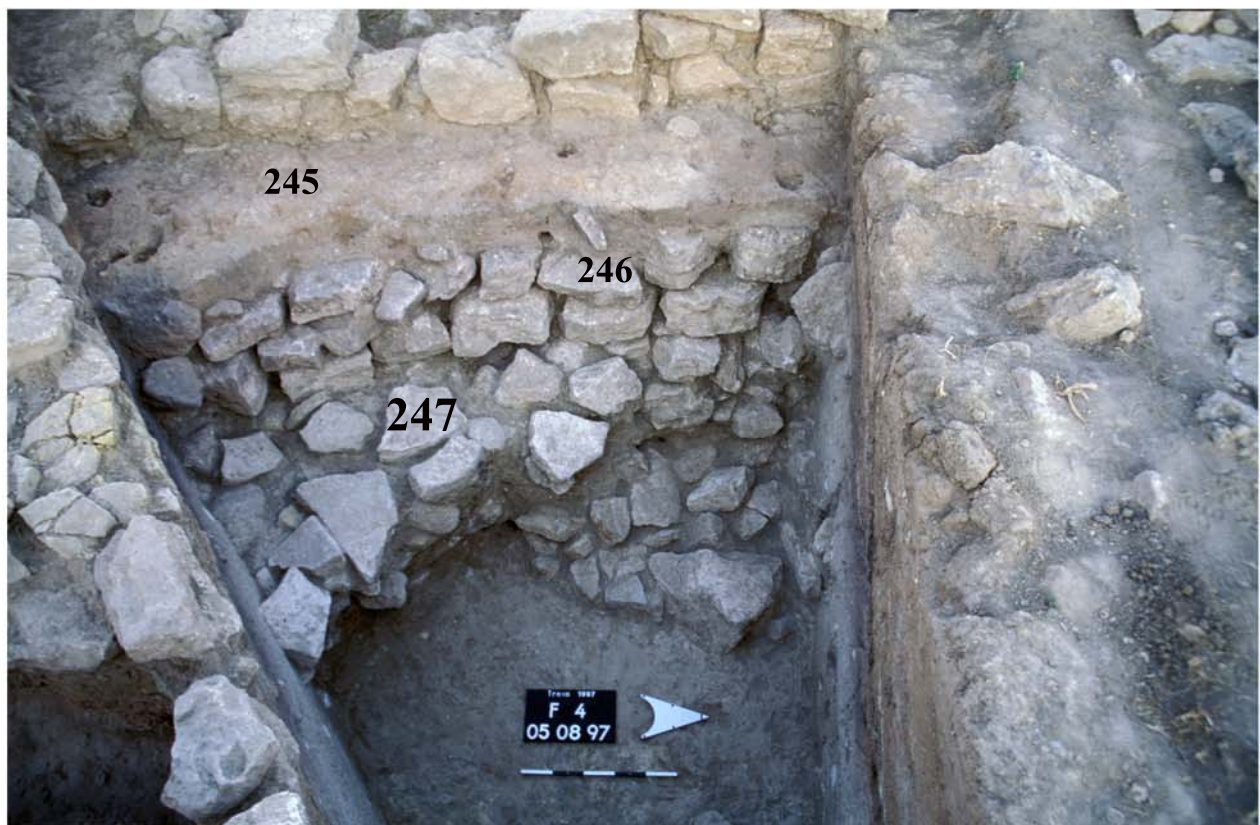




1



2



1



2



1



2



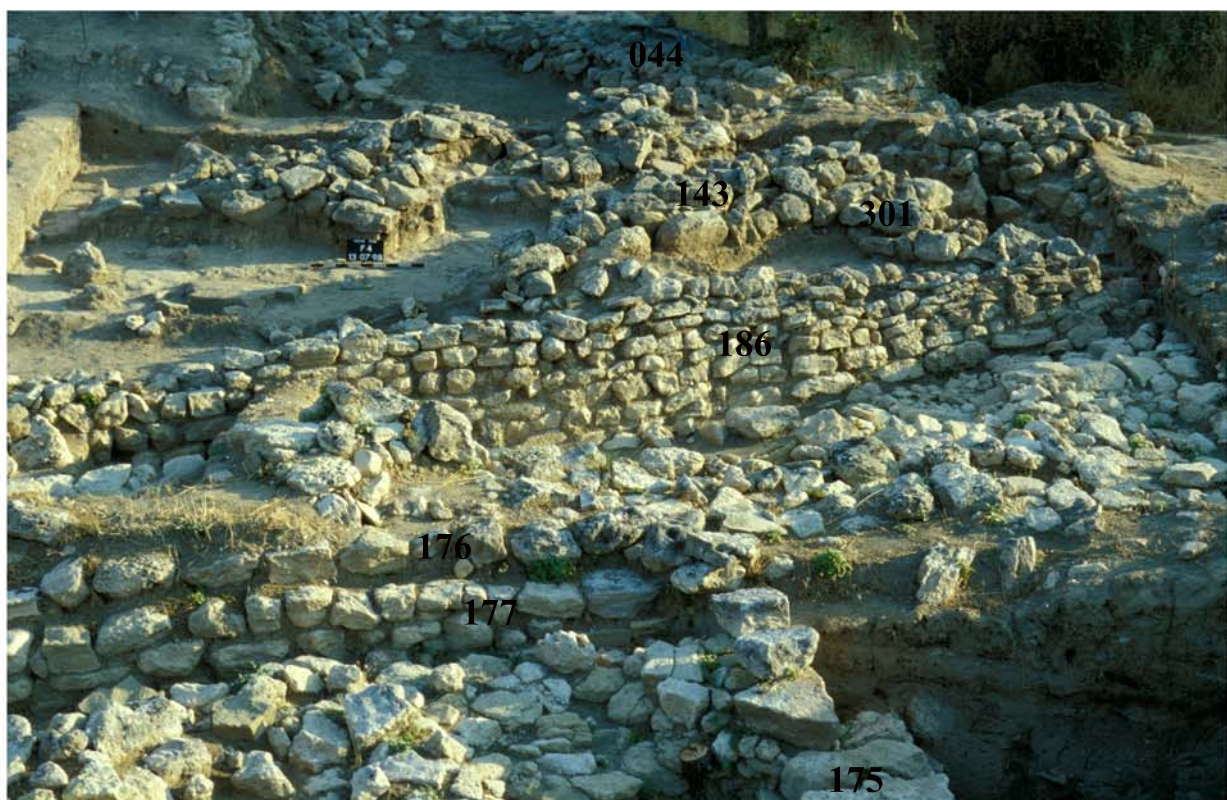
1



2



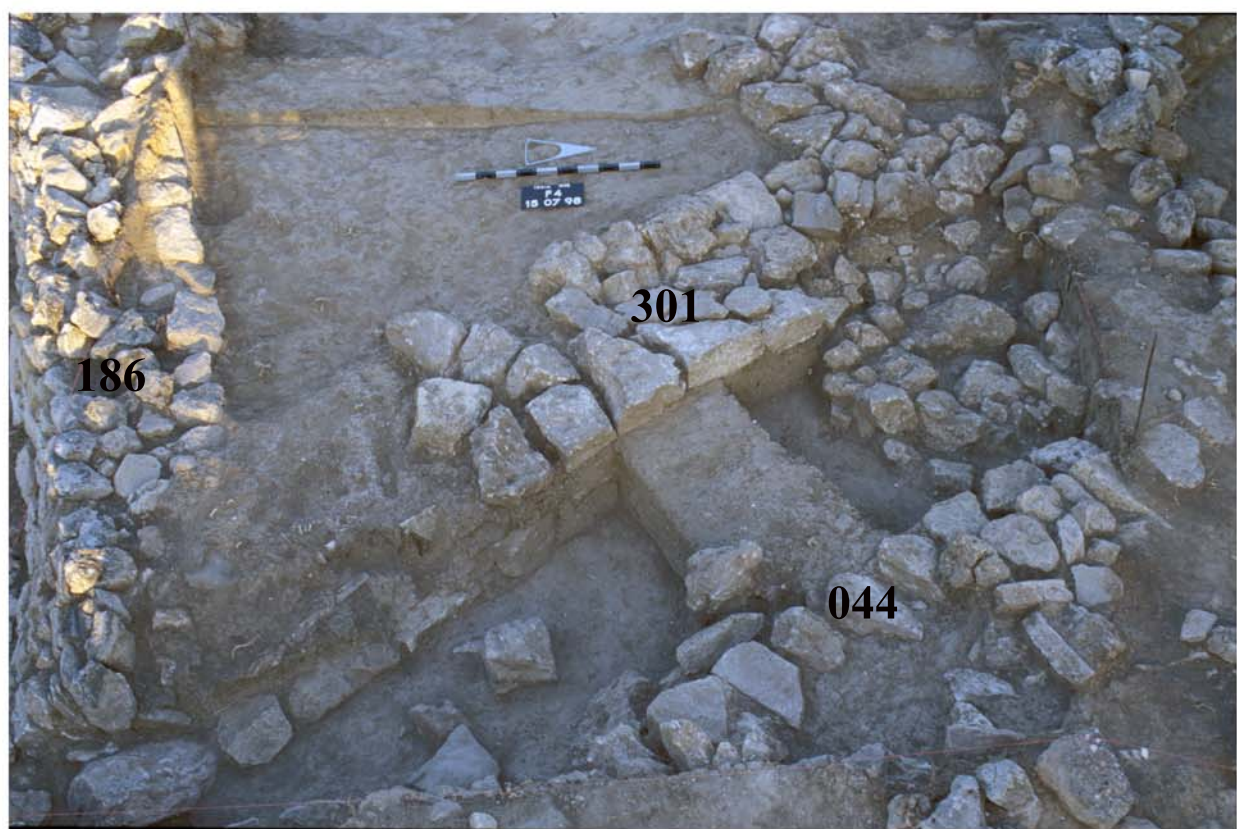
1



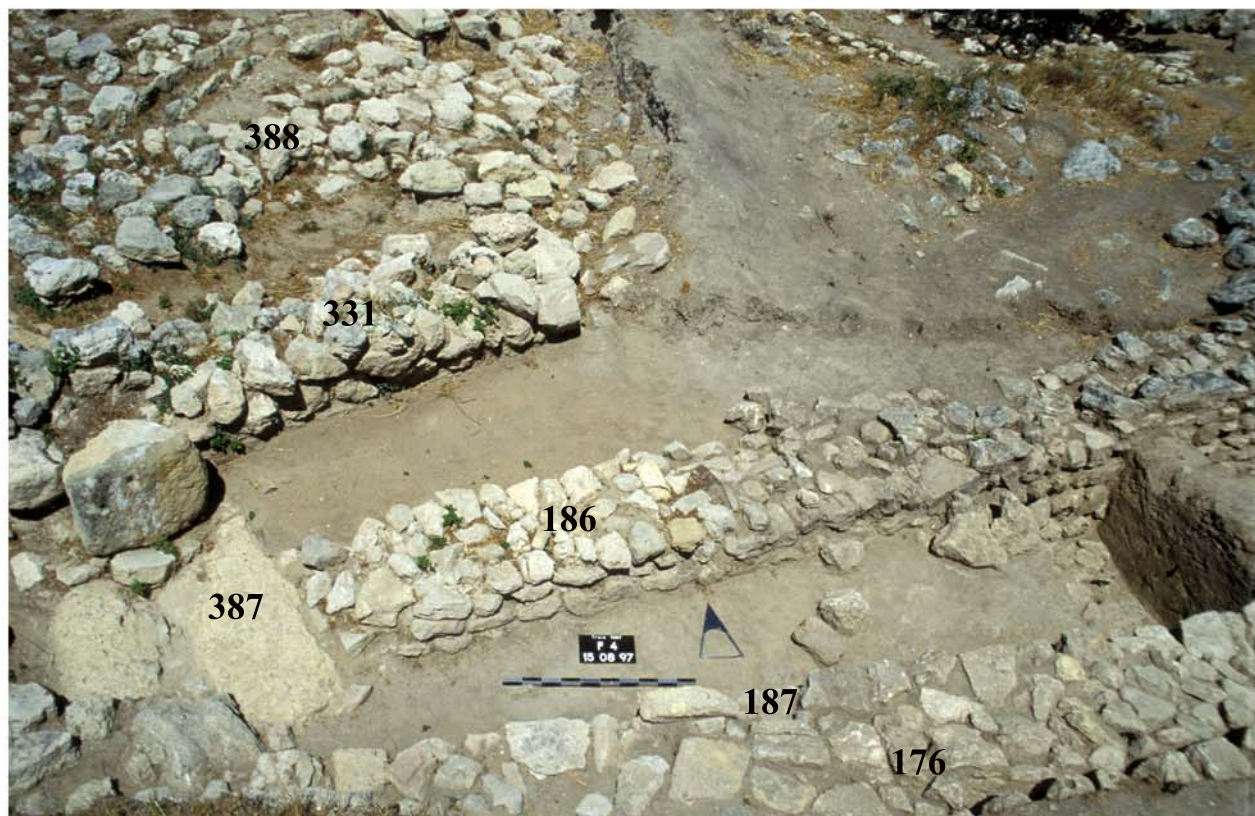
2



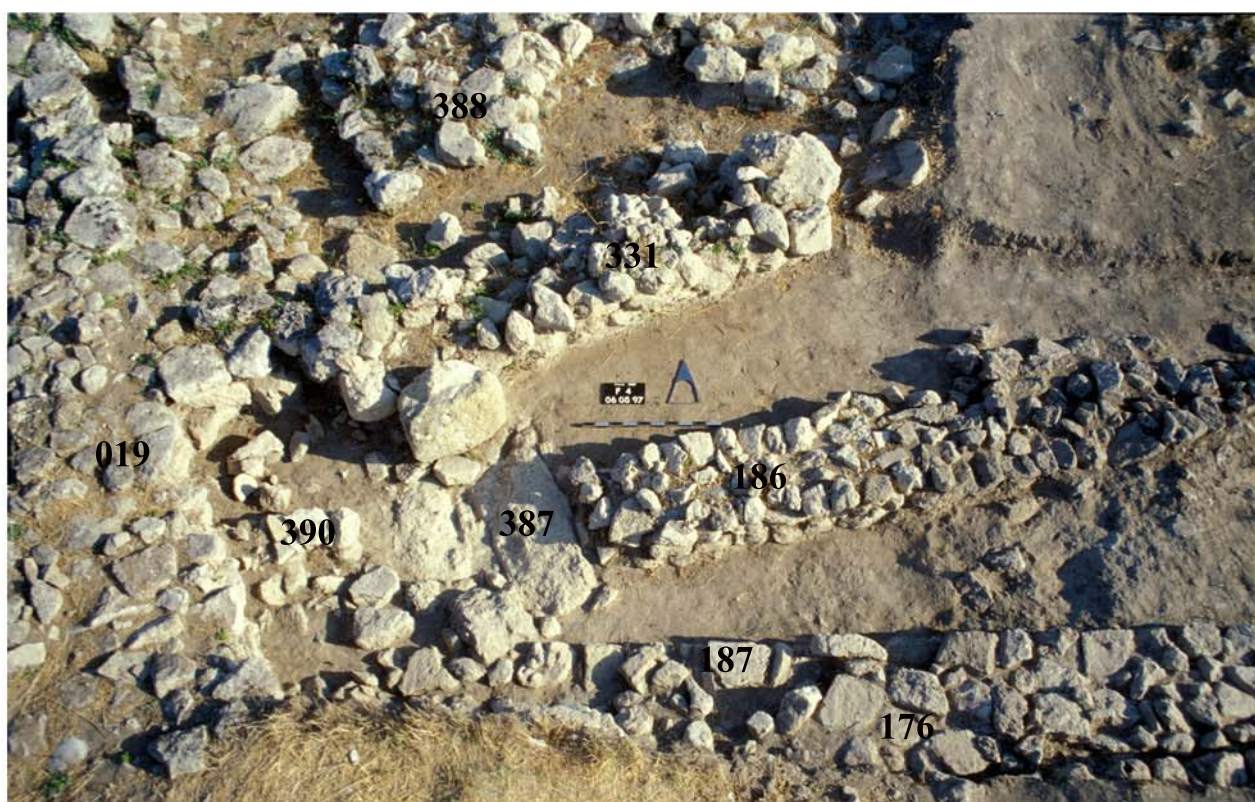
1



2



1

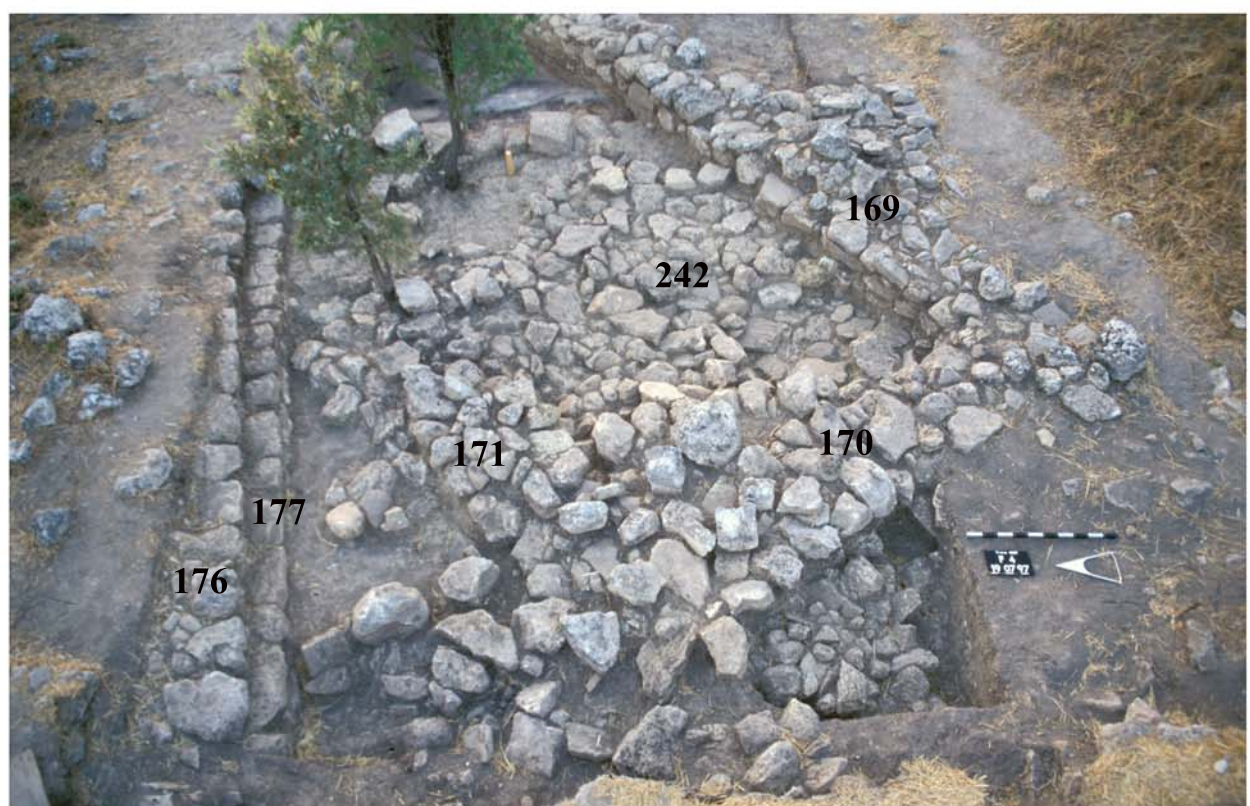


2

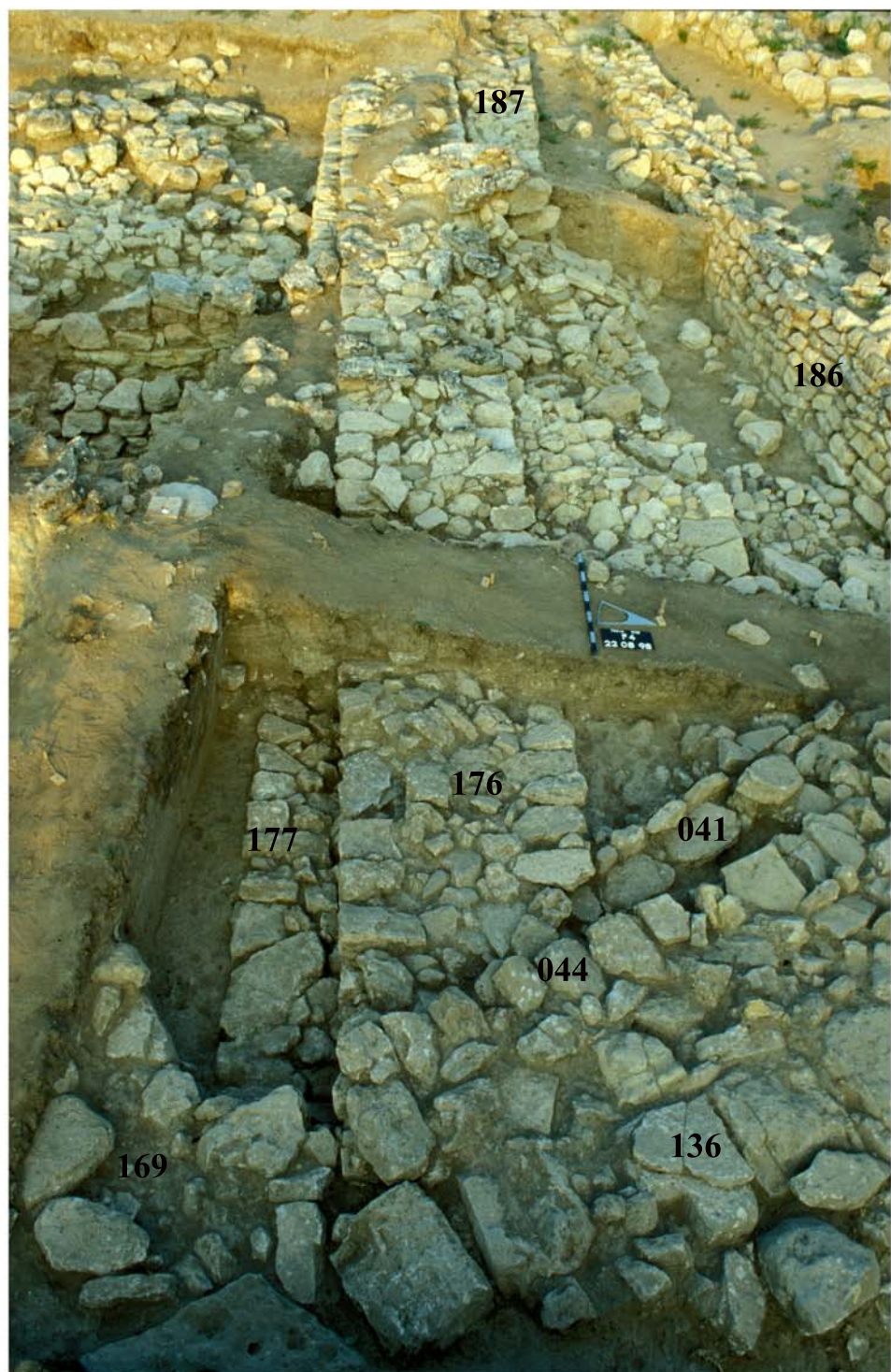




1



2





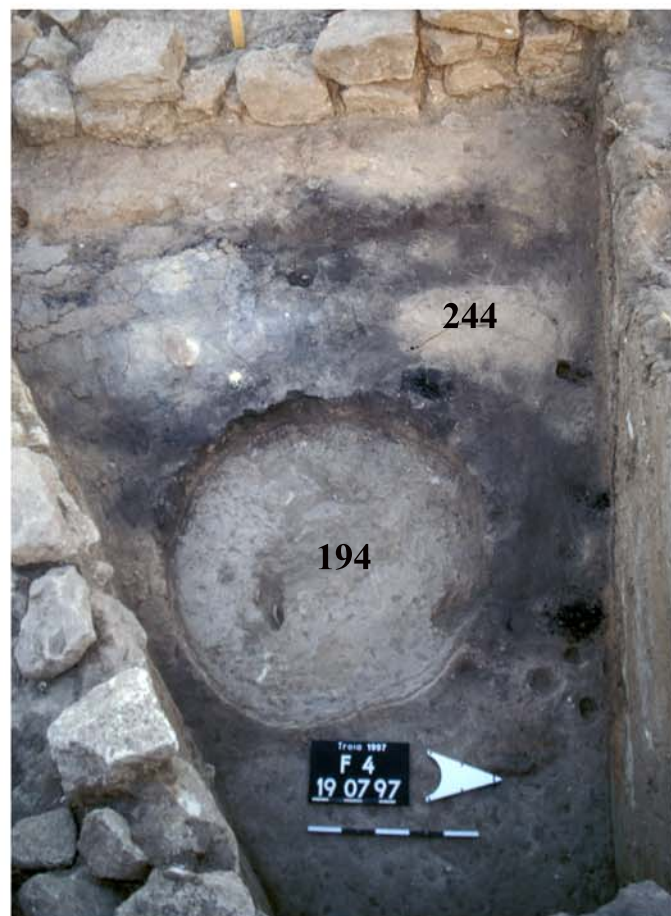
1



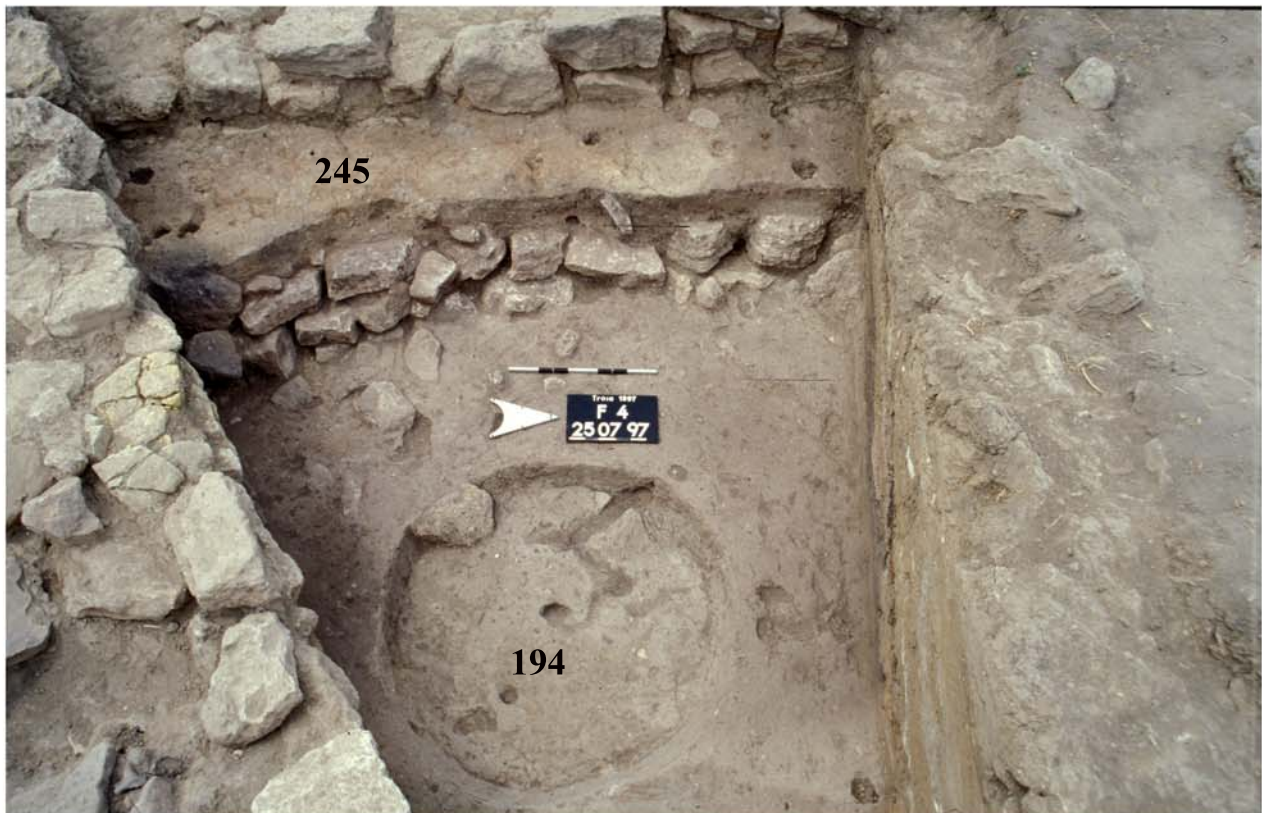
2



1



2

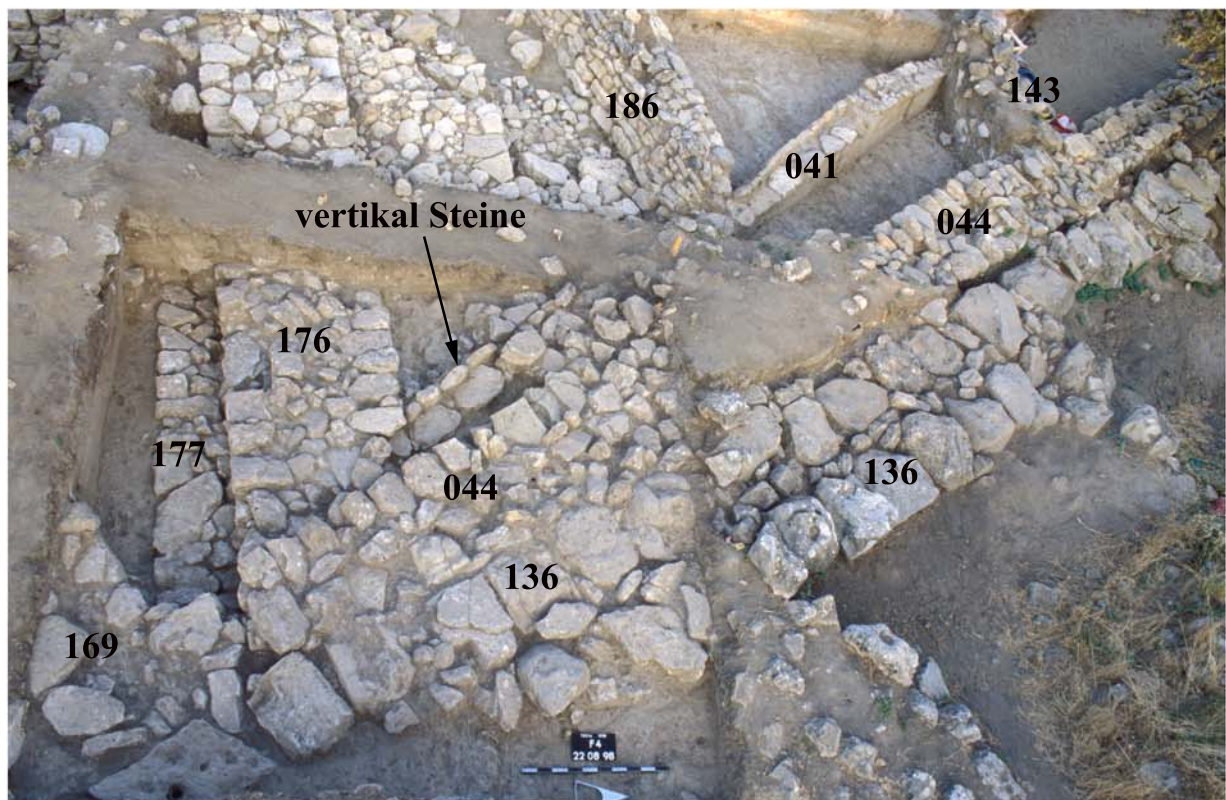


1



2

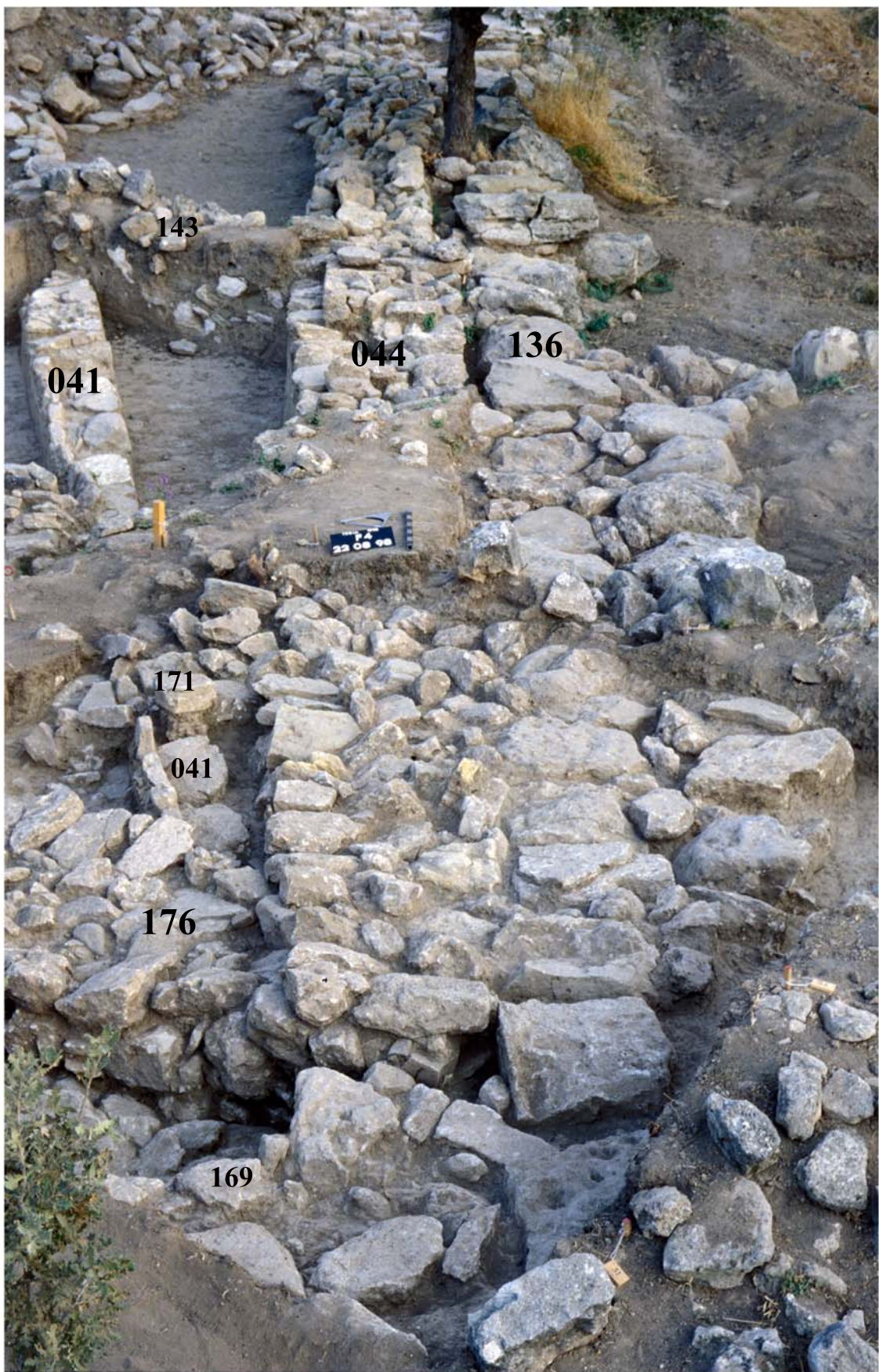




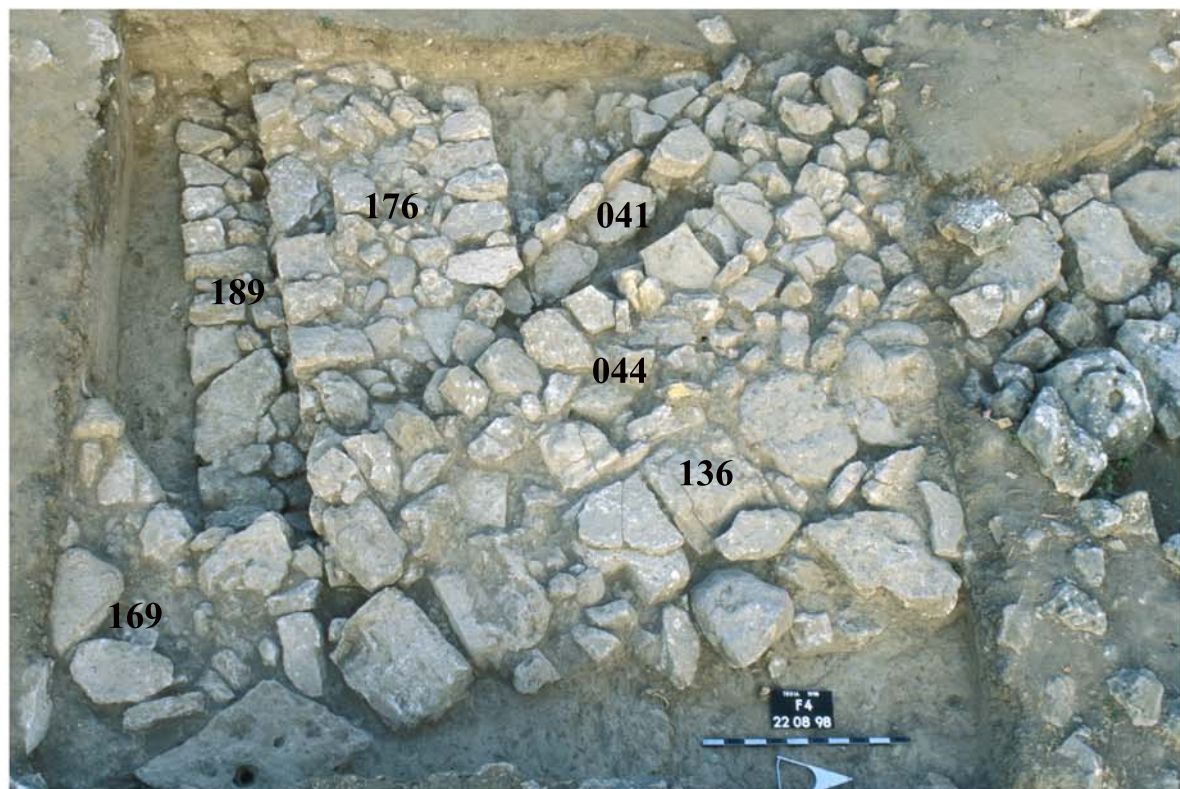
1



2







1



2



1

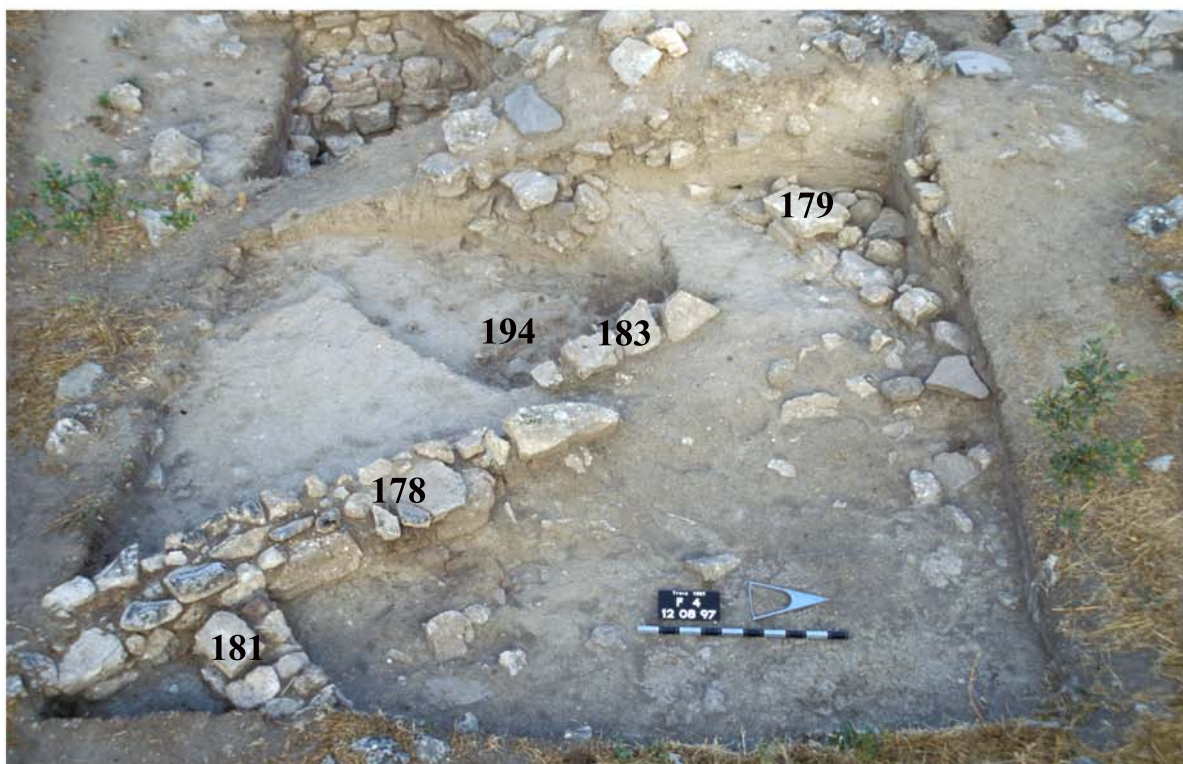


2

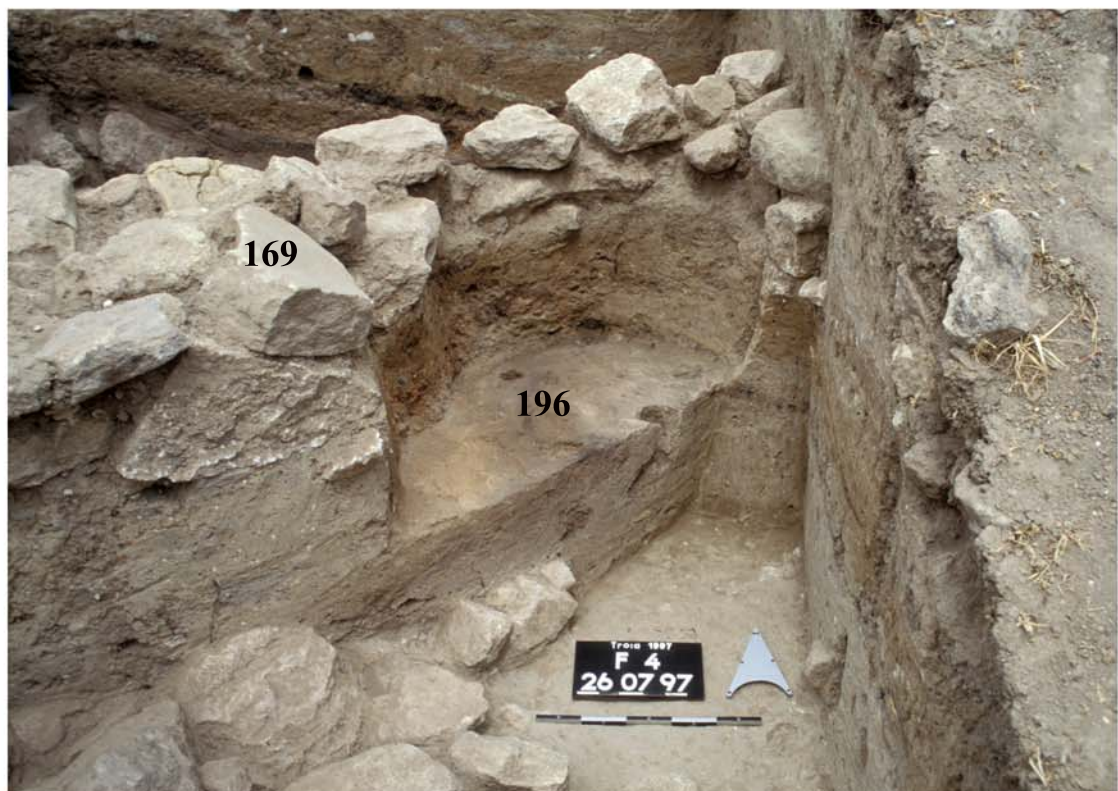




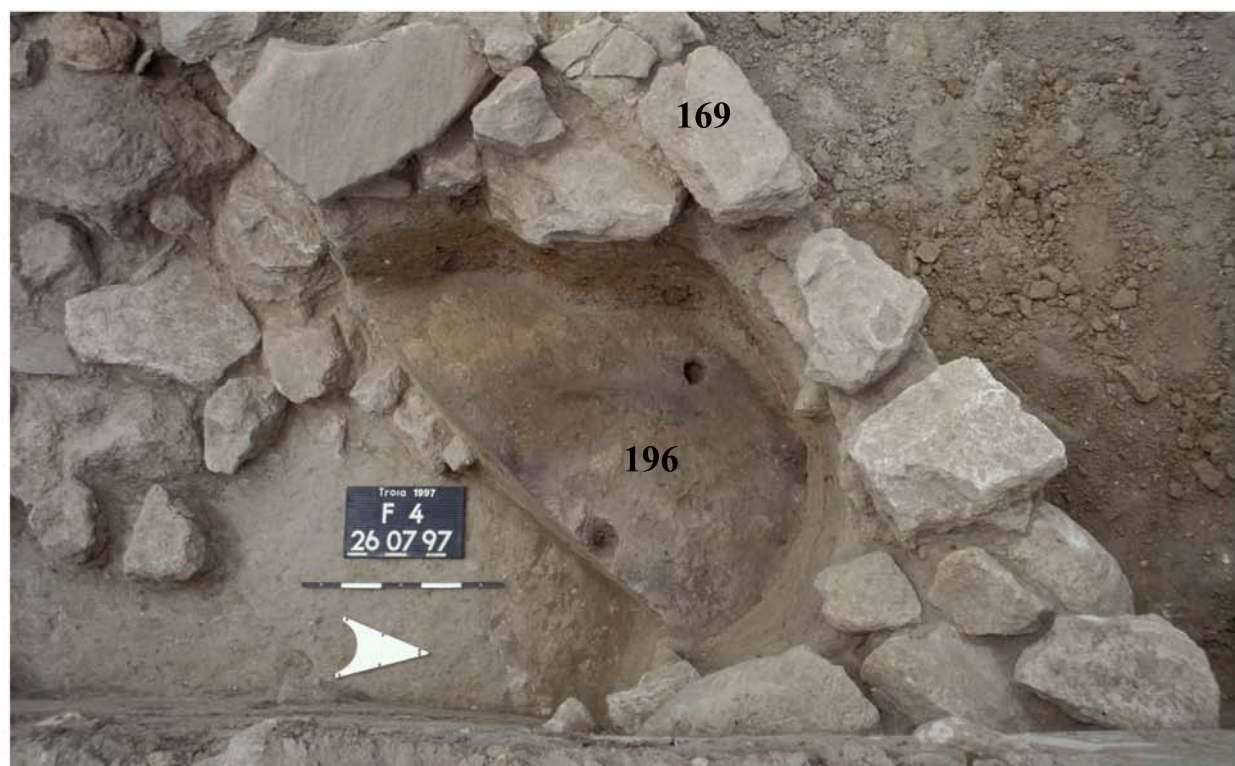
1



2



1



2

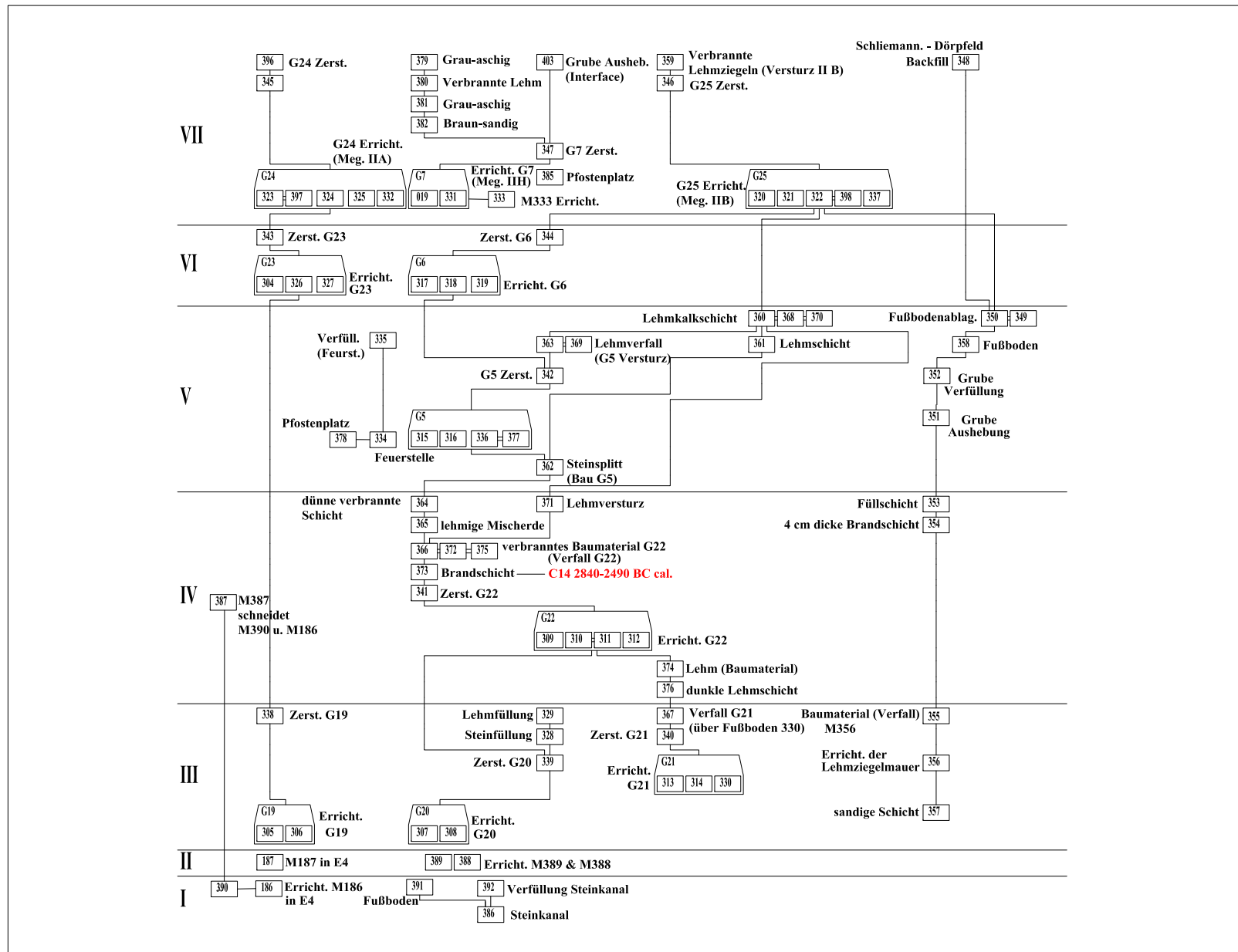


1



2

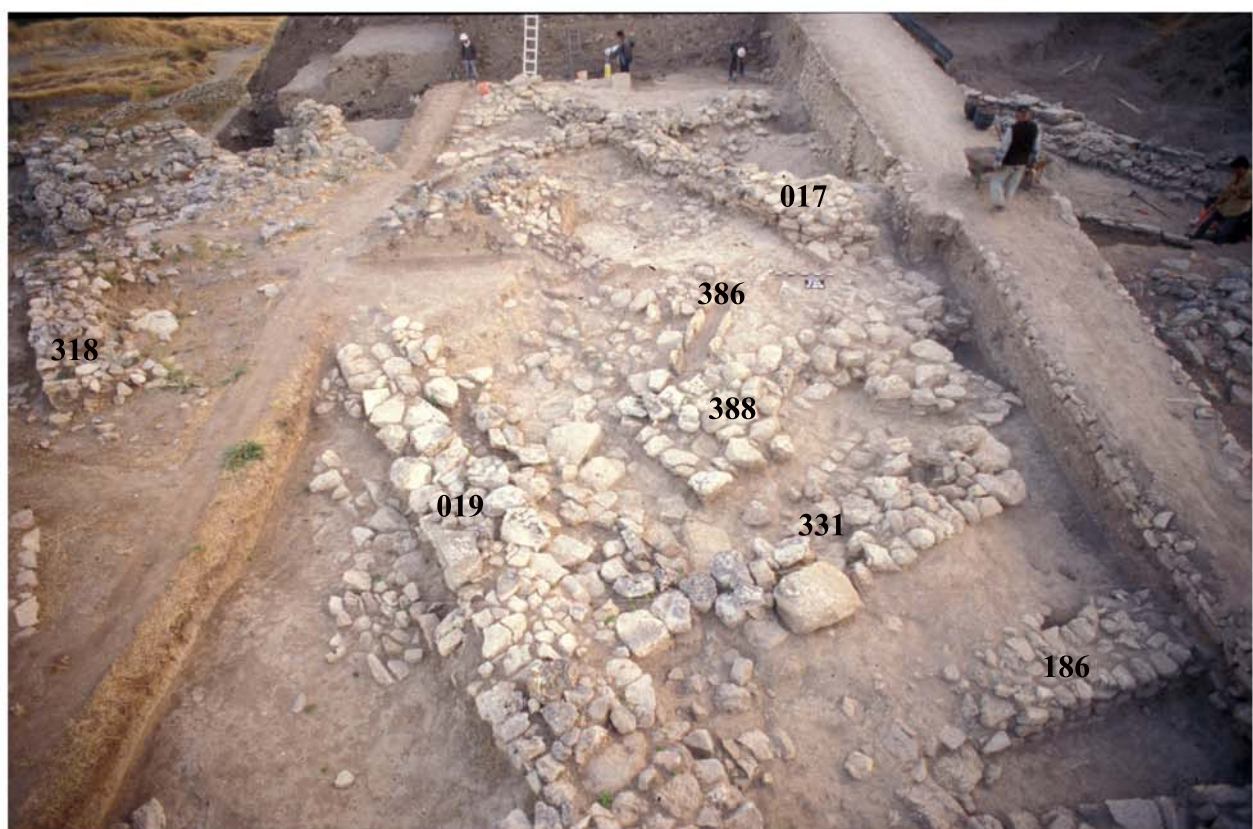




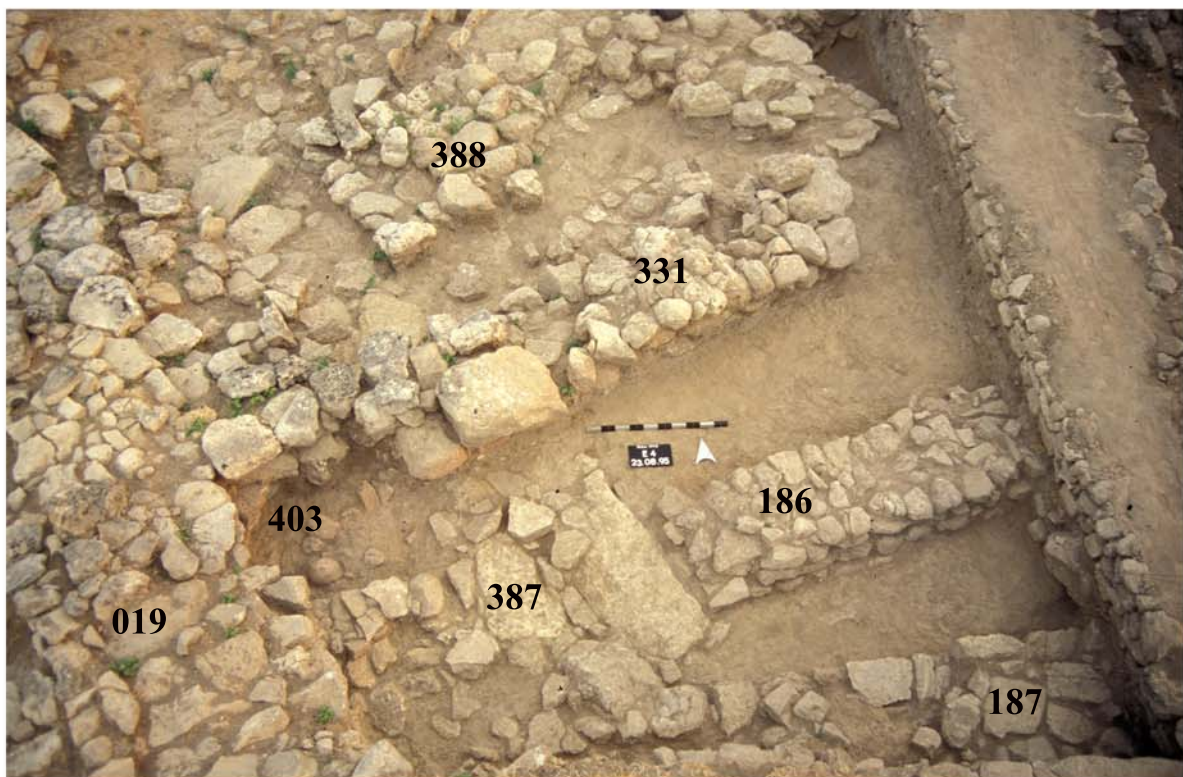
Taf. 84: Stratigraphische Abfolge in DE4/5



1



2







1



2



1



2



1



2



1



2



1



2





1



2

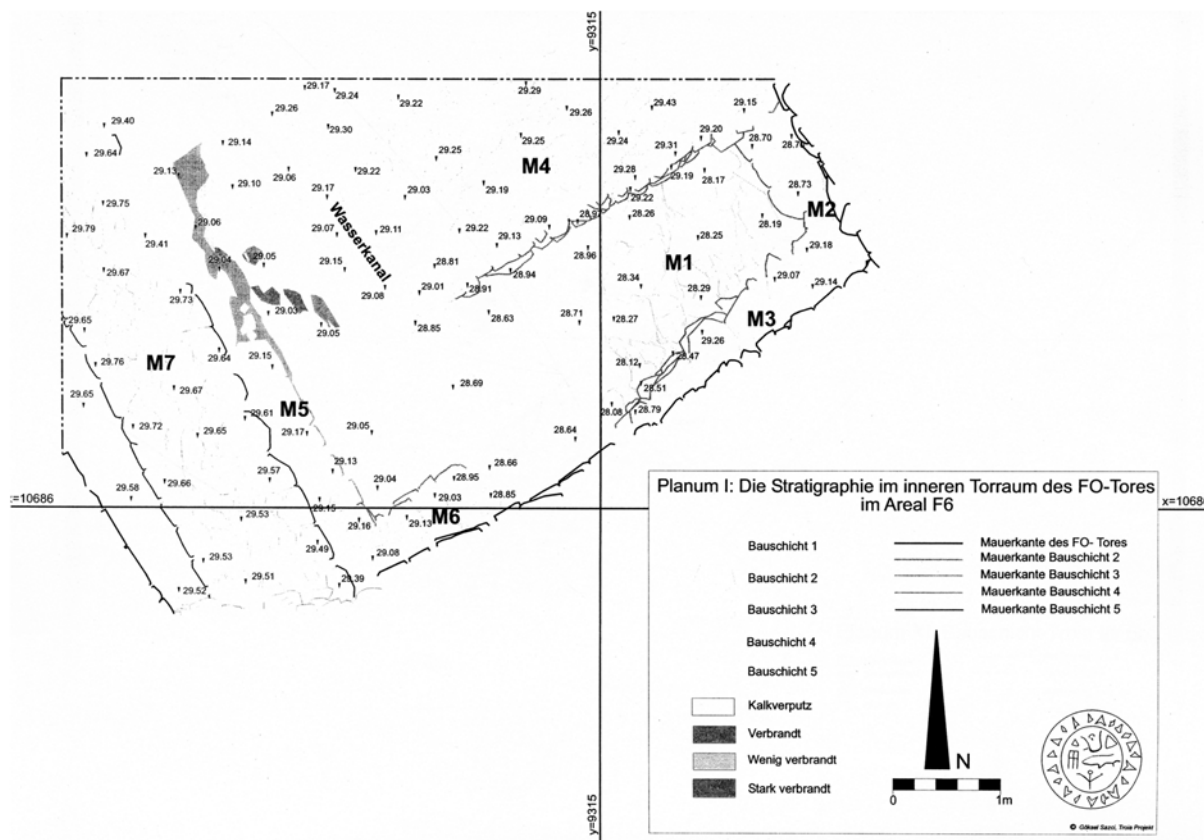


1



2

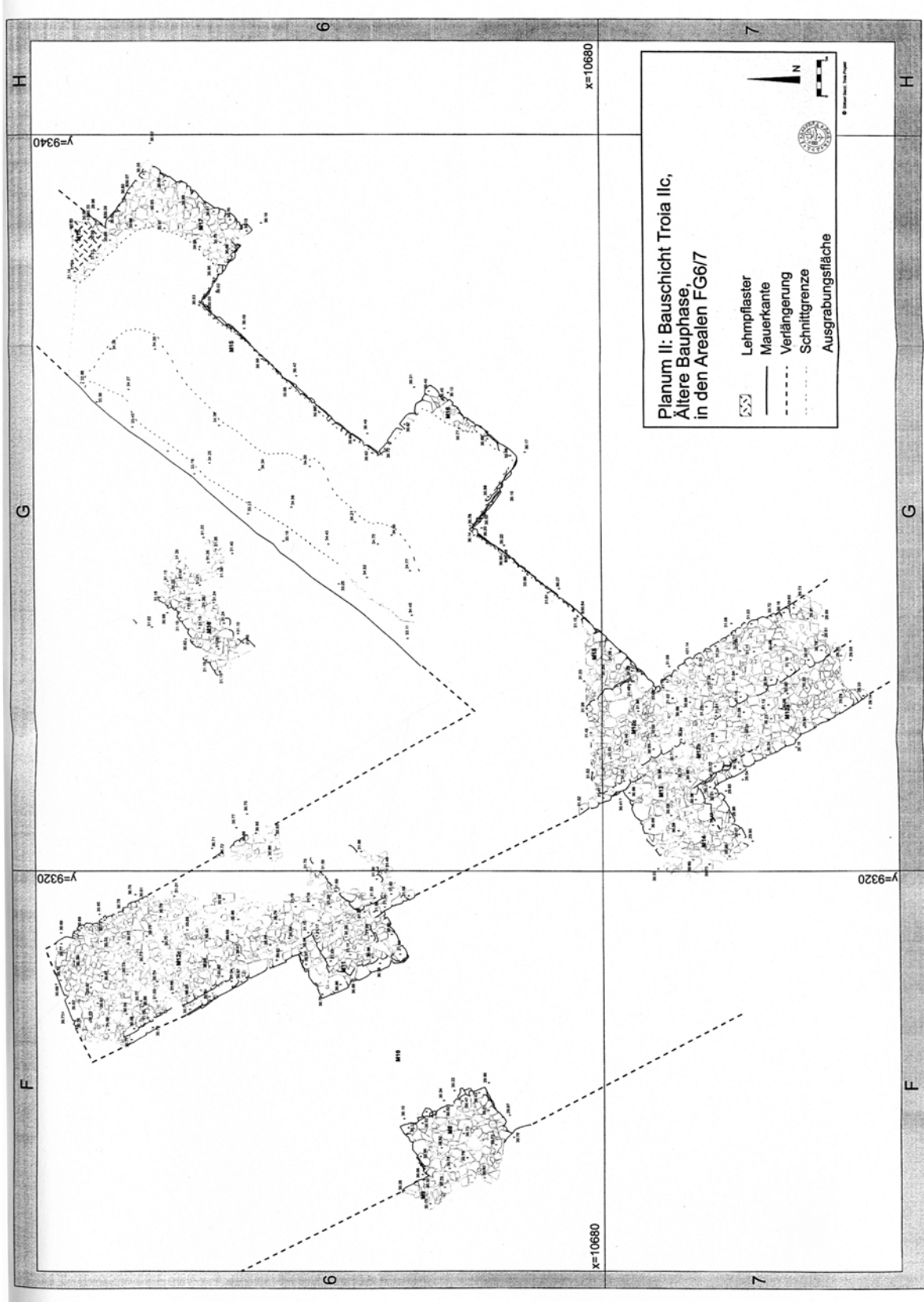




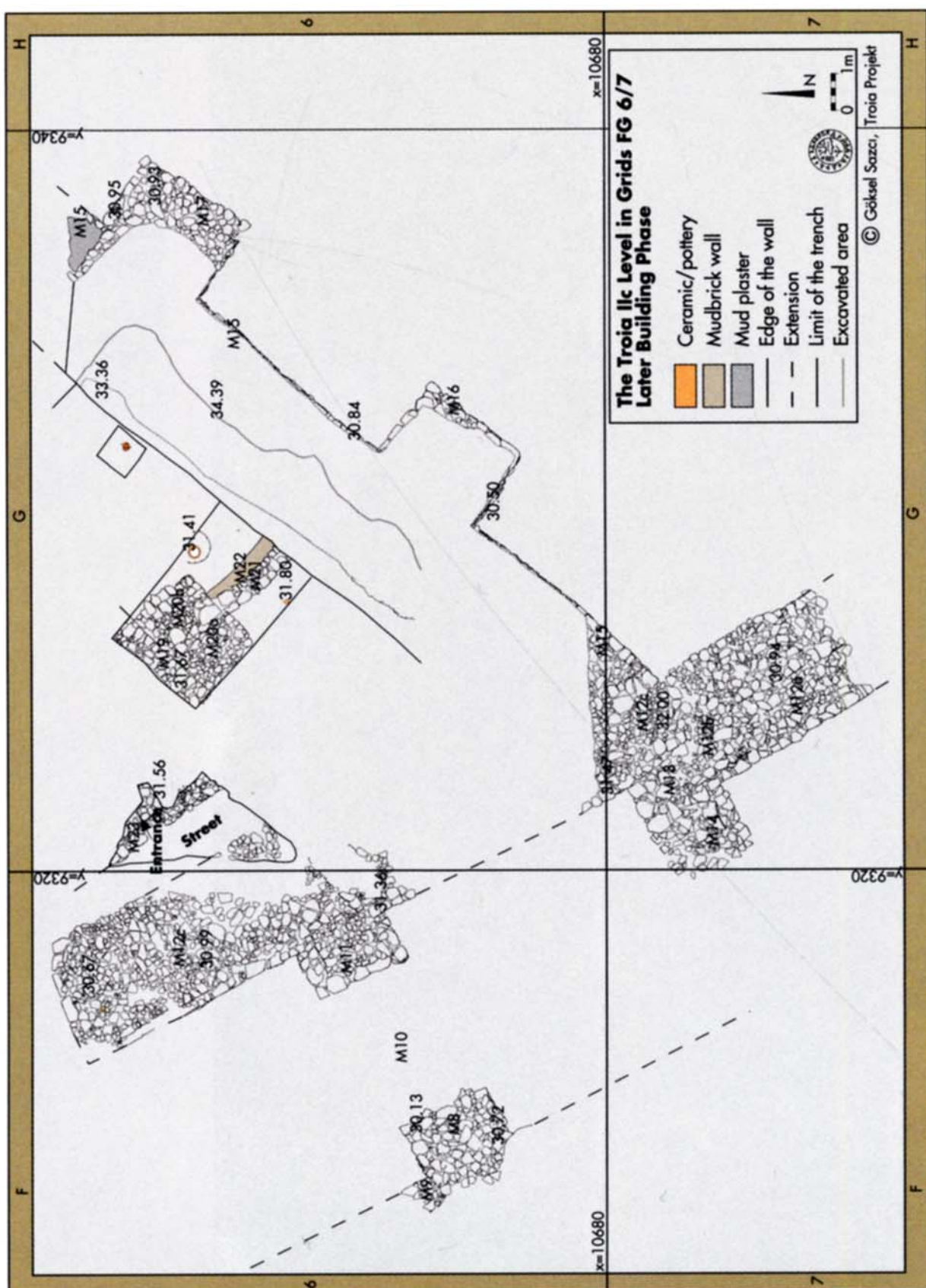
1. Quadrat F6, Baubefunde im inneren Torraum des FO-Tores
(Sazci 2003: Planum I)



2. Quadrat F6, Sondage innerhalb des nördlichen Torraums des FO-Tores
(Korfmann 2000: Abb. 13)



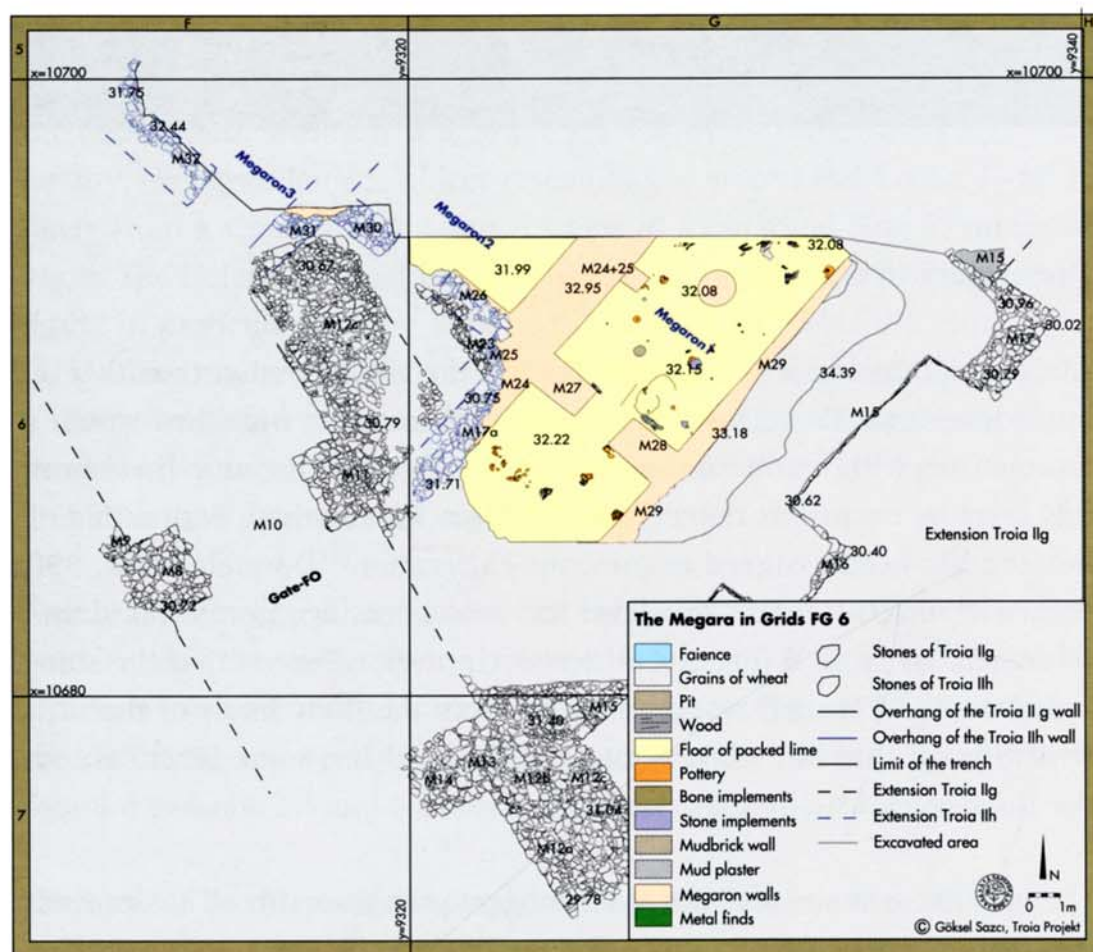
**Quadrat G7, Baubefunde innerhalb des südlichen Torraums des FO-Tores
(Sazci 2003: Planum II)**



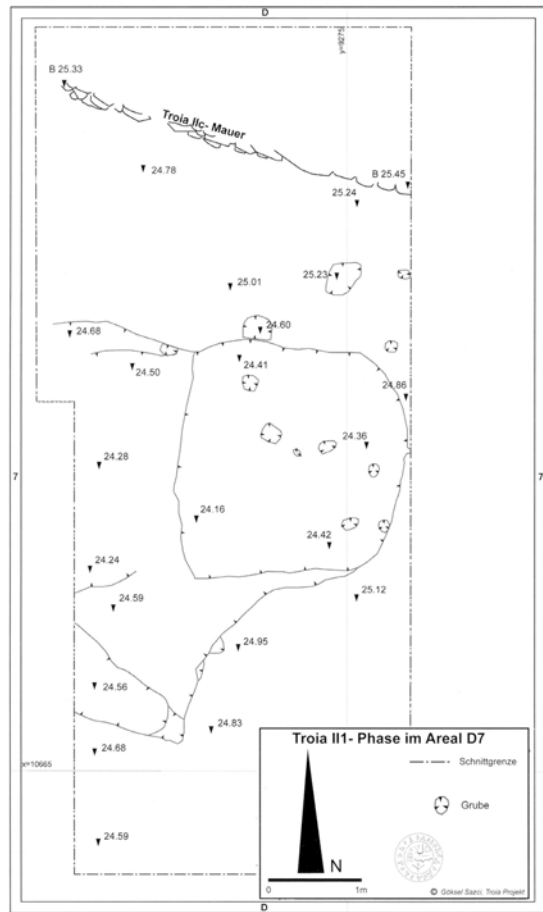
Quadrat FG6/7, Baubefunde im Bereich unmittelbar östlich des FO-Tores
(Sazçı 2007: Abb. 48)



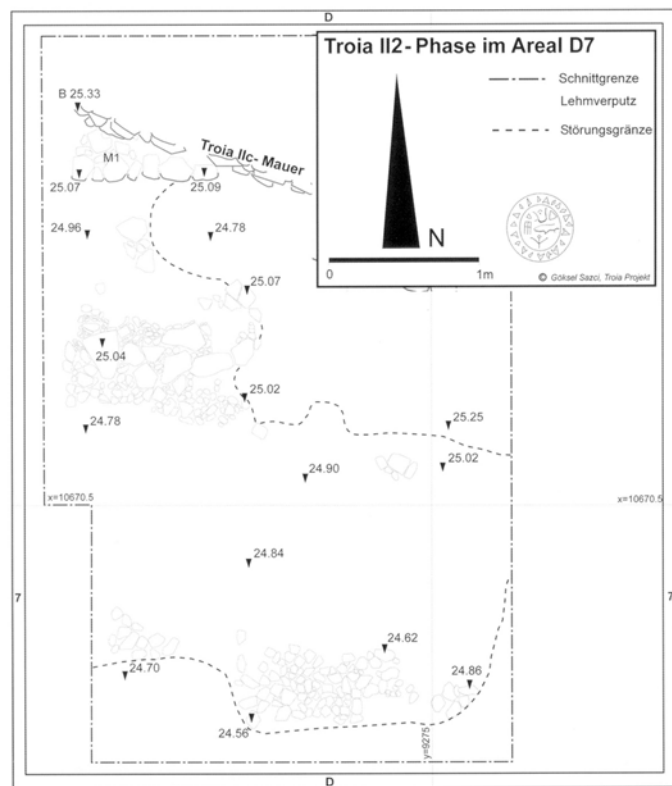
1. Lage der Megarongebäude in FG6 (Sazci 2001: Abb. 435)



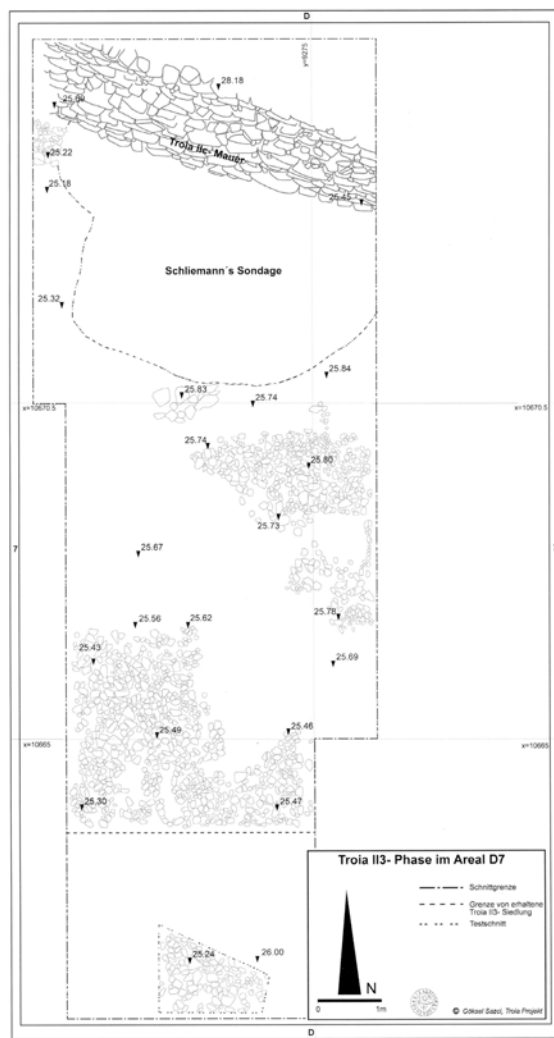
2. Quadrate FG6, Megarongebäude (Sazci 2007: Abb. 52)



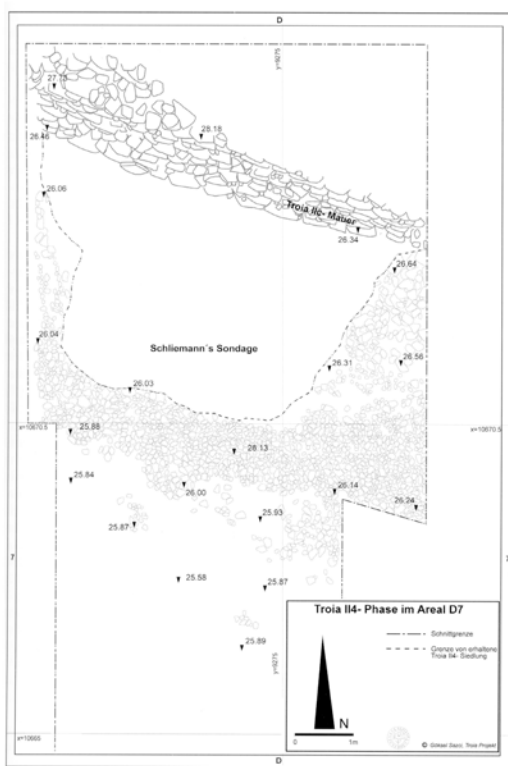
1. Bauschicht II1 in D7 (Sazci 2005: Planum 1)



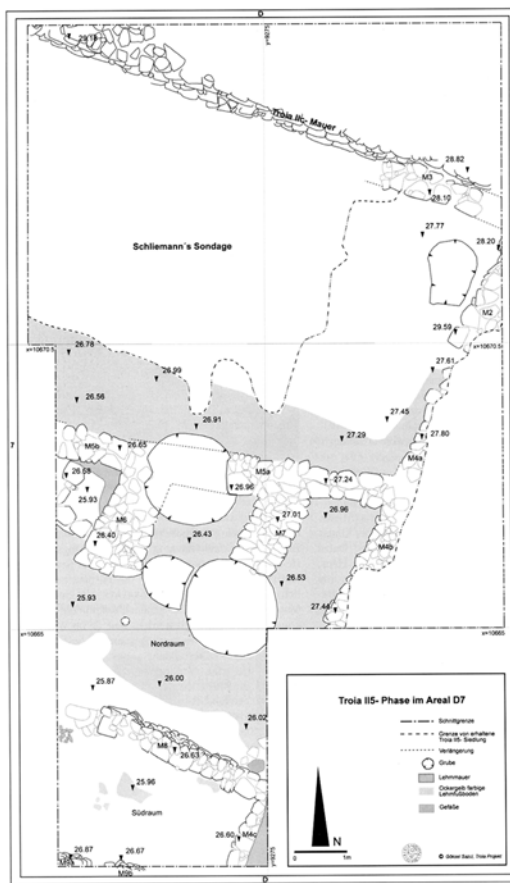
2. Bauschicht II2 in D7 (Sazci 2005: Planum 2)



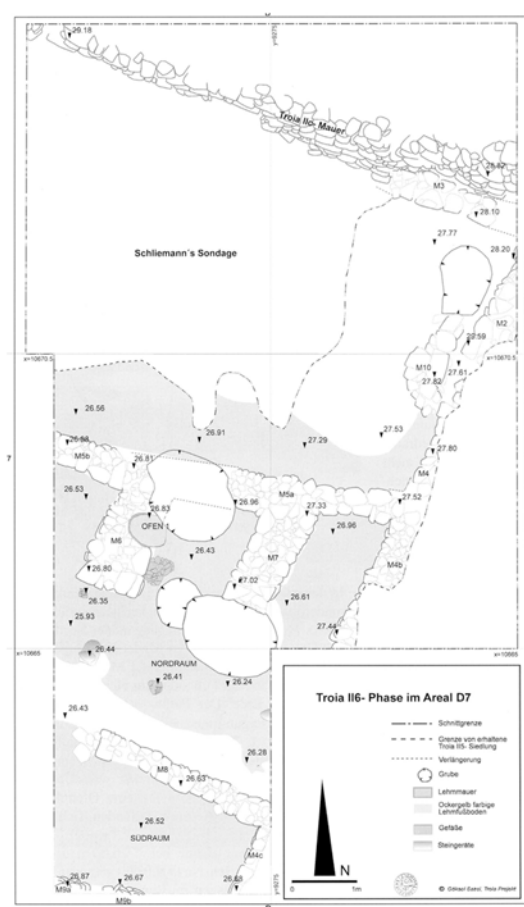
1. Bauschicht II3 in D7 (Sazci 2005: Planum 3)



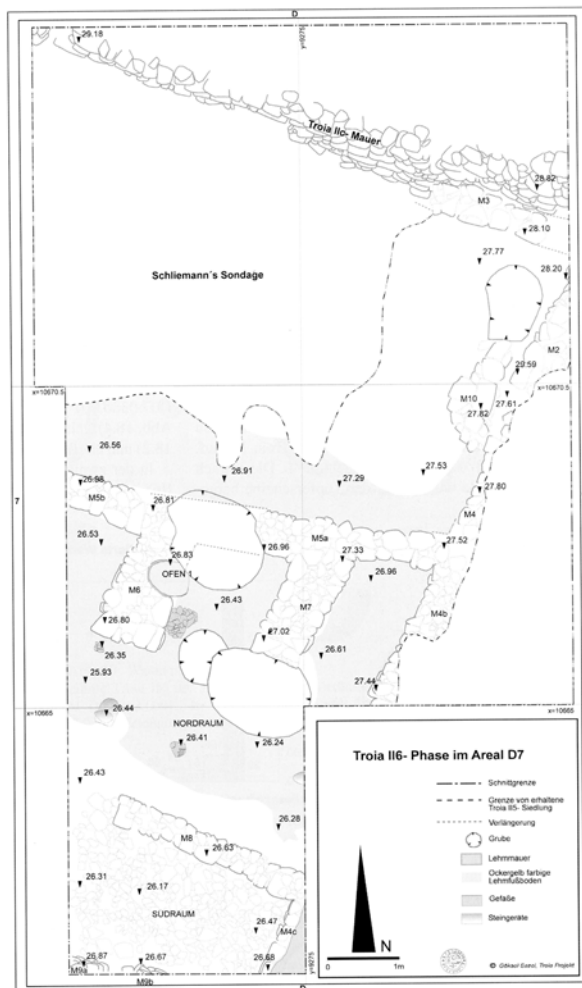
2. Bauschicht II4 in D7 (Sazci 2005: Planum 4)



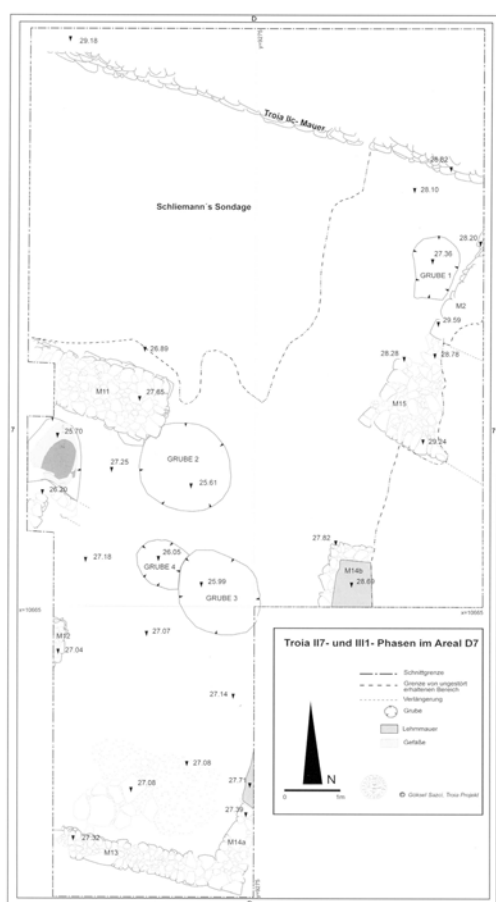
1. Bauschicht II5 in D7 (Sazci 2005: Planum 5)



2. Bauschicht II6 in D7 (Sazci 2005: Planum 6a)



1. Bauschicht II6 in D7 (Sazci 2005: Planum 6b)



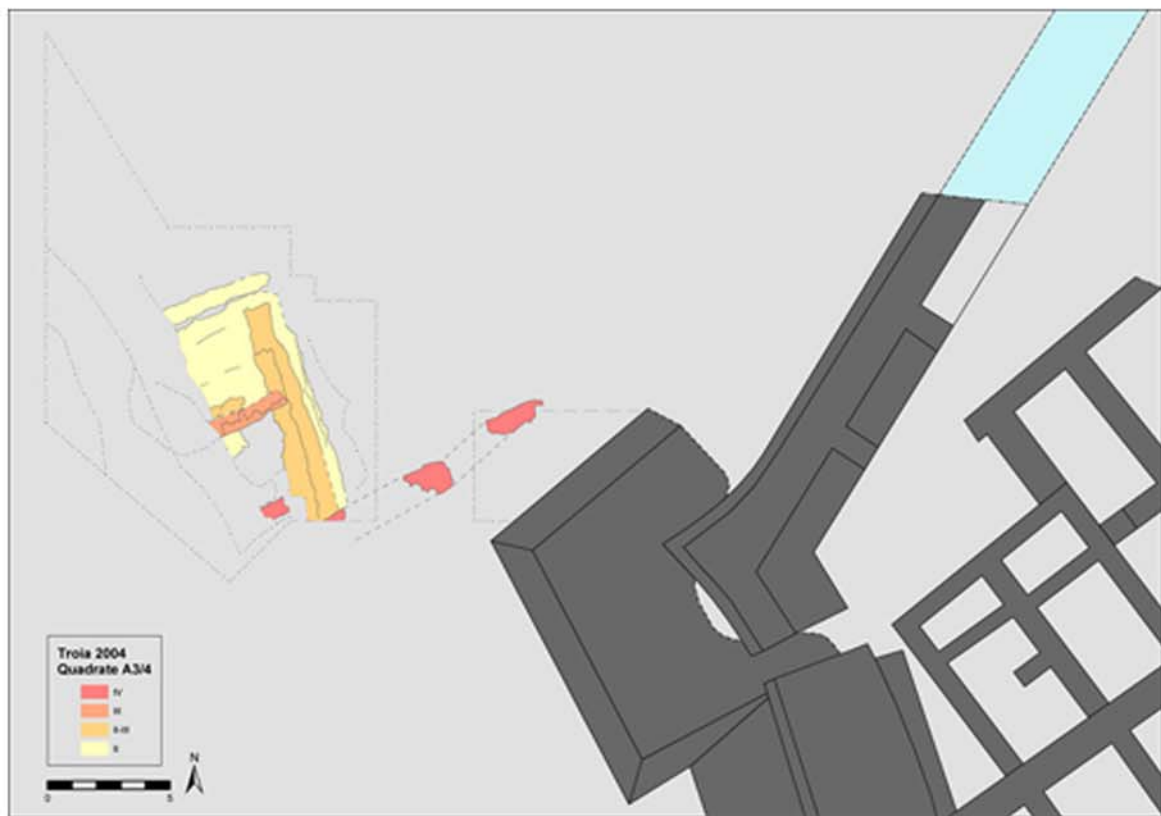
2. Bauschicht II7 in D7 (Sazci 2005: Planum 7)



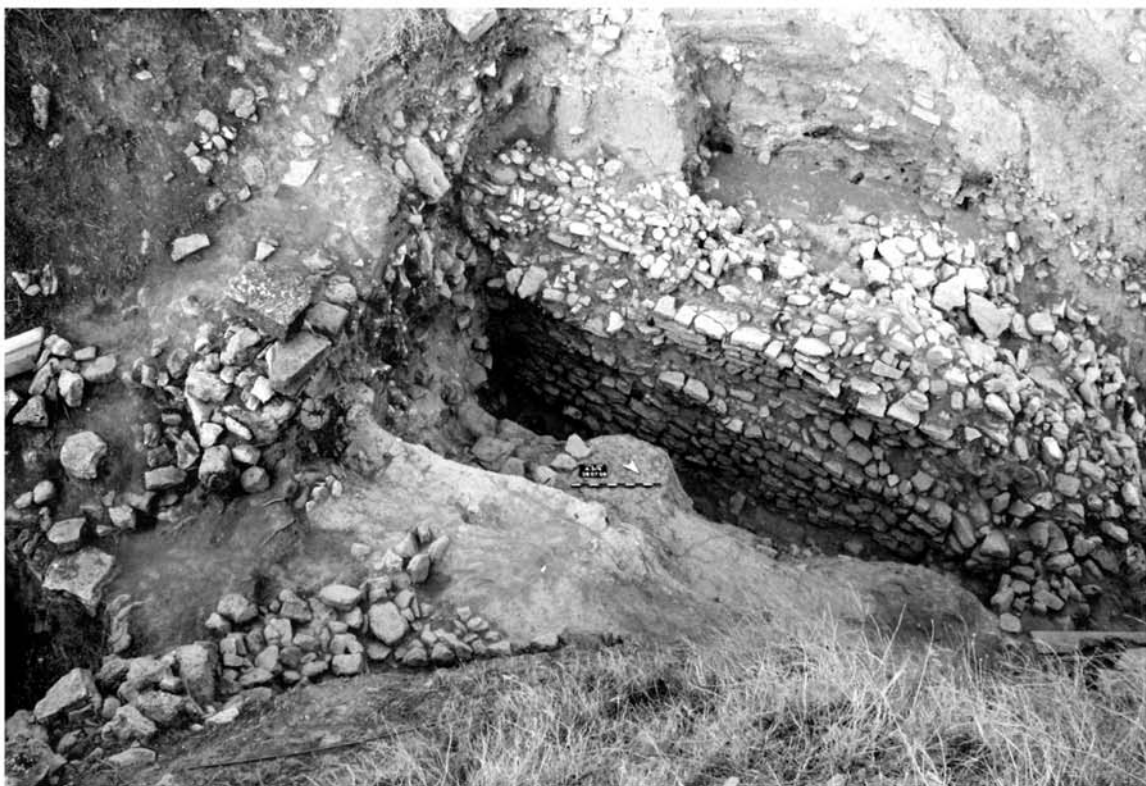
**1. Quadrat B4, Plan der Grabungen an der NW-Ecke des Turmes FH
(Korfmann 2000: Abb. 14)**



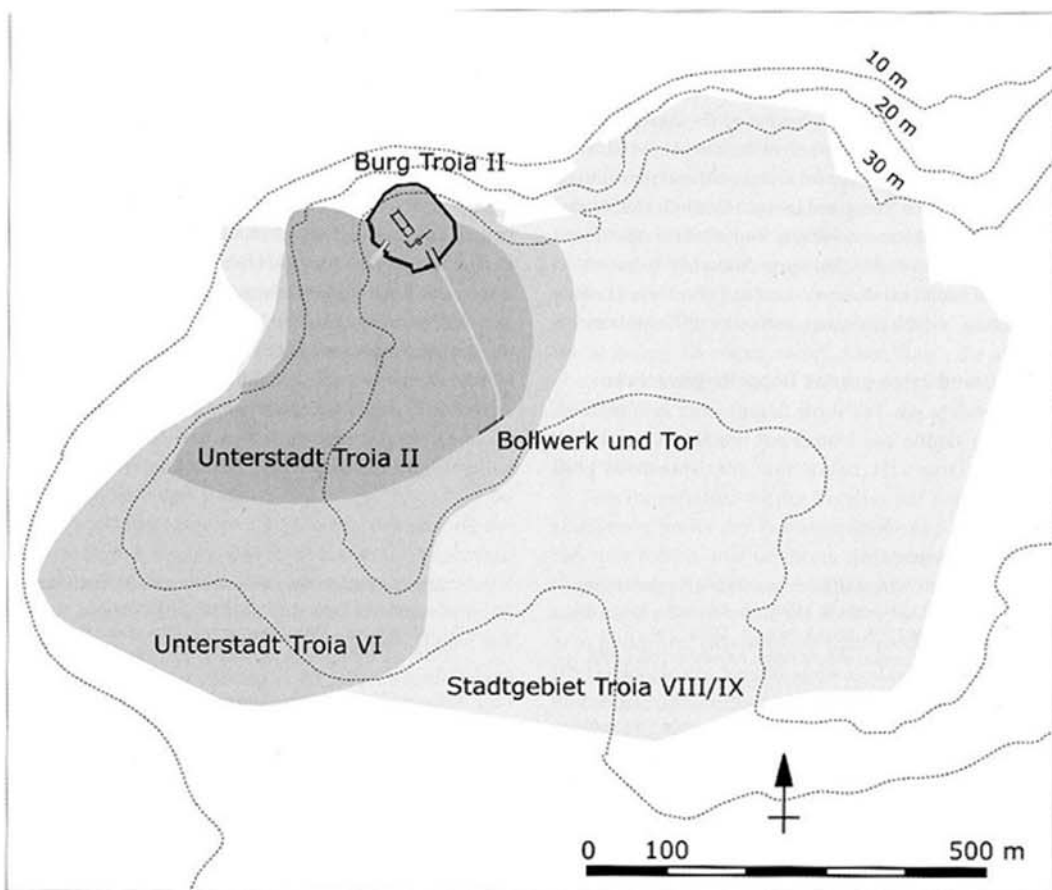
**2. Quadrat B4, NW-Ecke des Turmes FH mit darunter liegender
Senkrechter Mauer (Korfmann 2000: Abb. 15)**



1. Orientierungsplan zu den Grabungen in Quadrat A3/4 (Zeichnung R. Becks)



2. Ausgrabung in Quadrat A3/4, vermutlich Troia II spät-zeitliche Burgerweiterung
(Jablonka 2006: Abb. 11)



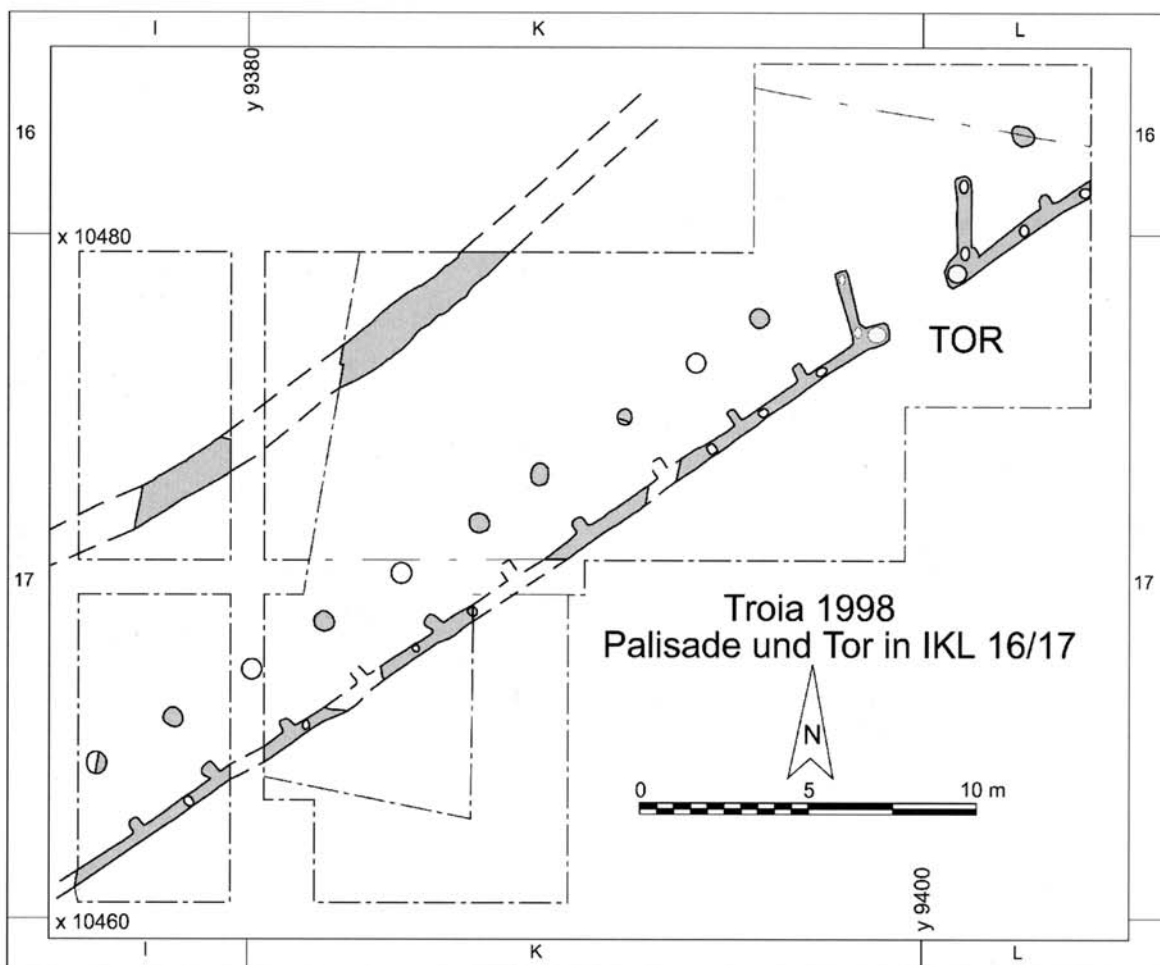
1. Vermutliche Ausdehnung der Unterstadt von Troia II
(Jablonka 2001: Abb. 393)



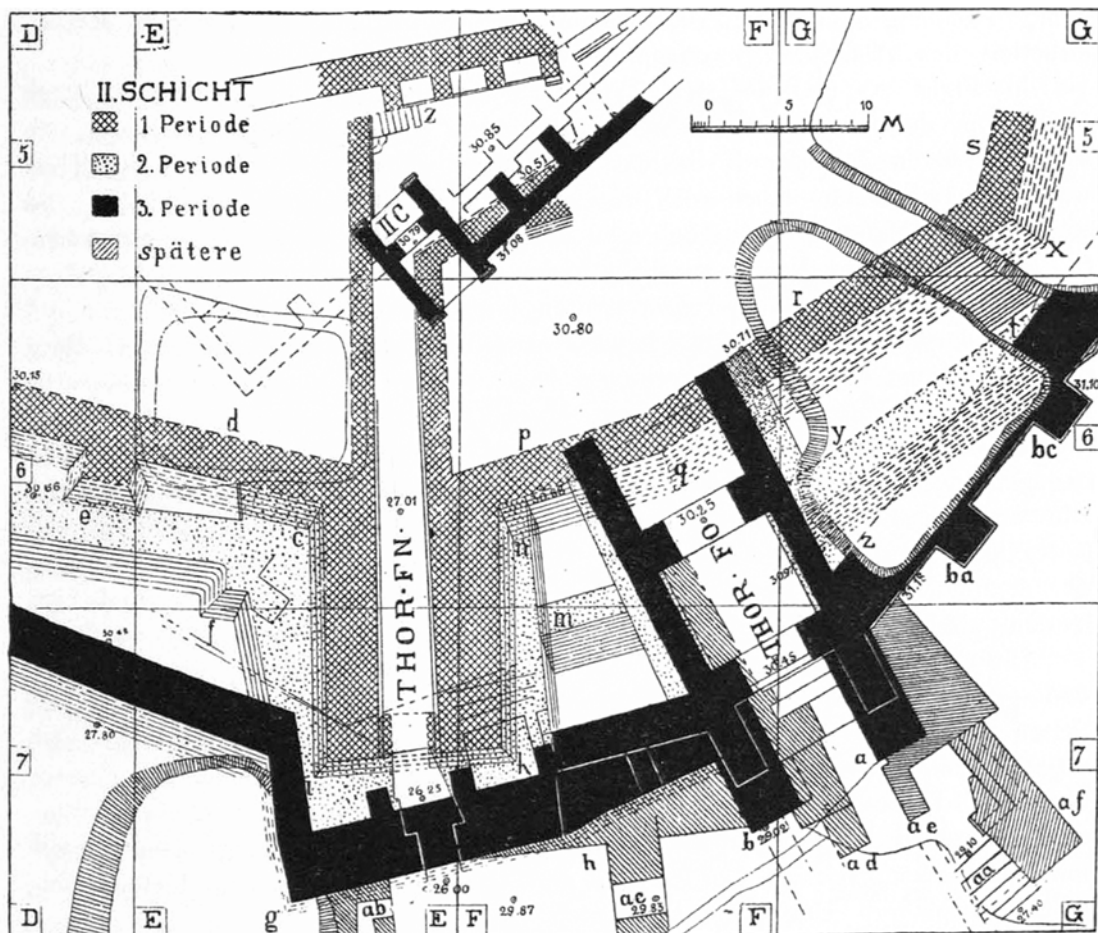
2. Freigelegter Abschnitt der Verteidigungsanlage in KL16/17



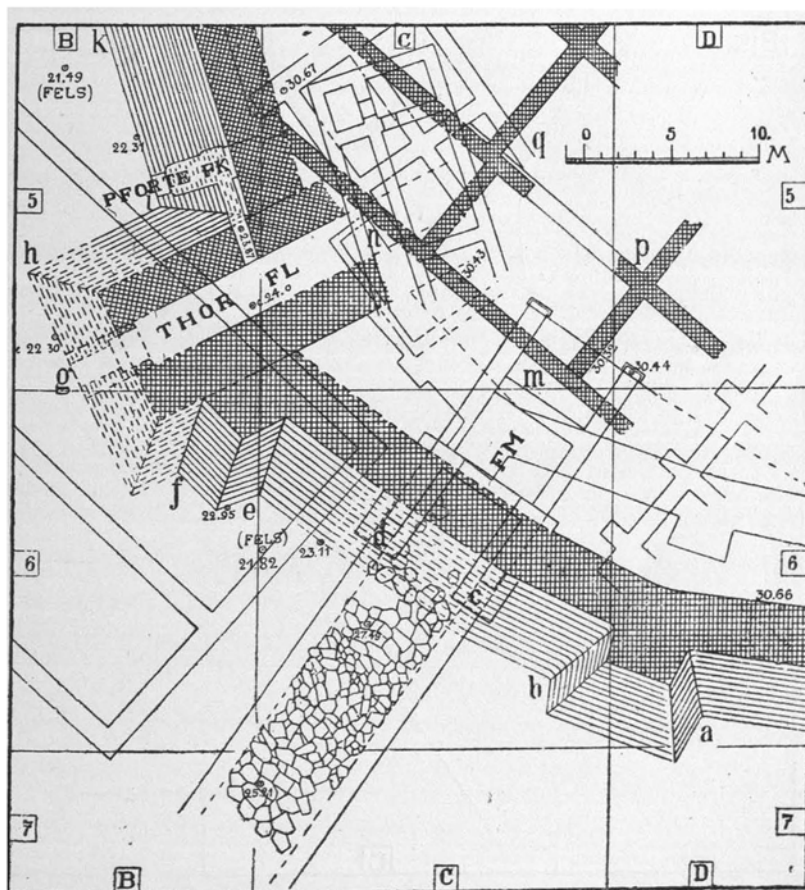
1. Rekonstruktionsversuch der Verteidigungsanlage aus Holz mit Torbau
(Jablonka 2001: Abb. 438)



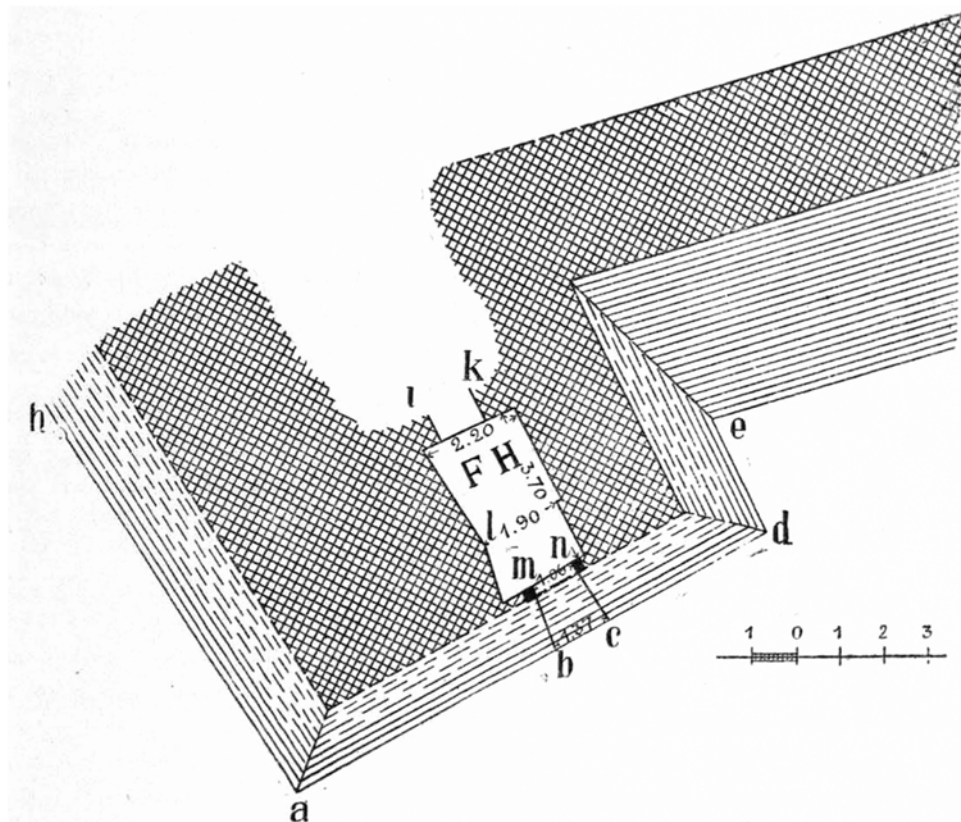
2. Quadrate IKL16/17, schematische Darstellung der vermutlich Troia II-zeitlichen
Verteidigungsanlage (Jablonka 1999: Abb. 18)



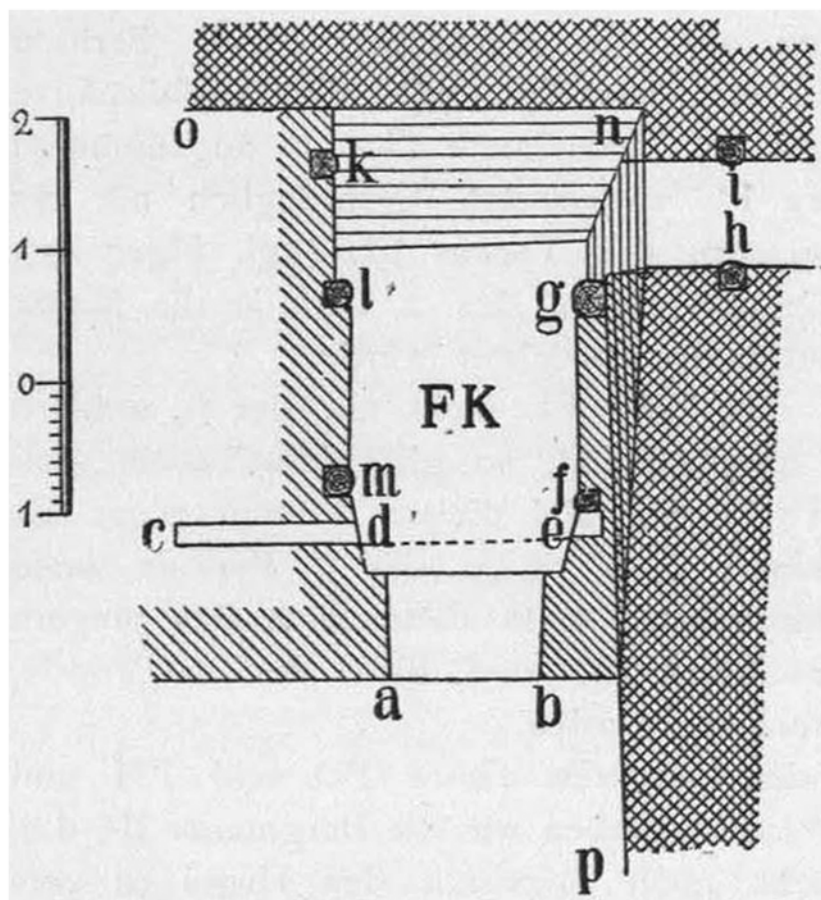
1. Toren FN und FO (Dörpfeld 1902: Fig. 22)



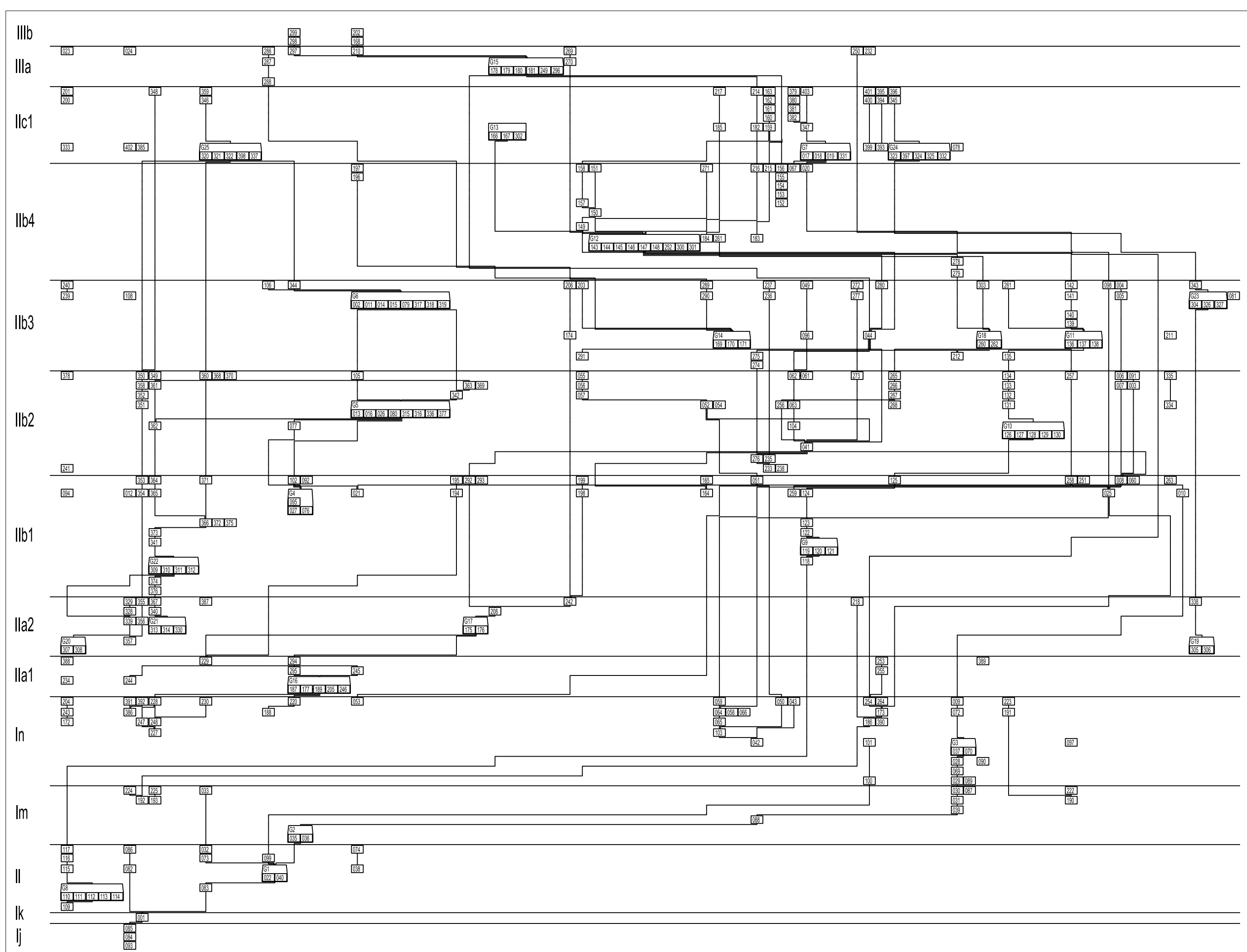
2. Tor FM mit der Rampe und Tor FL mit Pforte FK
(Dörpfeld 1902: Fig. 16)



1. Turm an der nordwestlichen Ecke der Zitadelle mit der Pforte FH
(Dörpfeld 1902: Fig. 18)



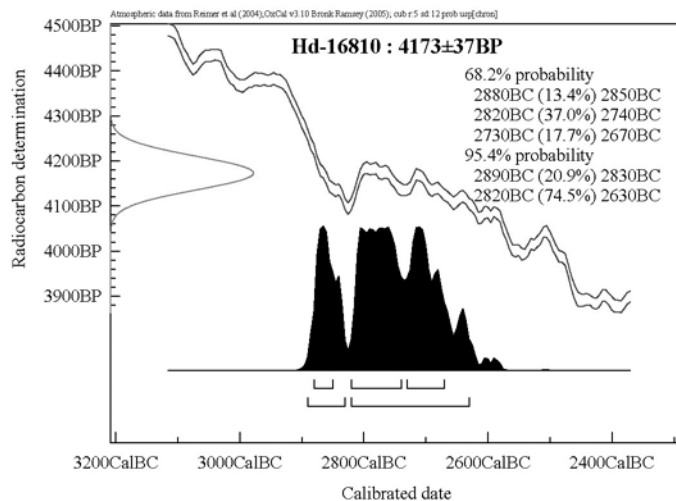
2. Pforte FK neben Tor FL (Dörpfeld 1902: Fig. 17)



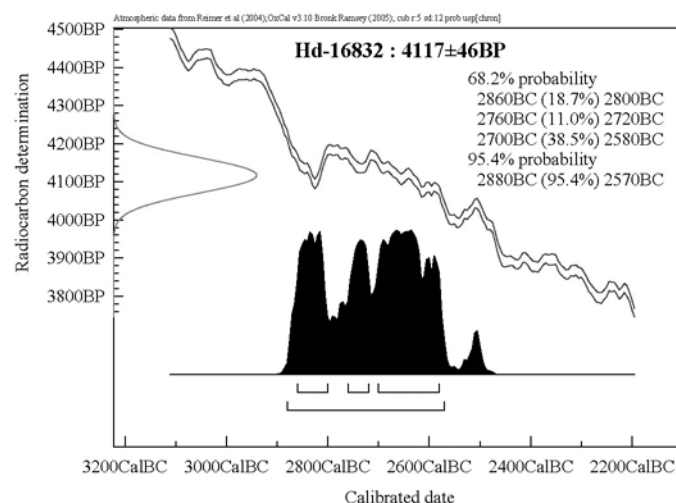
Taf. 111: Gesamtstratigraphie der Areale DE3, F3, F4 und DE4/5

Stratigraphische Abfolge	DE3	DE4/5	F3	F4	Korrelation mit Befestigungen
III	M023, M024				Gebäude 15 (M178, M179, M180, M181, 249, 296)
IIc3					Zerstörung der Megaronbauten. Ende der Periode Troia II.
IIc2					Erneuerung der Kolonnade vor dem Megaron II A- Errichtung von Bauten II N und II M
IIc1	Megaron II A (M019, M018, M017)	Megaron II K (M166, M167, M302)	Megaron II H (M185) und Megaron II K (M302)		
IIb4	Megaron II A (M332, M324, M397, M323) und Megaron II B (M322, M398, M320, M321)	Gebäude 12 (M143,M144, M145,M146, M147)	M143		Mauer IIb, Tore FO, FM und Rampe gebaut
IIb3	Gebäude 6 (M075, M014,M015,M002,M067)	Gebäude 6 (M317,M318,M319), Gebäude 23	Megaron II R, M044		Das Lange Haus (M169,M170,M171), M044
IIb2	M041, Steinpflasterung 006, Gebäude 5	Gebäude 5 (M316, M315)	M041		Mauer IIc (?), FO erbaut, FN-FI weiterbenutzt (?)
IIb1	Brandschicht 008-060, Gebäude 26 (M025), Gebäude 4 (M027, 076)	Brandschicht 373 Gebäude 26 (M387), Gebäude 22 (M309, M312)	Füllung		Steinfüllung 242 M186; Gebäude 17 (zweite Phase M175, M176)
IIa2		M388, M313, M314			Mauer IId
IIa1		Gebäude 19 (M305,M306), Gebäude 20 (M307, M308), M313, M314, M318	Gebäude 10 (M126, M127, M128, M129, M130)		Brandschicht 229 Gebäude 16 (erste Phase M187, M177, M189, 205, 246)
In	Gebäude 3 (M037,M042)	Kanal 386	Gebäude 9,M164(=M042)		M173(=M042) M186
Im	tiefe Lehmfüllung Gebäude 2: M035, M045		Gebäude 9? (M119, M120, M121)		M190,M192,M193
I	M022-M038; Biegens Mauer OB (082)		Gebäude 8		
Ik	Biegens Ik				
Ij	Biegens Mauer BB				

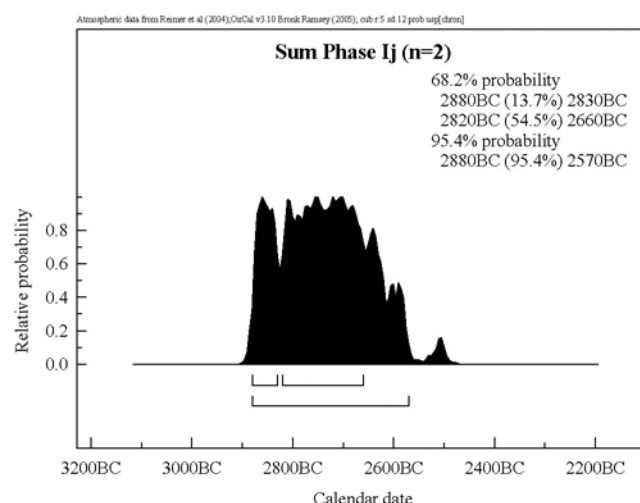
Bauabfolge innerhalb der Troia II-zeitlichen Zitadelle



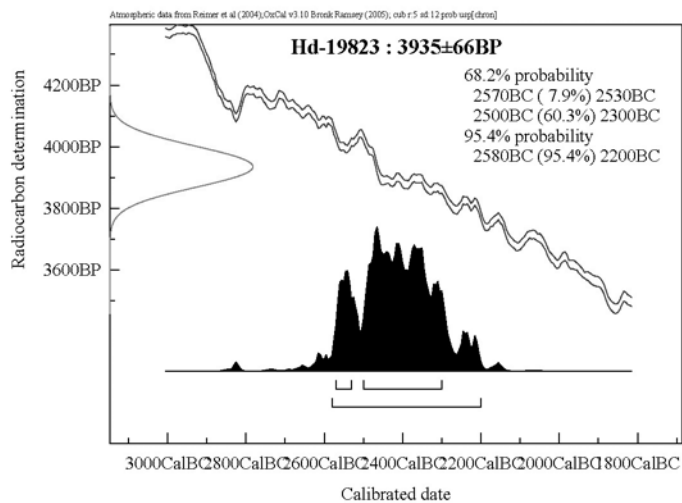
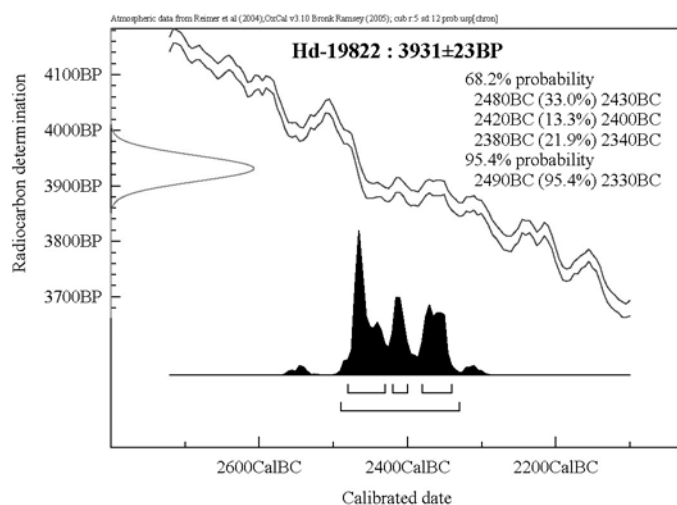
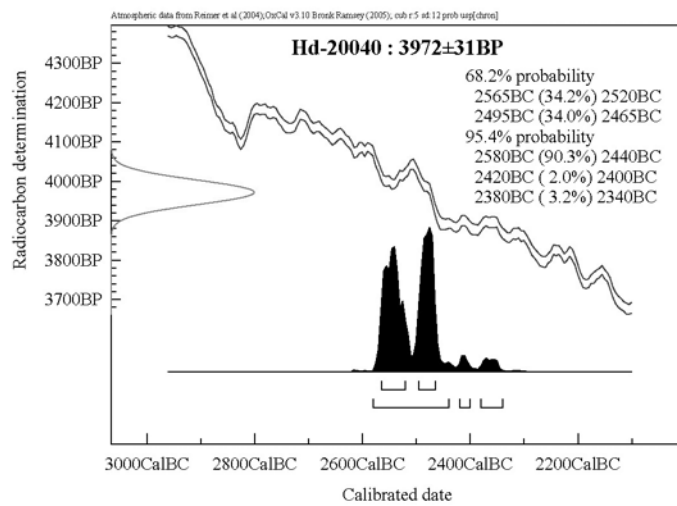
1

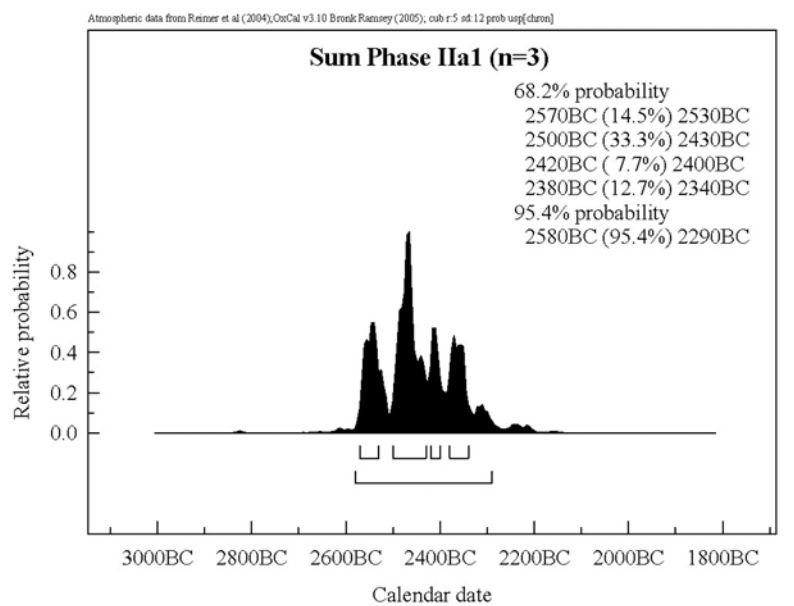


2

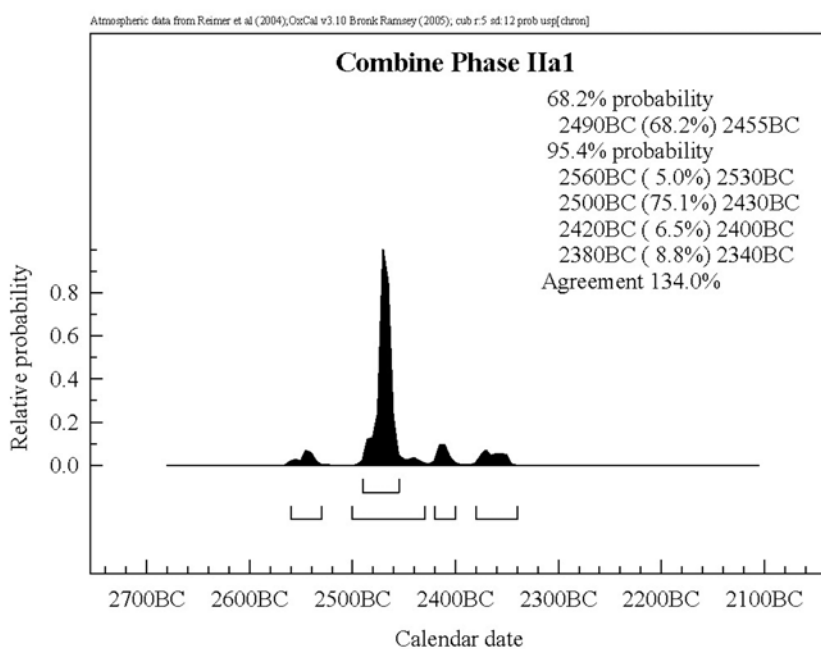


3

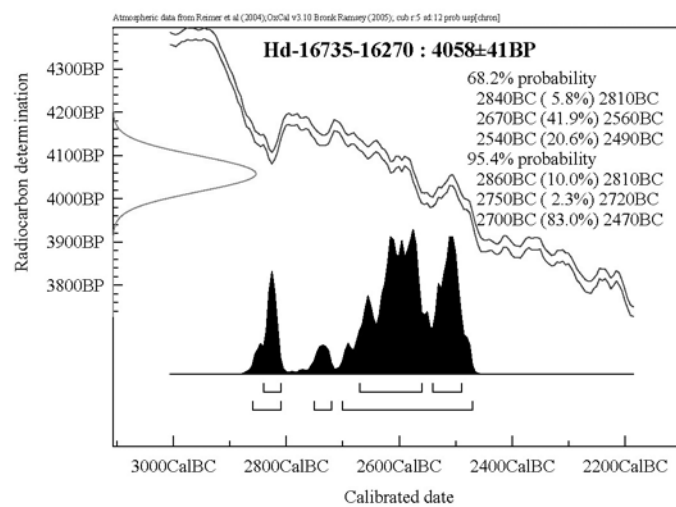
**1****2****3**



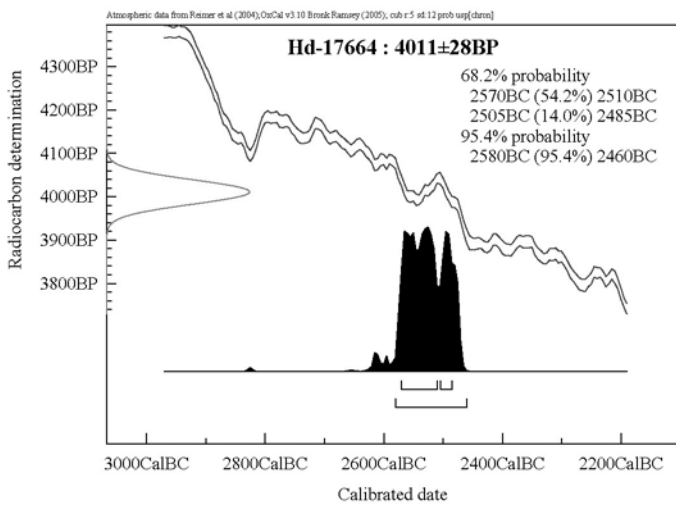
1



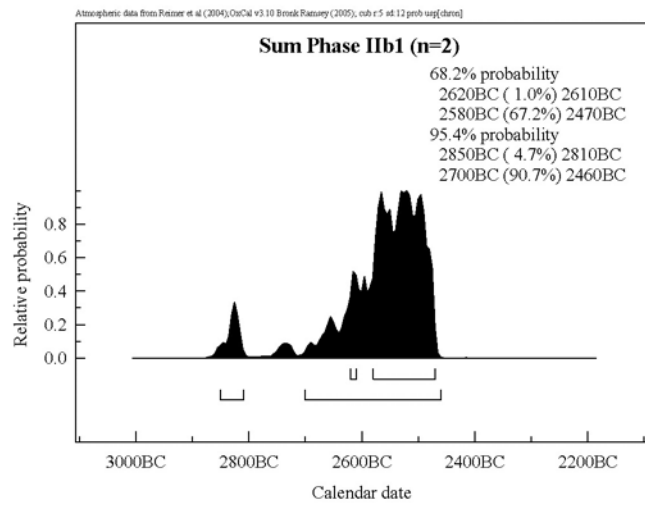
2



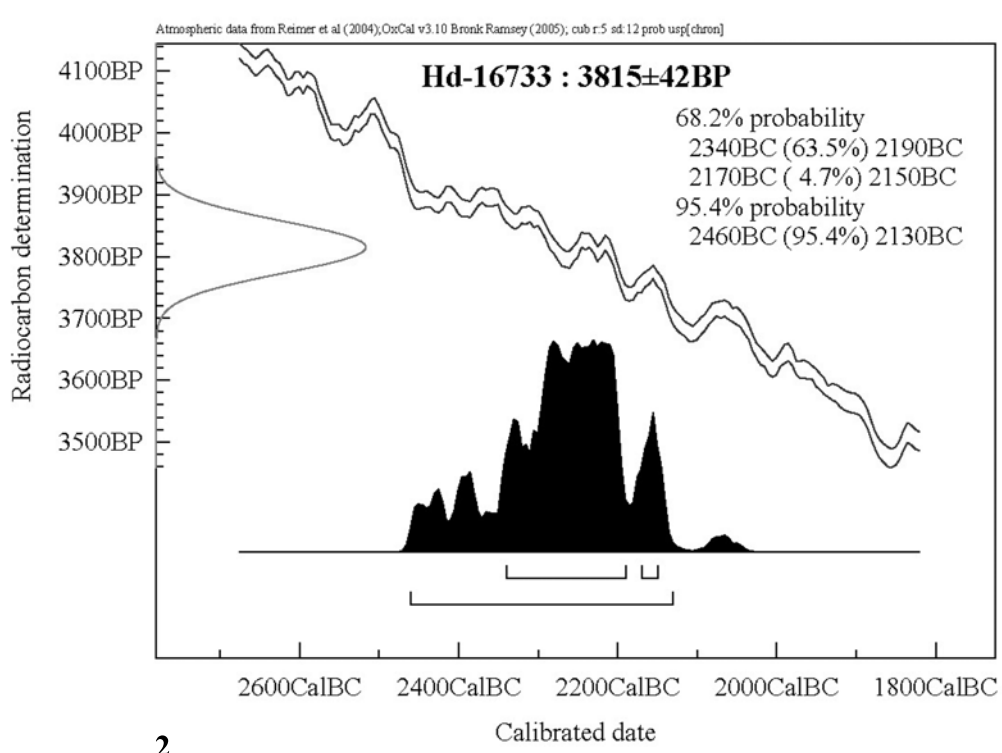
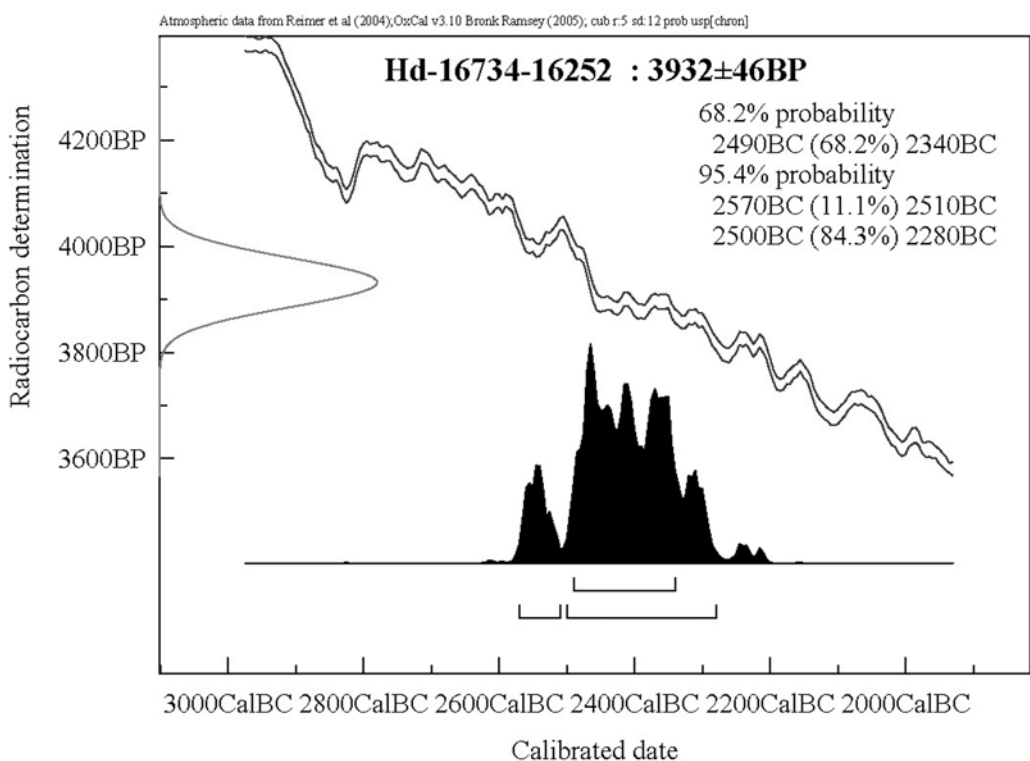
1

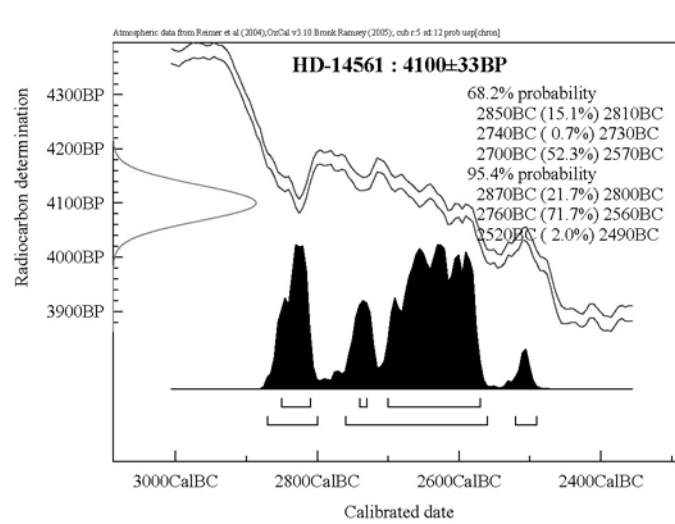
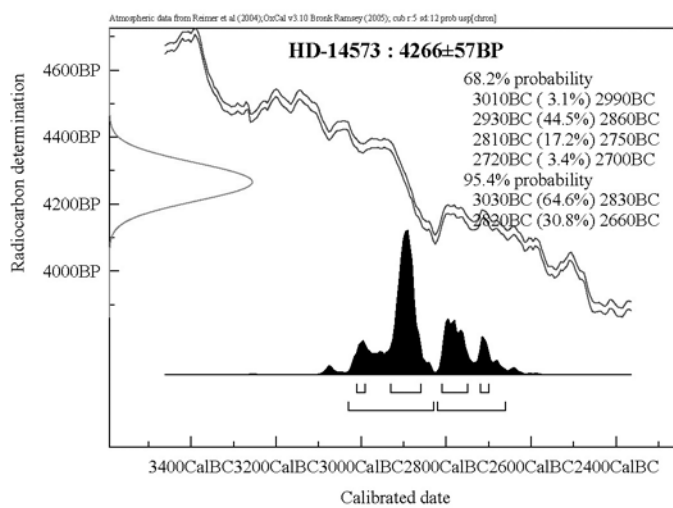


2

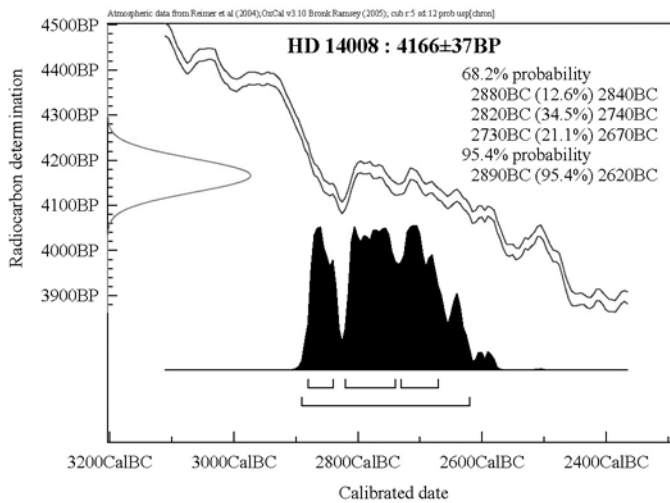


3

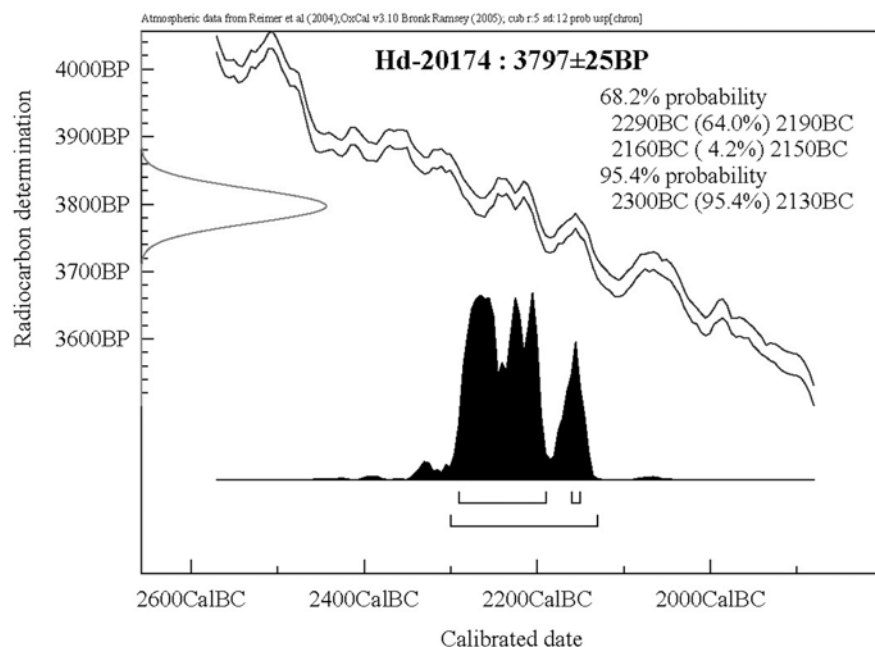




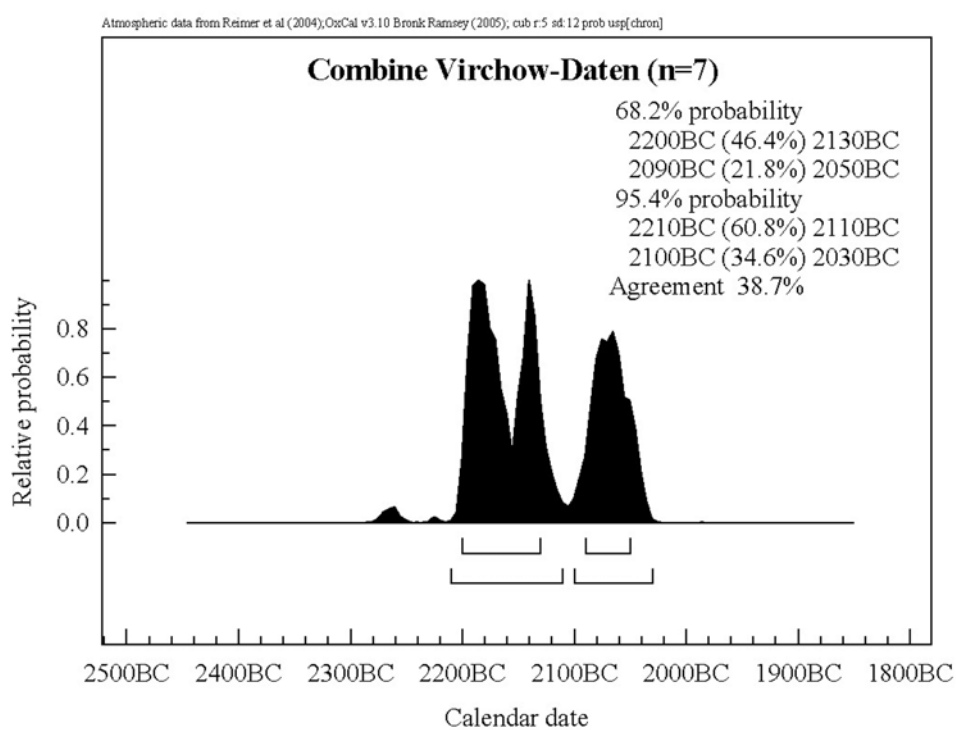
2



3

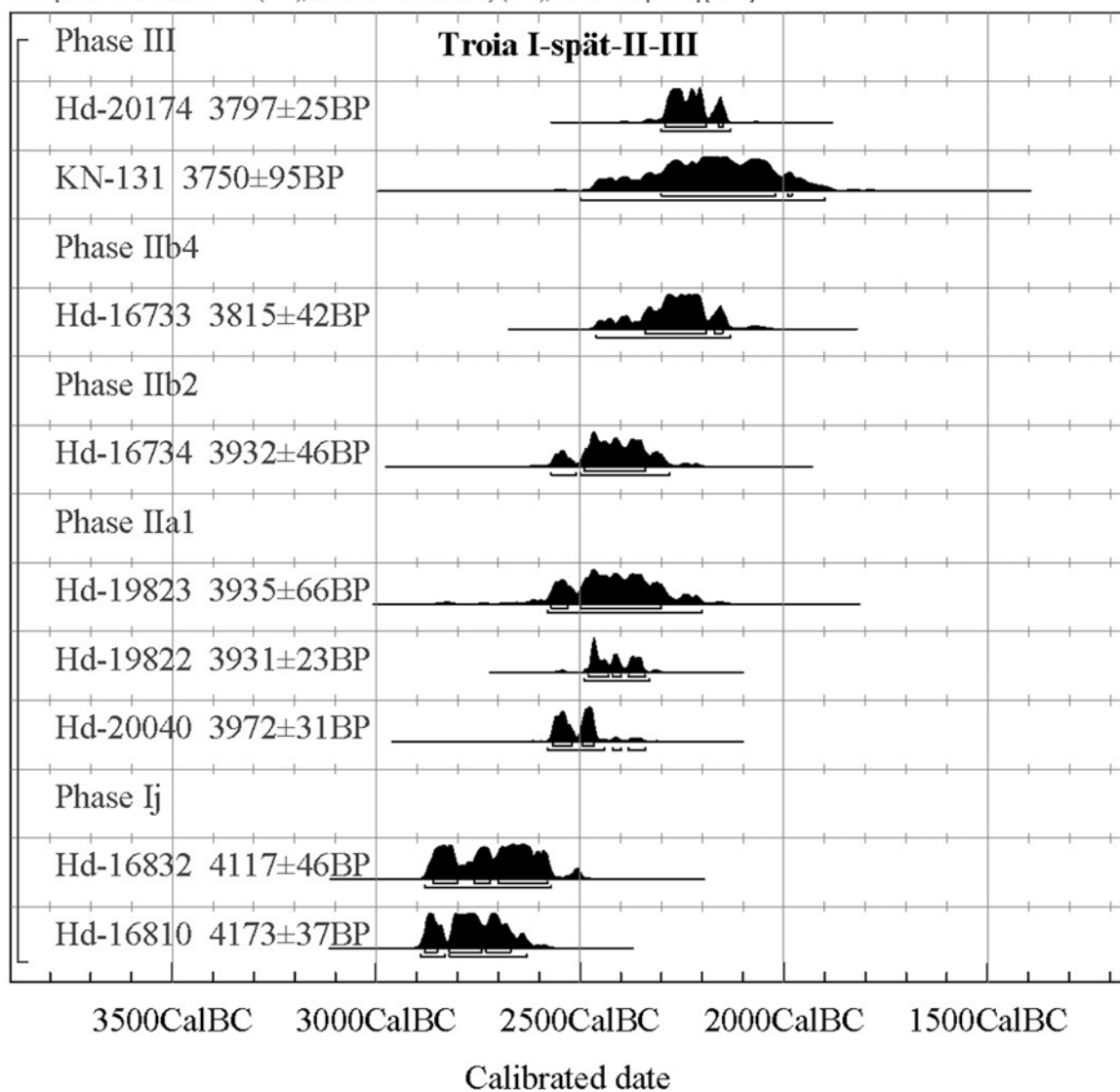


1



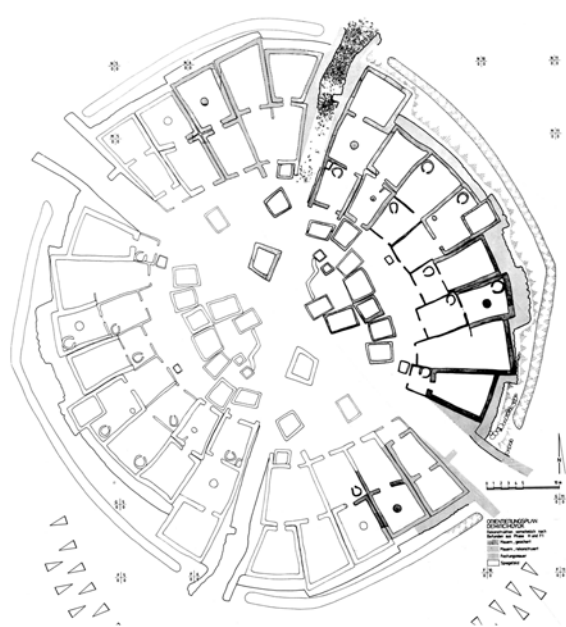
2

Atmospheric data from Reimer et al (2004); OxCal v3.10 Bronk Ramsey (2005); cub r:5 sd:12 prob usp[chron]

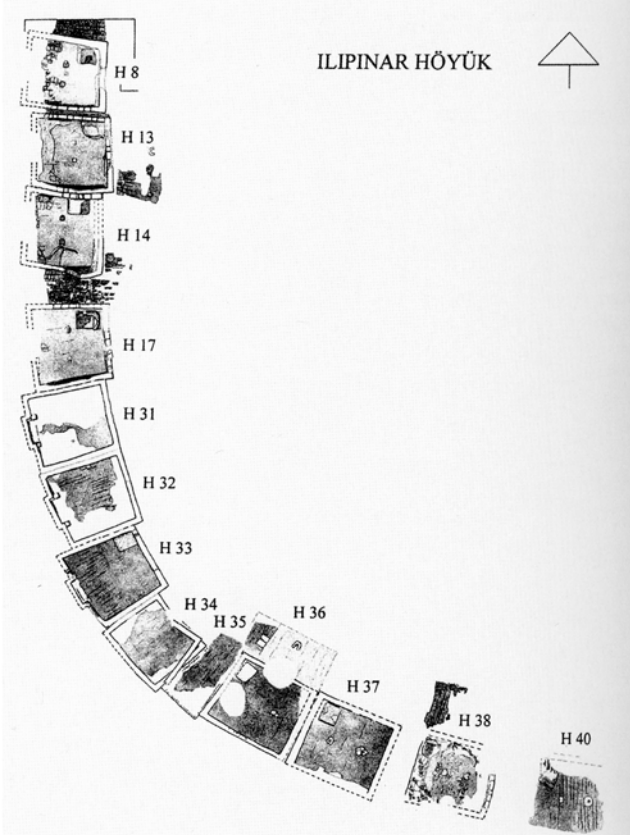




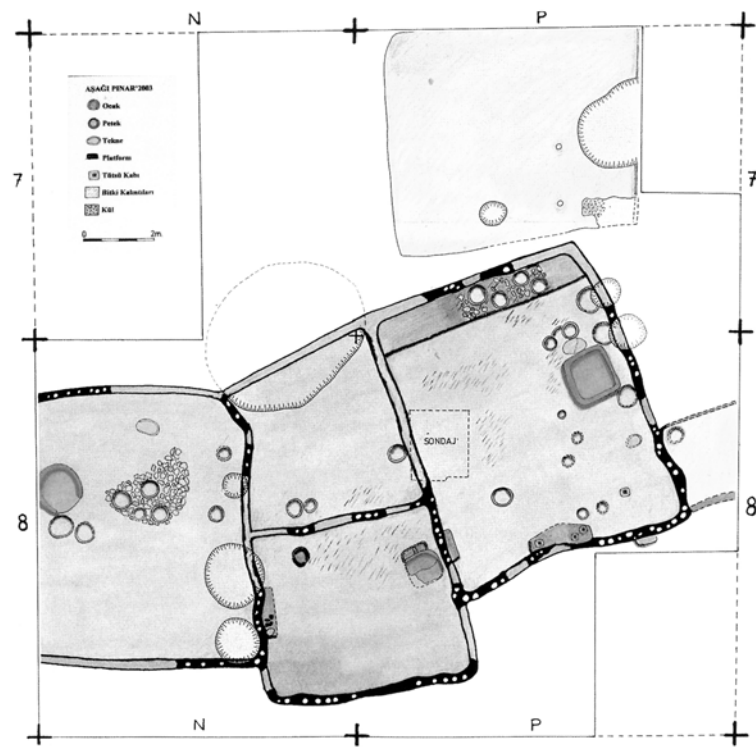
Im Text erwähnten Fundorte



1. Demircihüyük (Korfmann 1983: Abb. 343)



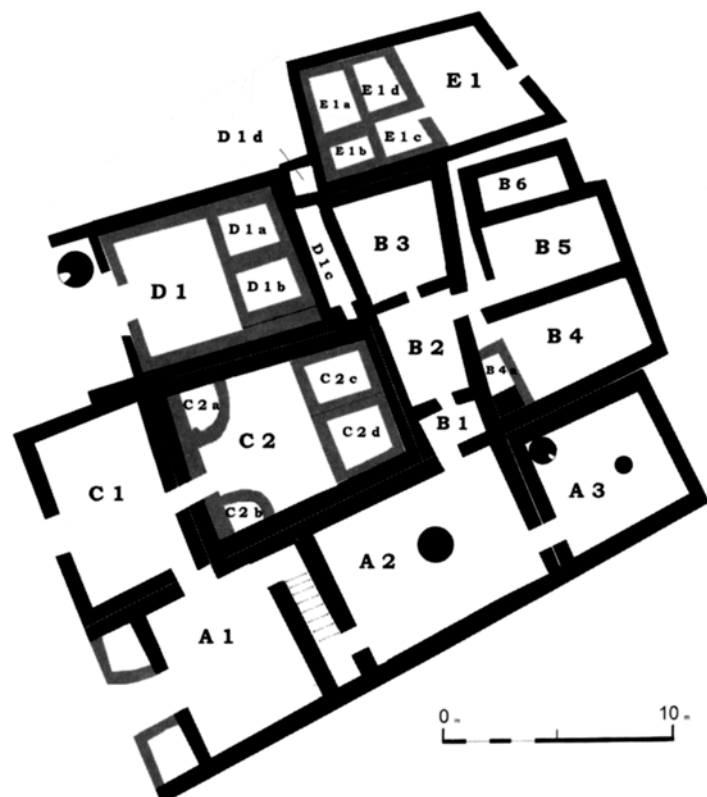
2. İlipinar VI (Roodenberg/Roodenberg 2007: Fig. 4)



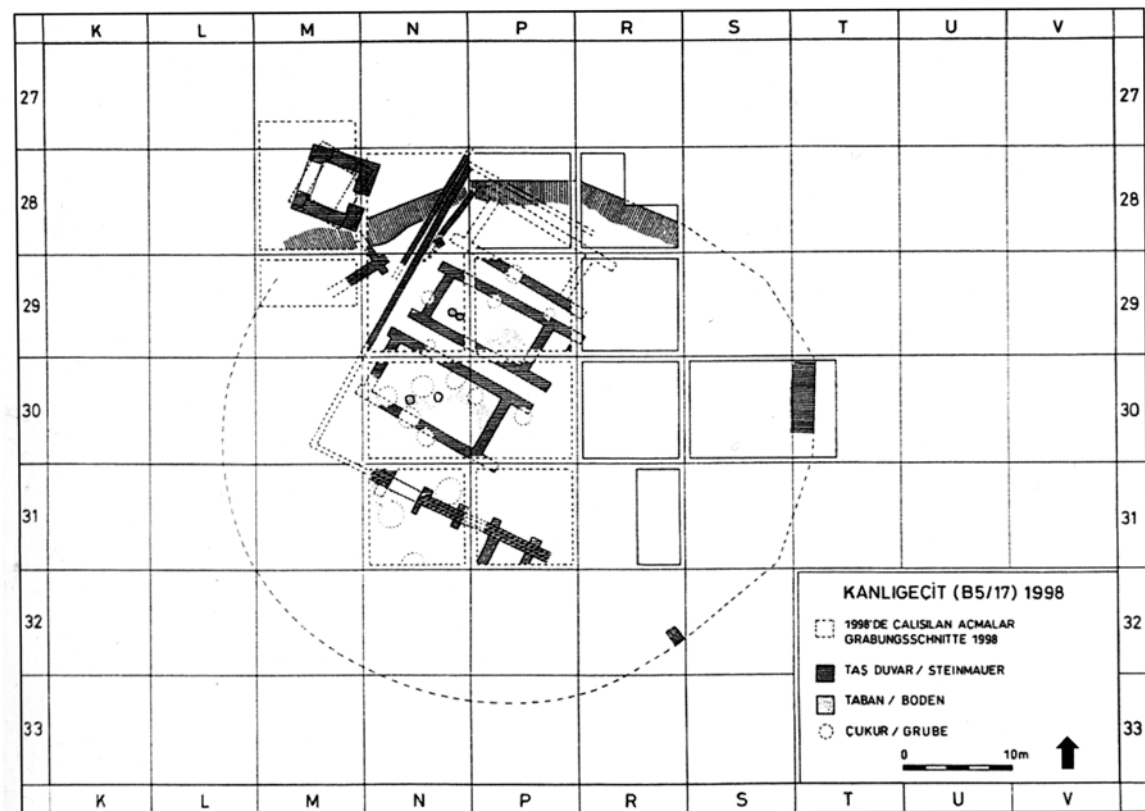
3. Aşağı Pınar 6 (Özdoğan 2007: Fig. 29)



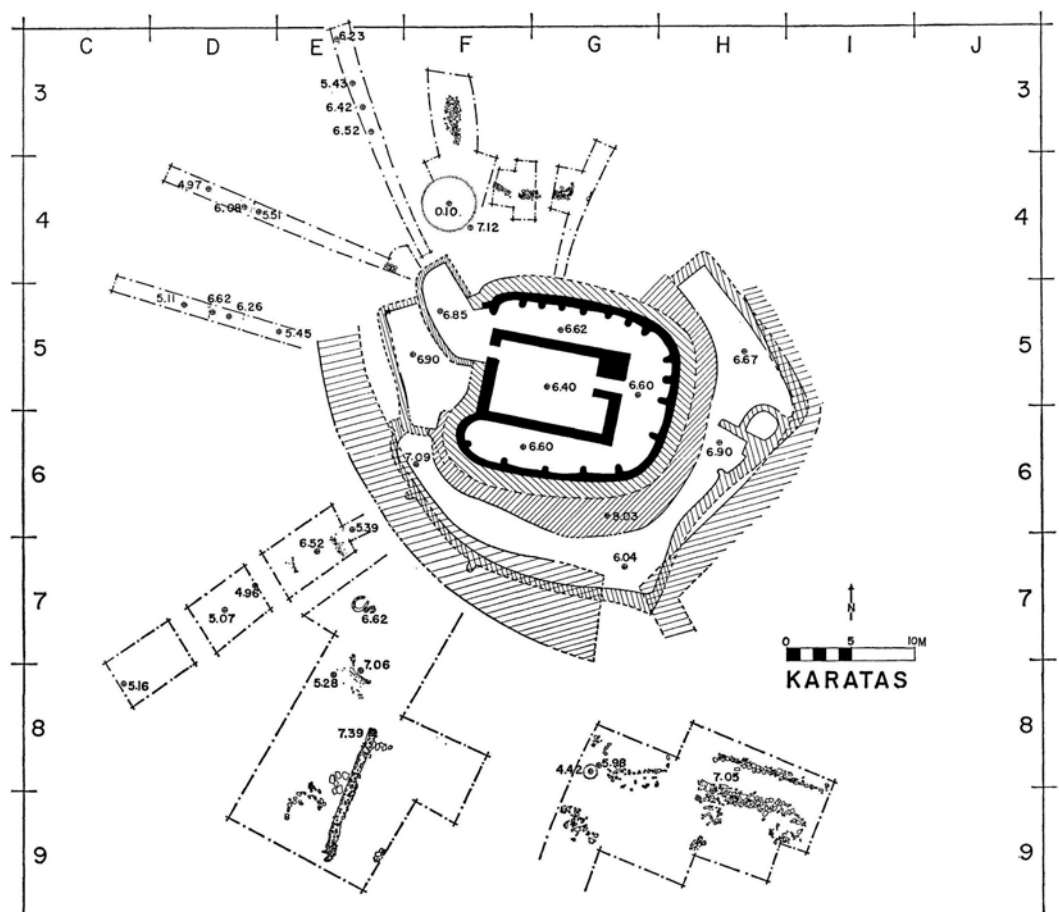
1. Külliöba, die FBII-zeitliche Besiedlung (Efe/Fidan 2008: Fig. 1)



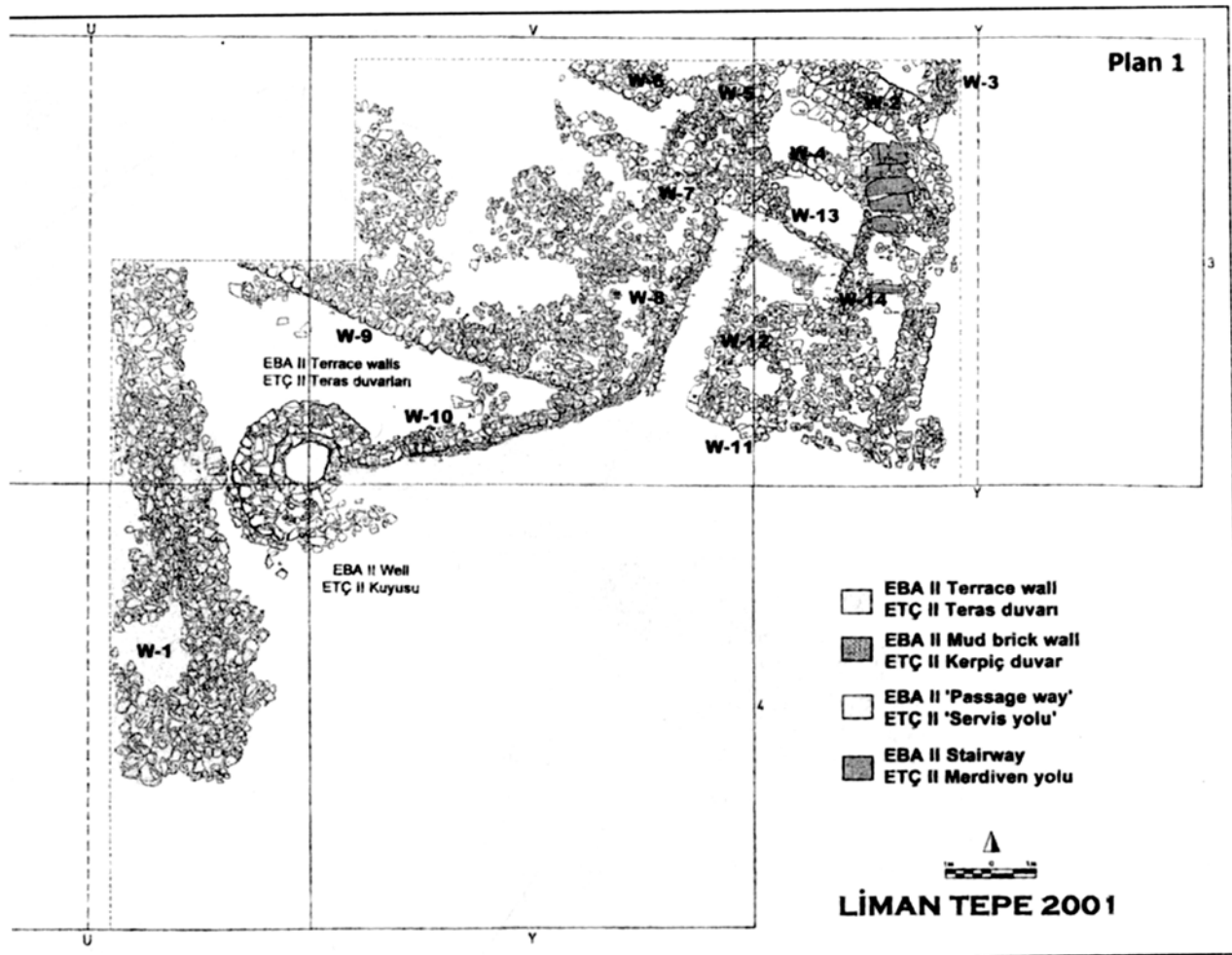
2. Baukomplex II in Külliöba während Phase IVC (Efe/Fidan 2008: Fig. 3)



1. Kanlıgeçit “Megaron Phase” (Karul 2002: Abb. 2)



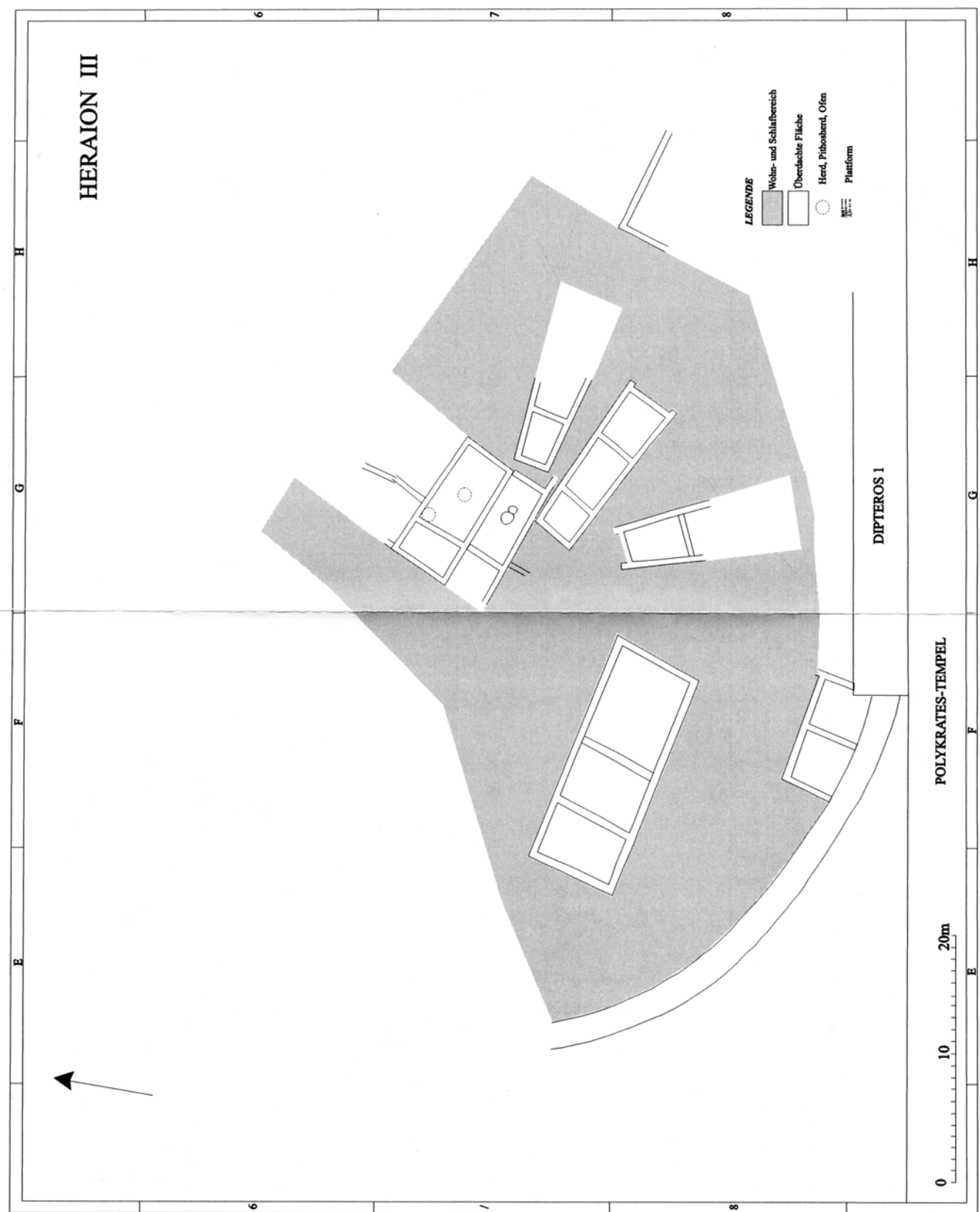
2. Karataş I-III, zentrale Komplex und Doppelpalisadenmauer
(Mellink 1965: Ill. 1)



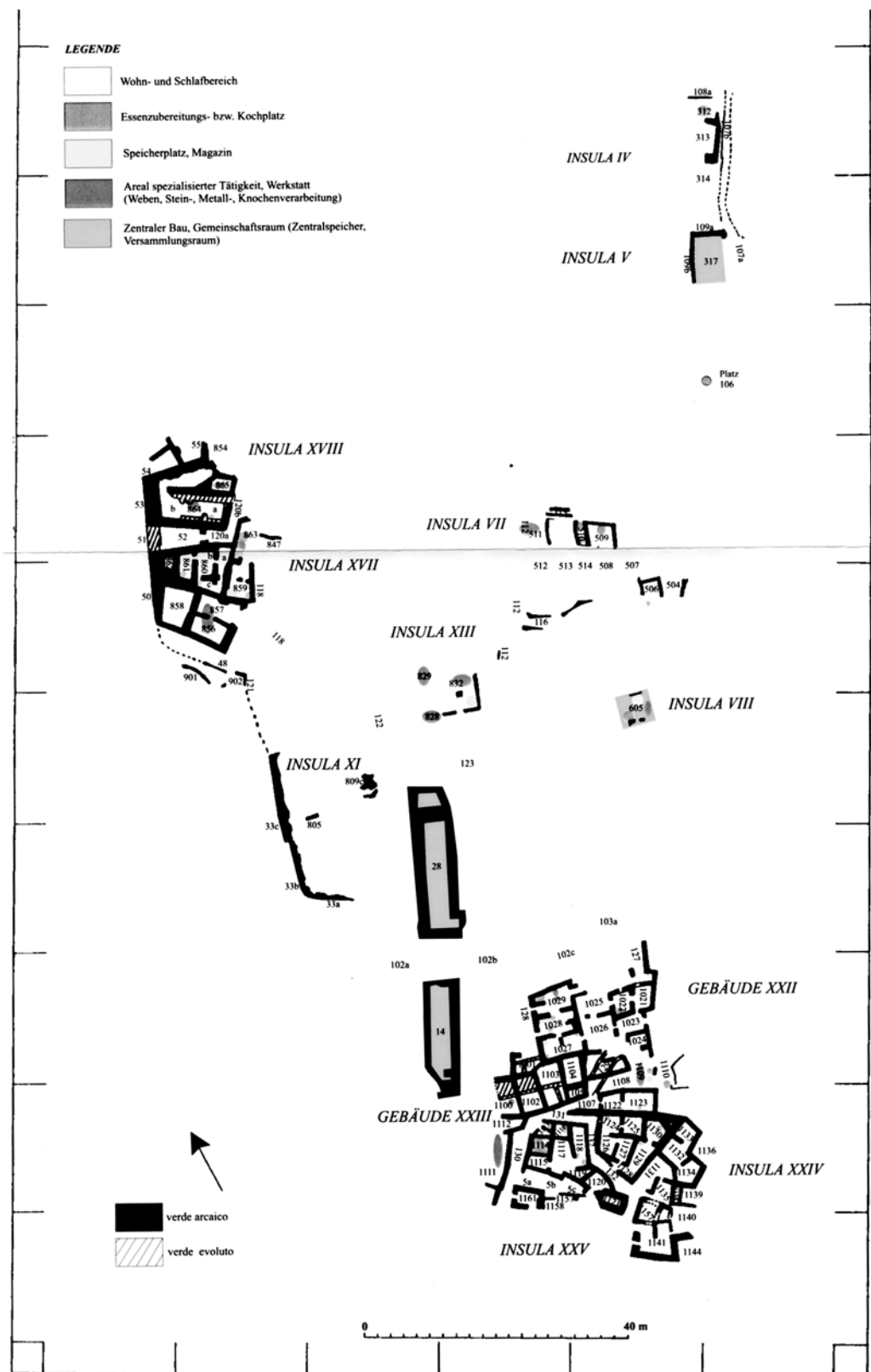
1. Liman Tepe, FBZ II-zeitliche Terrassierung (Erkanal et al. 2003: Plan 1)



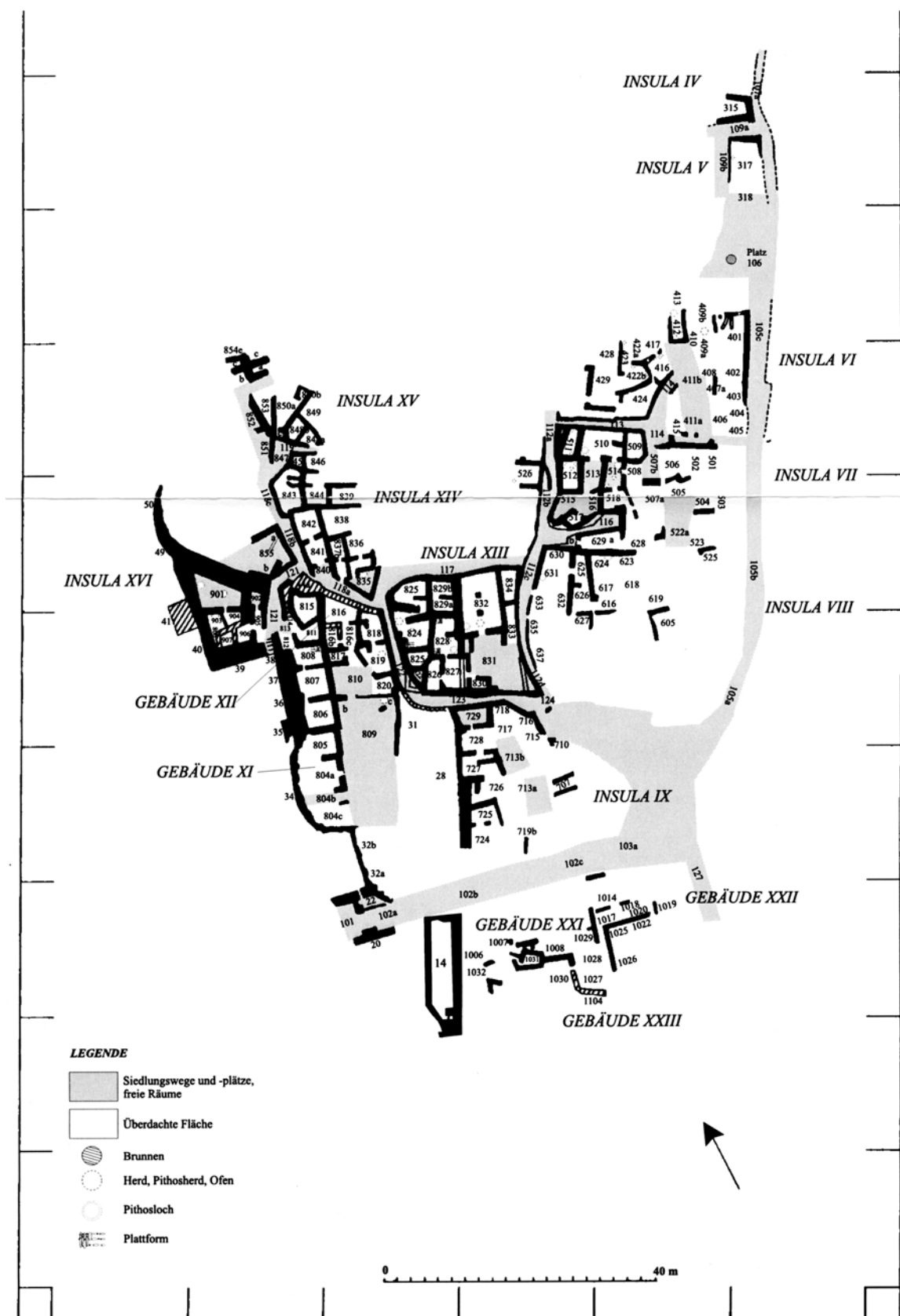
2. Korridorhaus in Liman Tepe (Erkanal et al. 2003: Resim 4)



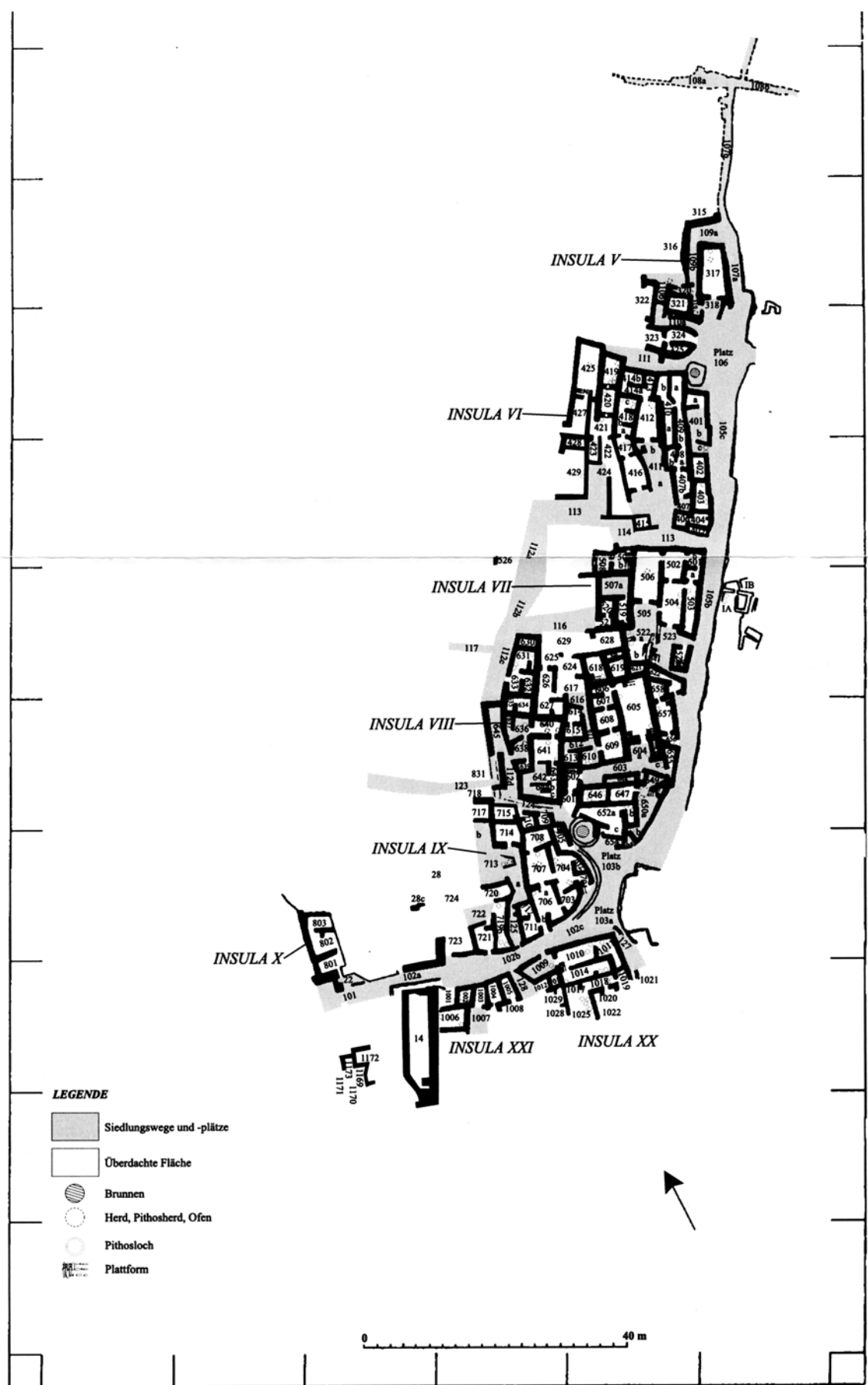
Siedlungsplan von Heraion III (Kouka 2002: Plan 50)



Poliochni Verde (Kouka 2002: Plan 6)



Poliochni Rosso (Kouka 2002: Plan 7)



Poliochni giallo (Kouka 2002: Plan 9)

Taf. 130

STRATIGRAPHISCHE ABFOLGE VON TROIA I-III					
Dörpfeld	Blegen	Korfmann	Neue Phasen	BC cal (1σ)	Keramik
III	IIg	IIh (Phase 44)	Troia III	2200-2050	Vollentwickeltes Troia II-Keramik-Inventar
	IIf				
	IIe				
	IId				
II.3	IIc	Iu (Phase 39)	IIc1	-	Frühestes Auftreten von scheibengedrehter Keramik
		It (Phase 38)	IIb4	2340-2150	
		Is (Phase 37)	IIb3	-	
		Ir (Phase 36)	IIb2	2490-2340	
		Iq (Phase 35)	IIb1	2620-2470	
II.2	IIb	Ip (Phase 34)	IIa2	-	
II.1	IIa	Io (Phase 33)	IIa1	2570-2340	Typische Troia I-Keramik
		In (Phase 32)	In	-	
		Im (Phase 31)	Im	-	
		II (Phase 30)	II	-	
	Ia-k	Ia-k	Ia-k	3000-2550	

E3 Profil bei x: 10750,00
y: 9285,50 - 9289,60

9290

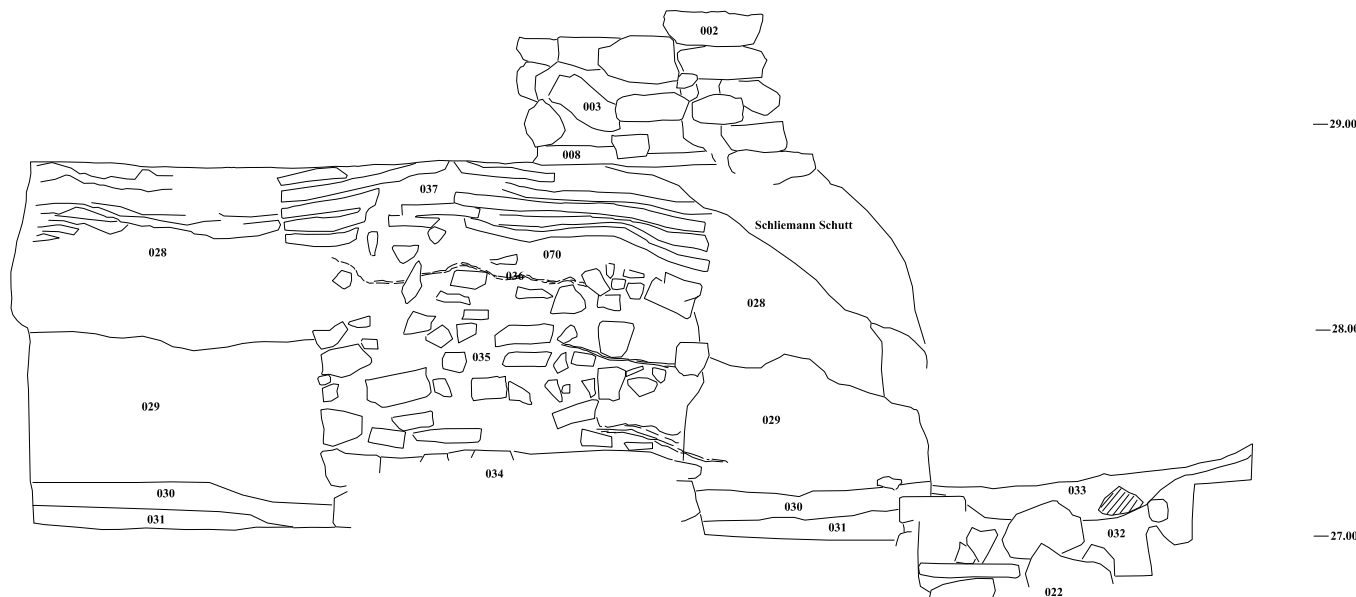
9289

9288

9287

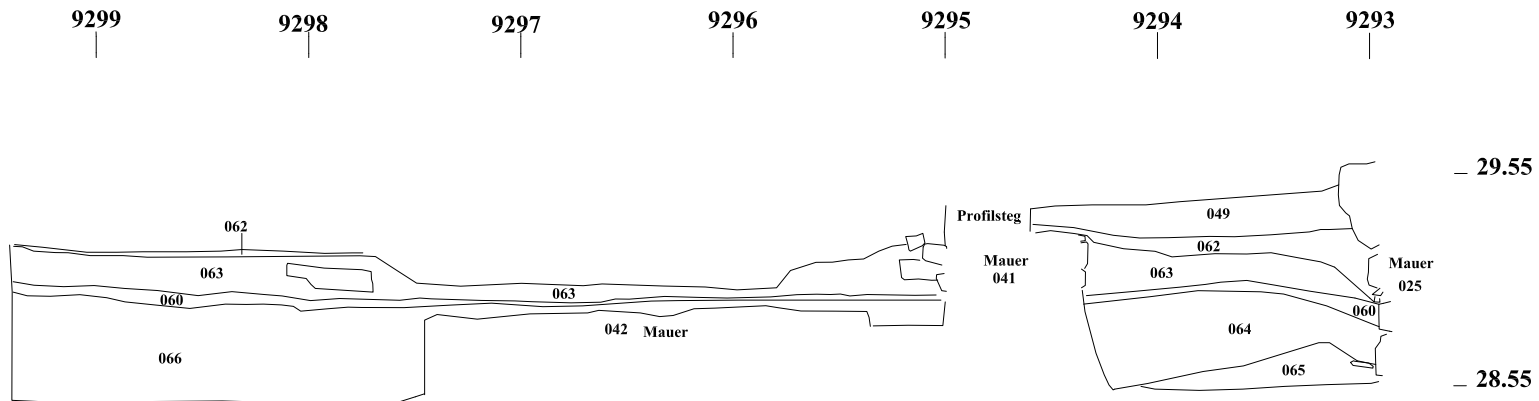
9286

9285



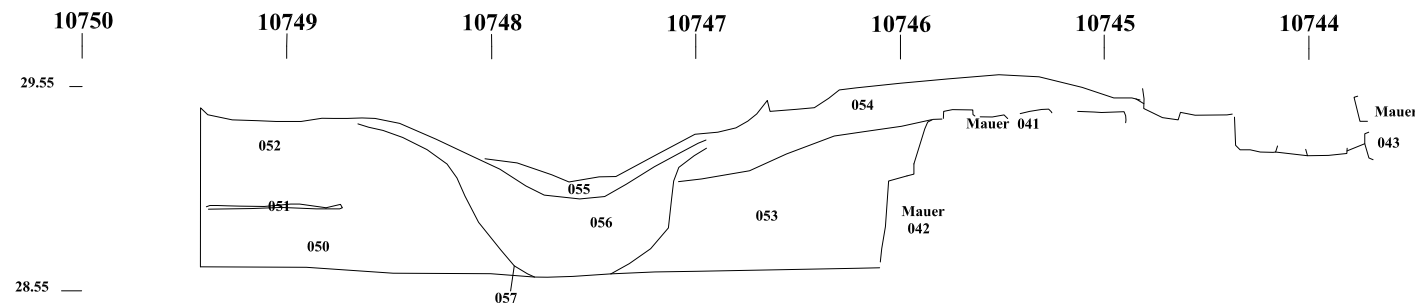
Profil Nr. 1

E3 Profil bei x: 10750,00
y: 9293,00 - 9299,40



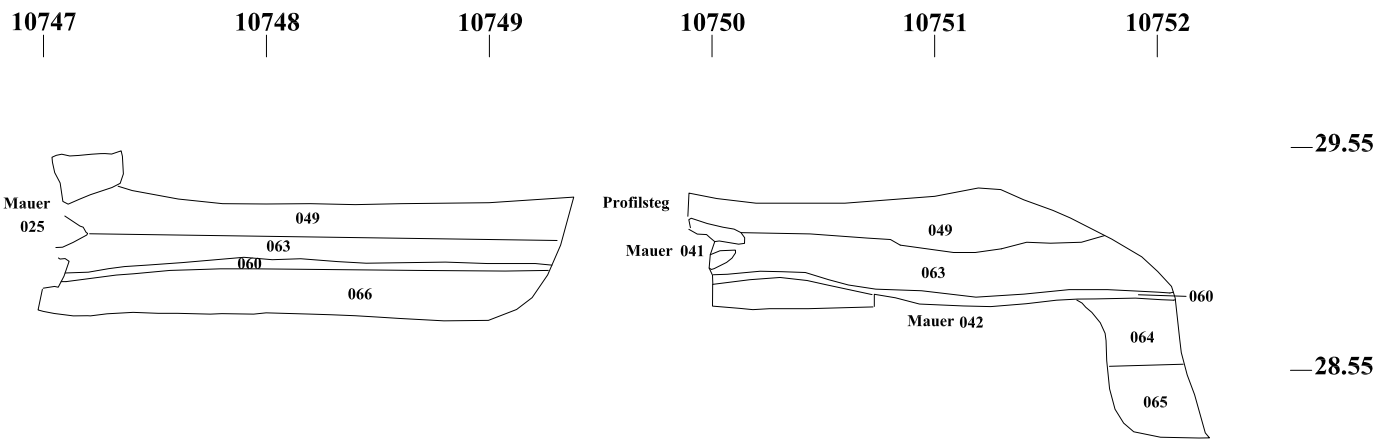
Profil Nr. 2

E3 Profil bei y: 9299,50
x: 10743,80 - 10749,50



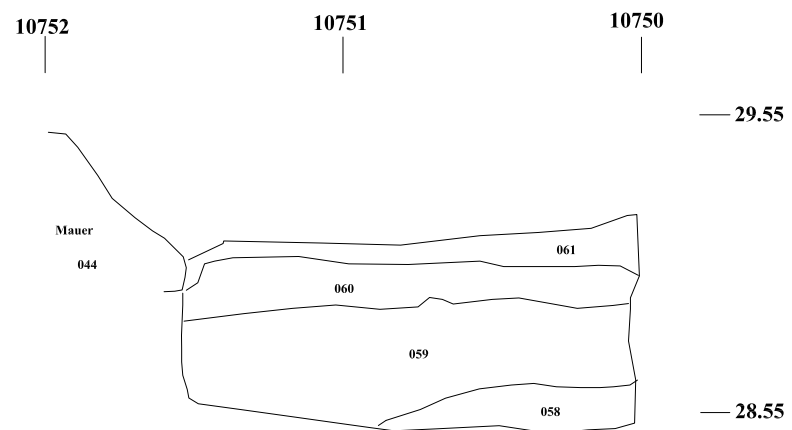
Profil Nr. 3

E3 Profil bei y: 9295,00
x: 10747,00 - 10752,22



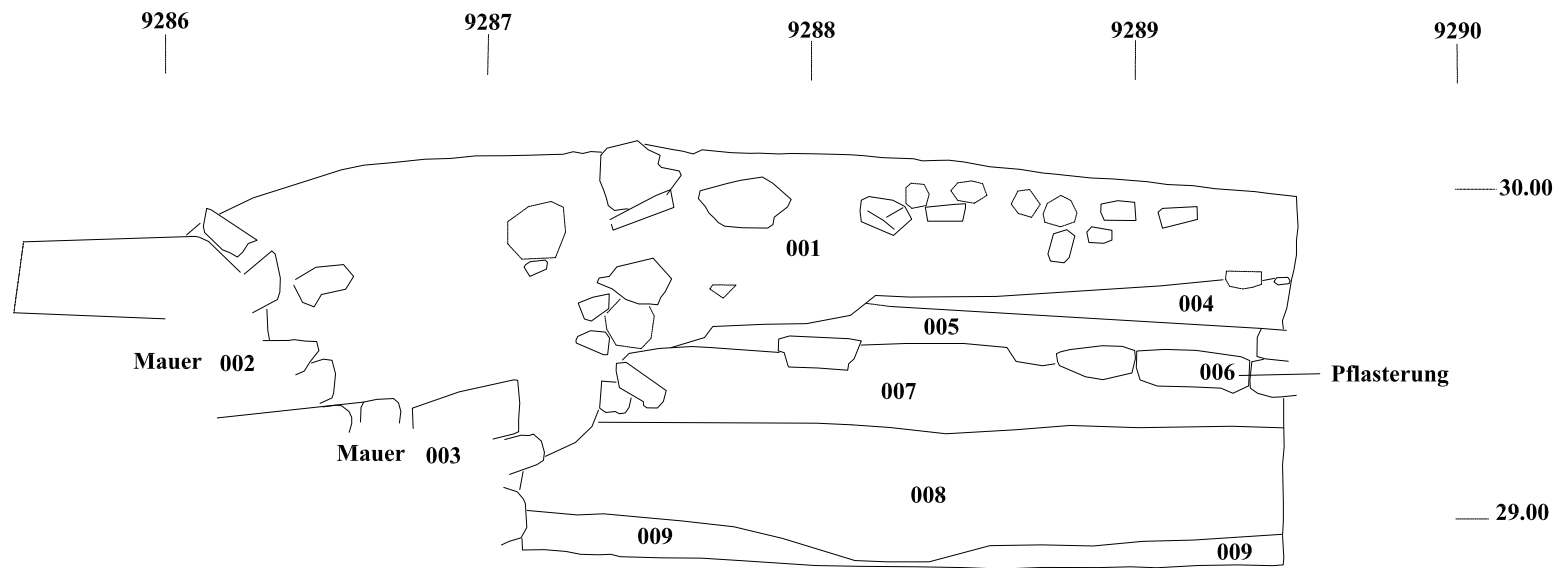
Profil Nr. 4

E3 Profil bei y: 9299,50
x: 10750,00 - 10751,50



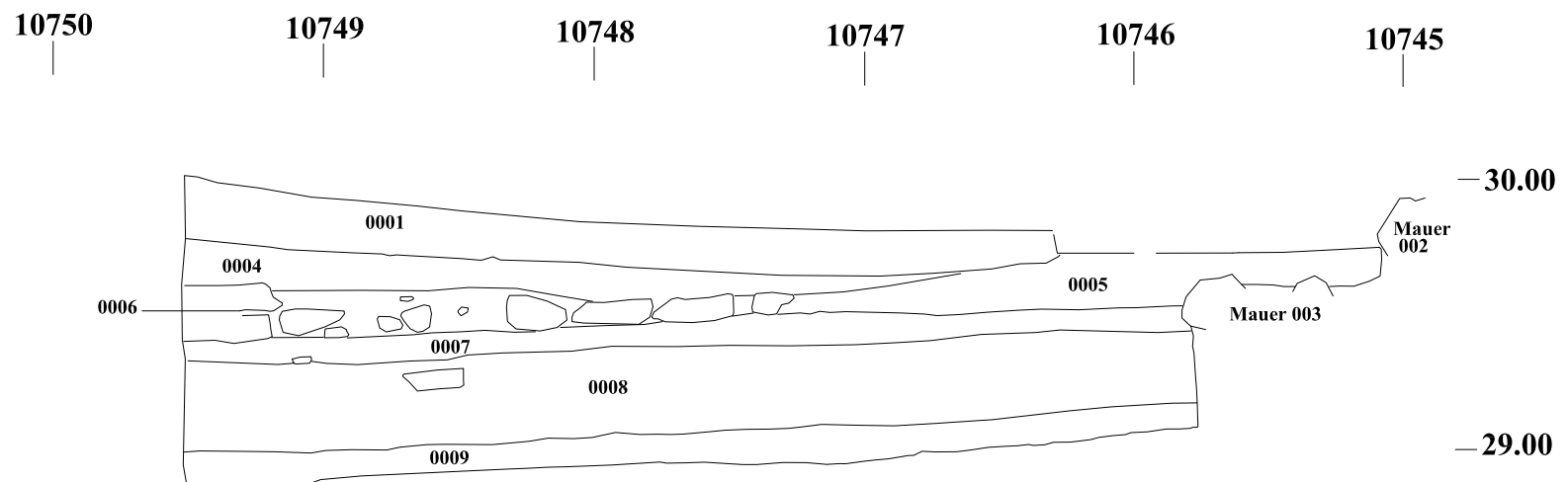
Profil Nr. 5

**E3 Profil bei x: 10749,50
y: 9285,80 - 9289,50**



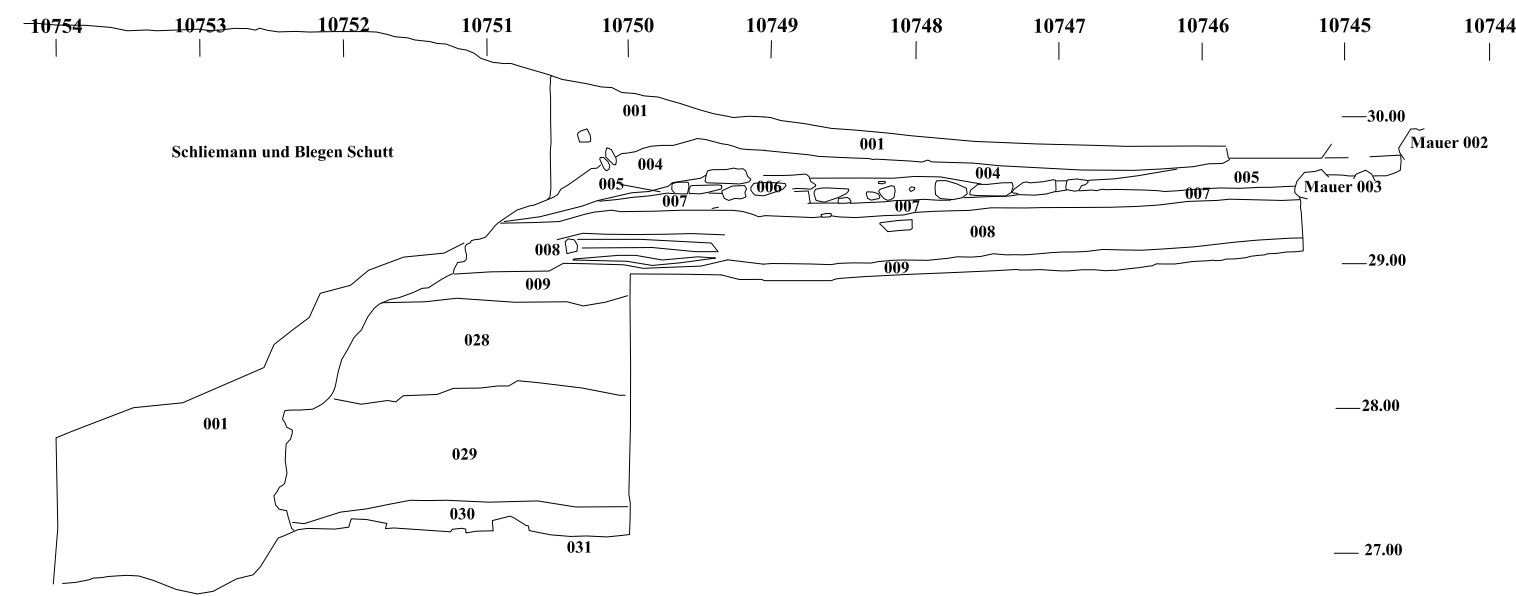
Profil Nr. 6

E3 Profil bei y:9289,50
x: 10744,80 - 10749,50



Profil Nr. 7

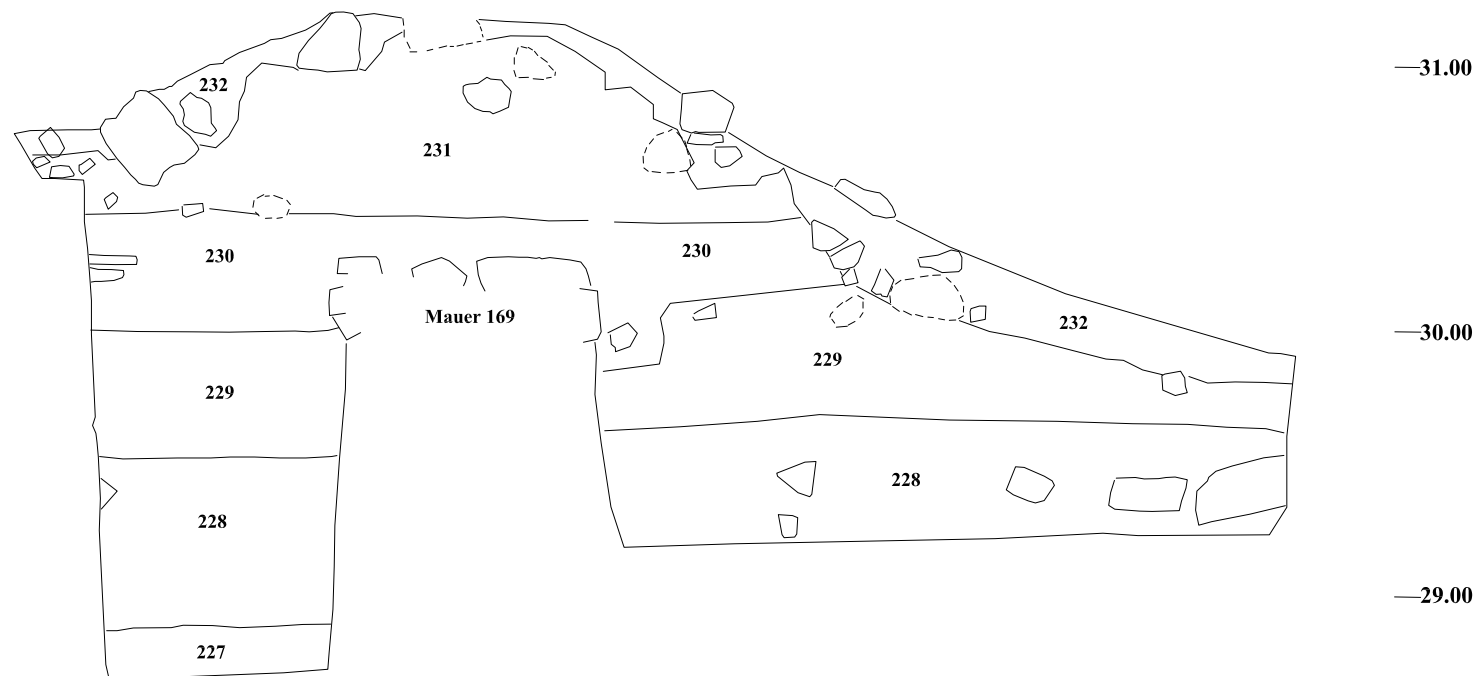
E3 Profil bei y: 9289,50
x: 10744,80 - 10754,00



Profil Nr. 8

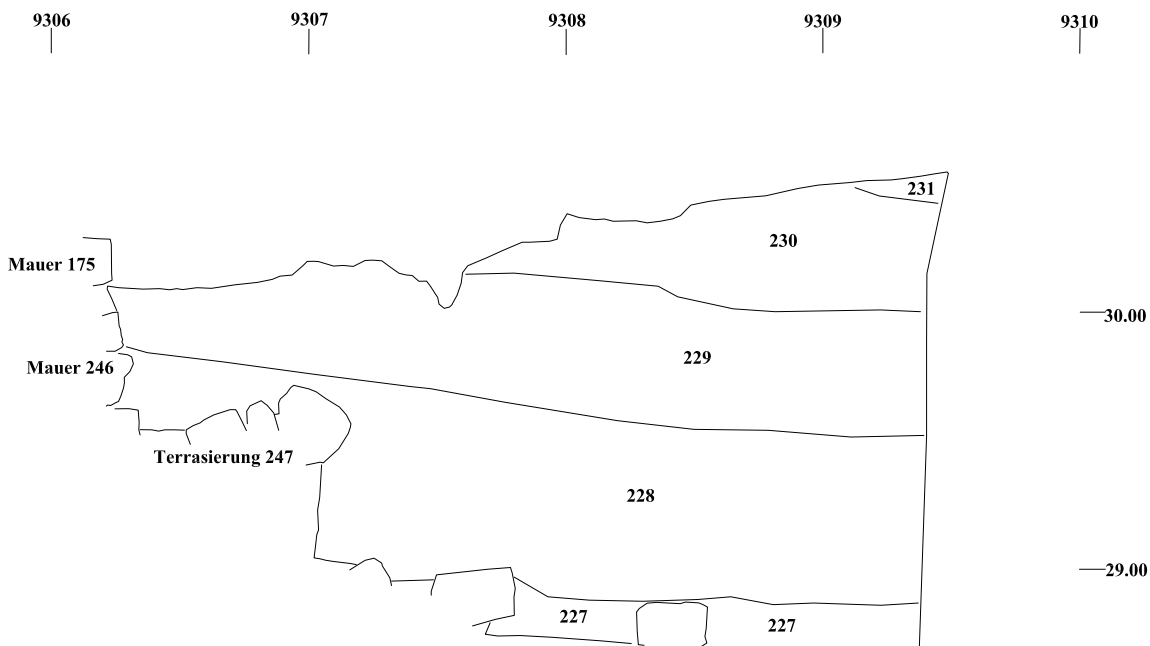
F4 Profil bei y: 9309,50
x: 10725,00 - 10729,80

10730 10729 10728 10727 10726 10725



Profil Nr. 9

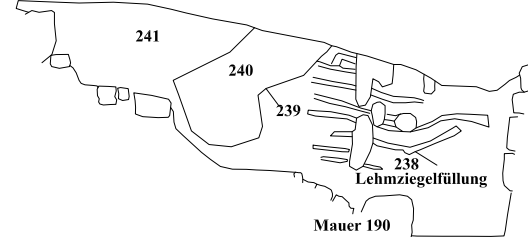
F4 Profil bei x: 10729,5
y: 9306,2 - 9309,5



Profil Nr. 10

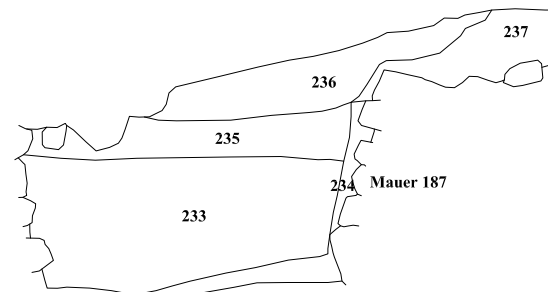
F4 Profil bei y: 9300,00
x: 10731,40 - 10733,60
(Ostprofil)

10731 10732 10733



F4 Profil bei y: 9300,00
x: 10731,00 - 10733,40
(Westprofil)

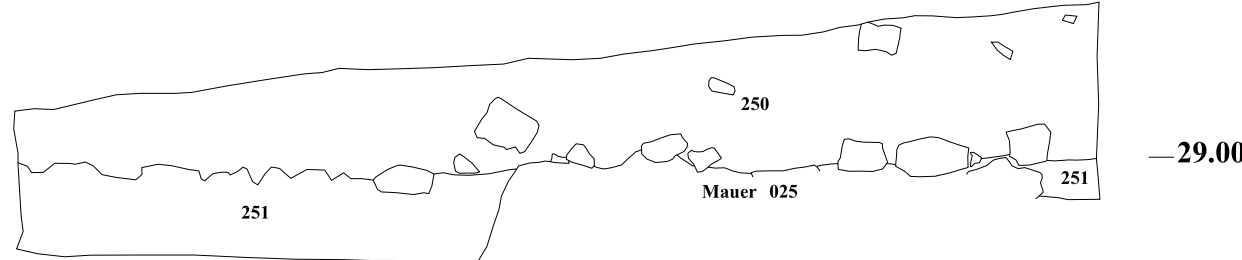
10733 10732 10731



Profil Nr. 11

F4 Profil bei y: 9300,75
X: 10735,10 - 10739,30

10735 10736 10737 10738 10739 10740

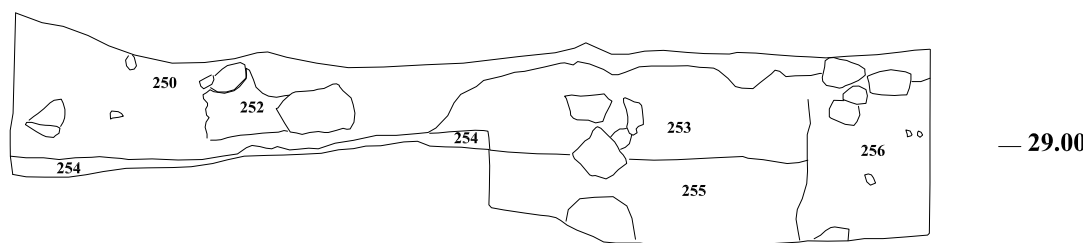


— 28.00

Profil Nr. 12

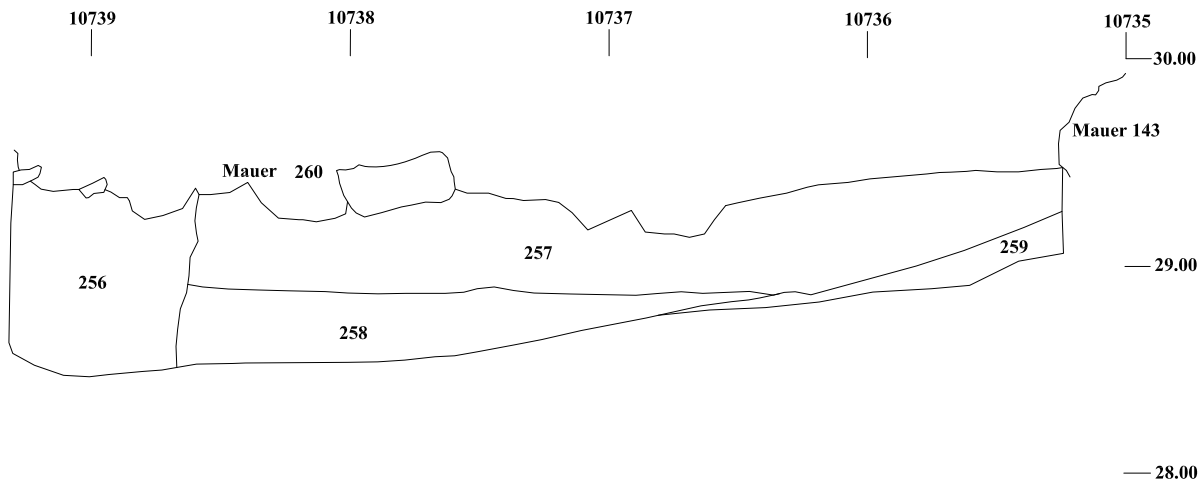
F4 Profil bei x: 10739,25
y: 9300,79 - 9304,90

9301 9302 9303 9304 9305



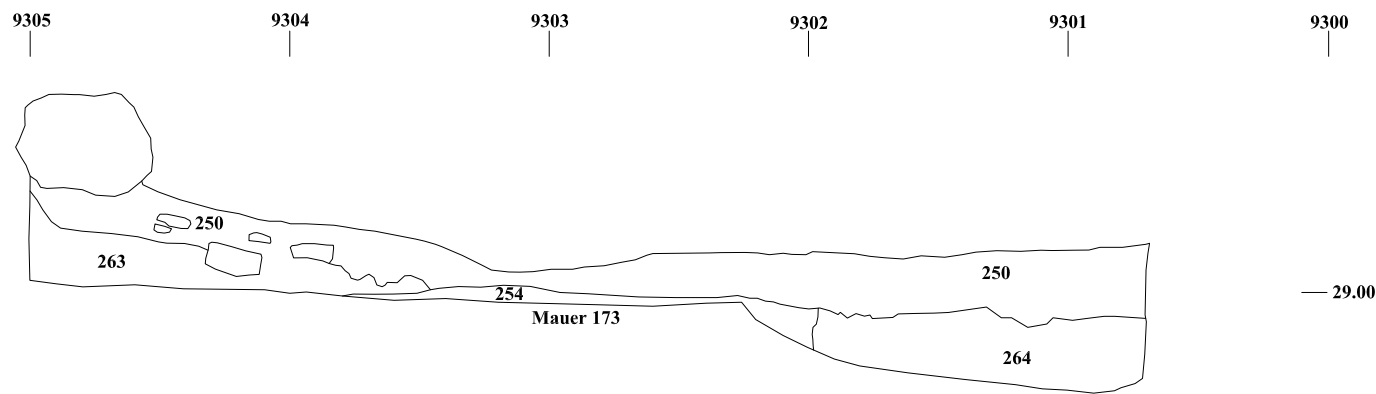
Profil Nr. 13

F4 Profil bei y: 9305.00
x: 10738,75 - 10735,00



Profil Nr. 14

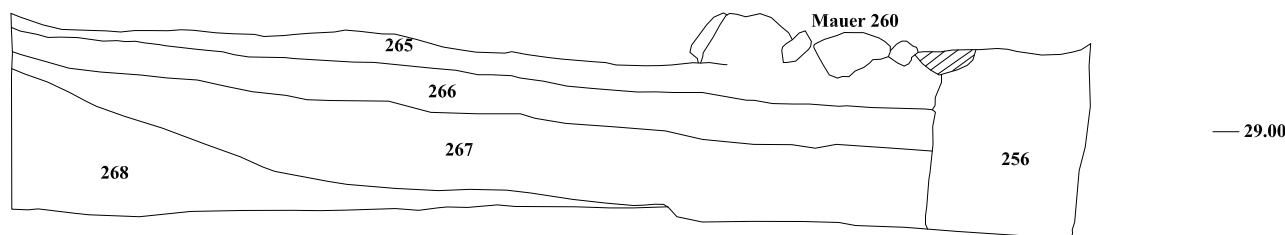
F4 Profil bei x: 10735
y: 9300,70 - 9305,00



Profil Nr. 15

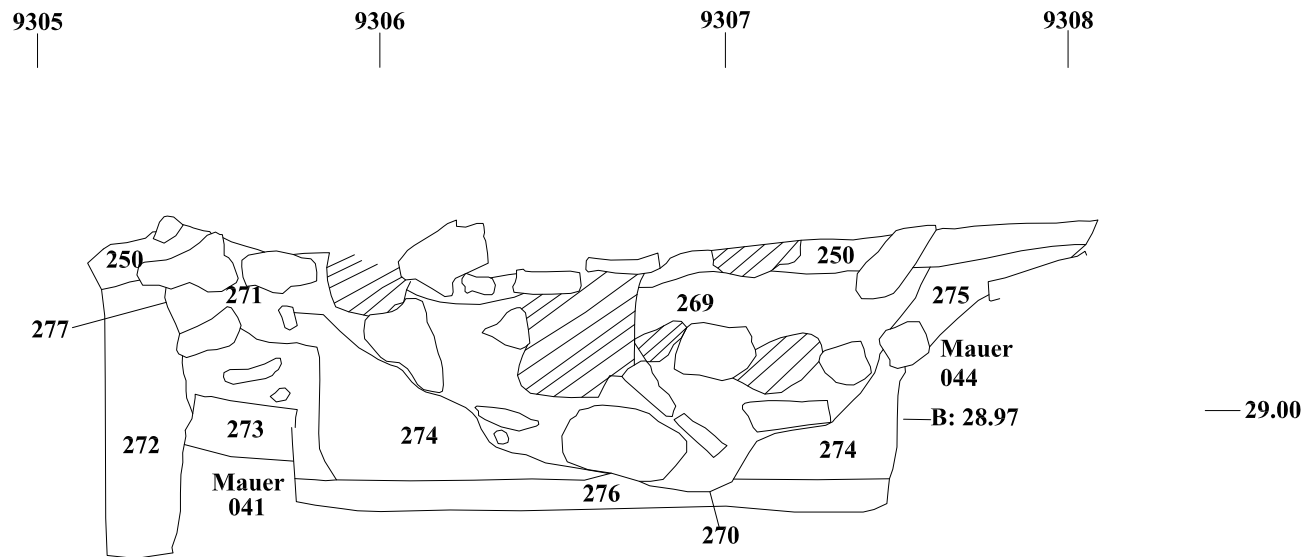
F4 Profil bei y: 9305,50
x: 10735, 10 - 10739, 30

10735 10736 10737 10738 10739 10740



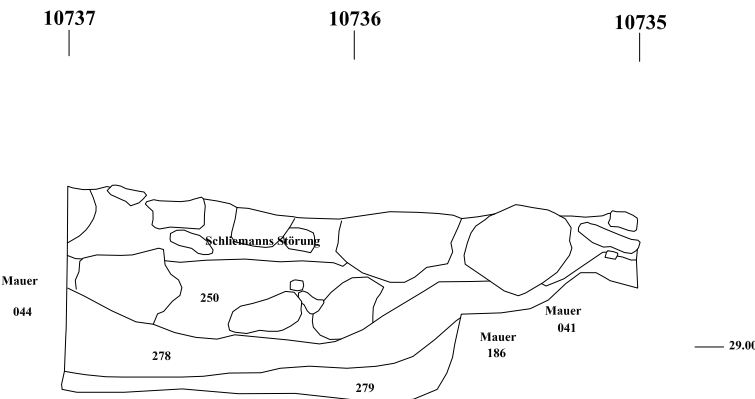
Profil Nr. 16

F4 Profil bei x: 10739,25
y: 9305,10 - 9308,10



Profil Nr. 17

F4 Profil bei y: 9309,50
x: 10737 - 10735



Profil Nr. 18

Profil bei x: 10735
y: 9310,50 - 9314,80

9310

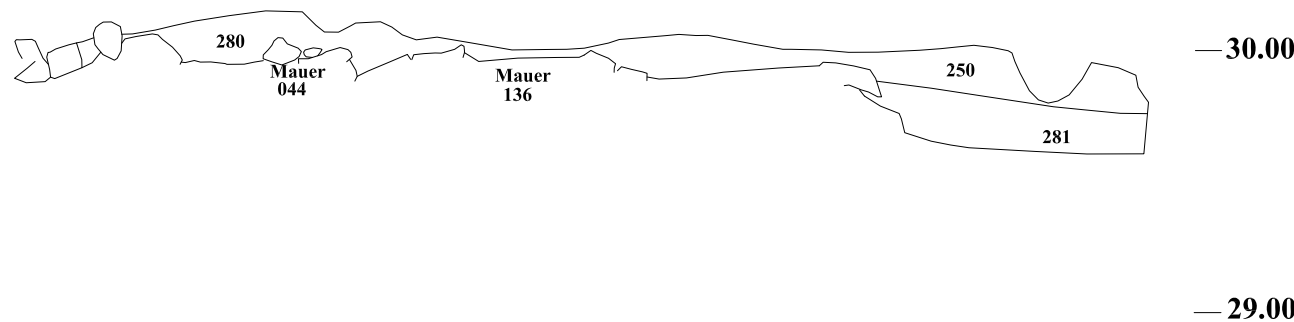
9311

9312

9313

9314

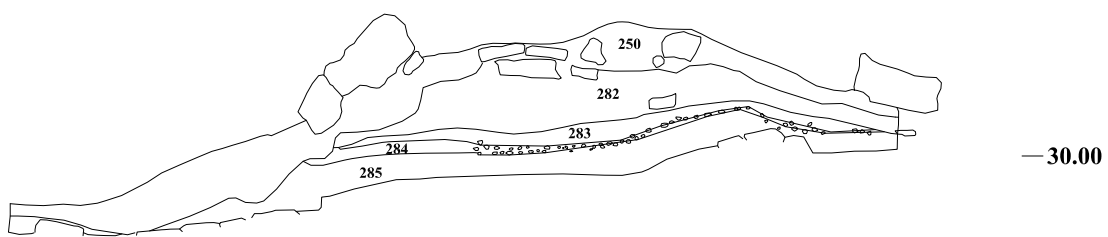
9315



Profil Nr. 19

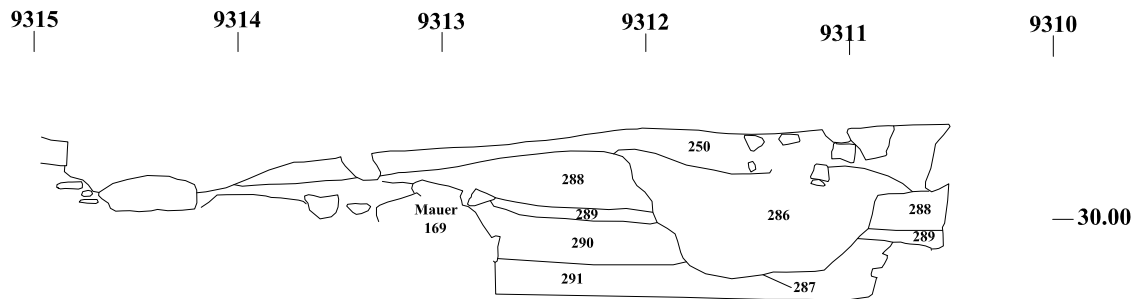
Profil bei y: 9315,00
x: 10730,40 - 10734,84

10735 10734 10733 10732 10731 10730



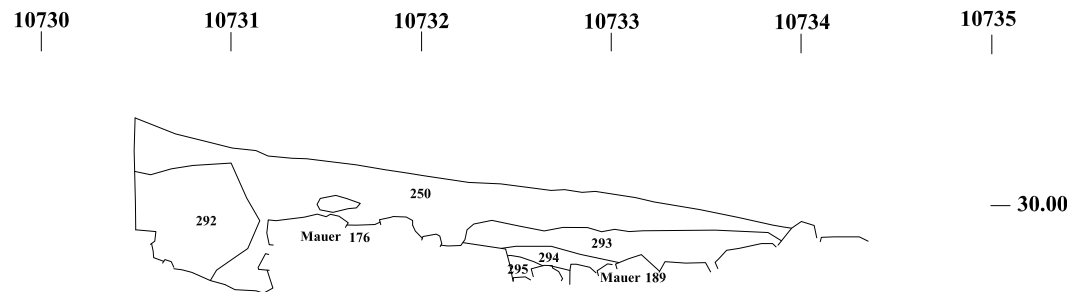
Profil Nr. 20

F4 Profil bei x:10730,50
y: 9310,50 - 9315,00



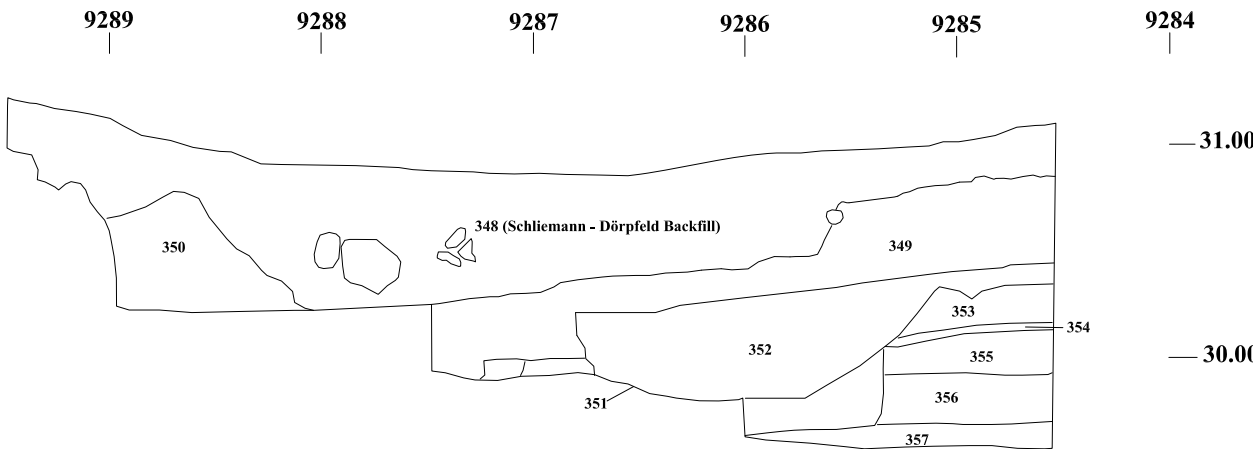
Profil Nr. 21

Profil bei y: 9310,50
x: 10730,50 - 10734,40



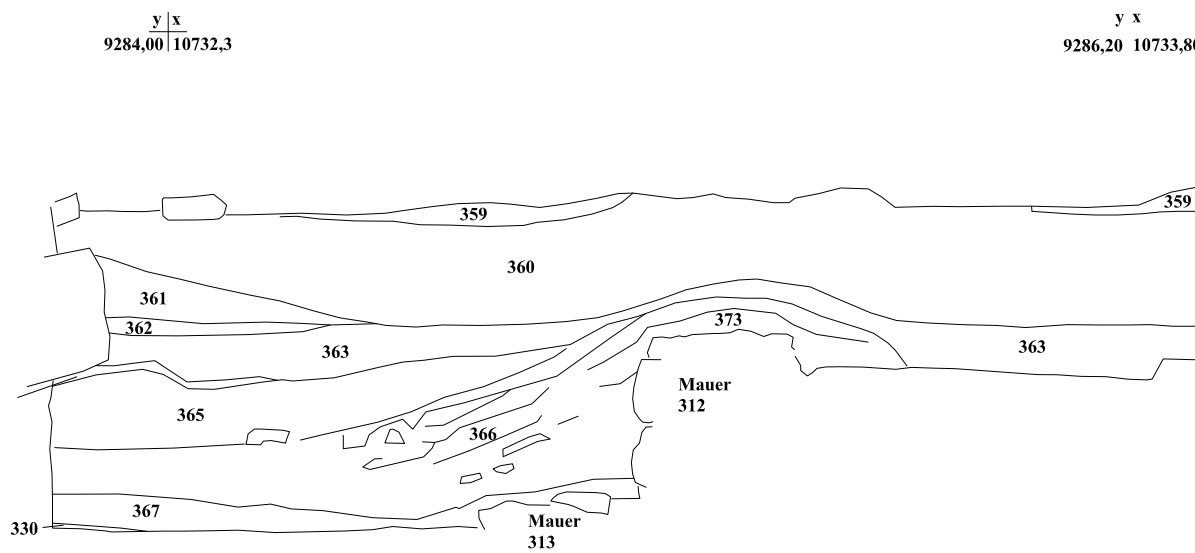
Profil Nr. 22

E4 Profil bei x: 10730,50
y: 9284,50 - 9289,5



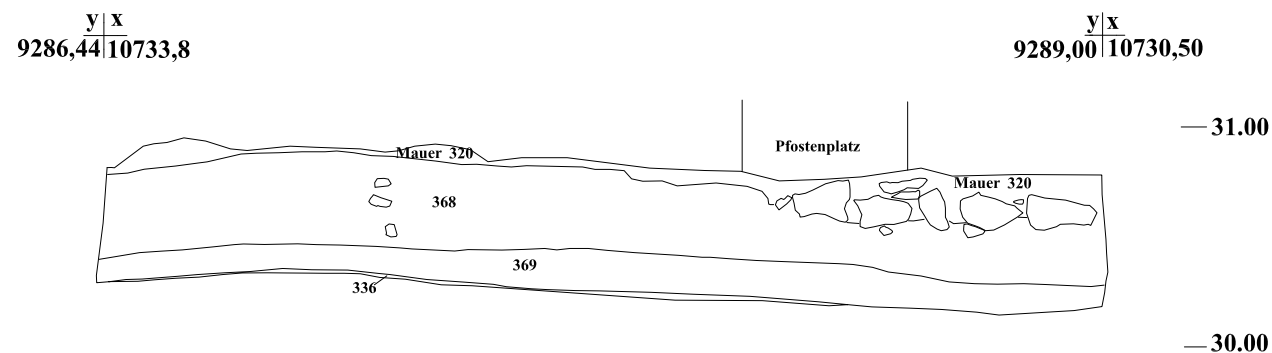
Profil Nr. 23

**E4 Profil bei y: 9283,10 - 9286,40
x: 10732,10 - 10733,90**



Profil Nr. 24

E4 Profil bei y: 9286,44 - 9289,00
x: 10730,50 - 10733,80



Profil Nr. 25

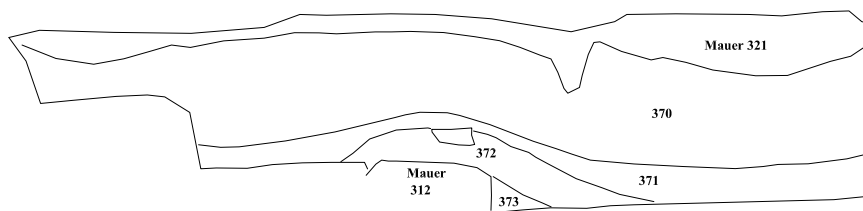
**E4 Profil bei y: 9284,00 - 9286,20
x: 10732,70 - 10734,24**

y | x
9284,20 | 10732,70

y | x
9286,20 | 10734,24

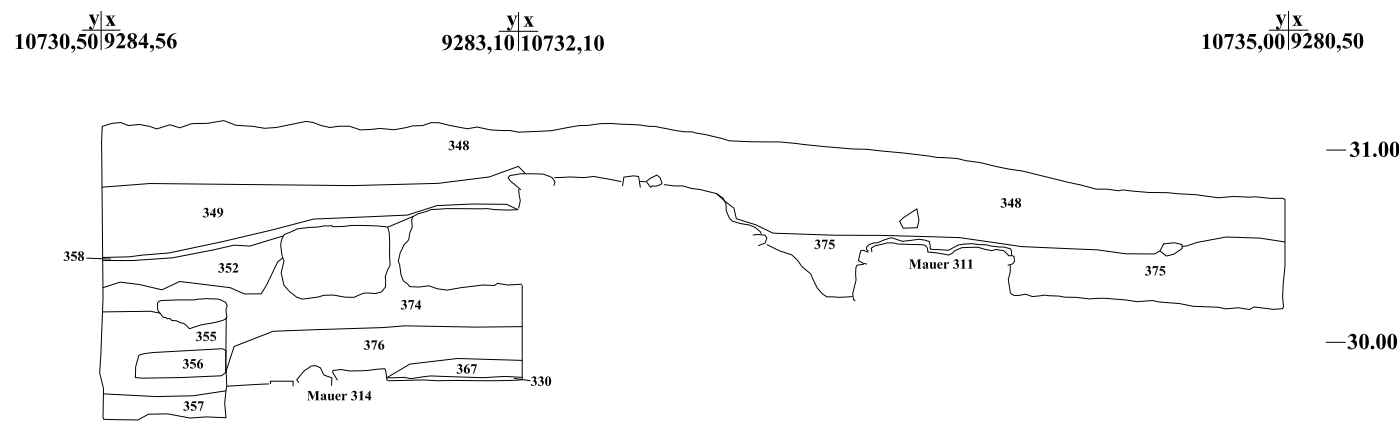
— 31.00

— 30.00



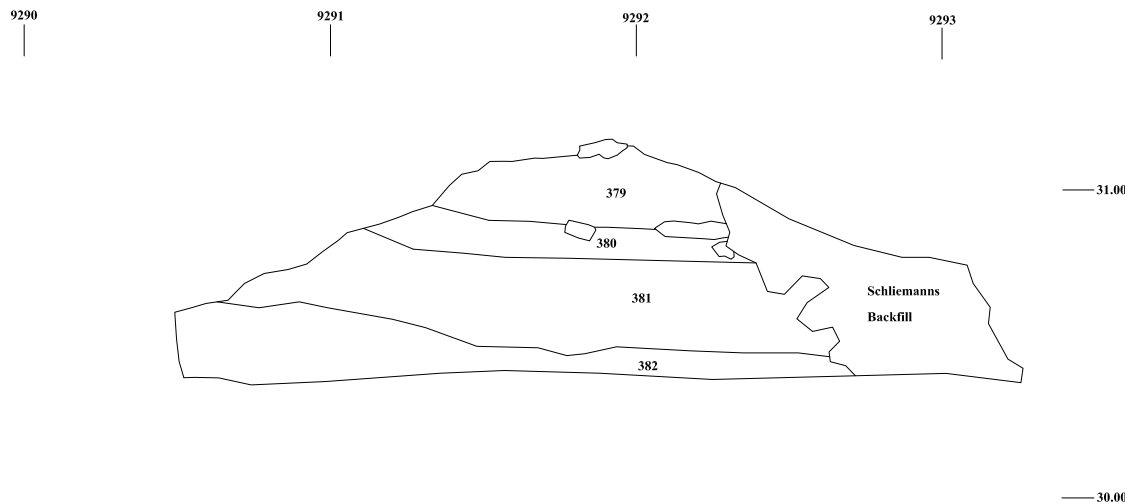
Profil Nr. 26

**E4 Profil bei x: 10730,50 - 10735,00
y: 9284,56 - 9280,50**



Profil Nr. 27

E4 Profil bei x: 10739,50
y: 9290,50 - 9293,20



Profil Nr. 28

Proben-Nr.	Schicht	Material	BP	STD	BC cal (1σ)	BC cal (2σ)	Kontext	Quelle
Bln-1132	III	Erbsen	3735	60	2270 (1.7%) 2250 2210 (66.5%) 2030	2310 (95.4%) 1950		Quitta 1978: 28 Quitta 1981: 26 Korfmann/Kromer 1993: 161
Bln-1129 (2. Messung von Bln-1132)	III	Erbsen	3800	60	2350 (68.2%) 2130	2460 (88.7%) 2120 2100 (6.7%) 2040		Quitta 1978: 28 Quitta 1981: 26 Korfmann/Kromer 1993: 161
Bln-1236	III	Früchte u. Fruchtschalen von <i>Pisum sativum</i> , <i>Triticum monococcum</i> , Holz von Abies (Tanne)	3700	100	2280 (3.2%) 2250 2210 (65.0%) 1940	2500 (95.4%) 1750		Quitta 1978: 28 Quitta 1981: 26 Korfmann/Kromer 1993: 161
Bln-1310 (2. Messung von Bln-1236)	III	Früchte u. Fruchtschalen	3760	60	2290 (54.3%) 2120 2090 (13.9%) 2040	2440 (2.5%) 2370 2350 (91.6%) 2010 2000 (1.3%) 1970		Quitta 1978: 28 Quitta 1981: 26 Korfmann/Kromer 1993: 161
Bln-1106	III	Wohl Samen	3900	90	2490 (60.2%) 2270 2260 (8.0%) 2200	2650 (95.4%) 2050		Quitta 1978: 28 Quitta 1981: 26 Korfmann/Kromer 1993: 161
Bln-1238	III	<i>Ervum Ervilia</i> , Weizen (<i>Triticum monococcum</i>), Holz von Abies (Tanne)	3710	80	2270 (2.1%) 2250 2210 (66.1%) 1970	2400 (95.4%) 1850		Quitta 1978: 28 Quitta 1981: 26 Korfmann/Kromer 1993: 161
Bln-1237	III	Erbse (<i>Pisum sativum</i>), <i>Ervum ervilia</i>	3730	100	2290 (65.1%) 2010 2000 (3.1%) 1970	2500 (95.4%) 1850		Quitta 1978: 28 Quitta 1981: 26 Korfmann/Kromer 1993: 161
Bln-1239	III	Holz von Abies (Tanne)	3845	70	2460 (20.7%) 2360 2350 (47.5%) 2200	2480 (93.2%) 2120 2090 (2.2%) 2040	„Gebäude am Skäischen Tor“	Quitta 1978: 28 Quitta 1981: 26 Korfmann/Kromer 1993: 161

Bln-1234	III	Erbse (<i>Pisum sativum</i>)	3635	60	2130 (13.9%) 2080 2050 (54.3%) 1910	2200 (95.4%) 1870		Quitta 1978: 28 Quitta 1981: 26 Korfmann/Kromer 1993: 161
Bln-1235	III	<i>Pisum sativum, Vicia faba, Ervum ervilia, Triticum monococcum</i>	3665	60	2140 (68.2%) 1960	2210 (95.4%) 1880		Quitta 1978: 28 Quitta 1981: 26 Korfmann/Kromer 1993: 161
KN-131	III	Holz-K.	3750	95	2300 (67.4%) 2020 1990 (0.8%) 1980	2500 (95.4%) 1900	Aus der Erdkegel in E4/5	Korfmann 1987: XVIII Korfmann/Kromer 1993: 161.
Hd-20174 (G6-1056)	IIIa	Getreide	3797	25	2290 (64.0%) 2190 2160 (4.2%) 2150	2300 (95.4%) 2130	Vom Fußboden des Megarons in G6	Sazci 2003: 12
Hd-13930 (E4/5 – 307)	IIIa	Holz-K. Rundholz	3974	43	2580 (35.2%) 2510 2500 (30.8%) 2450 2420 (2.2%) 2400	2590 (95.4%) 2340	Entnommen etwa 20 cm vom Dachbalken auf Begehungsfläche 12.	Korfmann/Kromer 1993:148, Abb. 9 Mansfeld 2001: 266, Tab.1.
Hd-14008 (E4/5-393)	IIC3	Holz-K. Balken	4166	37	2880 (12.6%) 2840 2820 (34.5%) 2740 2730 (21.1%) 2670	2890 (95.4%) 2620	HK von Balken, vom Dach des Gebäudes B (Versturz)	Korfmann/Kromer 1993:148 Mansfeld 2001: 266, Tab.1
Hd-14573 (E4/5-580)	IIC3	Holz-K. Balken	4266	57	3010 (3.1%) 2990 2930 (44.5%) 2860 2810 (17.2%) 2750 2720 (3.4%) 2700	3030 (64.6%) 2830 2820 (30.8%) 2660	HK von Balken 4 vom Dach des Gebäudes B (Versturz)	Korfmann/Kromer 1993:148 Mansfeld 2001: 266, Tab.1
Hd-14572 (E4/5-584)	IIC3	Holz-K.	3988	32	2565 (42.4%) 2520 2500 (25.8%) 2470	2580 (95.4%) 2450	HK von Parastad des Gebäudes B	Korfmann/Kromer 1993:148 Mansfeld 2001: 266, Tab.1
Hd-14561 (E4/5-551)	IIC3	Holz-K.	4100	33	2850 (15.1%) 2810 2740 (0.7%) 2730 2700 (52.3%) 2570	2870 (21.7%) 2800 2760 (71.7%) 2560 2520 (2.0%) 2490	HK von Balken 2 vom Dach des Gebäudes A (Versturz)	Korfmann/Kromer 1993:148 Mansfeld 2001: 266, Tab.1
Hd-16733-	IIB4?	Holz-K.	3815	42	2340 (63.5%) 2190	2460 (95.4%) 2130	Unterhalb	Tb.E4.1993: 46

16246 (E4-660)					2170 (4.7%) 2150		Dörpfelds Sondage zwischen Mauern 318 und 320 bei ca. ▼ 30.37 m.	
Hd-16734- 16252 (E4-701)	IIb2	Holz-K	3932	46	2490 (68.2%) 2340	2570 (11.1%) 2510 2500 (84.3%) 2280	HK aus einer Feuerstelle (334) in einem Haus	Tb.E4.1993: 65
Hd-16735- 16270 (E4-639)	IIb1	Holz-K	4058	41	2840 (5.8%) 2810 2670 (41.9%) 2560 2540 (20.6%) 2490	2860 (10.0%) 2810 2750 (2.3%) 2720 2700 (83.0%) 2470	Brandschicht 373 Zerstörungshorizont Phase IIb1	Tb.E4.1993: 23
Hd-17664 (E3-039)	IIb1	Holz-K	4011	28	2570 (54.2%) 2510 2505 (14.0%) 2485	2580 (95.4%) 2460	Brandschicht 008=060=051 Zerstörungshorizont Phase IIb1	
Hd-19823 (F4-67)	IIa1	Holz-K	3935	66	2570 (7.9%) 2530 2500 (60.3%) 2300	2580 (95.4%) 2200	HK aus Brandschicht 229 Zerstörungshorizont Phase IIa1	
Hd-19822 (F4.68)	IIa1	Holz-K	3931	23	2480 (33%) 2430 2420 (13.3%) 2400 2380 (21.9%) 2340	2490 (95.4%) 2330	HK aus Brandschicht 229 Zerstörungshorizont Phase IIa1	
Hd-20040 (F4.69)	IIa1	Holz-K	3972	31	2565 (34.2%) 2520 2495 (34.0%) 2465	2580 (90.3%) 2440 2420 (2.0%) 2400 2380 (3.2%) 2340	HK aus Brandschicht 229 Zerstörungshorizont Phase IIa1	
Hd-16832 (D3-266)	Ij	Holz-K	4117	46	2860 (18.7%) 2800 2760 (11.0%) 2720 2700 (38.5%) 2580	2880 (95.4%) 2570	Entnommen östlich von Mauer BB	
Hd-16810 (D3-278)	Ij	Holz-K	4173	37	2880 (13.4%) 2850 2820 (37.0%) 2740 2730 (17.7%) 2670	2890 (20.9%) 2830 2820 (74.5%) 2630	Entnommen SO von Haus 115	